Sudakov-Logarithmen in der elektroschwachen Wechselwirkung

Zur Erlangung des akademischen Grades eines DOKTORS DER NATURWISSENSCHAFTEN von der Fakultät für Physik der Universität Karlsruhe (TH)

genehmigte

DISSERTATION

von

Dipl.-Phys. Bernd Joachim Jantzen

aus Backnang

Tag der mündlichen Prüfung: 17. Juni 2005

Referent: Prof. Dr. Johann H. Kühn Korreferent: Prof. Dr. Dieter Zeppenfeld

Inhaltsverzeichnis

Ei	inleit	ung		7
1	Elel	ktroscl	nwache Strahlungskorrekturen bei hohen Energien	11
	1.1	Das S	tandardmodell und die elektroschwache Wechselwirkung	11
	1.2	Ein S	$U(2) \times U(1)$ -Modell ohne Mischung	14
	1.3	Strahl	ungskorrekturen und IR-Divergenzen	17
	1.4	Renor	mierung	19
	1.5	Sudak	ov-Logarithmen in der Vierfermionstreuung	23
		1.5.1	Die Vierfermionamplitude	24
		1.5.2	Der Formfaktor	29
	1.6	Einsch	nleifenergebnisse	33
2	Fer	mionis	che und skalare Beiträge zum Zweischleifenformfaktor	37
	2.1	Beiträ	ge von Fermionschleifen	37
	2.2	Beiträ	ge von masselosen skalaren Teilchen	43
3	Abe	elsche	Beiträge zum Zweischleifenformfaktor	47
	3.1	Vertex	diagramme	49
		3.1.1	Planares Vertexdiagramm	50
		3.1.2	Nichtplanares Vertexdiagramm	54
		3.1.3	Vertexdiagramm mit Benz-Topologie	60
		3.1.4	Vertexdiagramm mit Fermion-Selbstenergie	66
	3.2	Selbst	energiekorrekturen	70
		3.2.1	Selbstenergiekorrektur mit T1-Topologie	71

		3.2.2	Selbstenergiekorrektur mit T2-Topologie	73
		3.2.3	Sonstige Beiträge mit Selbstenergiekorrekturen	75
	3.3	Zusan	nmenfassung der abelschen Beiträge	76
4	Nic	htabels	sche Beiträge zum Zweischleifenformfaktor	7 9
	4.1	$C_F C_A$	-Beiträge mit einer Drei-Eichboson-Kopplung	81
		4.1.1	Nichtabelsches Vertexdiagramm mit Benz-Topologie	81
		4.1.2	Nichtabelsche Selbstenergiekorrektur mit T1-Topologie	86
	4.2	$C_F C_A$	-Beiträge mit Eichboson- oder Geistschleife	88
		4.2.1	Vertexdiagramme mit Eichboson- oder Geistschleife	88
		4.2.2	Selbstenergiekorrekturen mit Eichboson- oder Geistschleife	92
		4.2.3	Massenrenormierung mit Eichboson- oder Geistschleife	95
	4.3	Zusan	nmenfassung der $C_F C_A$ -Beiträge	97
	4.4	Higgs-	Beiträge	98
		4.4.1	Vertexdiagramme mit Higgs- und Goldstone-Bosonen	99
		4.4.2	Selbstenergiekorrekturen mit Higgs- und Goldstone-Bosonen .	101
		4.4.3	Massenrenormierung mit Higgs- und Goldstone-Bosonen	103
		4.4.4	Zusammenfassung der Higgs-Beiträge	104
	4.5	Zusan	nmenfassung der nichtabelschen Beiträge	106
5	Das	SU(2	$) imes U(1) ext{-Modell mit Massenlücke}$	111
	5.1	Faktor	risierung der IR-Singularitäten	111
		5.1.1	Der $SU(2) \times U(1)$ -Formfaktor	111
		5.1.2	Strahlungskorrekturen mit massiven und masselosen Eichbosonen	114
		5.1.3	Auswertung der Faktorisierung	119
	5.2	Das S	$U(2) \times U(1)$ -Modell mit gleichen Massen	120

6	Vie	rfermi	onstreuung	123
	6.1	SU(2)	$_{L}$ -Wirkungsquerschnitte	123
	6.2	Elektr	oschwache Korrekturen	125
		6.2.1	Faktorisierung der elektromagnetischen IR-Divergenzen	126
		6.2.2	Elektroschwache Parameter	127
		6.2.3	Berücksichtigung des Massenunterschieds $M_W \neq M_Z$	129
		6.2.4	Elektroschwache Wirkungsquerschnitte	129
	6.3	Zusan	nmenfassung	133
\mathbf{A}_{1}	nhan	g		
A	Fey	nman-	Regeln	135
В	Mat	thema	tische Funktionen und Konstanten	139
\mathbf{C}	Met	thoden	ı	143
	C.1	Paran	netrisierung von Schleifenintegralen	143
	C.2	Tenso	rreduktion	146
	C.3	Mellin	a-Barnes-Darstellung	147
	C.4	Expar	nsion by Regions	148
D	Ska	lare In	ategrale	151
	D.1	Skalar	re Integrale der abelschen Beiträge	151
		D.1.1	Planares Vertexdiagramm	151
		D.1.2	Nichtplanares Vertexdiagramm	154
		D.1.3	Vertexdiagramm mit Benz-Topologie	158
		D.1.4	Vertex diagramm mit Fermion-Selbstenergie	163
		D.1.5	Selbstenergiekorrektur mit T1-Topologie	164
		D.1.6	Selbstenergiekorrektur mit T2-Topologie	166
	D.2	Skalar	re Integrale der nichtabelschen Beiträge	167
		D.2.1	Nichtabelsches Vertexdiagramm mit Benz-Topologie	167

Inhaltsverzeichnis

D.2.2	Nichtabelsche Selbstenergiekorrektur mit T1-Topologie $$. 171
D.2.3	Vertexdiagramme mit Eichboson- oder Geistschleife	. 173
D.2.4	Selbstenergiekorrekturen mit Eichboson- oder Geistschleife $% \left(1\right) =\left(1\right) \left(1\right) \left$. 174
D.2.5	Vertexdiagramme mit Higgs- und Goldstone-Bosonen $\ . \ . \ .$. 177
D.2.6	Selbstenergiekorrekturen mit Higgs- und Goldstone-Bosonen	. 178
Literaturverz	eichnis	181
Danksagung		187

Einleitung

In der Teilchenphysik werden die fundamentalen Wechselwirkungen zwischen den Elementarteilchen, mit Ausnahme der Gravitation, im Rahmen des Standardmodells betrachtet. Dieses liefert eine quantenfeldtheoretische Beschreibung der elektromagnetischen, der schwachen und der starken Wechselwirkung. In den vergangenen Jahrzehnten wurde das Standardmodell in vielen Experimenten getestet und hat sich als ein äußerst erfolgreiches theoretisches Modell erwiesen. Präzisionsmessungen konnten sowohl die theoretischen Vorhersagen in den bisher experimentell zugänglichen Energiebereichen bestätigen als auch die Parameter des Modells mit großer Genauigkeit bestimmen. Die Genauigkeit der Experimente verlangt auch auf theoretischer Seite immer bessere Vorhersagen.

Von besonderem Interesse sind heute neben der Suche nach dem noch nicht entdeckten Higgs-Boson mögliche Erweiterungen des Standardmodells bzw. die Betrachtung des Standardmodells als Niederenergielimes einer zugrunde liegenden Theorie, die ggf. auch die Gravitation mit einschließt. Viele neue Effekte dieser Erweiterungsmodelle werden erst bei Energien, die weit oberhalb des experimentell zugänglichen Bereichs liegen, relevant. Aber sie äußern sich bereits im Niederenergiebereich durch kleine Korrekturen zu den Standardmodellvorhersagen. Bei den Präzisionsmessungen an künftigen Teilchenbeschleunigern hofft man insbesondere, solche Abweichungen sehen zu können.

Die elektroschwache Wechselwirkung wird durch das masselose Photon und die massiven W- und Z-Bosonen ($M_W \approx 80\,\mathrm{GeV}$, $M_Z \approx 91\,\mathrm{GeV}$) vermittelt. Diese Wechselwirkung wurde experimentell von sehr niedrigen Energieskalen bis hin zu Energieskalen im Bereich der W- und Z-Masse untersucht. Der LEP-Beschleuniger am CERN erreichte vor seiner Abschaltung eine maximale Schwerpunktsenergie der Elektron-Positron-Kollisionen von etwa 210 GeV. Das Tevatron am Fermilab beschleunigt Protonen und Antiprotonen bis etwa 2 TeV. Jedoch geht bei einem Hadron-Beschleuniger nur ein Teil dieser Energie in die jeweilige harte Streureaktion ein. Bei diesen Experimenten liegen die Impulsüberträge der elektroschwachen Prozesse noch in der Größenordnung von M_W und M_Z .

Zukünftige bzw. geplante Elektron-Positron-Linearbeschleuniger wie der Inter-

national Linear Collider (ILC) mit Energien weit über den Eichboson-Massen und Hadron-Beschleuniger wie der LHC mit einer Schwerpunktsenergie von 14 TeV eröffnen den Zugang zu einem neuen Energiebereich. In exklusiven Prozessen, d.h. mit Endzuständen ohne zusätzliche Abstrahlung von reellen Eichbosonen, werden bei hohen Impulsüberträgen doppelt-logarithmische Korrekturen, sogenannte Sudakov-Logarithmen relevant. Diese rühren vom Austausch virtueller Eichbosonen her und wurden zuerst von Sudakov [1] in der Quantenelektrodynamik untersucht.

In den Strahlungskorrekturen zu exklusiven Prozessen mit Eichbosonen der Masse M bei hohen Impulsüberträgen \sqrt{s} erhält man Potenzen des Logarithmus $\ln(s/M^2)$. Terme der Ordnung M^2/s werden im Hochenergielimes vernachlässigt. Die Näherung der führenden Logarithmen (LL = leading logarithmic) umfasst in jeder Ordnung α^n der Störungstheorie die Terme mit den höchsten Logarithmen-Potenzen, $\alpha^n \ln^{2n}(s/M^2)$. Weitere Näherungen schließen die nächstführenden Logarithmen $\alpha^n \ln^{2n-1}(s/M^2)$ (NLL = next-to-leading logarithmic), die nächstnächstführenden Logarithmen $\alpha^n \ln^{2n-2}(s/M^2)$ (NNLL = next-to-next-to-leading logarithmic) usw. mit ein. Im Limes $s \to \infty$ stellen die führenden Logarithmen den größten Beitrag zu den Strahlungskorrekturen dar. Die phänomenologische Untersuchung von Sudakov-Logarithmen in Bezug auf elektroschwache Prozesse bei hohen Energien hat in den vergangenen Jahren ein deutliches Interesse erfahren [2–28].

In bisherigen Arbeiten wurden der Formfaktor eines abelschen Vektorstroms, die Vierfermionamplitude sowie Wirkungsquerschnitte für massive abelsche und nichtabelsche Theorien in LL-, NLL- und NNLL-Näherung berechnet [4–7, 22]. Bei den experimentell relevanten Energien im TeV-Bereich spielen jedoch auch die darauffolgenden Terme der Entwicklung in Logarithmenpotenzen eine wichtige Rolle. Für Präzisionsergebnisse ist die Kenntnis aller logarithmischen Terme im Hochenergielimes erforderlich.

Die vorliegende Arbeit befasst sich mit abelschen und nichtabelschen Zweischleifenkorrekturen zum Formfaktor eines abelschen Vektorstroms. Diese Ergebnisse werden mit Hilfe von Evolutionsgleichungen zur Vierfermionamplitude kombiniert und zur Berechnung von Korrekturen zu elektroschwachen Wirkungsquerschnitten von Vierfermionprozessen $f\bar{f} \to f'\bar{f}'$ verwendet. Die Ergebnisse der Arbeit wurden in Zusammenarbeit mit Johann H. Kühn, Sven Moch, Alexander A. Penin und Vladimir A. Smirnov erzielt und teilweise in [23, 24, 28] veröffentlicht bzw. zur Veröffentlichung eingereicht, weitere Veröffentlichungen sind in Vorbereitung.

Die Arbeit ist wie folgt gegliedert: Zunächst werden in Kapitel 1 die Grundlagen der Rechnungen vorgestellt: das Standardmodell und das in dieser Arbeit verwendete $SU(2) \times U(1)$ -Modell, die Behandlung elektroschwacher Strahlungskorrekturen, die

¹Der Name des Autors hat sich durch Heirat von B. Feucht nach B. Jantzen geändert, so dass nun Veröffentlichungen unter beiden Namen vorliegen.

Sudakov-Logarithmen in der Vierfermionamplitude, der Formfaktor des abelschen Vektorstroms und die später benötigten Einschleifenergebnisse.

Danach folgen drei Kapitel, in denen verschiedene Beiträge zum SU(2)-Formfaktor vorgestellt und berechnet werden: in Kapitel 2 die Beiträge aus Fermionschleifen und Schleifen skalarer Teilchen, in Kapitel 3 die abelschen Beiträge, die auch in einem reinen U(1)-Modell vorkommen, und in Kapitel 4 Beiträge aus der nichtabelschen SU(2)-Gruppenstruktur sowie die Higgs-Beiträge.

Kapitel 5 kombiniert die schwache SU(2)-Wechselwirkung mit der U(1)-Wechselwirkung der Hyperladung, zeigt die Faktorisierung der infraroten Singularitäten und erläutert eine Möglichkeit zur Berechnung des Formfaktors mit massiven und masselosen Eichbosonen durch die Auswertung von Korrekturen mit rein massiven Bosonen.

Abschließend überträgt Kapitel 6 die Ergebnisse für den Formfaktor auf die Vierfermionamplitude im elektroschwachen Standardmodell, diskutiert die Ergebnisse für Wirkungsquerschnitte von Vierfermionprozessen und fasst die Resultate dieser Arbeit zusammen.

Im Anhang A sind die Feynman-Regeln des $SU(2) \times U(1)$ -Modells mit spontaner Symmetriebrechung angegeben. Anhang B erläutert die in dieser Arbeit verwendeten mathematischen Funktionen und Konstanten. Anhang C geht auf Methoden ein, die für die Auswertung der Schleifenintegrale zur Anwendung kommen. Die Ergebnisse der einzelnen skalaren Integrale aus den Kapiteln 3 und 4 sind im Anhang D aufgelistet. Das Literaturverzeichnis und die Danksagung finden sich am Ende der Arbeit nach den Anhängen.

Kapitel 1

Elektroschwache Strahlungskorrekturen bei hohen Energien

In diesem Kapitel werden die theoretischen Grundlagen der vorliegenden Arbeit erläutert. Am Beginn steht eine Beschreibung der für diese Arbeit relevanten Aspekte des Standardmodells. Der nachfolgende Abschnitt behandelt das für die Rechnungen verwendete $SU(2) \times U(1)$ -Modell. Abschnitt 1.3 geht auf die Behandlung von elektroschwachen Strahlungskorrekturen ein. Abschnitt 1.4 erläutert das verwendete Renormierungsschema. In Abschnitt 1.5 werden Sudakov-Logarithmen in der Vierfermionstreuung, die Vierfermionamplitude und der Formfaktor betrachtet. Das Kapitel schließt mit einer Zusammenstellung der für die weiteren Rechnungen relevanten Einschleifenergebnisse.

1.1 Das Standardmodell und die elektroschwache Wechselwirkung

Das Standardmodell der Teilchenphysik beschreibt die fundamentalen Wechselwirkungen zwischen den Elementarteilchen (siehe z.B. [29–32]). Dazu gehören die elektromagnetische, die schwache und die starke Wechselwirkung. Die Gravitation ist im Standardmodell nicht enthalten. Auf die Theorie der Quantenchromodynamik (QCD) für die starke Wechselwirkung soll hier nicht eingegangen werden, da bei der vorliegenden Arbeit nur elektroschwache Effekte berücksichtigt werden.

Das Modell von Glashow [33], Salam [34] und Weinberg [35] vereinigt elektromagnetische und schwache Wechselwirkung zur elektroschwachen Wechselwirkung. Die

Fermionen dieses Modells sind in 3 Familien von Leptonen und 3 Familien von Quarks angeordnet. Sie sind Spin- $\frac{1}{2}$ -Teilchen, ihre Helizität (Projektion des Spins auf die Impulsrichtung) kann die Werte $+\frac{1}{2}$ ("rechtshändig") und $-\frac{1}{2}$ ("linkshändig") annehmen. Bezüglich der schwachen Wechselwirkung werden die linkshändigen Leptonen jeder Familie i (l_i^L und zugehöriges Neutrino ν_i^L) und die linkshändigen Quarks (u_i^L und d_i^L) in SU(2)-Dubletts

$$L_i^L = \begin{pmatrix} \nu_i^L \\ l_i^L \end{pmatrix}$$
 und $Q_i^L = \begin{pmatrix} u_i^L \\ d_i^L \end{pmatrix}$

mit Isospin $\frac{1}{2}$ zusammengefasst, während sich die rechtshändigen Fermionen in Singletts

$$l_i^R$$
, u_i^R und d_i^R

mit Isospin 0 befinden. Dies ermöglicht die unterschiedliche Kopplung der schwachen Wechselwirkung an links- und rechtshändige Fermionen. Rechtshändige Neutrinos sind ursprünglich im Standardmodell nicht enthalten, können aber beispielsweise als zusätzliche Isospin-Singletts eingeführt werden. Insgesamt beinhaltet das Modell folgende Fermion-Dubletts und Fermion-Singletts:

$$L_i^L = \begin{pmatrix} \nu_e \\ e \end{pmatrix}^L, \begin{pmatrix} \nu_\mu \\ \mu \end{pmatrix}^L, \begin{pmatrix} \nu_\tau \\ \tau \end{pmatrix}^L; \quad Q_i^L = \begin{pmatrix} u \\ d \end{pmatrix}^L, \begin{pmatrix} c \\ s \end{pmatrix}^L, \begin{pmatrix} t \\ b \end{pmatrix}^L$$
$$l_i^R = e^R, \mu^R, \tau^R; \quad u_i^R = u^R, c^R, t^R; \quad d_i^R = d^R, s^R, b^R.$$

Die Symmetriegruppe der elektroschwachen Wechselwirkung ist $SU(2)_W \times U(1)_Y$. Generatoren der $SU(2)_W$ -Symmetrie sind die Komponenten I_W^a (a=1,2,3) des schwachen Isospins. Für die Dubletts gilt $I_W^a = \frac{1}{2}\sigma^a$ mit den Pauli-Matrizen σ^a . Für die Singletts ist $I_W^a = 0$.

Zur $U(1)_Y$ -Gruppe gehört der Generator Y mit der Hyperladung als Quantenzahl. Die Hyperladung hängt mit der Komponente I_W^3 des Isospins und der elektrischen Ladung Q (in Einheiten der Elementarladung) über die Gell-Mann-Nishijima-Relation

$$Q = I_W^3 + \frac{Y}{2} \tag{1.1}$$

zusammen. Die Quantenzahlen der elektroschwachen Wechselwirkung sind in Tabelle 1.1 dargestellt. Zudem gibt es jedes Quark in 3 Farben, zwischen denen die starke Wechselwirkung transformiert. Die Generatoren der elektroschwachen Wechselwirkung sind diagonal im Farbraum, so dass die Farben lediglich bei der Anzahl der Fermionen berücksichtigt werden müssen.

Die kinetische Lagrange-Dichte $\mathcal{L} = \bar{\psi} i \partial \psi$ eines Fermion-Dubletts oder -Singletts ψ ist unter einer globalen $SU(2)_W \times U(1)_Y$ -Transformation invariant. Für die Invarianz unter einer lokalen, d.h. ortsabhängigen Transformation wird die gewöhnliche

Familie			Qı	ıantenzahl	en
1	2	3	I_W^3	$\frac{Y}{2}$	Q
$ u_e^L$	$ u_{\mu}^{L}$	$ u_{ au}^{L}$	$\frac{1}{2}$	$-\frac{1}{2}$	0
e^L	μ^L	$ au^L$	$-\frac{1}{2}$	$-\frac{1}{2}$	-1
e^R	μ^R	$ au^R$	0	-1	-1
u^L	c^L	t^L	$\frac{1}{2}$	$\frac{1}{6}$	$\frac{2}{3}$
d^L	s^L	b^L	$-\frac{1}{2}$	$\frac{1}{6}$	$-\frac{1}{3}$
u^R	c^R	t^R	0	$\frac{2}{3}$	$\frac{2}{3}$
d^R	s^R	b^R	0	$-\frac{1}{3}$	$-\frac{1}{3}$

Tabelle 1.1: Standardmodell-Fermionen mit Quantenzahlen

Ableitung ∂_{μ} durch die kovariante Ableitung D_{μ} ersetzt:

$$D_{\mu} = \partial_{\mu} - ig \, I_W^a \, W_{\mu}^a - ig' \, \frac{Y}{2} \, B_{\mu} \,. \tag{1.2}$$

Die Transformation der Eichfelder W^a_μ und B_μ gewährleistet die lokale $SU(2)_W \times U(1)_Y$ -Eichsymmetrie der Lagrange-Dichte. Die kinetische Lagrange-Dichte der Fermionen im Standardmodell lautet:

$$\mathcal{L}_f = \bar{L}_i^L i \not\!\!\!D L_i^L + \bar{Q}_i^L i \not\!\!\!D Q_i^L + \bar{l}_i^R i \not\!\!\!D l_i^R + \bar{u}_i^R i \not\!\!\!D u_i^R + \bar{d}_i^R i \not\!\!\!D d_i^R. \tag{1.3}$$

Die Eichbosonen W^a und B vermitteln die elektroschwache Wechselwirkung. Sie erhalten in der Lagrange-Dichte den kinetischen Term

$$\mathcal{L}_{Eich} = -\frac{1}{4} W^{a}_{\mu\nu} W^{a\mu\nu} - \frac{1}{4} B_{\mu\nu} B^{\mu\nu} , \qquad (1.4)$$

mit

$$W_{\mu\nu}^{a} = \partial_{\mu}W_{\nu}^{a} - \partial_{\nu}W_{\mu}^{a} + g f^{abc} W_{\mu}^{b}W_{\nu}^{c}, \quad B_{\mu\nu} = \partial_{\mu}B_{\nu} - \partial_{\nu}B_{\mu},$$
 (1.5)

wobei $f^{abc} = \varepsilon^{abc}$ die SU(2)-Strukturkonstanten sind. Die Kopplung der Eichbosonen an die Fermionfelder geschieht über die kovariante Ableitung (1.2) in der Lagrange-Dichte (1.3) und wird durch die Kopplungskonstanten g und g' bestimmt.

Die Massen der Eichbosonen und Fermionen werden im Standardmodell über den Higgs-Mechanismus eingeführt. Das Higgs-Feld Φ ist ein $SU(2)_W$ -Dublett komplexer Skalarfelder mit Isospin $\frac{1}{2}$ und Hyperladung $Y_{\Phi}=1$. Durch ein Higgs-Potential, dessen Minimum bei $\Phi \neq 0$ liegt, erhält eine Komponente des Higgs-Dubletts einen endlichen Vakuumerwartungswert. Dies führt zur spontanen Brechung der

 $SU(2)_W \times U(1)_Y$ -Symmetrie, da der Vakuumerwartungswert nur unter der $U(1)_{\text{em}}$ Symmetrie invariant bleibt, deren Generator die elektrische Ladung Q ist.

Die kinetische Energie des Higgs-Dubletts lautet $(D_{\mu}\Phi)^{\dagger}(D^{\mu}\Phi)$ mit der kovarianten Ableitung (1.2). Dadurch koppelt das Higgs-Dublett an die Eichbosonen, so dass der Vakuumerwartungswert zu Massentermen für die Eichbosonen in der Lagrange-Dichte führt. Weil das Higgs-Dublett sowohl an die $SU(2)_W$ -Eichbosonen als auch an das $U(1)_Y$ -Eichboson koppelt, mischen diese. Masseneigenzustände sind das masselose Photon sowie die massiven Eichbosonen W^{\pm} und Z mit

$$M_W = M_Z \cos \theta_W \,, \tag{1.6}$$

wobei θ_W der schwache Mischungswinkel ist, der auch die $SU(2)_W$ - und $U(1)_Y$ Kopplungskonstanten mit der elektrischen Elementarladung e in Beziehung setzt:

$$e = \frac{gg'}{\sqrt{g^2 + g'^2}} = g \sin \theta_W = g' \cos \theta_W. \tag{1.7}$$

Die Fermionen erhalten ihre Massen im Standardmodell durch $SU(2)_W \times U(1)_Y$ invariante Yukawa-Kopplungen des Higgs-Dubletts an die Fermionfelder.

1.2 Ein $SU(2) \times U(1)$ -Modell ohne Mischung

Die Berechnung von Strahlungskorrekturen im Rahmen der elektroschwachen Wechselwirkung wird insbesondere durch die Vielzahl von verschiedenen Massen erschwert. Allein bei den Eichbosonen gibt es das masselose Photon sowie die schweren Eichbosonen W und Z mit ähnlicher, aber verschiedener Masse.

Um Zweischleifenvorhersagen zu ermöglichen, arbeiten wir in einem vereinfachten Modell, in dem alle schweren Eichbosonen die gleiche Masse $M_W = M_Z \equiv M$ besitzen. Dies kann im Rahmen des Higgs-Mechanismus erreicht werden, wenn die Eichbosonen der verschiedenen Symmetriegruppen nicht mischen. Deshalb betrachten wir ein Higgs-Dublett mit Hyperladung $Y_{\Phi} = 0$, das nur an die schwachen Eichbosonen W^a , nicht aber an das U(1)-Eichboson B koppelt.

Die folgende Beschreibung des $SU(2) \times U(1)$ -Modells entspricht in weiten Teilen dem Standardmodell. Der Unterschied zum Standardmodell liegt vor allem in den Masseneigenzuständen der Eichbosonen. Dies wird am Ende dieses Abschnitts nochmals Thema sein. Zunächst wird die Lagrangedichte des Modells detailliert beschrieben.

Der kinetische Term der Eichbosonen in der Lagrange-Dichte ist weiterhin durch Gl. (1.4) gegeben. Dieser enthält auch die Selbstkopplungen der Eichbosonen. Der

kinetische Term von allgemein n_f linkshändigen Fermion-Dubletts in der fundamentalen Darstellung der SU(2) und der U(1),

$$\mathcal{L}_f = \sum_{i=1}^{n_f} \bar{\Psi}_i^L i \not\!\!D \, \Psi_i^L, \qquad (1.8)$$

mit der kovarianten Ableitung

$$D_{\mu} = \partial_{\mu} - ig \, t^a \, W_{\mu}^a - ig' \, \frac{Y}{2} \, B_{\mu} \,, \tag{1.9}$$

liefert die Kopplungen zwischen Eichbosonen und Fermionen. Dabei sind die t^a (a=1,2,3) die SU(2)-Generatoren in der fundamentalen Darstellung mit der Lie-Algebra $[t^a,t^b]=i\;f^{abc}\;t^c$, wobei die f^{abc} die Strukturkonstanten der Gruppe und zugleich (bis auf einen Faktor i) die Generatoren der adjungierten Darstellung sind. Allgemein gilt

$$t^a t^a = C_F \mathbf{1}, \quad f^{acd} f^{bcd} = C_A \delta^{ab}, \quad \text{Tr}(t^a t^b) = T_F \delta^{ab},$$
 (1.10)

mit dem Einheitsoperator 1 und den Casimir-Operatoren C_F und C_A der fundamentalen und der adjungierten Darstellung. Für eine SU(N)-Gruppe ist

$$C_F = \frac{N^2 - 1}{2N}, \quad C_A = N, \quad T_F = \frac{1}{2},$$
 (1.11)

oder speziell für die SU(2)-Eichgruppe der schwachen Wechselwirkung:

$$C_F = \frac{3}{4}, \quad C_A = 2, \quad T_F = \frac{1}{2}.$$
 (1.12)

Indem man anstelle der speziellen SU(2)-Generatoren $\frac{1}{2}\sigma^a$ die allgemeineren SU(N)-Generatoren t^a und die daraus resultierenden Farbfaktoren mit C_F , C_A und T_F benutzt, kann man die Beiträge zu den Strahlungskorrekturen nach verschiedenen Farbfaktoren trennen sowie die Rechnungen auf eine abelsche U(1)-Gruppe mit

$$C_F = 1, \quad C_A = 0, \quad T_F = 1$$
 (1.13)

übertragen.

In der kovarianten Ableitung (1.9) muss für Y die U(1)-Hyperladung des jeweiligen Fermion-Dubletts entsprechend der Tabelle 1.1 eingesetzt werden. Zusätzlich werden kinetische Terme für die rechtshändigen Fermion-Singletts entsprechend (1.3) eingeführt, die nur Kopplungen an das B-Feld enthalten.

Das Higgs-Feld ist ein komplexes skalares Dublett in der fundamentalen Darstellung der SU(2) und wird durch die Lagrange-Dichte

$$\mathcal{L}_H = (D_\mu \Phi)^\dagger (D^\mu \Phi) - V(\Phi) , \qquad (1.14)$$

mit der kovarianten Ableitung (1.9) für $Y_{\Phi} = 0$ und dem Higgs-Potential

$$V(\Phi) = \frac{\lambda^2}{2} \left(\Phi^{\dagger} \Phi - \frac{v^2}{2} \right)^2, \quad \lambda, v > 0, \qquad (1.15)$$

beschrieben. Das Minimum des Higgs-Potentials liegt bei $\Phi^{\dagger}\Phi=v^2/2$, so dass das Higgs-Dublett einen Vakuumerwartungswert bekommt, der per Konvention als

$$\Phi_0 = \frac{1}{\sqrt{2}} \begin{pmatrix} 0 \\ v \end{pmatrix} \tag{1.16}$$

gewählt wird. Die Entwicklung des Higgs-Dubletts um den Vakuumerwartungswert kann durch die Anwendung einer SU(2)-Transformation auf Φ_0 gewonnen werden:

$$\Phi(x) = \left(1 + \frac{1}{v}H(x) + \frac{2i}{v}t^a\phi^a(x)\right)\Phi_0 = \frac{1}{\sqrt{2}}\binom{i\phi^1(x) + \phi^2(x)}{v + H(x) - i\phi^3(x)},\tag{1.17}$$

mit dem reellen, physikalischen Higgs-Feld H und den reellen Goldstone-Bosonen ϕ^a . Dies ist auch im Fall eines U(1)-Higgs-Modells möglich, kann aber nicht allgemein auf SU(N)-Modelle übertragen werden. Die Felder ϕ^a sind unphysikalische Freiheitsgrade, die unter Ausnutzung der SU(2)-Symmetrie wegtransformiert werden können. Sie müssen aber je nach der gewählten Eichfixierung (siehe unten) berücksichtigt werden.

Neben den Kopplungen zwischen den Feldern enthält die Lagrange-Dichte (1.14) auch Massenterme für das physikalische Higgs-Feld und für die SU(2)-Eichbosonen:

$$M_H = \lambda v \,, \quad M \equiv M_W = \frac{gv}{2} \,.$$
 (1.18)

Das B-Feld bleibt masselos. Dies ist der Unterschied zum Standardmodell, in dem die Felder W^3 und B die Masseneigenzustände Z und Photon bilden.

Die Eichfixierung wird entsprechend der Klasse der R_{ξ} -Eichungen durch den Zusatzterm

$$\mathcal{L}_{\text{fix}} = -\frac{1}{2\xi} G^a G^a - \frac{1}{2\xi} (\partial^{\mu} B_{\mu})^2 , \quad G^a = \partial^{\mu} W_{\mu}^a + \xi \frac{gv}{2} \phi^a , \qquad (1.19)$$

in der Lagrange-Dichte erreicht. Mit der BRST-Symmetrie [36–38] kann gezeigt werden, dass physikalische Ergebnisse wie S-Matrixelemente nicht von der Wahl des Parameters ξ abhängen. Der Eichfixierungsterm (1.19) gibt den unphysikalischen Goldstone-Bosonen ϕ^a die Masse $\sqrt{\xi}M$. Die Eichabhängigkeit von \mathcal{L}_{fix} erzwingt die Einführung antivertauschender Geistfelder c^a in der adjungierten Darstellung der SU(2)-Gruppe:

$$\mathcal{L}_{\text{Geist}} = \bar{c}^a \left[\left(-\partial^2 - \xi M^2 - \xi M \frac{g}{2} H \right) \delta^{ab} + \left(g \partial^{\mu} W_{\mu}^c + \xi M \frac{g}{2} \phi^c \right) f^{abc} \right] c^b. \tag{1.20}$$

Wie die Goldstone-Bosonen haben die Geistfelder die Masse $\sqrt{\xi}M$. Im Hochenergielimes (siehe Abschnitt 1.5) werden die Massen der Fermionen vernachlässigt, so dass auf die Einführung der Yukawa-Kopplungen hier verzichtet wird.

Aus der Lagrange-Dichte erhält man die Feynman-Regeln, die im Anhang A zusammengestellt sind. In dieser Arbeit wird ausschließlich in der Feynman-'t Hooft-Eichung mit $\xi = 1$ gearbeitet, in der die Eichbosonpropagatoren eine besonders einfache Form haben.

Dieses $SU(2) \times U(1)$ -Modell ist dem Standardmodell sehr ähnlich. Ungewöhnlich ist, dass hier mit den SU(2)-Eichbosonen W^1 , W^2 und W^3 sowie mit dem U(1)-Eichboson B gerechnet wird anstatt mit W^{\pm} , Z und dem Photon. Dies vereinfacht die Rechnungen erheblich, denn anstelle von einzelnen, verschiedenen Eichbosonen braucht neben dem U(1)-Eichboson B nur das SU(2)-Triplett W^a in der adjungierten Darstellung betrachtet zu werden.

Durch die Vernachlässigung der Mischung zwischen den beiden Eichgruppen wird ein relativer Fehler in der Größenordnung von $\sin^2 \theta_W \approx 0.2$ gemacht. Dieser wird bei der Zusammenfassung der Ergebnisse in Kapitel 6 diskutiert.

1.3 Strahlungskorrekturen und IR-Divergenzen

Das Standardmodell erlaubt die Beschreibung von Prozessen, die in der Teilchenphysik eine Rolle spielen. In dieser Arbeit wird die Vernichtung eines Fermion-Antifermion-Paares unter Erzeugung eines anderen Fermion-Antifermion-Paares betrachtet. In der Born-Näherung lässt sich dieser Vierfermionprozess mit dem Feynman-Diagramm in Abb. 1.1 darstellen, bei dem die elektroschwache Wechselwirkung von einem virtuellen Photon (γ) oder einem Z-Boson vermittelt wird.

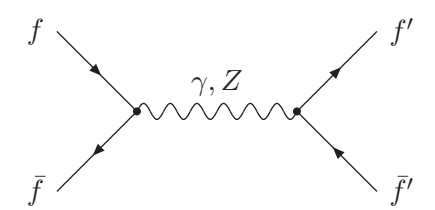


Abbildung 1.1: Born-Näherung des Vierfermionprozesses $f\bar{f} \to f'\bar{f}'$

Die Feynman-Regeln für dieses Diagramm liest man aus der Lagrange-Dichte des Standardmodells bzw. für diese Arbeit des $SU(2) \times U(1)$ -Modells (siehe Anhang A) ab. Aus der Born-Näherung erhält man einen Wert für den Wirkungsquerschnitt dieses Prozesses, der für viele Zwecke bereits ausreicht. Dazu gehören: die Abschätzung

der Größenordnung, mit denen Teilprozesse zum Gesamtergebnis beitragen; die grobe experimentelle Überprüfung der theoretischen Vorhersagen und der Relationen zwischen den Parametern des Modells; die Abschätzung des Hintergrunds einer Messung.

Um aber Parameter des Modells mit möglichst großer Genauigkeit bestimmen oder die Vorhersagen von Modellen ausschließen zu können, muss man Präzisionsmessungen durchführen. Dazu ist sowohl auf experimenteller wie auf theoretischer Seite eine hohe Genauigkeit der Ergebnisse nötig. Die Präzisionstests der vergangenen Jahrzehnte haben das Standardmodell im experimentell zugänglichen Energiebereich eindrucksvoll bestätigt. Eine der heutigen Herausforderungen der Hochenergiephysik besteht in der Suche nach kleinsten Abweichungen der experimentellen Ergebnisse von Vorhersagen des Standardmodells, um daraus z.B. etwas über mögliche Standardmodell-Erweiterungen zu lernen.

Es gibt verschiedene Ansätze, die auf der Basis des Standardmodells über die Genauigkeit der Born-Näherung hinausgehen. Dazu gehören neben der Störungstheorie, die im Folgenden erläutert wird, auch nichtperturbative Methoden und Gitterrechnungen. In störungstheoretischen Rechnungen betrachtet man die Wechselwirkungsterme in der Lagrange-Dichte als kleine Störungen und entwickelt die Ergebnisse in Potenzen der Kopplungskonstanten. Dies führt zu einer Serie von Feynman-Diagrammen, zu denen neben dem Baum-Diagramm ("tree-level") der Born-Näherung Feynman-Diagramme mit "Schleifen" gehören. In dieser Arbeit wird die Störungsreihe in Potenzen von $\frac{\alpha}{4\pi}$ bzw. $\frac{\alpha'}{4\pi}$ definiert mit

$$\alpha = \frac{g^2}{4\pi}, \qquad \alpha' = \frac{{g'}^2}{4\pi}.$$
 (1.21)

In höheren Ordnungen der Störungstheorie kommt mit jeder Schleife durch zusätzliche Vertizes ein Faktor α oder α' hinzu. Diese höheren Ordnungen der Störungstheorie stellen Korrekturen zum Born-Term dar. Elektroschwache Einschleifenkorrekturen wurden ausgiebig untersucht; für Ergebnisse dazu wird z.B. auf [39] verwiesen.

Die Eichbosonen des elektroschwachen Standardmodells sind das masselose Photon und die massiven Bosonen W^{\pm} und Z. Dem entsprechen im $SU(2) \times U(1)$ -Modell dieser Arbeit das masselose Hyperladungs-Eichboson B und die massiven SU(2)-Bosonen W^a . Alle Eichbosonen können als reelle Teilchen im Endzustand der Reaktion abgestrahlt werden oder in virtuellen Korrekturen auftreten.

Bei einem masselosen Eichboson wie dem Photon ist die reelle Abstrahlung für sich allein betrachtet divergent. Infrarote (IR) Divergenzen können aus Phasenraumbereichen kommen, in denen das Photon weich ("soft") ist, also sein Impuls verschwindet. Oder es treten kollineare Divergenzen in Phasenraumbereichen auf, in denen das Photon mit einem der anderen Teilchen im Anfangs- oder Endzustand kollinear ist. Da ein Teilchendetektor nur eine endliche Energieauflösung hat, kann er weiche

Photonen mit einer Energie unterhalb einer bestimmten Schwelle nicht wahrnehmen. Die IR-Singularitäten kommen also von unbeobachtbaren Photonen. Auch der exklusive Prozess ohne zusätzliche Photonen im Endzustand, bei dem nur virtuelle Korrekturen durch Photonen berücksichtigt werden, besitzt infrarote und kollineare Singularitäten. Nach dem Theorem von Kinoshita, Lee und Nauenberg [40, 41] sind jedoch inklusive Observablen IR-endlich. Diese berücksichtigen sowohl reelle als auch virtuelle Korrekturen. Die Divergenzen aus reellen und virtuellen Beiträgen kompensieren sich. Nur die Summe beider Beiträge stellt eine physikalische Observable dar.

Abgestrahlte massive Eichbosonen wie W und Z (bzw. ihre Zerfallsprodukte) können jedoch aufgrund ihrer endlichen Masse auch dann im Detektor beobachtet werden, wenn ihre kinetische Energie verschwindet. Die reelle Abstrahlung und die virtuellen Korrekturen besitzen jeweils separat keine IR-Singularitäten. Bei massiven Eichbosonen können also exklusive Prozesse mit rein virtuellen Korrekturen getrennt betrachtet werden. Diese exklusiven Observablen enthalten im Grenzfall großer Impulsüberträge $\sqrt{s} \gg M$ Potenzen des Logarithmus $\ln(s/M^2)$, in den das Verhältnis zwischen s und dem Quadrat der Eichboson-Masse M eingeht.

Die Massen der W- und Z-Bosonen ($M_W \approx 80\,\mathrm{GeV},\ M_Z \approx 91\,\mathrm{GeV}$) liegen in der Größenordnung heute erreichbarer Energien bei Elektron-Positron-Beschleunigern. Solange sich die Schwerpunktsenergie eines Streuprozesses unterhalb der Eichboson-Massen befindet, tragen Korrekturen mit virtuellen W- und Z-Bosonen nur wenig zur Streuamplitude bei. Wenn aber die Impulsüberträge weit über den Massen der Eichbosonen liegen, also im TeV-Bereich wie beim $Large\ Hadron\ Collider\ (LHC)$ oder beim geplanten internationalen e^+e^- -Linearbeschleuniger (ILC), dann treten neue Effekte auf, die mit zunehmender Energie dominant werden. Im Limes $s\gg M_{W,Z}^2$ bestimmen die Potenzen von $\ln(s/M_{W,Z}^2)$ das Verhalten der Observablen.

1.4 Renormierung

Neben IR-Singularitäten können Strahlungskorrekturen auch ultraviolette (UV) Divergenzen produzieren. Diese kommen aus den Integrationsbereichen großer Schleifenimpulse. UV-Divergenzen können systematisch durch die Renormierung in die Parameter des Modells absorbiert werden. Die Renormierung stellt die Zusammenhänge her zwischen den "nackten" Parametern aus der Lagrange-Dichte und den physikalischen Größen, die im Experiment gemessen werden können und gegenüber den nackten Parametern UV-divergente Strahlungskorrekturen erfahren.

Grundsätzlich können die Strahlungskorrekturen entweder mit der nackten Lagrange-Dichte berechnet und die nackten Parameter anschließend auf die physikalischen Größen transformiert werden. Oder man betrachtet eine renormierte Lagrange-Dichte, die neben den physikalischen Größen sogenannte Counterterme enthält, welche die UV-Divergenzen kompensieren. In dieser Arbeit wird der erste dieser beiden Ansätze gewählt.

Die UV-Divergenzen werden mit der Methode der dimensionalen Regularisierung [42] behandelt. Dabei werden die Schleifenintegrale statt in 4 Raum-Zeit-Dimensionen in $d=4-2\varepsilon$ Dimensionen ausgeführt, wobei ε ein infinitesimaler komplexer Parameter ist. UV-Singularitäten von Einschleifenintegralen äußern sich dann in $1/\varepsilon$ -Polen im Ergebnis, eine höhere Anzahl von Schleifen produziert ε -Pole höherer Ordnung. Auch IR-Singularitäten können mit dieser Methode regularisiert werden und führen zu Polen in ε .

Im Gegensatz zur Regularisierung mit einem Cutoff-Parameter, der die Impulsintegration zu großen Impulsen hin abschneidet, bleiben bei der dimensionalen Regularisierung die Ward-Identitäten erhalten. Außerdem können im Rahmen der dimensionalen Regularisierung alle skalenlosen Integrale (d.h. Integrale, deren Ergebnis keinen Parameter mit Massendimension mehr enthält) zu null gesetzt werden [43,44].

Durch die Verallgemeinerung der Raum-Zeit auf d Dimensionen ändern sich auch die Dimensionen der Lagrange-Dichte, der Felder und der Kopplungskonstanten. Aus dem Wirkungsintegral $S = \int d^d x \, \mathcal{L}$, das dimensionslos bleiben muss, kann man die Massendimension d der Lagrange-Dichte \mathcal{L} ablesen. Die Dimension der Felder erkennt man dann an den kinetischen Termen; sie ist $\frac{d-1}{2}$ für Fermionfelder und $\frac{d}{2}-1$ für skalare Felder und Vektorfelder. Die SU(2)- und U(1)-Kopplungskonstanten schließlich sind nicht mehr dimensionslos, sondern besitzen die Dimension $2-\frac{d}{2}=\varepsilon$. Entsprechend trägt α (und genauso α') die Dimension 2ε . Um ein dimensionsloses α zu behalten, ersetzt man konventionsgemäß

$$\alpha \to \mu^{2\varepsilon} \alpha$$
, (1.22)

wobei μ eine Konstante mit der Dimension einer Masse ist. Dadurch erhält man pro Schleifenintegral mit α auch den Faktor $\mu^{2\varepsilon}$. Dieser Faktor wird gemäß Gl. (A.18) mit dem Schleifenintegral kombiniert.

Dem Parameter μ kommt die Bedeutung einer Renormierungsskala zu. Er wird so gewählt, dass die Effekte höherer Ordnungen der Störungstheorie möglichst klein werden. Dazu wählt man für μ in der Regel einen Wert in der Größenordnung der im konkreten Prozess auftretenden Energieskalen. Physikalische Observablen dürfen nicht vom Renormierungsparameter μ abhängen. Diese Tatsache wird von Renormierungsgruppengleichungen benutzt, die Ableitungen bestimmter Größen nach μ oder anderen Parametern untersuchen.

In der vorliegenden Arbeit werden die Kopplungskonstanten nach dem MS-Schema renormiert. Das diesem zugrunde liegende MS-Schema (minimal subtraction) wählt den Zusammenhang zwischen nackten und renormierten Größen so, dass nur die

 $1/\varepsilon$ -Pole aus den UV-divergenten Ausdrücken subtrahiert werden und die endlichen Anteile übrig bleiben. Im davon abgewandelten $\overline{\text{MS}}$ -Schema (modified minimal subtraction) wird zusätzlich pro Schleifenintegration einmal der Faktor $S_{\varepsilon} = (4\pi)^{\varepsilon} e^{-\varepsilon \gamma_E}$ durch die Reskalierung

 $\mu^2 \to \mu^2 \frac{e^{\gamma_E}}{4\pi} \tag{1.23}$

in die Renormierungsskala μ absorbiert. Dann hängen die Ergebnisse insbesondere nicht mehr von der Eulerschen Konstanten $\gamma_E \approx 0.577216$ (B.7) ab.

Der Zusammenhang zwischen der nackten Kopplung α_0 und der renormierten Kopplung α kann multiplikativ durch

$$\alpha_0 = Z_\alpha \, \alpha \tag{1.24}$$

angegeben werden. Der Faktor Z_{α} hängt mit der β -Funktion zusammen, welche die Abhängigkeit der renormierten Kopplung von μ beschreibt. Für das MS- oder $\overline{\text{MS}}$ -Schema in $d=4-2\varepsilon$ Dimensionen gilt:

$$\beta(\alpha) \equiv \frac{1}{4\pi} \frac{\partial \alpha}{\partial \ln \mu^2} = -\frac{1}{4\pi} \frac{\varepsilon Z_{\alpha} \alpha}{Z_a + \alpha \frac{\partial Z_{\alpha}}{\partial \alpha}} = -\varepsilon \frac{\alpha}{4\pi} - \beta_0 \left(\frac{\alpha}{4\pi}\right)^2 + \mathcal{O}(\alpha^3), \quad (1.25)$$

woraus folgt:

$$Z_{\alpha} = 1 - \frac{\beta_0}{\varepsilon} \frac{\alpha}{4\pi} + \mathcal{O}(\alpha^2). \tag{1.26}$$

Die β -Funktion ist für abelsche und nichtabelsche Eichtheorien aus der QCD bis zur Vierschleifenordnung bekannt [45–53]. In dieser Arbeit wird nur der erste Koeffizient benötigt:

$$\beta_0 = \frac{11}{3}C_A - \frac{4}{3}T_F n_f - \frac{1}{3}T_F n_s \tag{1.27}$$

für ein Modell mit n_f Dirac-Fermionen und n_s skalaren Multipletts in der fundamentalen Darstellung der Eichgruppe. Da für die UV-Renormierung Effekte aus dem Niederenergiebereich wie die spontane Symmetriebrechung keine Rolle spielen, gilt (1.27) mit $n_s = 1$ auch für ein Higgs-Modell.

Außerdem müssen die Feldstärken der beteiligten Teilchen renormiert werden. So gilt z.B. für den Zusammenhang zwischen den nackten und renormierten Fermionfeldern:

$$\psi_0 = \sqrt{Z_f} \, \psi \,. \tag{1.28}$$

Der Faktor Z_f kann anhand des vollständigen Fermionpropagators inklusive aller Schleifenkorrekturen ermittelt werden. Dieser ist in der unrenormierten Theorie für masselose Fermionen durch

gegeben. Andererseits erhält man den gleichen Propagator aus den Selbstenergiekorrekturen, die für masselose Fermionen die Form

$$\tilde{\Sigma}(p) = -i \not p \, \Sigma(p^2) \tag{1.30}$$

haben. Es gilt:

Die Identifizierung der Ausdrücke (1.29) und (1.31) ergibt:

$$Z_f = 1 + \Sigma(p^2 = 0). (1.32)$$

Für die Fermion-Feldstärkerenormierung ist also die Selbstenergiekorrektur beim Impuls $p^2 = 0$ nötig.

Über die LSZ-Reduktionsformel [54] geht die Feldstärkerenormierung auch in die Berechnung von S-Matrixelementen ein. In der unrenormierten Theorie berechnet man zunächst die Amplituden aller beitragenden Feynman-Diagramme ohne Selbstenergiekorrekturen der externen Teilchen. Es werden also nur solche Diagramme betrachtet, von denen man an den äußeren Linien keine Korrekturen nur durch Entfernen einer Linie abtrennen kann. Dieses Ergebnis muss dann für jedes externe Teilchen mit einem Faktor \sqrt{Z} der jeweiligen Feldstärkerenormierung multipliziert werden, um das S-Matrixelement zu erhalten.

Der letzte Beitrag zur Renormierung in der vorliegenden Arbeit betrifft die Eichbosonmasse. Der Zusammenhang zwischen der nackten Eichbosonmasse M_0 und der physikalischen Masse M ergibt sich wieder aus dem Propagator, wobei hier Einschleifenkorrekturen genügen. Schreibt man die Eichboson-Selbstenergiekorrekturen in der Form

$$\tilde{\Pi}^{\mu\nu,ab}(k) = i \, \delta^{ab} \, g^{\mu\nu} \, k^2 \, \Pi_1(k^2) + (\text{Terme} \propto k^{\mu} k^{\nu}) + \mathcal{O}(\alpha^2) \,,$$
 (1.33)

dann gilt (ohne Terme $\propto k^{\mu}k^{\nu}$):

$$\mu, a \sim \mathcal{N} \longrightarrow \nu, b = \frac{-i \, \delta^{ab} \, g_{\mu\nu}}{k^2 - M_0^2} + \frac{-i \, \delta^{ac} \, g_{\mu\alpha}}{k^2 - M_0^2} \, \tilde{\Pi}^{\alpha\beta,cd}(k) \, \frac{-i \, \delta^{db} \, g_{\beta\nu}}{k^2 - M_0^2}$$

$$= \frac{-i \, \delta^{ab} \, g_{\mu\nu}}{k^2 - M_0^2} \left(1 + \frac{k^2 \, \Pi_1(k^2)}{k^2 - M_0^2} \right) + \mathcal{O}(\alpha^2)$$

$$= \frac{-i \, \delta^{ab} \, g_{\mu\nu}}{k^2 - M_0^2 - k^2 \, \Pi_1(k^2) + \mathcal{O}(\alpha^2)} \,. \tag{1.34}$$

Der Propagator muss einen Pol bei $k^2 = M^2 - iM\Gamma$ haben, wobei M die physikalische Eichbosonmasse und Γ die totale Zerfallsbreite ist. Da Γ bereits von der Ordnung α ist, ergibt sich in Einschleifennäherung:

$$M_0^2 = M^2 \left[1 - \text{Re} \,\Pi_1(M^2) \right] + \mathcal{O}(\alpha^2) \,,$$
 (1.35)
 $\Gamma = -M \, \text{Im} \,\Pi_1(M^2) + \mathcal{O}(\alpha^2) \,.$ (1.36)

$$\Gamma = -M \operatorname{Im} \Pi_1(M^2) + \mathcal{O}(\alpha^2). \tag{1.36}$$

In dieser Arbeit werden die Schleifenrechnungen in der unrenormierten Theorie mit den nackten Parametern α_0 (bzw. α'_0) und M_0 durchgeführt, auch wenn die Parameter nicht ausdrücklich mit dem Index 0 bezeichnet sind. Die Transformation der nackten auf die physikalischen Parameter in den Einschleifenergebnissen gemäß (1.24) und (1.35) ergibt Beiträge in Zweischleifenordnung (siehe Abschnitt 1.6).

Sudakov-Logarithmen in der 1.5 Vierfermionstreuung

Die vorliegende Arbeit beschäftigt sich mit Vorhersagen für Prozesse, die zusammenfassend als Vierfermionstreuung bezeichnet werden. Wie in Abb. 1.2 dargestellt, geht

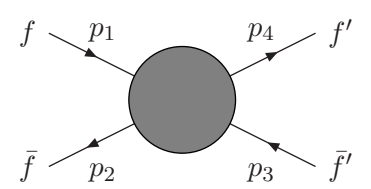


Abbildung 1.2: Vierfermionstreuung $f\bar{f} \to f'\bar{f}'$

dabei ein Fermion-Antifermion-Paar $f\bar{f}$ im Anfangszustand in ein anderes Fermion-Antifermion-Paar $f'\bar{f}'$ im Endzustand über. Es wird nur der Fall $f \neq f'$ betrachtet. Man beschränkt sich damit auf Prozesse, die in Born-Näherung nur einen Beitrag aus dem s-Kanal mit dem neutralen Strom haben.

In diesem Abschnitt und in den nächsten Kapiteln wird zunächst nur die schwache SU(2)-Wechselwirkung mit massiven Eichbosonen untersucht. Die U(1)-Eichgruppe der Hyperladung wird vorerst weggelassen. Die Hinzunahme der Effekte durch die U(1)-Wechselwirkung mit einem masselosen Eichboson wird in Kapitel 5 beschrieben. Außerdem wird zunächst eine SU(2)-Eichgruppe verwendet, die an links- und rechtshändige Fermionen gleichermaßen koppelt. Es wird also eine paritätserhaltende Theorie angenommen, keine chirale Theorie. Die Unterscheidung nach Chiralität wird später in Kapitel 6 hinzukommen.

Die nachfolgend beschriebene Untersuchung der Vierfermionamplitude und des Formfaktors sowie die Notation beruhen auf einer Reihe von älteren Veröffentlichungen [4,6,7,22]. Die in den Gleichungen (1.58), (1.59) und (1.72) zusammengefassten Resultate vervollständigen diese älteren Arbeiten. Eine Veröffentlichung ist in Vorbereitung.

1.5.1 Die Vierfermionamplitude

Die Vierfermionamplitude, also das S-Matrixelement des Prozesses, ist aus zwei verschiedenen SU(2)-Amplituden zusammengesetzt. Die Basis im Isospinraum wird folgendermaßen gewählt:

$$\mathcal{A}^{\lambda} = \bar{v}(-p_2) \, \gamma^{\mu} t^a \, u(p_1) \cdot \bar{u}(p_4) \, \gamma_{\mu} t^a \, v(-p_3) \,,$$

$$\mathcal{A}^d = \bar{v}(-p_2) \, \gamma^{\mu} \, u(p_1) \cdot \bar{u}(p_4) \, \gamma_{\mu} \, v(-p_3) \,.$$
(1.37)

Die Impulse der 4 externen Fermionen sind in Abb. 1.2 angegeben. u(p) und v(p) sind die Spinoren respektive eines Fermion- oder Antifermion-Dubletts mit Impuls p. Zusätzlich muss für die Teilchen im Anfangs- wie im Endzustand zwischen links- und rechtshändigen Fermionen unterschieden werden, z.B.:

$$\mathcal{A}_{LL}^{\lambda} = \bar{v}^{L}(-p_{2}) \gamma^{\mu} t^{a} u^{L}(p_{1}) \cdot \bar{u}^{L}(p_{4}) \gamma_{\mu} t^{a} v^{L}(-p_{3}),
\mathcal{A}_{LR}^{d} = \bar{v}^{L}(-p_{2}) \gamma^{\mu} u^{L}(p_{1}) \cdot \bar{u}^{R}(p_{4}) \gamma_{\mu} v^{R}(-p_{3}).$$
(1.38)

Weil eine paritätserhaltende Theorie betrachtet wird, genügen diese beiden Chiralitätsstrukturen, da sich \mathcal{A}_{RL} und \mathcal{A}_{RR} darauf zurückführen lassen. Die gesamte Amplitude ist ein Vektor im Raum der Isospin- und Chiralitätsstruktur.

Die kinematischen Variablen für die Beschreibung des Vierfermionprozesses sind s, t und u. Für Fermionen, die im Hochenergielimes als masselos betrachtet werden, gilt $p_i^2 = 0$ (i = 1, 2, 3, 4). Daraus folgt:

$$s = (p_1 - p_2)^2,$$

$$t = (p_1 - p_4)^2 = -s x_-,$$

$$u = (p_1 + p_3)^2 = -s x_+,$$
(1.39)

mit

$$x_{\pm} = \frac{1 \pm \cos \theta}{2} \,, \tag{1.40}$$

wobei θ der Winkel zwischen den räumlichen Komponenten von p_1 und p_4 im Schwerpunktsystem ist. Die Born-Amplitude ist für $s \gg M^2$ durch den Ausdruck

$$\mathcal{A}_B = \frac{ig^2}{s} \mathcal{A}^{\lambda} \tag{1.41}$$

gegeben und entspricht dem Feyman-Diagramm in Abb. 1.1 (mit virtuellem W^3).

Das Interesse dieser Arbeit liegt im Hochenergielimes der Vierfermionprozesse, in dem alle kinematischen Invarianten sehr viel größer als die Eichbosonmasse sind:

$$|s| \sim |t| \sim |u| \gg M^2. \tag{1.42}$$

Im Fall verschwindender Eichbosonmasse, M=0, besitzt die Vierfermionamplitude infrarote und kollineare Divergenzen. Die kollinearen Divergenzen der virtuellen Korrekturen faktorisieren. Aufgrund des engen Zusammenhangs zwischen kollinearen Divergenzen im masselosen Fall und den entsprechenden kollinearen Logarithmen im Fall endlicher Eichbosonmasse M, faktorisieren auch diese Logarithmen. Die mit den kollinearen Divergenzen zusammenhängende doppelt-logarithmische Struktur (mit der höchsten Logarithmenpotenz 2n in n-Schleifenordnung) hängt nur von den Eigenschaften der externen Teilchen ab, nicht aber vom speziellen Prozess [55–63]. Am deutlichsten erkennbar ist dies in einer physikalischen Eichung (Coulomb-Eichung oder axiale Eichung), in der kollineare Divergenzen nur in den Selbstenergiekorrekturen der externen Teilchen auftreten [57,62,63]. Deshalb sind die kollinearen Logarithmen jedes Fermion-Antifermion-Paares in der Vierfermionamplitude die gleichen wie diejenigen im Formfaktor, der ein Eichboson an das Fermion-Antifermion-Paar koppelt.

Dieser Formfaktor ist durch das Vertexdiagramm in Abb. 1.3 dargestellt. Es genügt

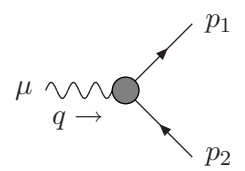


Abbildung 1.3: Vertexformfaktor

hierbei, den Formfaktor des Vektorstroms zu betrachten, der an ein externes abelsches Vektorfeld mit Impuls q koppelt. Seine Born-Amplitude ist durch

$$\mathcal{F}_{B}^{\mu} = \bar{u}(p_{1}) \gamma^{\mu} v(-p_{2}) \tag{1.43}$$

gegeben und enthält keinen SU(2)-Generator. Obwohl die Vertizes der Vierfermionamplitude in der Born-Näherung \mathcal{A}_B durch die SU(2)-Generatoren t^a eine nichtabelsche Natur haben, reicht für die Faktorisierung der Amplitude der oben angegebene Formfaktor des *abelschen* Vektorstroms aus. Denn dieser stellt das einfachste Objekt dar, das bereits alle universalen kollinearen Logarithmen enthält. Außerdem ist der Formfaktor des abelschen Vektorstroms separat eichinvariant, auch wenn nichtabelsche Korrekturen dazu betrachtet werden. Die Kopplungskonstante zwischen dem externen abelschen Feld und dem Fermionpaar wird nicht als Teil des Formfaktors, sondern als zur restlichen Amplitude gehörig betrachtet. Sie geht deshalb auch nicht in die Renormierung des Formfaktors ein.

Die Amplitude der Vertexkorrekturen in Abb. 1.3 ist für masselose Fermionen proportional zur Born-Amplitude,

$$\mathcal{F}^{\mu} = F(Q^2) \cdot \bar{u}(p_1) \, \gamma^{\mu} \, v(-p_2) = F(Q^2) \cdot \mathcal{F}_B^{\mu} \,, \tag{1.44}$$

mit dem Formfaktor $F(Q^2)$. Wegen $p_1^2=p_2^2=0$ hängt dieser (neben der Eichbosonmasse M) nur von

$$Q^{2} = -q^{2} = -(p_{1} - p_{2})^{2} = 2p_{1} \cdot p_{2}$$
(1.45)

ab, wobei Q^2 als euklidisches Impulsquadrat so definiert wurde, dass für raumartige Impulse q, bei denen der Formfaktor reell ist, $Q^2 > 0$ gilt.

Alle kollinearen Logarithmen der Vierfermionamplitude sind Teil der beiden Formfaktoren der Fermionpaare im Anfangs- und Endzustand. Die Amplitude kann folgendermaßen geschrieben werden:

$$\mathcal{A}(s) = \frac{ig(s)^2}{s} F(Q^2)^2 \tilde{\mathcal{A}}(Q^2) , \qquad (1.46)$$

mit $Q^2 = -s$. Die kollinearen Logarithmen sind mit dem Formfaktorquadrat F^2 abfaktorisiert worden. Die reduzierte Amplitude $\tilde{\mathcal{A}}$ enthält nur noch Logarithmen, die mit den soften Divergenzen im Fall M=0 zusammenhängen, und Logarithmen die vom Laufen der Kopplung in $\tilde{\mathcal{A}}$ mit der Renormierungsgruppe herrühren. Das Laufen der Kopplung in der Born-Amplitude ist bereits durch die Wahl der Renormierungsskala s in g^2 berücksichtigt. Alle Effekte von der nichtabelschen Natur der Vertizes in der Born-Amplitude \mathcal{A}_B sind Teil der reduzierten Amplitude $\tilde{\mathcal{A}}$, nicht des Formfaktors.

Die reduzierte Amplitude \mathcal{A} ist wie \mathcal{A} ein Vektor im Raum der Isospin- und Chiralitätsstruktur. Sie erfüllt für $Q^2 \gg M^2$ die folgende Evolutionsgleichung [63–65]:

$$\frac{\partial \tilde{\mathcal{A}}(Q^2)}{\partial \ln Q^2} = \chi(\alpha(Q^2)) \tilde{\mathcal{A}}(Q^2), \qquad (1.47)$$

wobei $\chi(\alpha)$ eine Matrix im Raum der Isospin- und Chiralitätsstruktur ist und als Matrix der soften anomalen Dimensionen bezeichnet wird. Mit $\alpha(Q^2)$ ist die laufende Kopplung an der Skala Q^2 gemeint. Die Lösung dieser Differentialgleichung lautet:

$$\tilde{\mathcal{A}}(Q^2) = P \exp \left[\int_{M^2}^{Q^2} \frac{\mathrm{d}x}{x} \chi(\alpha(x)) \right] \tilde{\mathcal{A}}_0(\alpha(M^2)), \qquad (1.48)$$

wobei $\tilde{\mathcal{A}}_0(\alpha(M^2)) = \tilde{\mathcal{A}}(M^2)$ durch die Anfangsbedingungen bestimmt werden muss. Das Symbol P sorgt für pfadgeordnete Matrizenprodukte in der Exponentialfunktion:

$$P\chi(\alpha(x))\chi(\alpha(x')) = \begin{cases} \chi(\alpha(x))\chi(\alpha(x')), & x > x', \\ \chi(\alpha(x'))\chi(\alpha(x)), & x' > x. \end{cases}$$
(1.49)

Die Matrix $\chi(\alpha)$ wird in der Kopplungskonstanten entwickelt:

$$\chi(\alpha) = \frac{\alpha}{4\pi} \chi^{(1)} + \left(\frac{\alpha}{4\pi}\right)^2 \chi^{(2)} + \mathcal{O}(\alpha^3). \tag{1.50}$$

In d=4 Dimensionen folgt aus der Definition der β -Funktion in Gl. (1.25):

$$\frac{\alpha(x)}{4\pi} = \frac{\alpha(M^2)}{4\pi} - \beta_0 \ln\left(\frac{x}{M^2}\right) \left(\frac{\alpha(M^2)}{4\pi}\right)^2 + \mathcal{O}(\alpha^3). \tag{1.51}$$

Damit können die Integrale in (1.48) ausgeführt werden, und man erhält die reduzierte Amplitude in Zweischleifennäherung:

$$\tilde{\mathcal{A}}(Q^{2}) = \left\{ 1 + \frac{\alpha}{4\pi} \chi^{(1)} \mathcal{L}(Q^{2}) + \left(\frac{\alpha}{4\pi}\right)^{2} \left[\frac{1}{2} \left((\chi^{(1)})^{2} - \beta_{0} \chi^{(1)} \right) \mathcal{L}^{2}(Q^{2}) + \chi^{(2)} \mathcal{L}(Q^{2}) \right] \right\} \tilde{\mathcal{A}}_{0} (\alpha(M^{2})) + \mathcal{O}(\alpha^{3}), \tag{1.52}$$

mit $\mathcal{L}(Q^2) = \ln(Q^2/M^2)$ und $\alpha \equiv \alpha(M^2)$ renormiert an der Skala der Eichbosonmasse.

Der Vektor $\tilde{\mathcal{A}}_0(\alpha)$ wird in der Kopplungskonstanten entwickelt:

$$\tilde{\mathcal{A}}_0(\alpha) = \mathcal{A}^{\lambda} + \frac{\alpha}{4\pi} \tilde{\mathcal{A}}_0^{(1)} + \left(\frac{\alpha}{4\pi}\right)^2 \tilde{\mathcal{A}}_0^{(2)} + \mathcal{O}(\alpha^3), \qquad (1.53)$$

und man definiert die Aufspaltung

$$\tilde{\mathcal{A}}_{0}^{(1)} = \tilde{A}_{0LL}^{(1)\lambda} \mathcal{A}_{LL}^{\lambda} + \tilde{A}_{0LR}^{(1)\lambda} \mathcal{A}_{LR}^{\lambda} + \tilde{A}_{0LL}^{(1)d} \mathcal{A}_{LL}^{d} + \tilde{A}_{0LR}^{(1)d} \mathcal{A}_{LR}^{d}. \tag{1.54}$$

Für die vorliegende Analyse wird $\tilde{\mathcal{A}}_0^{(2)}$ nicht benötigt. Außerdem genügt der Realteil von $\tilde{\mathcal{A}}_0^{(1)}$, der in [22] für eine SU(N)-Theorie berechnet wurde:

$$\operatorname{Re} \tilde{A}_{0\ LL}^{(1)\lambda} = \left(C_F - \frac{T_F}{N} \right) f(x_+, x_-) + C_A \left(\pi^2 + \frac{85}{9} \right) - \frac{20}{9} T_F n_f - \frac{8}{9} T_F n_s ,$$

$$\operatorname{Re} \tilde{A}_{0\ LR}^{(1)\lambda} = - \left(C_F - \frac{T_F}{N} - \frac{C_A}{2} \right) f(x_-, x_+) + C_A \left(\pi^2 + \frac{85}{9} \right) - \frac{20}{9} T_F n_f - \frac{8}{9} T_F n_s ,$$

$$\operatorname{Re} \tilde{A}_{0\ LL}^{(1)d} = \frac{C_F T_F}{N} f(x_+, x_-),$$

$$\operatorname{Re} \tilde{A}_{0\ LR}^{(1)d} = -\frac{C_F T_F}{N} f(x_-, x_+),$$
(1.55)

mit

$$f(x_+, x_-) = \frac{2}{x_+} \ln(x_-) + \frac{x_- - x_+}{x_+^2} \ln^2(x_-)$$
 (1.56)

und $x_{\pm} = \frac{1}{2}(1 \pm \cos \theta)$ aus (1.40). Im SU(2)-Higgs-Modell sind $N=2, n_s=1$ sowie C_F, C_A und T_F aus Gl. (1.12) einzusetzen; n_f steht für die Zahl der Fermionen.

Die Matrix $\chi(\alpha)$ ist universal und nicht davon abhängig, ob die Eichbosonen massiv oder masselos sind. Insbesondere stimmen die Koeffizienten vor den Logarithmen in der Exponentialdarstellung von $\tilde{\mathcal{A}}$,

$$\begin{split} \tilde{\mathcal{A}}(Q^2) &= \exp\left\{\frac{\alpha}{4\pi} \, \chi^{(1)} \ln\left(\frac{Q^2}{M^2}\right) \right. \\ &+ \left(\frac{\alpha}{4\pi}\right)^2 \left[-\frac{\beta_0}{2} \chi^{(1)} \ln^2\left(\frac{Q^2}{M^2}\right) + \chi^{(2)} \ln\left(\frac{Q^2}{M^2}\right)\right] \right\} \tilde{\mathcal{A}}(M^2) + \mathcal{O}(\alpha^3) \,, \end{split}$$

mit den entsprechenden Koeffizienten vor den Logarithmen $\ln(Q^2/\mu^2)$ im masselosen Fall überein. Aufgrund des einfachen Zusammenhangs zwischen Logarithmen und ε -Polen in der masselosen Amplitude können die Matrixkoeffizienten $\chi^{(1)}$ und $\chi^{(2)}$ aus den $1/\varepsilon$ -Polen des masselosen Ein- und Zweischleifenergebnisses extrahiert werden.

Der Koeffizient $\chi^{(1)}$ wurde in [6,7] berechnet. Er hängt nicht von der Chiralität ab. Seine Matrixelemente im Isospinraum lauten:

$$\chi_{\lambda\lambda}^{(1)} = -2C_A \left(\ln(x_+) + i\pi \right) + 4 \left(C_F - \frac{T_F}{N} \right) \ln\left(\frac{x_+}{x_-}\right) ,$$

$$\chi_{\lambda d}^{(1)} = 4 \frac{C_F T_F}{N} \ln\left(\frac{x_+}{x_-}\right) ,$$

$$\chi_{d\lambda}^{(1)} = 4 \ln\left(\frac{x_+}{x_-}\right) ,$$

$$\chi_{dd}^{(1)} = 0 . \tag{1.57}$$

Die Indizes der Matrixelemente wurden so definiert, dass gilt:

$$\mathcal{A} = A^{\lambda} \mathcal{A}^{\lambda} + A^{d} \mathcal{A}^{d} \quad \Rightarrow \quad \chi \mathcal{A} = \left(A^{\lambda} \chi_{\lambda \lambda} + A^{d} \chi_{d \lambda} \right) \mathcal{A}^{\lambda} + \left(A^{\lambda} \chi_{\lambda d} + A^{d} \chi_{d d} \right) \mathcal{A}^{d}.$$

Der Koeffizient $\chi^{(2)}$ wurde aus dem masselosen Zweischleifenergebnis [66, 67] extrahiert. Der vom Laufen der Kopplungskonstante unabhängige Teil von $\chi^{(2)}$ ist

proportional zum Einschleifenkoeffizienten $\chi^{(1)}$:

$$\chi^{(2)}\Big|_{\beta_0=0} = \frac{\gamma^{(2)}}{\gamma^{(1)}} \chi^{(1)},$$
 (1.58)

also

$$\left. \chi_{\lambda\lambda}^{(2)} \right|_{\beta_0 = 0} = \frac{\gamma^{(2)}}{\gamma^{(1)}} \chi_{\lambda\lambda}^{(1)} , \quad \chi_{\lambda d}^{(2)} \right|_{\beta_0 = 0} = \frac{\gamma^{(2)}}{\gamma^{(1)}} \chi_{\lambda d}^{(1)} , \quad \chi_{d\lambda}^{(2)} \right|_{\beta_0 = 0} = \frac{\gamma^{(2)}}{\gamma^{(1)}} \chi_{d\lambda}^{(1)} , \quad \chi_{dd}^{(2)} \right|_{\beta_0 = 0} = 0 .$$

Die Koeffizienten $\gamma^{(1)}$ (1.67) und $\gamma^{(2)}$ (1.71) stammen aus der Berechnung des Formfaktors und werden in Abschnitt 1.5.2 erläutert.

Der andere Teil von $\chi^{(2)}$ kommt vom Laufen der Kopplungskonstante in Gl. (1.53) und ist proportional zur β -Funktion. Über $\tilde{\mathcal{A}}_0^{(1)}$ liefert er einen isospin- und chiralitätsabhängigen Beitrag:

$$\chi^{(2)}\Big|_{\beta_0} \mathcal{A}^{\lambda} \equiv \chi^{(2)}_{\lambda\lambda,LL}\Big|_{\beta_0} \mathcal{A}^{\lambda}_{LL} + \chi^{(2)}_{\lambda\lambda,LR}\Big|_{\beta_0} \mathcal{A}^{\lambda}_{LR} + \chi^{(2)}_{\lambda d,LL}\Big|_{\beta_0} \mathcal{A}^{d}_{LL} + \chi^{(2)}_{\lambda d,LR}\Big|_{\beta_0} \mathcal{A}^{d}_{LR}$$

$$= -\beta_0 \left(\tilde{A}^{(1)\lambda}_{0 LL} \mathcal{A}^{\lambda}_{LL} + \tilde{A}^{(1)\lambda}_{0 LR} \mathcal{A}^{\lambda}_{LR} + \tilde{A}^{(1)d}_{0 LL} \mathcal{A}^{d}_{LL} + \tilde{A}^{(1)d}_{0 LR} \mathcal{A}^{d}_{LR} \right). \quad (1.59)$$

Mit den angegebenen Ergebnissen für $\tilde{\mathcal{A}}_0^{(1)}$ (1.55), $\chi^{(1)}$ (1.57) und $\chi^{(2)}$ (1.58,1.59) ist die reduzierte Amplitude $\tilde{\mathcal{A}}$ bis zur Ordnung α^2 in logarithmischer Näherung bekannt. In der Zweischleifennäherung fehlt lediglich die nichtlogarithmische Konstante $\tilde{\mathcal{A}}_0^{(2)}$, wie an Gl. (1.52) zu sehen ist.

Der nächste Schritt in der Auswertung der Vierfermionamplitude \mathcal{A} ist also die Berechnung des Formfaktors F, der entsprechend Gl. (1.46) quadratisch in \mathcal{A} eingeht.

1.5.2 Der Formfaktor

Die Auswertung des im vorigen Abschnitt in Gl. (1.44) definierten Formfaktors F eines abelschen Vektorstroms erfordert im Allgemeinen die Berechnung von Vertexkorrekturen. Das Interesse dieser Arbeit gilt jedoch dem Hochenergielimes $Q^2 \gg M^2$, in dem die Massen der Fermionen vernachlässigt werden. Außerdem verzichtet dieser sogenannte Sudakov-Limes auf Terme, die mit mindestens einem Faktor M^2/Q^2 unterdrückt sind. Das asymptotische Verhalten des Formfaktors ist dann durch die folgende Evolutionsgleichung gegeben [59–62]:

$$\frac{\partial F(Q^2)}{\partial \ln Q^2} = \left[\int_{M^2}^{Q^2} \frac{\mathrm{d}x}{x} \, \gamma(\alpha(x)) + \zeta(\alpha(Q^2)) + \xi(\alpha(M^2)) \right] F(Q^2) \,, \tag{1.60}$$

mit den anomalen Dimension γ , ζ und ξ . Die Lösung dieser Gleichung kann folgendermaßen geschrieben werden:

$$F(Q^2) = F_0(\alpha(M^2)) \exp\left\{ \int_{M^2}^{Q^2} \frac{\mathrm{d}x}{x} \left[\int_{M^2}^x \frac{\mathrm{d}x'}{x'} \gamma(\alpha(x')) + \zeta(\alpha(x)) + \xi(\alpha(M^2)) \right] \right\}.$$
(1.61)

Der Faktor $F_0(\alpha(M^2)) = F(M^2)$ muss aus den Anfangsbedingungen bestimmt werden. Zur Auswertung der Integrale in (1.61) werden die anomalen Dimensionen entsprechend Gl. (1.50) in der Kopplungskonstanten entwickelt, und für die laufende Kopplungskonstante selbst wird Gl. (1.51) eingesetzt. Der Formfaktor lässt sich dann mit den Logarithmen $\mathcal{L}(Q^2) = \ln(Q^2/M^2)$ und den Koeffizienten der anomalen Dimensionen schreiben:

$$F(Q^{2}) = \left[1 + \frac{\alpha}{4\pi} F_{0}^{(1)} + \left(\frac{\alpha}{4\pi}\right)^{2} F_{0}^{(2)}\right] \exp\left\{\frac{\alpha}{4\pi} \left[\frac{1}{2}\gamma^{(1)}\mathcal{L}^{2} + \left(\zeta^{(1)} + \xi^{(1)}\right)\mathcal{L}\right] + \left(\frac{\alpha}{4\pi}\right)^{2} \left[-\frac{\beta_{0}}{6}\gamma^{(1)}\mathcal{L}^{3} + \frac{1}{2}\left(\gamma^{(2)} - \beta_{0}\zeta^{(1)}\right)\mathcal{L}^{2} + \left(\zeta^{(2)} + \xi^{(2)}\right)\mathcal{L}\right]\right\} + \mathcal{O}(\alpha^{3}),$$

$$(1.62)$$

mit $\mathcal{L} = \ln(Q^2/M^2)$ und $\alpha \equiv \alpha(M^2)$. Schreibt man die Störungsreihe des Formfaktors entsprechend

$$F = 1 + \frac{\alpha}{4\pi} F^{(1)} + \left(\frac{\alpha}{4\pi}\right)^2 F^{(2)}, \qquad (1.63)$$

so erhält man:

$$F^{(1)} = \frac{1}{2} \gamma^{(1)} \mathcal{L}^2 + \left(\zeta^{(1)} + \xi^{(1)}\right) \mathcal{L} + F_0^{(1)}, \qquad (1.64)$$

$$F^{(2)} = \frac{1}{8} \left(\gamma^{(1)}\right)^2 \mathcal{L}^4 + \frac{1}{2} \left(\zeta^{(1)} + \xi^{(1)} - \frac{\beta_0}{3}\right) \gamma^{(1)} \mathcal{L}^3$$

$$+ \frac{1}{2} \left[\gamma^{(2)} + \left(\zeta^{(1)} + \xi^{(1)}\right)^2 - \beta_0 \zeta^{(1)} + F_0^{(1)} \gamma^{(1)}\right] \mathcal{L}^2$$

$$+ \left[\zeta^{(2)} + \xi^{(2)} + F_0^{(1)} \left(\zeta^{(1)} + \xi^{(1)}\right)\right] \mathcal{L} + F_0^{(2)}. \qquad (1.65)$$

Im Gegensatz zur reduzierten Amplitude $\tilde{\mathcal{A}}$ weist der Formfaktor eine doppeltlogarithmische Struktur auf: Der Einschleifenkoeffizient $F^{(1)}$ besitzt Logarithmen bis zur quadratischen Potenz, der Zweischleifenkoeffizient $F^{(2)}$ sogar bis zur Potenz 4. Diese Logarithmenstruktur kommt von den kollinearen und soften Divergenzen im Fall verschwindender Eichbosonmasse. Allgemein enthält jede Ordnung α^n der Störungstheorie im Hochenergielimes Logarithmen $\ln^{2n-j}(Q^2/M^2)$ mit $j=0,\ldots,2n$. Im Limes sehr großer Impulsüberträge \mathbb{Q}^2 wird der Formfaktor von den führenden Logarithmen,

$$\alpha^n \ln^{2n} \left(\frac{Q^2}{M^2} \right),$$

dominiert. Diese heißen auch Sudakov-Logarithmen. Man spricht von der führenden logarithmischen Näherung (LL = leading logarithmic approximation), wenn man sich in jeder Ordnung der Störungstheorie auf die Logarithmen der jeweils höchsten Potenz beschränkt. Bei mittleren Energien (also für $M \approx 80\,\text{GeV}$ im TeV-Bereich) können jedoch auch die Logarithmen mit niedrigerer Potenz einen wichtigen Beitrag zum Formfaktor liefern. Man spricht von der nächstführenden logarithmischen Näherung (NLL = next-to-leading logarithmic), wenn die Logarithmen $\alpha^n \ln^{2n-j}$ mit j=0,1 betrachtet werden. Analog fortgesetzt bedeuteten NNLL=N²LL die Logarithmen mit j=0,1,2, NNNLL=N³LL die Logarithmen mit $j=0,\ldots,3$ und so weiter.

Die anomalen Dimensionen γ und ζ sind universal, ähnlich wie die Matrix χ in der Evolutionsgleichung der Vierfermionamplitude. Sie hängen nicht davon ab, ob die Eichbosonen masselos oder massiv sind [59–62]. Deshalb stimmen die aus $\gamma^{(1,2)}$ und $\zeta^{(1,2)}$ gebildeten Koeffizienten vor den Logarithmen $\ln(Q^2/M^2)$ in der Exponentialdarstellung (1.62) des Formfaktors mit den Koeffizienten vor den jeweiligen Logarithmen $\ln(Q^2/\mu^2)$ im masselosen Formfaktor überein. Aufgrund des einfachen Zusammenhangs zwischen den Logarithmen und den ε -Polen im masselosen Fall können $\gamma^{(1)}$ und $\gamma^{(2)}$ aus den Koeffizienten der $1/\varepsilon^2$ -Pole der masselosen Ein- und Zweischleifenergebnisse extrahiert werden, $\zeta^{(1)}$ und $\zeta^{(2)}$ aus den Koeffizienten der $1/\varepsilon$ -Pole [62, 68].

Der masselose Einschleifenformfaktor für eine SU(N)-Eichgruppe ist bekannt:

$$F_{M=0}^{(1)} = C_F \left(\frac{\mu^2}{Q^2}\right)^{\varepsilon} S_{\varepsilon} \left\{ -\frac{2}{\varepsilon^2} - \frac{3}{\varepsilon} + \frac{\pi^2}{6} - 8 + \varepsilon \left(\frac{14}{3}\zeta_3 + \frac{\pi^2}{4} - 16\right) \right\} + \mathcal{O}(\varepsilon^2),$$

$$(1.66)$$

mit $S_{\varepsilon}=(4\pi)^{\varepsilon}\,e^{-\varepsilon\gamma_E}$ und der Riemannschen ζ -Funktion $\zeta_3\approx 1,20206$ (B.8). Daraus ergeben sich

$$\gamma^{(1)} = -2C_F, \quad \zeta^{(1)} = 3C_F.$$
 (1.67)

Die Funktionen ξ und F_0 sind nicht universal. Sie hängen insbesondere von den Anfangsbedingungen der Evolutionsgleichungen, von der Regularisierung der IR-Divergenzen und von der Massengenerierung der Eichbosonen durch den Higgs-Sektor des Modells ab. Die Bestimmung von ξ und F_0 erfordert also die Kenntnis des massiven Formfaktors. In Einschleifennäherung ist das Resultat bekannt:

$$F^{(1)} = -C_F \left(\mathcal{L}^2 - 3\mathcal{L} + \frac{2}{3}\pi^2 + \frac{7}{2} \right). \tag{1.68}$$

Daraus lassen sich im Vergleich mit (1.64) die übrigen Einschleifenkoeffizienten bestimmen:

$$\xi^{(1)} = 0, \quad F_0^{(1)} = -C_F \left(\frac{2}{3}\pi^2 + \frac{7}{2}\right).$$
 (1.69)

Die Kenntnis der Einschleifenkoeffizienten kombiniert mit β_0 erlaubt bereits die Vorhersage der beiden führenden Zweischleifenlogarithmen $\alpha^2(\mathcal{L}^4, \mathcal{L}^3)$ entsprechend Gl. (1.65). Auch für die NNLL-Näherung inklusive des quadratischen Logarithmus fehlt nur ein Zweischleifenkoeffizient: $\gamma^{(2)}$. Dieser kann aus dem masselosen Zweischleifenergebnis [69, 70] bestimmt werden:

$$F_{M=0}^{(2)} = C_F \left(\frac{\mu^2}{Q^2}\right)^{2\varepsilon} S_{\varepsilon}^2 \left\{ C_F \frac{1}{\varepsilon} \left(-12\zeta_3 + \pi^2 - \frac{3}{4} \right) + C_A \left[-\frac{11}{6\varepsilon^3} + \frac{1}{\varepsilon^2} \left(\frac{\pi^2}{6} - \frac{83}{9} \right) + \frac{1}{\varepsilon} \left(13\zeta_3 - \frac{11}{36}\pi^2 - \frac{4129}{108} \right) \right] + T_F n_f \left[\frac{2}{3\varepsilon^3} + \frac{28}{9\varepsilon^2} + \frac{1}{\varepsilon} \left(\frac{\pi^2}{9} + \frac{353}{27} \right) \right] + T_F n_s \left[\frac{1}{6\varepsilon^3} + \frac{17}{18\varepsilon^2} + \frac{1}{\varepsilon} \left(\frac{\pi^2}{36} + \frac{455}{108} \right) \right] \right\} + \left(\frac{1}{2} F_{M=0}^{(1)} - \frac{\beta_0}{\varepsilon} \right) F_{M=0}^{(1)} + \mathcal{O}(\varepsilon^0) ,$$

$$(1.70)$$

wobei das masselose Einschleifenergebnis $F_{M=0}^{(1)}$ (1.66) eingesetzt werden muss. Das Ergebnis (1.70) erlaubt, wie oben beschrieben, die Extraktion der Zweischleifenkoeffizienten $\gamma^{(2)}$ und $\zeta^{(2)}$:

$$\gamma^{(2)} = C_F \left[C_A \left(\frac{2}{3} \pi^2 - \frac{134}{9} \right) + \frac{40}{9} T_F n_f + \frac{16}{9} T_F n_s \right],$$

$$\zeta^{(2)} = C_F \left[C_F \left(24 \zeta_3 - 2\pi^2 + \frac{3}{2} \right) + C_A \left(-26 \zeta_3 + \frac{11}{9} \pi^2 + \frac{2545}{54} \right) - T_F n_f \left(\frac{4}{9} \pi^2 + \frac{418}{27} \right) - T_F n_s \left(\frac{\pi^2}{9} + \frac{311}{54} \right) \right].$$

$$(1.71)$$

Damit ist nun die NNLL-Näherung von $F^{(2)}$ komplett, ohne dass dafür eine massive Zweischleifenrechnung nötig gewesen wäre:

$$F^{(2)} = C_F \left\{ C_F \left[\frac{1}{2} \mathcal{L}^4 - 3\mathcal{L}^3 + \left(\frac{2}{3} \pi^2 + 8 \right) \mathcal{L}^2 \right] + C_A \left[\frac{11}{9} \mathcal{L}^3 + \left(\frac{\pi^2}{3} - \frac{233}{18} \right) \mathcal{L}^2 \right] + T_F n_f \left[-\frac{4}{9} \mathcal{L}^3 + \frac{38}{9} \mathcal{L}^2 \right] + T_F n_s \left[-\frac{1}{9} \mathcal{L}^3 + \frac{25}{18} \mathcal{L}^2 \right] \right\} + \mathcal{O}(\mathcal{L}^1) \,. \tag{1.73}$$

Da C_F weder in β_0 enthalten ist noch quadratisch in $\gamma^{(2)}$ vorkommt, ist der C_F^2 -Term in (1.73) durch $\frac{1}{2}(F^{(1)})^2$ gegeben.

Diese NNLL-Näherung gilt mit $n_s=1$ auch für ein SU(2)-Higgs-Modell. Die Abhängigkeit vom Mechanismus der spontanen Symmetriebrechung und von der Higgs-Masse kommt erst im linearen Logarithmus über $\xi^{(2)}$ ins Spiel. Setzt man die SU(2)-Werte für C_F , C_A und T_F (1.12) sowie $n_s=1$ ein, so erhält man:

$$F^{(2)} = \frac{9}{32}\mathcal{L}^4 + \left(\frac{5}{48} - \frac{n_f}{6}\right)\mathcal{L}^3 + \left(\frac{7}{8}\pi^2 - \frac{691}{48} + \frac{19}{12}n_f\right)\mathcal{L}^2 + \mathcal{O}(\mathcal{L}^1). \tag{1.74}$$

Numerisch ergibt dies:

$$F^{(2)} = \underbrace{0.28 \,\mathcal{L}^4}_{180} + \underbrace{(0.10 - 0.17 \,n_f) \,\mathcal{L}^3}_{13 - 21 \,n_f} + \underbrace{(-5.8 + 1.6 \,n_f) \,\mathcal{L}^2}_{-150 + 40 \,n_f} + \mathcal{O}(\mathcal{L}^1) \,, \tag{1.75}$$

wobei für die Werte unterhalb der Klammern $M=80\,\mathrm{GeV}$ und $Q=1\,\mathrm{TeV}$ eingesetzt wurde. Die Reihe der Logarithmenpotenzen scheint im TeV-Bereich nicht gut zu "konvergieren". Die Größe und auch das Vorzeichen des zweiten und dritten Koeffizienten hängen von der Zahl der Fermionen ab. Für $n_f=6$ (siehe Abschnitt 6.2.2) trägt der kubische Logarithmus den Wert -120, der quadratische Logarithmus den Wert +95 zu $F^{(2)}$ bei (alle Zahlen jeweils auf 2 gültige Stellen gerundet). Alle drei logarithmischen Beiträge sind von der gleichen Größenordnung, und durch das wechselnde Vorzeichen treten große gegenseitige Kompensationen zwischen den logarithmischen Termen auf.

Für eine Präzisionsrechnung, die Vorhersagen für den Formfaktor und die Vierfermionamplitude mit einem Fehler relativ zum Born-Ergebnis von weniger als 1% treffen will, reicht die NNLL-Näherung des Zweischleifenformfaktors nicht aus. Deshalb ist die Berechnung des Formfaktors mit Eichbosonmasse M und Higgs-Mechanismus auf Zweischleifenniveau nötig.

Die nächsten Kapitel beschäftigen sich mit verschiedenen Beiträgen zum massiven Zweischleifenformfaktor: die fermionischen (n_f) und skalaren (n_s) Beiträge in Kapitel 2, die abelschen Beiträge (C_F^2) in Kapitel 3 und die nichtabelschen Beiträge (C_FC_A) inklusive der Higgs-Beiträge in Kapitel 4.

Zunächst aber werden im nächsten Abschnitt die Einschleifenergebnisse, insofern sie für Beiträge zum Zweischleifenformfaktor eine Rolle spielen, aufgeführt.

1.6 Einschleifenergebnisse

Für den Formfaktor in Zweischleifennäherung werden auch Produkte von Einschleifenergebnissen benötigt. Nicht nur der gesamte Einschleifenformfaktor, sondern

ebenso die einzelnen Beiträge dazu, die Vertexkorrektur und die Selbstenergiekorrektur, werden verlangt. Und weil die Einschleifenergebnisse mit Termen multipliziert werden, die $1/\varepsilon^2$ -Pole enthalten, müssen sie bis einschließlich zur Ordnung ε^2 bekannt sein.

Die beiden Beiträge zum Einschleifenergebnis sind in Abb. 1.4 dargestellt.



Abbildung 1.4: Einschleifen-Vertexdiagramm und -Selbstenergiediagramm

Der Beitrag der Vertexkorrektur zum Einschleifenformfaktor ist im Hochenergielimes $Q^2 \gg M^2$ durch folgenden Ausdruck gegeben:

$$F_{v,1} = C_F \frac{\alpha}{4\pi} \left(\frac{\mu^2}{M^2}\right)^{\varepsilon} S_{\varepsilon} \left\{ \frac{1}{\varepsilon} - \mathcal{L}^2 + 3\mathcal{L} - \frac{2}{3}\pi^2 - 4 + \varepsilon \left[\frac{1}{3}\mathcal{L}^3 - \frac{3}{2}\mathcal{L}^2 + \left(-\frac{\pi^2}{3} + 8 \right) \mathcal{L} + 2\zeta_3 + \frac{7}{12}\pi^2 - 12 \right] + \varepsilon^2 \left[-\frac{1}{12}\mathcal{L}^4 + \frac{1}{2}\mathcal{L}^3 + \left(\frac{\pi^2}{12} - 4\right) \mathcal{L}^2 + \left(-4\zeta_3 - \frac{\pi^2}{4} + 16 \right) \mathcal{L} - \frac{13}{180}\pi^4 + \frac{17}{3}\zeta_3 + \pi^2 - 28 \right] \right\} + \mathcal{O}(\varepsilon^3) + \mathcal{O}\left(\frac{M^2}{Q^2}\right), \tag{1.76}$$

mit $\mathcal{L} = \ln(Q^2/M^2)$ und $S_{\varepsilon} = (4\pi)^{\varepsilon} e^{-\varepsilon \gamma_E}$. Zur Renormierung der Fermion-Feldstärke wird zweimal der Faktor $\sqrt{Z_f}$ benötigt, also insgesamt gerade einmal der Faktor $Z_f = 1 + \Sigma$ entsprechend (1.32). Wenn F_v der Beitrag der Vertexkorrekturen zum Formfaktor ist, gilt in Einschleifennäherung:

$$F = F_v \cdot Z_f = 1 + \underbrace{F_{v,1} + \Sigma_1}_{\mathcal{O}(\alpha)} + \mathcal{O}(\alpha^2). \tag{1.77}$$

Die Einschleifen-Selbstenergiekorrektur beträgt:

$$\Sigma_1 \equiv \Sigma_1(p^2 = 0) = C_F \frac{\alpha}{4\pi} \left(\frac{\mu^2}{M^2}\right)^{\varepsilon} S_{\varepsilon} \left\{ -\frac{1}{\varepsilon} + \frac{1}{2} + \varepsilon \left(-\frac{\pi^2}{12} + \frac{1}{4} \right) + \varepsilon^2 \left(\frac{1}{3} \zeta_3 + \frac{\pi^2}{24} + \frac{1}{8} \right) \right\} + \mathcal{O}(\varepsilon^3) . \quad (1.78)$$

Der gesamte Einschleifenformfaktor ist durch

$$F_{1} = F_{v,1} + \Sigma_{1}$$

$$= C_{F} \frac{\alpha}{4\pi} \left(\frac{\mu^{2}}{M^{2}}\right)^{\varepsilon} S_{\varepsilon} \left\{ -\mathcal{L}^{2} + 3\mathcal{L} - \frac{2}{3}\pi^{2} - \frac{7}{2} + \varepsilon \left[\frac{1}{3}\mathcal{L}^{3} - \frac{3}{2}\mathcal{L}^{2} + \left(-\frac{\pi^{2}}{3} + 8 \right)\mathcal{L} + 2\zeta_{3} + \frac{\pi^{2}}{2} - \frac{47}{4} \right] + \varepsilon^{2} \left[-\frac{1}{12}\mathcal{L}^{4} + \frac{1}{2}\mathcal{L}^{3} + \left(\frac{\pi^{2}}{12} - 4\right)\mathcal{L}^{2} + \left(-4\zeta_{3} - \frac{\pi^{2}}{4} + 16 \right)\mathcal{L} - \frac{13}{180}\pi^{4} + 6\zeta_{3} + \frac{25}{24}\pi^{2} - \frac{223}{8} \right] \right\} + \mathcal{O}(\varepsilon^{3}) + \mathcal{O}\left(\frac{M^{2}}{Q^{2}}\right)$$

$$(1.79)$$

gegeben. Dieser ist in d=4 Dimensionen endlich, die UV-Singularitäten wurden zwischen $F_{v,1}$ und Σ_1 aufgehoben.

Beim Renormieren der Kopplungskonstante gemäß Gl. (1.24) liefert F_1 einen Beitrag zum Zweischleifenformfaktor. Der Parameter α in (1.79) ist zunächst eigentlich die nackte Kopplung α_0 . Durch

$$\frac{\alpha_0}{4\pi} = \frac{\alpha}{4\pi} - \frac{\beta_0}{\varepsilon} \left(\frac{\alpha}{4\pi}\right)^2 + \mathcal{O}(\alpha^3)$$

entsprechend (1.24) und (1.26) ergibt sich der Zweischleifenbeitrag

$$\Delta F_2^{\alpha} = -\beta_0 C_F \left(\frac{\alpha}{4\pi}\right)^2 \left(\frac{\mu^2}{M^2}\right)^{\varepsilon} S_{\varepsilon} \left\{ \frac{1}{\varepsilon} \left[-\mathcal{L}^2 + 3\mathcal{L} - \frac{2}{3}\pi^2 - \frac{7}{2} \right] + \frac{1}{3}\mathcal{L}^3 - \frac{3}{2}\mathcal{L}^2 + \left(-\frac{\pi^2}{3} + 8 \right) \mathcal{L} + 2\zeta_3 + \frac{\pi^2}{2} - \frac{47}{4} \right\} + \mathcal{O}(\varepsilon) + \mathcal{O}\left(\frac{M^2}{Q^2}\right).$$
(1.80)

Mit β_0 aus Gl. (1.27) erhält man Terme, die, je nach Farbfaktor C_A , $T_F n_f$ oder $T_F n_s$, zum nichtabelschen Formfaktor (Kapitel 4) oder zum fermionischen Formfaktor (Kapitel 2) einen Beitrag liefern.

Ein weiterer Renormierungsbeitrag ergibt sich aus F_1 durch Einsetzen der renormierten Masse entsprechend Gl. (1.35). Das führt zu den folgenden Transformationen:

$$\left(\frac{\mu^2}{M_0^2}\right)^{\varepsilon} = \left(\frac{\mu^2}{M^2}\right)^{\varepsilon} \left[1 + \varepsilon \operatorname{Re} \Pi_1(M^2)\right] + \mathcal{O}(\alpha^2),$$

$$\ln^n \left(\frac{Q^2}{M_0^2}\right) = \ln^n \left(\frac{Q^2}{M^2}\right) + n \cdot \operatorname{Re} \Pi_1(M^2) \ln^{n-1} \left(\frac{Q^2}{M^2}\right) + \mathcal{O}(\alpha^2),$$

mit der Eichboson-Selbstenergie Π_1 entsprechend (1.33). Durch Einsetzen der Transformationen in F_1 (1.79) ergibt sich der folgende Renormierungsbeitrag in Zweischleifenordnung:

$$\Delta F_2^M = \operatorname{Re} \Pi_1(M^2) C_F \frac{\alpha}{4\pi} \left(\frac{\mu^2}{M^2}\right)^{\varepsilon} S_{\varepsilon} \left\{ -2\mathcal{L} + 3 + \varepsilon \left(-\pi^2 + \frac{9}{2} \right) + \mathcal{O}(\varepsilon^2) \right\} + \mathcal{O}\left(\frac{M^2}{Q^2}\right).$$

$$(1.81)$$

Da Π_1 in der Regel einen $1/\varepsilon$ -Pol enthält, werden die Terme in (1.81) bis zur linearen Ordnung in ε benötigt. Die Eichboson-Selbstenergie Π_1 erfährt nichtabelsche (C_A) und fermionische Beiträge (n_f) sowie Higgs-Beiträge. Diese werden in den Kapiteln 2 und 4 vorgestellt und in (1.81) eingesetzt.

Kapitel 2

Fermionische und skalare Beiträge zum Zweischleifenformfaktor

Dieses Kapitel referiert die Ergebnisse aus meiner Diplomarbeit [71]. Dort ging es um die fermionischen Beiträge zum Zweischleifenformfaktor, also die Terme proportional zur Anzahl n_f der Fermionen. In Zusammenarbeit mit S. Moch wurde zusätzlich die Gültigkeit des Hochenergielimes getestet und das Ergebnis der Diplomarbeit um den Beitrag masseloser skalarer Teilchen (n_s) erweitert. Die Ergebnisse dieses Kapitels sind in [23] veröffentlicht.

2.1 Beiträge von Fermionschleifen

Zu den fermionischen Beiträgen des Formfaktors gehören das Vertexdiagramm und das Selbstenergiediagramm in Abb. 2.1.

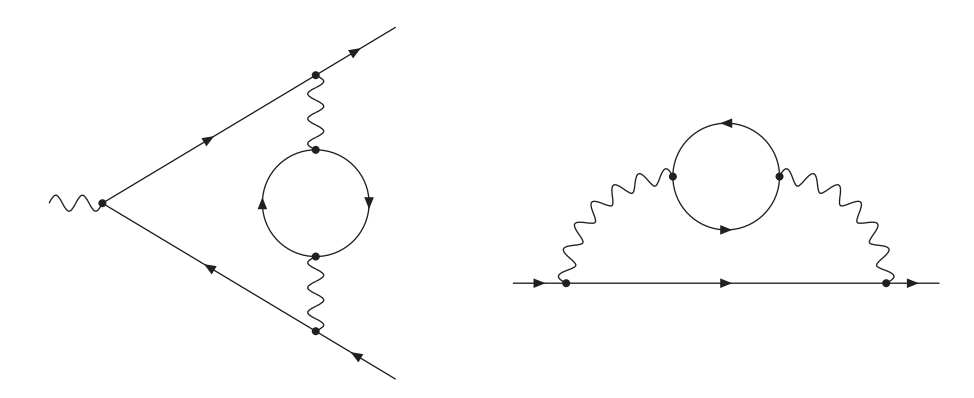


Abbildung 2.1: Vertex- und Selbstenergiediagramm der fermionischen Beiträge

Die Amplitude des Vertexdiagramms lässt sich für ein nichtabelsches Modell folgendermaßen schreiben (ohne die Spinoren der externen Fermionen):

$$\mathcal{F}^{\mu}_{v,n_f} = \mu^{4\varepsilon} \int \frac{\mathrm{d}^d k}{(2\pi)^d} ig\gamma^{\nu} t^a \frac{i}{\not k + \not p_1} \gamma^{\mu} \frac{i}{\not k + \not p_2} ig\gamma^{\rho} t^b \left(\frac{-i}{k^2 - M^2}\right)^2 \times (-1) n_f \int \frac{\mathrm{d}^d \ell}{(2\pi)^d} \operatorname{Tr} \left(ig\gamma_{\nu} t^a \frac{i}{\not \ell} ig\gamma_{\rho} t^b \frac{i}{\not k + \not \ell}\right), \quad (2.1)$$

wobei die Spur sowohl über den Spinorraum der γ -Matrizen als auch über den Isospinraum der SU(2)-Dubletts geht. Gegenüber der Diplomarbeit, wo die Rechnung für ein abelsches U(1)-Modell durchgeführt wurde, erhält man hier mittels Gl. (1.10) den SU(2)-Farbfaktor

$$t^a t^b \operatorname{Tr}(t^a t^b) = C_F T_F \mathbf{1}. (2.2)$$

Um diesen Farbfaktor wird das Ergebnis des Vertexdiagramms aus der Diplomarbeit [71] erweitert:

$$F_{v,n_f} = C_F T_F n_f \left(\frac{\alpha}{4\pi}\right)^2 \left(\frac{\mu^2}{M^2}\right)^{2\varepsilon} S_{\varepsilon}^2 \left\{ \frac{1}{\varepsilon} \left[\frac{4}{3} \mathcal{L}^2 - \frac{20}{3} \mathcal{L} + \frac{8}{9} \pi^2 + \frac{29}{3} \right] - \frac{8}{9} \mathcal{L}^3 + \frac{56}{9} \mathcal{L}^2 + \left(\frac{4}{9} \pi^2 - \frac{238}{9} \right) \mathcal{L} - \frac{8}{3} \zeta_3 - \frac{38}{27} \pi^2 + \frac{749}{18} \right\} + \mathcal{O}(\varepsilon) + \mathcal{O}\left(\frac{M^2}{Q^2}\right), \tag{2.3}$$

mit
$$\mathcal{L} = \ln(Q^2/M^2)$$
 und $S_{\varepsilon} = (4\pi)^{\varepsilon} e^{-\varepsilon \gamma_E}$.

Zur Renormierung der Fermion-Feldstärke wird der Faktor Z_f entsprechend (1.32) benötigt. Mit dem Formfaktorbeitrag der Vertexkorrekturen, $F_v = 1 + F_{v,1} + F_{v,2} + \mathcal{O}(\alpha^3)$, und der Fermion-Selbstenergie, $\Sigma = \Sigma_1 + \Sigma_2 + \mathcal{O}(\alpha^3)$, gilt in Zweischleifennäherung:

$$F = F_v \cdot Z_f = 1 + \underbrace{F_{v,1} + \Sigma_1}_{\mathcal{O}(\alpha)} + \underbrace{F_{v,2} + \Sigma_2 + F_{v,1} \Sigma_1}_{\mathcal{O}(\alpha^2)} + \mathcal{O}(\alpha^3). \tag{2.4}$$

Der Zweischleifenformfaktor besteht aus den Beiträgen

$$F_2 = F_{v,2} + \Sigma_2 + F_{v,1}\Sigma_1, \qquad (2.5)$$

also den Zweischleifen-Vertexkorrekturen, den Zweischleifen-Selbstenergiekorrekturen und dem Produkt aus Einschleifen-Vertexkorrektur und Einschleifen-Selbstenergiekorrektur.

Da das Produkt $F_{v,1}\Sigma_1$ proportional zu C_F^2 ist (siehe Abschnitt 1.6), spielt es nur für die abelschen Beiträge (Kapitel 3) eine Rolle. Für den fermionischen Formfaktor

fehlt neben der Vertexkorrektur nur die Selbstenergiekorrektur in Abb. 2.1. Diese wurde ebenfalls in der Diplomarbeit berechnet:

$$\Sigma_{n_f} = C_F T_F n_f \left(\frac{\alpha}{4\pi}\right)^2 \left(\frac{\mu^2}{M^2}\right)^{2\varepsilon} S_{\varepsilon}^2 \left\{-\frac{1}{\varepsilon} - \frac{1}{2}\right\} + \mathcal{O}(\varepsilon).$$
 (2.6)

Der Farbfaktor ist mit Gl. (2.2) der gleiche wie für die Vertexkorrektur.

Auch die beiden Vertexdiagramme in Abb. 2.2 tragen prinzipiell zum fermionischen Formfaktor bei. Beide Diagramme enthalten eine Fermionschleife, an die drei Eich-

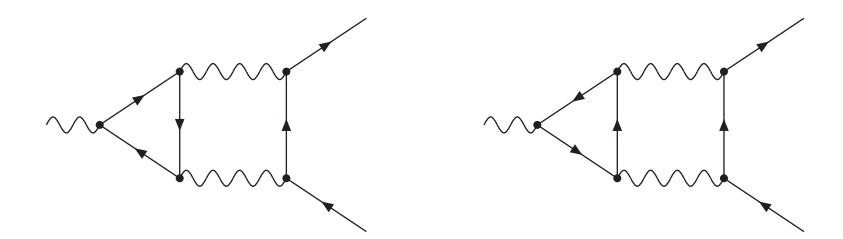


Abbildung 2.2: Vertexdiagramme mit Triangelschleife

bosonen koppeln. Die Diagramme unterscheiden sich in der Richtung des Fermionflusses durch die Schleife (gekennzeichnet durch die Pfeilrichtung). In einer abelschen Theorie verschwindet die Summe beider Beiträge nach Furrys Theorem (siehe z.B. [29,72]), da eine ungerade Zahl von Eichbosonen an die Fermionschleife koppelt. Aber auch im hier betrachteten Formfaktor des Vektorstroms, dessen zentraler Vertex eine abelsche, paritätserhaltende Kopplung darstellt, verschwindet die Summe beider Diagramme, da nur zwei nichtabelsche Eichbosonen an die Fermionschleife koppeln.

Neben den Zweischleifendiagrammen gibt es auch Renormierungsbeiträge, die proportional zu n_f sind. Das Einsetzen des n_f -Terms von β_0 (1.27) in den Renormierungsbeitrag der Kopplungskonstante (1.80) liefert:

$$\Delta F_{n_f}^{\alpha} = C_F T_F n_f \left(\frac{\alpha}{4\pi}\right)^2 \left(\frac{\mu^2}{M^2}\right)^{\varepsilon} S_{\varepsilon} \left\{ \frac{1}{\varepsilon} \left[-\frac{4}{3} \mathcal{L}^2 + 4\mathcal{L} - \frac{8}{9} \pi^2 - \frac{14}{3} \right] + \frac{4}{9} \mathcal{L}^3 - 2\mathcal{L}^2 + \left(-\frac{4}{9} \pi^2 + \frac{32}{3} \right) \mathcal{L} + \frac{8}{3} \zeta_3 + \frac{2}{3} \pi^2 - \frac{47}{3} \right\} + \mathcal{O}(\varepsilon) + \mathcal{O}\left(\frac{M^2}{Q^2}\right).$$
 (2.7)

Für die Renormierung der Eichbosonmasse M muss die Einschleifenselbstenergie des Eichbosons berechnet werden. Der fermionische (n_f) Beitrag dazu entspricht gerade der Fermionschleife im Eichbosonpropagator der Diagramme in Abb. 2.1. Entsprechend der Notation (1.33) ist diese Selbstenergie durch

$$\tilde{\Pi}_{n_f}^{\mu\nu,ab}(k) = i \,\delta^{ab} \,(g^{\mu\nu}k^2 - k^{\mu}k^{\nu}) \,\Pi_{n_f}(k^2)$$
(2.8)

mit

$$\Pi_{n_f}(k^2) = T_F n_f \frac{\alpha}{4\pi} \left(\frac{\mu^2}{-k^2 - i0} \right)^{\varepsilon} S_{\varepsilon} \left\{ -\frac{4}{3\varepsilon} - \frac{20}{9} \right\} + \mathcal{O}(\varepsilon)$$
 (2.9)

gegeben. Benötigt wird der Realteil bei $k^2 = M^2$:

$$\operatorname{Re} \Pi_{n_f}(M^2) = T_F n_f \frac{\alpha}{4\pi} \left(\frac{\mu^2}{M^2}\right)^{\varepsilon} S_{\varepsilon} \left\{ -\frac{4}{3\varepsilon} - \frac{20}{9} \right\} + \mathcal{O}(\varepsilon). \tag{2.10}$$

Eingesetzt in den Beitrag der Massenrenormierung (1.81) erhält man:

$$\Delta F_{n_f}^M = C_F T_F n_f \left(\frac{\alpha}{4\pi}\right)^2 \left(\frac{\mu^2}{M^2}\right)^{2\varepsilon} S_{\varepsilon}^2 \left\{ \frac{1}{\varepsilon} \left[\frac{8}{3} \mathcal{L} - 4 \right] + \frac{40}{9} \mathcal{L} + \frac{4}{3} \pi^2 - \frac{38}{3} \right\} + \mathcal{O}(\varepsilon) + \mathcal{O}\left(\frac{M^2}{Q^2}\right). \tag{2.11}$$

Der fermionische Formfaktor setzt sich folgendermaßen zusammen:

$$F_{2,n_f} = F_{v,n_f} + \Sigma_{n_f} + \Delta F_{n_f}^{\alpha} + \Delta F_{n_f}^{M}.$$
 (2.12)

Mit den Ergebnissen aus (2.3), (2.6), (2.7) und (2.11) folgt, zunächst für eine beliebige Renormierungsskala μ :

$$F_{2,n_f} = C_F T_F n_f \left(\frac{\alpha}{4\pi}\right)^2 \left\{ -\frac{4}{9} \mathcal{L}^3 + \frac{38}{9} \mathcal{L}^2 - \frac{34}{3} \mathcal{L} + \frac{16}{27} \pi^2 + \frac{115}{9} + \ln\left(\frac{\mu^2}{M^2}\right) \left[\frac{4}{3} \mathcal{L}^2 - 4\mathcal{L} + \frac{8}{9} \pi^2 + \frac{14}{3} \right] \right\} + \mathcal{O}(\varepsilon) + \mathcal{O}\left(\frac{M^2}{Q^2}\right). \tag{2.13}$$

Alle Pole in ε fallen heraus, das Ergebnis ist in d=4 Dimensionen endlich. Gemäß der $\overline{\rm MS}$ -Vorschrift (1.23) wurde der Faktor S_ε in die Skala μ absorbiert. Der Logarithmus $\ln(\mu^2/M^2)$ kommt von der abweichenden (μ^2/M^2) -Abhängigkeit im Beitrag der Kopplungskonstantenrenormierung und entspricht dem Laufen der Kopplung im Einschleifenformfaktor.

Wenn die Kopplungskonstante α bei $\mu=M$ renormiert wird, dann lautet der fermionische Formfaktor in d=4 Dimensionen:

$$F_{2,n_f} = C_F T_F n_f \left(\frac{\alpha}{4\pi}\right)^2 \left\{ -\frac{4}{9}\mathcal{L}^3 + \frac{38}{9}\mathcal{L}^2 - \frac{34}{3}\mathcal{L} + \frac{16}{27}\pi^2 + \frac{115}{9} \right\} + \mathcal{O}\left(\frac{M^2}{Q^2}\right). \tag{2.14}$$

Dieses Ergebnis stimmt offensichtlich mit den n_f -Termen aus der Evolutionsgleichung in (1.73) überein. Die fermionischen Beiträge wurden also in NNLL-Näherung richtig von der Evolutionsgleichung vorhergesagt. Der lineare Logarithmus und die

Konstante in (2.14) sind neu dazugekommen. Der Vergleich mit (1.65) liefert den n_f -Beitrag zum Koeffizienten $\xi^{(2)}$, da alle anderen Terme im Koeffizienten des linearen Logarithmus bereits aus (1.67), (1.69) und (1.72) bekannt sind:

$$\xi^{(2)}\Big|_{n_f} = C_F T_F n_f \left(\frac{4}{9}\pi^2 + \frac{112}{27}\right).$$
 (2.15)

Die numerische Größe der Logarithmenkoeffizienten im Ergebnis (2.14) stellt sich wie folgt dar:

$$F_{2,n_f} = C_F T_F n_f \left(\frac{\alpha}{4\pi}\right)^2 \left(-0.\bar{4} \mathcal{L}^3 + 4.\bar{2} \mathcal{L}^2 - 11.\bar{3} \mathcal{L} + 18.6264\right). \tag{2.16}$$

Das Muster der alternierenden Koeffizienten zieht sich durch alle Terme: Die Größe der Koeffizienten nimmt von \mathcal{L}^3 bis hin zur Konstanten zu und wechselt von Term zu Term das Vorzeichen.

Um die Größe der Beiträge einzelner Logarithmen abzuschätzen, wird $\alpha/(4\pi) = 0.003 \approx \alpha_{\text{QED}}/(4\pi \sin^2 \theta_W)$ gesetzt sowie $C_F T_F = 3/8$ für die schwache SU(2)-Eichgruppe und $n_f = 6$ Fermion-Dubletts. Bei $M = 80 \,\text{GeV} \approx M_W$ und dem Impulsübertrag $Q = 1 \,\text{TeV}$ lauten die Beiträge der logarithmischen Terme zum Formfaktor in Promille (d.h. mit 10^3 multipliziert):

$$\mathcal{L}^3 \to -1.2$$
, $\mathcal{L}^2 \to +2.2$, $\mathcal{L}^1 \to -1.2$, $\mathcal{L}^0 \to +0.38$. (2.17)

Der größte Beitrag im TeV-Bereich stammt vom quadratischen Logarithmus. Der lineare Logarithmus trägt bereits weniger bei, und die Konstante ist relativ klein. Es zeigt sich also, dass die logarithmische Reihe nach dem quadratischen Term zu "konvergieren" beginnt. Mindestens aber der lineare Logarithmus ist für eine gute Genauigkeit des fermionischen Beitrags nötig.

Erstaunlich ist auch, dass die Summe aller Beiträge bei $Q=1\,\text{TeV}$ im Vergleich zu den einzelnen Termen mit 0,24 Promille sehr klein ist. Dieses Verhalten des fermionischen Formfaktors lässt sich gut am Schaubild in Abb. 2.3 ablesen, wo die sukzessiven logarithmischen Näherungen gezeichnet sind: NLL mit \mathcal{L}^3 , NNLL mit \mathcal{L}^3 und \mathcal{L}^2 , N³LL mit allen Logarithmen ohne die Konstante und der komplette Formfaktor mit allen Beiträgen im Hochenergielimes.

Da die Diagramme mit Fermionschleife eine besonders einfache Topologie besitzen und zudem in der inneren Schleife keine Massen auftreten, konnte der fermionische Beitrag zum Zweischleifenformfaktor neben dem Hochenergielimes auch exakt für

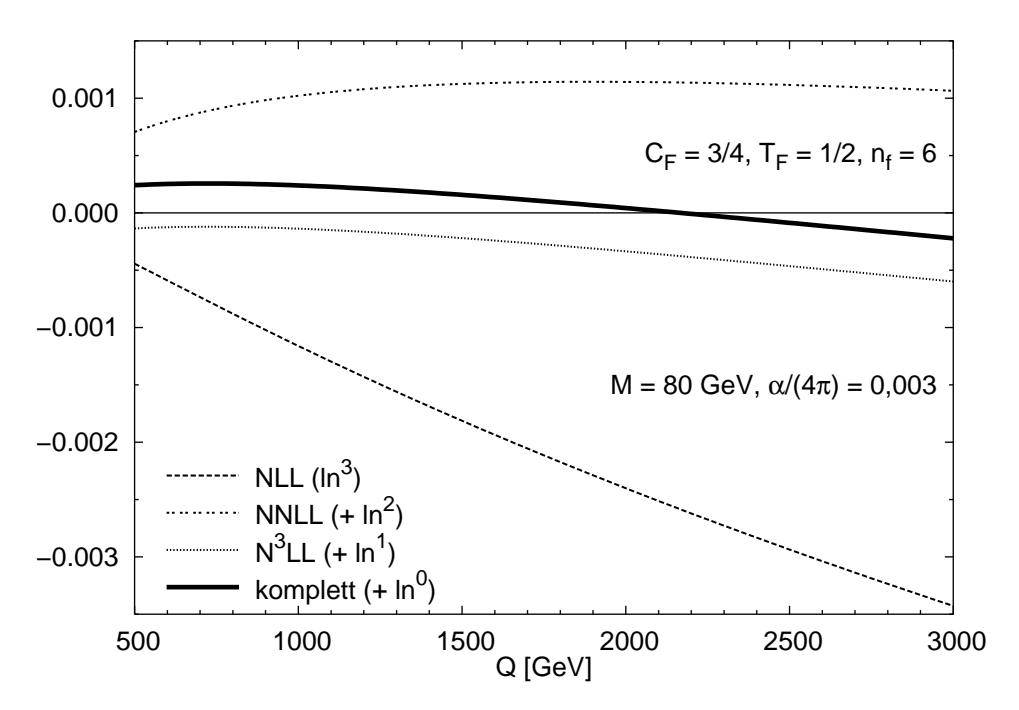


Abbildung 2.3: Fermionische Beiträge zum Zweischleifenformfaktor in sukzessiven logarithmischen Näherungen

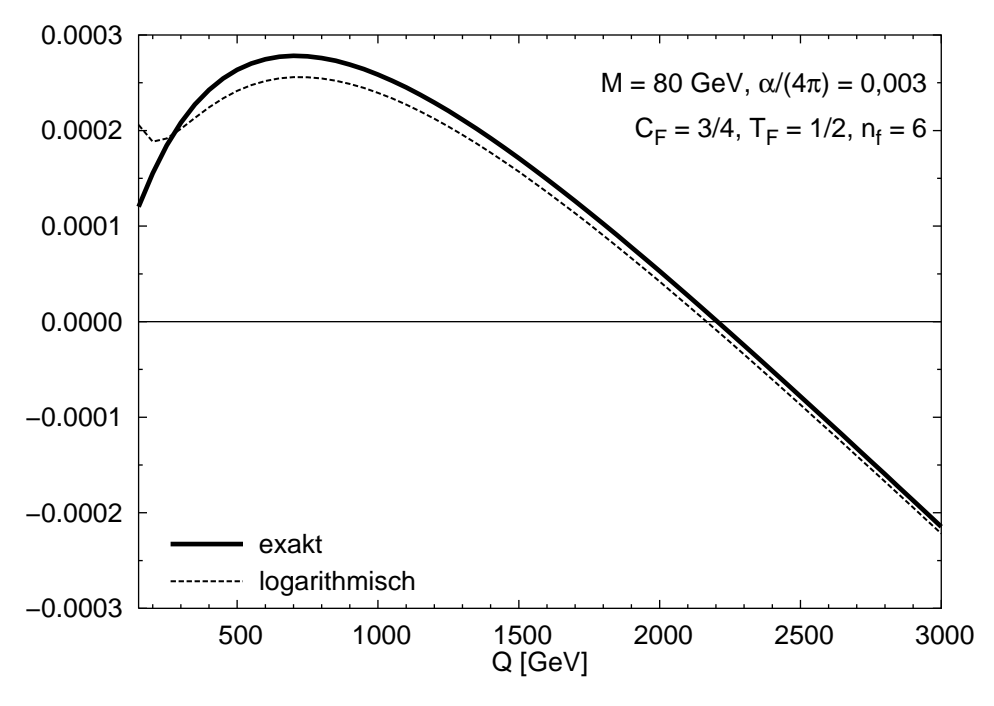


Abbildung 2.4: Fermionische Beiträge zum Zweischleifenformfaktor, exakt und in der logarithmischen Näherung des Hochenergielimes

beliebige $z = M^2/Q^2$ berechnet werden:

$$F_{2,n_f} = C_F T_F n_f \left(\frac{\alpha}{4\pi}\right)^2 \left\{ (1 - 4z + 3z^2) \left(\frac{8}{3} \operatorname{Li}_3(z) + \frac{8}{3} \ln(z) \operatorname{Li}_2(1 - z) + \frac{4}{9} \ln^3(z) + \frac{4}{3} \ln^2(z) \ln(1 - z) - \frac{4}{9} \pi^2 \ln(z) \right) + (1 - z)^2 \left(\frac{16}{9} \operatorname{Li}_2(1 - z) + \frac{8}{27} \pi^2\right) + \left(\frac{38}{9} - \frac{52}{9}z + \frac{8}{9}z^2\right) \ln^2(z) + \left(\frac{34}{3} - \frac{88}{9}z\right) \ln(z) + \frac{115}{9} - \frac{88}{9}z\right\},$$
(2.18)

mit den Polylogarithmen Li₂ und Li₃ (B.12).

Der Vergleich des exakten Ergebnisses mit dem logarithmischen Hochenergielimes (alle Terme inklusive der Konstanten) ist in Abb. 2.4 dargestellt. Der Unterschied zwischen beiden Kurven liegt in den mit M^2/Q^2 unterdrückten Termen. Das Schaubild zeigt die sehr gute Übereinstimmung der Hochenergienäherung mit dem exakten Ergebnis für $Q>300~{\rm GeV}$. Unterhalb davon divergiert die logarithmische Näherung. Aber oberhalb dieser Schwelle beträgt die Abweichung maximal 0,02 Promille. Der in den Evolutionsgleichungen und in den Schleifenrechnungen verwendete Hochenergielimes reicht für die gewünschte Genauigkeit völlig aus.

2.2 Beiträge von masselosen skalaren Teilchen

Wenn man im Hochenergielimes arbeitet, kann in erster Näherung das Higgs-Potential $V(\Phi)$ und die damit verbundene spontane Symmetriebrechung vernachlässigt werden. Das Higgs-Dublett verhält sich dann wie ein masseloses, geladenes Dublett von Skalarfeldern.

In der Evolutionsgleichung (1.60) für den Formfaktor sind die Funktionen γ und ζ universal, sie hängen nicht vom Higgs-Potential ab. Effekte der spontanen Symmetriebrechung tauchen nur in $\xi^{(2)}$ und $F_0^{(2)}$ und damit beim Zweischleifenformfaktor erst im linearen Logarithmus auf. Die NNLL-Näherung kann also mit einem masselosen skalaren Dublett anstelle des tatsächlichen Higgs-Teilchens berechnet werden.

Weil das Ergebnis für den fermionischen Formfaktor aus dem vorigen Abschnitt leicht auf masselose skalare Teilchen übertragen werden kann, soll diese Rechnung hier kurz skizziert werden.

Wir betrachten n_s masselose, geladene Dubletts von Skalarfeldern, die sich in der fundamentalen Darstellung der SU(2) transformieren. Ihre Lagrange-Dichte ist durch

$$\mathcal{L}_s = \sum_{i=1}^{n_s} (D_\mu \Phi_i)^\dagger (D^\mu \Phi_i)$$
 (2.19)

mit der kovarianten Ableitung

$$D_{\mu} = \partial_{\mu} - ig \, t^a \, W_{\mu}^a \tag{2.20}$$

gegeben. Die Feynman-Regeln lauten:

$$W_{\mu}^{a} \sim \sim \Phi^{\dagger} = ig \, t^{a} (k_{1} + k_{2})_{\mu} , \qquad W_{\mu}^{a} \sim \Phi^{\dagger} = \frac{i}{2} g^{2} g_{\mu\nu} \delta^{ab} . \quad (2.21)$$

Die beiden Vertizes steuern die Feynman-Diagramme in Abb. 2.5 zur Eichboson-Selbstenergie bei. Das rechte Diagramm enthält jedoch eine sogenannte Tadpole-



Abbildung 2.5: Eichboson-Selbstenergiediagramme mit skalaren Teilchen

Schleife; diese Selbstenergie ist unabhängig vom Impuls des Eichbosons. Deshalb wird ihr Beitrag exakt von der Renormierung der Eichbosonmasse kompensiert und kann weggelassen werden.

Die Amplitude des linken Diagramms in Abb. 2.5 lautet:

$$\tilde{\Pi}_{n_s}^{\mu\nu,ab}(k) = n_s \,\mu^{2\varepsilon} \int \frac{\mathrm{d}^d \ell}{(2\pi)^d} \,\mathrm{Tr}\left(ig \,t^a (k+2\ell)^\mu \,\frac{i}{\ell^2} \,ig \,t^b (k+2\ell)^\nu \,\frac{i}{(k+\ell)^2}\right)$$

$$= i \,\delta^{ab} \left(g^{\mu\nu} k^2 - k^\mu k^\nu\right) \Pi_{n_s}(k^2) \,.$$
(2.22)

Es stellt sich heraus, dass

$$\Pi_{n_s}(k^2) = \frac{n_s}{n_f} \frac{1}{4(1-\varepsilon)} \Pi_{n_f}(k^2)$$
 (2.23)

gilt. Die Relation (2.23) zwischen der skalaren und der fermionischen Eichboson-Selbstenergie ist eine exakte Beziehung, die nicht nur im Limes $\varepsilon \to 0$ gültig ist. Der Vorfaktor in (2.23) ist eine ε -abhängige Konstante, mit der die Beiträge des fermionischen Formfaktors aus dem Vertexdiagramm, der Fermion-Selbstenergie und der Massenrenormierung multipliziert werden können, um die entsprechenden Beiträge

des skalaren Formfaktors zu erhalten:

$$F_{v,n_s} = \frac{n_s}{n_f} \frac{1}{4(1-\varepsilon)} F_{v,n_f}$$

$$= C_F T_F n_s \left(\frac{\alpha}{4\pi}\right)^2 \left(\frac{\mu^2}{M^2}\right)^{2\varepsilon} S_{\varepsilon}^2 \left\{ \frac{1}{\varepsilon} \left[\frac{1}{3} \mathcal{L}^2 - \frac{5}{3} \mathcal{L} + \frac{2}{9} \pi^2 + \frac{29}{12} \right] - \frac{2}{9} \mathcal{L}^3 + \frac{17}{9} \mathcal{L}^2 \right\} + \left(\frac{\pi^2}{9} - \frac{149}{18}\right) \mathcal{L} - \frac{2}{3} \zeta_3 - \frac{7}{54} \pi^2 + \frac{923}{72} + \mathcal{O}(\varepsilon) + \mathcal{O}\left(\frac{M^2}{Q^2}\right), \quad (2.24)$$

$$\Sigma_{n_s} = \frac{n_s}{n_f} \frac{\Sigma_{n_f}}{4(1-\varepsilon)} = C_F T_F n_s \left(\frac{\alpha}{4\pi}\right)^2 \left(\frac{\mu^2}{M^2}\right)^{2\varepsilon} S_{\varepsilon}^2 \left\{ -\frac{1}{4\varepsilon} - \frac{3}{8} \right\} + \mathcal{O}(\varepsilon), \quad (2.25)$$

$$\Delta F_{n_s}^M = \frac{n_s}{n_f} \frac{1}{4(1-\varepsilon)} \Delta F_{n_f}^M$$

$$= C_F T_F n_s \left(\frac{\alpha}{4\pi}\right)^2 \left(\frac{\mu^2}{M^2}\right)^{2\varepsilon} S_{\varepsilon}^2 \left\{ \frac{1}{\varepsilon} \left[\frac{2}{3} \mathcal{L} - 1 \right] + \frac{16}{9} \mathcal{L} + \frac{\pi^2}{3} - \frac{25}{6} \right\}$$

$$+ \mathcal{O}(\varepsilon) + \mathcal{O}\left(\frac{M^2}{Q^2}\right). \quad (2.26)$$

Da die $\overline{\text{MS}}$ -Renormierung nur den ε -Pol ohne endliche Konstanten (mit Ausnahme von $\ln(4\pi)$ und γ_E) entfernt, besteht zwischen den Beiträgen der Fermionschleife und der skalaren Schleife in der Kopplungskonstantenrenormierung ein Faktor von $4 n_f/n_s$, wie auch an β_0 in Gl. (1.27) zu sehen ist:

$$\Delta F_{n_s}^{\alpha} = \frac{n_s}{n_f} \frac{1}{4} \Delta F_{n_f}^{\alpha}$$

$$= C_F T_F n_s \left(\frac{\alpha}{4\pi}\right)^2 \left(\frac{\mu^2}{M^2}\right)^{\varepsilon} S_{\varepsilon} \left\{ \frac{1}{\varepsilon} \left[-\frac{1}{3} \mathcal{L}^2 + \mathcal{L} - \frac{2}{9} \pi^2 - \frac{7}{6} \right] + \frac{1}{9} \mathcal{L}^3 - \frac{1}{2} \mathcal{L}^2 + \left(-\frac{\pi^2}{9} + \frac{8}{3} \right) \mathcal{L} + \frac{2}{3} \zeta_3 + \frac{\pi^2}{6} - \frac{47}{12} \right\} + \mathcal{O}(\varepsilon) + \mathcal{O}\left(\frac{M^2}{Q^2}\right). \tag{2.27}$$

In der Summe dieser vier Beiträge ergibt sich der Formfaktor mit der skalaren Schleife in d=4 Dimensionen:

$$F_{2,n_s} = C_F T_F n_s \left(\frac{\alpha}{4\pi}\right)^2 \left\{ -\frac{1}{9} \mathcal{L}^3 + \frac{25}{18} \mathcal{L}^2 - \frac{23}{6} \mathcal{L} + \frac{10}{27} \pi^2 + \frac{157}{36} + \ln\left(\frac{\mu^2}{M^2}\right) \left[\frac{1}{3} \mathcal{L}^2 - \mathcal{L} + \frac{2}{9} \pi^2 + \frac{7}{6}\right] \right\} + \mathcal{O}\left(\frac{M^2}{Q^2}\right). \quad (2.28)$$

Im speziellen Fall, wenn für α die Renormierungsskala $\mu=M$ gewählt wird, fallen die Beiträge der zweiten Zeile weg. Dieses Ergebnis bestätigt die Vorhersage der

Evolutionsgleichung in (1.73). Der n_s -Beitrag zu $\xi^{(2)}$,

$$\xi^{(2)}\Big|_{n_s} = C_F T_F n_s \left(\frac{\pi^2}{9} + \frac{52}{27}\right),$$
 (2.29)

gilt jedoch – genau wie der Koeffizient des linearen Logarithmus und die Konstante in (2.28) – nur für masselose skalare Teilchen, nicht für eine Theorie mit spontaner Symmetriebrechung und einem massiven Higgs-Teilchen.

Kapitel 3

Abelsche Beiträge zum Zweischleifenformfaktor

Der SU(2)-Formfaktor des abelschen Vektorstroms wurde in Abschnitt 1.5 eingeführt. In diesem Kapitel werden die abelschen Korrekturen zu diesem Formfaktor betrachtet. Das sind Beiträge, die auch in einer abelschen U(1)-Eichtheorie vorkommen. Deshalb können sie zunächst separat von den übrigen, nichtabelschen Beiträgen betrachtet werden. Im allgemeineren Fall eines SU(N)-Modells besitzen die entsprechenden Feynman-Diagramme den Farbfaktor C_F^2 oder $C_F^2 - \frac{1}{2}C_FC_A$, der sich aus den SU(N)-Generatoren t^a entsprechend Gl. (1.10) ergibt. Für dieses Kapitel sind nur die Anteile proportional zu C_F^2 relevant, die Terme mit C_FC_A werden zu den nichtabelschen Beiträgen in Kapitel 4 gerechnet.

Die Resultate dieses Kapitels wurden in [24] veröffentlicht. Eine separate Veröffentlichung von Details aus den Rechnungen in Zusammenarbeit mit V.A. Smirnov ist geplant.

Da der Formfaktor die Streuung eines Fermions im externen abelschen Feld beschreibt, kann die Kopplungskonstante des zentralen Vertex als externe Größe betrachtet werden, die nicht zum Formfaktor gehört und nicht mit diesem renormiert wird.

Für den abelschen Zweischleifenformfaktor müssen die Vertexdiagramme in Abb. 3.1 betrachtet werden. Deren Berechnung wird in Abschnitt 3.1 vorgestellt. Zwei Diagramme (BE und fc) kommen jeweils zweifach vor: so wie abgebildet und horizontal gespiegelt.

Für die Renormierung der Fermion-Feldstärke sind außerdem die Zweischleifen-Selbstenergiediagramme in Abb. 3.2 erforderlich, die somit ebenfalls zum abelschen Formfaktor beitragen. Sie werden in Abschnitt 3.2 vorgestellt, zusammen mit weiteren Beiträgen zur Feldstärkerenormierung aus Einschleifenkorrekturen.

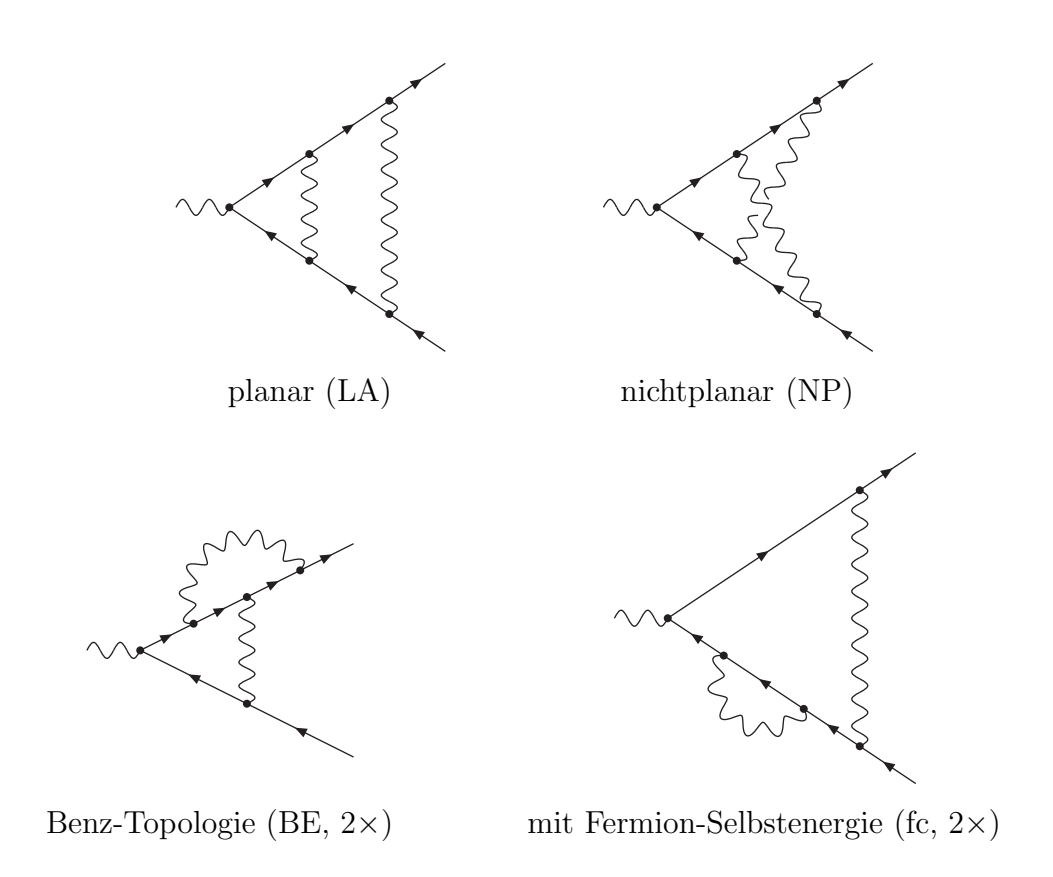


Abbildung 3.1: Abelsche Zweischleifen-Vertexdiagramme

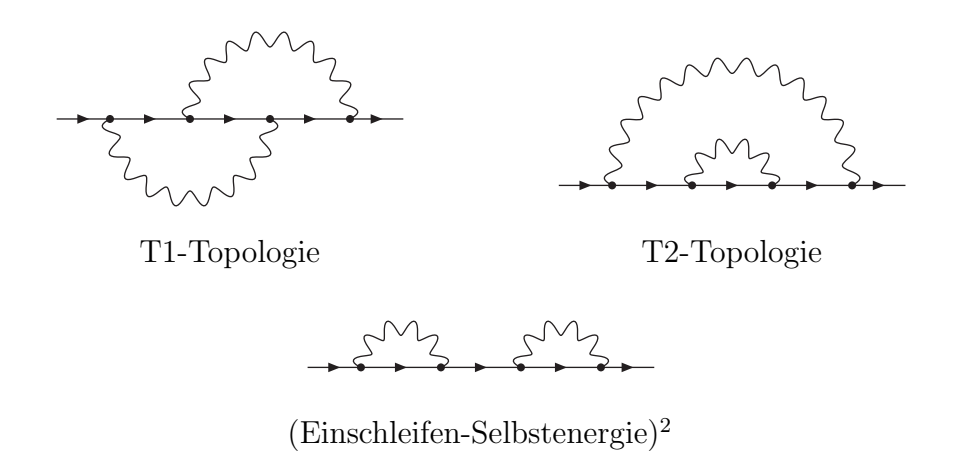


Abbildung 3.2: Abelsche Zweischleifen-Selbstenergiediagramme

Die abelschen Diagramme enthalten alle nur zwei massive Propagatoren. Deshalb war ihre Berechnung im Vergleich zu den nichtabelschen Beiträgen mit drei massiven Propagatoren (siehe Kapitel 4) noch relativ einfach und konnte im Hochenergielimes vollständig durchgeführt werden, d.h. alle Terme der logarithmischen Reihe inklusive der Konstanten wurden ermittelt.

3.1 Vertexdiagramme

Die Amplitude der Vertexkorrekturen hat die Form

$$\bar{u}(p_1) \mathcal{F}_v^{\mu} v(-p_2) = F_v \cdot \bar{u}(p_1) \gamma^{\mu} v(-p_2). \tag{3.1}$$

Die Vertexamplitude \mathcal{F}_v^{μ} wurde ohne die Spinoren der beiden Fermionen definiert. Es gilt $p_1^2 = p_2^2 = 0$, $q = p_1 - p_2$ und $Q^2 = -q^2 = 2p_1 \cdot p_2$. Eigentlich ist \mathcal{F}_v^{μ} eine Matrix nicht nur im Spinorraum, sondern auch im Isospinraum der Fermion-Dubletts. Aber da der zentrale Vertex keinen SU(2)-Generator enthält (vgl. die Definition des Formfaktors in Abschnitt 1.5), sind auch alle Korrekturen proportional zur Einheitsmatrix im Isospinraum.

Unter Ausnutzung der Antivertauschungsrelationen für Dirac-Matrizen,

$$\{\gamma^{\mu}, \gamma^{\nu}\} = 2g^{\mu\nu} \,,$$

und der kinematischen Eigenschaften der Spinoren von masselosen Fermionen,

$$\bar{u}(p_1) \not p_1 = 0, \quad \not p_2 v(-p_2) = 0,$$

kann die Amplitude eines Vertexdiagramms auf die Form (3.1) mit dem Beitrag F_v zum Formfaktor gebracht werden. Dazu ist jedoch immer auch eine Tensorreduktion der Integrale mit offenen Lorentz-Indizes auf skalare Integrale notwendig. Eleganter ist die Extraktion des Formfaktors aus der Vertexamplitude mit einer Projektionstechnik (siehe z.B. [73]):

$$F_v = \frac{\operatorname{Tr}(\gamma_\mu \not p_1 \mathcal{F}_v^\mu \not p_2)}{2(d-2) q^2}.$$
(3.2)

Dabei bezeichnet $d=4-2\varepsilon$ die Zahl der Raum-Zeit-Dimensionen. Die Einheitsmatrix im SU(2)-Isospinraum wurde hier nicht berücksichtigt. Wenn die Spur auch darüber läuft, muss zusätzlich durch $\operatorname{Tr} \mathbf{1} = N = 2$ geteilt werden.

Die Projektion (3.2) kann auf einzelne Vertexdiagramme angewendet werden, um deren Beitrag zum Formfaktor zu bestimmen. Das Ergebnis der Projektion sind skalare Schleifenintegrale, die neben Propagatoren im Nenner lediglich Skalarprodukte im Zähler enthalten.

3.1.1 Planares Vertexdiagramm

Das planare Vertexdiagramm (Bezeichnung LA = ladder) ist in Abb. 3.3 dargestellt, links das Feynman-Diagramm mit Pfeilen für Fermionen und Wellenlinien für Eichbosonen, rechts das zugehörige skalare Diagramm mit durchgezogenen Linien für massive Propagatoren und gestrichelten Linien für masselose Propagatoren.

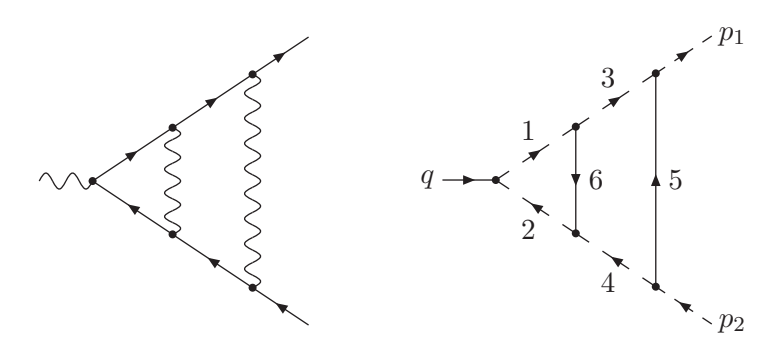


Abbildung 3.3: Planares Vertexdiagramm (mit skalarem Diagramm)

Im skalaren Diagramm sind die inneren Impulse k_i , i = 1, ..., 6, nur durch die Angabe des Index i gekennzeichnet, die Pfeilrichtung gibt hier die Richtung des Impulsflusses an.

In der Feynman-'t Hooft-Eichung ($\xi = 1$) lautet die Amplitude des planaren Vertexdiagramms (ohne die Spinoren der externen Fermionen):

$$\mathcal{F}^{\mu}_{v,\text{LA}} = \mu^{4\varepsilon} \int \frac{\mathrm{d}^{d}k}{(2\pi)^{d}} \int \frac{\mathrm{d}^{d}\ell}{(2\pi)^{d}} ig\gamma^{\rho} t^{b} \frac{i\not k_{3}}{k_{3}^{2}} ig\gamma^{\nu} t^{a} \frac{i\not k_{1}}{k_{1}^{2}} \gamma^{\mu} \frac{i\not k_{2}}{k_{2}^{2}} ig\gamma_{\nu} t^{a} \frac{i\not k_{4}}{k_{4}^{2}} ig\gamma_{\rho} t^{b} \times \frac{-i}{k_{5}^{2} - M^{2}} \frac{-i}{k_{6}^{2} - M^{2}}, \quad (3.3)$$

mit den Impulsen

$$k_1 = p_1 - \ell$$
, $k_2 = p_2 - \ell$, $k_3 = p_1 - k$, $k_4 = p_2 - k$, $k_5 = k$, $k_6 = k - \ell$. (3.4)

Der Farbfaktor des planaren Vertexdiagramms lautet

$$t^b t^a t^a t^b = C_F^2 \mathbf{1} .$$

Aus der Amplitude $\mathcal{F}^{\mu}_{v,\text{LA}}$ kann der Beitrag $F_{v,\text{LA}}$ zum Formfaktor durch Projektion entsprechend (3.2) extrahiert werden. Anschließend werden die Skalarprodukte im Zähler des Schleifenintegrals mit Propagatornennern gekürzt. Dafür sind folgende Umformungen hilfreich:

$$p_{1} \cdot k_{5} = -\frac{1}{2}(k_{3}^{2} - k_{5}^{2}), \qquad k_{3} \cdot k_{6} = +\frac{1}{2}(k_{1}^{2} - k_{3}^{2} - k_{6}^{2}), p_{2} \cdot k_{5} = -\frac{1}{2}(k_{4}^{2} - k_{5}^{2}), \qquad k_{4} \cdot k_{6} = +\frac{1}{2}(k_{2}^{2} - k_{4}^{2} - k_{6}^{2}).$$

$$(3.5)$$

Mit Hilfe von (3.4) und (3.5) können alle Skalarprodukte gekürzt werden mit Ausnahme eines sogennanten *irreduziblen* Skalarprodukts, das als $2k \cdot \ell$ gewählt wurde. Die skalaren Zweischleifenintegrale der planaren Topologie wurden folgendermaßen definiert:

$$F_{\text{LA}}(n_{1}, n_{2}, n_{3}, n_{4}, n_{5}, n_{6}, n_{7}) = e^{2\varepsilon\gamma_{E}} (M^{2})^{2\varepsilon} (Q^{2})^{n-n_{7}-4}$$

$$\times \int \frac{\mathrm{d}^{d}k}{i\pi^{d/2}} \int \frac{\mathrm{d}^{d}\ell}{i\pi^{d/2}} \frac{(2k \cdot \ell)^{n_{7}}}{(\ell^{2} - 2p_{1} \cdot \ell)^{n_{1}} (\ell^{2} - 2p_{2} \cdot \ell)^{n_{2}} (k^{2} - 2p_{1} \cdot k)^{n_{3}} (k^{2} - 2p_{2} \cdot k)^{n_{4}}}$$

$$\times \frac{1}{(k^{2} - M^{2})^{n_{5}} ((k - \ell)^{2} - M^{2})^{n_{6}}}, \quad (3.6)$$

mit der Notation $n_{ij...} = n_i + n_j + ...$ und $n = n_{123456}$ (ohne n_7). Die skalaren Integrale wurden so definiert, dass sie in $d = 4 - 2\varepsilon$ Raum-Zeit-Dimensionen keine Massendimension aufweisen. Damit kann $F_{v,\text{LA}}$ als Linearkombination von skalaren Integralen (3.6) geschrieben werden. Diese Zerlegung findet sich im Anhang D.1.1 in Gl. (D.1). Da das Feynman-Diagramm jeden Propagator nur einmal enthält und bei der Reduktion auf skalare Integrale Propagatoren gekürzt werden, aber keine hinzukommen, sind die Parameter n_i (i = 1, ..., 6) nach oben durch $n_i \leq 1$ beschränkt. In der Zerlegung des planaren Diagramms kommen die Werte 1, 0 und -1 für die n_i vor. Durch Ausnutzung der Symmetrie

$$F_{LA}(n_1, n_2, n_3, n_4, n_5, n_6, n_7) = F_{LA}(n_2, n_1, n_4, n_3, n_5, n_6, n_7)$$
(3.7)

wurden skalare Integrale mit $n_1 < n_2$ oder $n_1 = n_2$ und $n_3 < n_4$ durch ihre symmetrischen Partner ersetzt. Die Auswertung der Spur über die Amplitude zur Projektion auf den Formfaktor, das Kürzen der Skalarprodukte und die Zerlegung in skalare Integrale wurden mit dem Computeralgebraprogramm FORM [74] durchgeführt.

Die Auswertung der skalaren Integrale erfolgte mit der Methode der Expansion by Regions (siehe Anhang C.4). Nichtverschwindende Beiträge zur skalaren Topologie liefern die folgenden Regionen [75]:

Dabei bedeutet $k \sim Q$, dass jede Komponente des Vektors k von der Größenordnung Q ist. Und $k \parallel p_i$ bezeichnet eine Region, in welcher der Impuls k kollinear zum externen Impuls p_i steht (analog auch für ℓ):

$$k \parallel p_1 \iff k_+ \sim \frac{M^2}{Q}, \quad k_- \sim Q, \quad k_\perp \sim M,$$

$$k \parallel p_2 \iff k_+ \sim Q, \quad k_- \sim \frac{M^2}{Q}, \quad k_\perp \sim M,$$

wobei $k_{\pm} \equiv (2p_{1,2} \cdot k)/Q$ die Komponenten von k in Richtung von p_2 bzw. p_1 sind und $k_{\perp} \equiv k - (k_{-}/Q)p_1 - (k_{+}/Q)p_2$ den Vektor mit den Komponenten von k bezeichnet, die senkrecht auf $p_{1,2}$ stehen. Damit lassen sich die Skalarprodukte der Schleifenimpulse als $k^2 = k_{+}k_{-} + k_{\perp}^2$ und $k \cdot \ell = \frac{1}{2}(k_{+}\ell_{-} + k_{-}\ell_{+}) + k_{\perp} \cdot \ell_{\perp}$ schreiben.

Der führende Beitrag jeder Region hat eine charakteristische Abhängigkeit vom Parameter M^2/Q^2 . Im Folgenden wird für eine Region (x-y) mit der Abhängigkeit $F_{\text{LA}}^{(\text{x-y})} \propto (M^2/Q^2)^p$ die Potenz p angegeben:

Da Beiträge, die gegenüber anderen mit dem kleinen Faktor M^2/Q^2 unterdrückt sind, vernachlässigt werden sollen, wird die (h-s')-Region nicht benötigt. Alle Propagatoren kommen in den skalaren Integralen höchstens einmal vor, so dass $n_i \leq 1$ für $i=1,\ldots,6$ ist. Im physikalischen Limes $d\to 4$ ($\varepsilon\to 0$) ist $F_{\rm LA}^{\rm (h-s')}$ daher mit mindestens einem Faktor M^2/Q^2 gegenüber der (h-h)-Region unterdrückt. Ebenso gilt, dass die rein kollinearen (c-c)-Regionen, also (1c-1c) und (2c-2c), nur für $n_7=0$ berücksichtigt werden müssen. Bei Integralen mit dem irreduziblen Skalarprodukt im Zähler $(n_7>0)$ sind beide (c-c)-Regionen mit mindestens einem Faktor M^2/Q^2 unterdrückt. Im Allgemeinen prüft man für jedes benötigte skalare Integral zuerst, welche Regionen den führenden Beitrag liefern, und kann sich dann auf die Auswertung dieser Regionen beschränken.

Die harte Region (h-h), die dem masselosen Diagramm entspricht, lässt sich am einfachsten mit der Methode der partiellen Integration (Integration by Parts [76,77]) auf einfachere Topologien reduzieren, die alle mit Feynman-Parametern ausgewertet werden können und lediglich Γ -Funktionen liefern. Mit den Beiträgen der harten Region lässt sich das Ergebnis des masselosen planaren Feynman-Diagramms angeben:

$$F_{v,\text{LA}}^{(\text{h-h})} = C_F^2 \left(\frac{\alpha}{4\pi}\right)^2 \left(\frac{\mu^2}{Q^2}\right)^{2\varepsilon} S_{\varepsilon}^2 \left\{ \frac{1}{\varepsilon^4} + \frac{2}{\varepsilon^3} + \frac{1}{\varepsilon^2} \left(\frac{\pi^2}{6} + \frac{17}{2}\right) + \frac{1}{\varepsilon} \left(\frac{46}{3}\zeta_3 - \frac{\pi^2}{3} + \frac{101}{4}\right) + \frac{103}{360}\pi^4 + \frac{152}{3}\zeta_3 - \frac{35}{12}\pi^2 + \frac{631}{8} \right\} + \mathcal{O}(\varepsilon) , \quad (3.8)$$

mit $S_{\varepsilon}=(4\pi)^{\varepsilon}\,e^{-\varepsilon\gamma_E}$. Dieses Ergebnis stimmt mit [69,70] überein.

Die (c-h)- und (c-c)-Regionen wurden dagegen mit Hilfe von Schwinger-Parametern (siehe Anhang C.1) und Mellin-Barnes-Darstellungen (siehe Anhang C.3) berech-

net. Ihre Beiträge lassen sich durch ein- bzw. zweifache Mellin-Barnes-Integrale ausdrücken:

$$F_{\text{LA}}^{(1\text{c-h})}(n_{1}, n_{2}, n_{3}, n_{4}, n_{5}, n_{6}, n_{7}) = \left(\frac{M^{2}}{Q^{2}}\right)^{2-n_{35}+\varepsilon} e^{-ni\pi} e^{2\varepsilon\gamma_{E}} \frac{\Gamma(\frac{d}{2}-n_{3})\Gamma(\frac{d}{2}-n_{16}+n_{7})\Gamma(n_{35}-\frac{d}{2})}{\Gamma(n_{1})\Gamma(n_{2})\Gamma(n_{3})\Gamma(n_{5})\Gamma(n_{6})\Gamma(d-n_{126}+n_{7})} \times \int_{-i\infty}^{i\infty} \frac{dz}{2\pi i} \frac{\Gamma(-z)\Gamma(\frac{d}{2}-n_{26}-z)\Gamma(n_{6}+z)\Gamma(n_{37}-n_{4}+z)\Gamma(n_{126}-\frac{d}{2}+z)}{\Gamma(\frac{d}{2}-n_{4}+n_{7}+z)}, \quad (3.9)$$

$$F_{\text{LA}}^{(1\text{c-1c})}(n_{1}, n_{2}, n_{3}, n_{4}, n_{5}, n_{6}, 0) = \left(\frac{M^{2}}{Q^{2}}\right)^{4-n_{1356}} \frac{e^{-ni\pi} e^{2\varepsilon\gamma_{E}}}{\Gamma(n_{1})\Gamma(n_{3})\Gamma(n_{5})\Gamma(n_{6})\Gamma(\frac{d}{2}-n_{24})} \times \int_{-i\infty}^{i\infty} \frac{dz_{1}}{2\pi i} \int_{-i\infty}^{i\infty} \frac{dz_{2}}{2\pi i} \frac{\Gamma(-z_{1})\Gamma(n_{13}-\frac{d}{2}-z_{1})\Gamma(\frac{d}{2}-n_{1}+z_{1})\Gamma(\frac{d}{2}-n_{24}+z_{1})}{\Gamma(\frac{d}{2}-n_{4}+z_{1})} \times \frac{\Gamma(-z_{2})\Gamma(\frac{d}{2}-n_{35}-z_{2})\Gamma(\frac{d}{2}-n_{45}-z_{2})\Gamma(n_{1356}-d+z_{2})}{\Gamma(\frac{d}{2}-n_{5}-z_{2})} \quad (3.10)$$

Der Integrationsweg der Mellin-Barnes-Integrale verläuft so von $-i\infty$ nach $+i\infty$, dass Pole aus Γ -Funktionen der Form $\Gamma(\ldots + z)$ links des Integrationswegs liegen ("IR-Pole") und Pole der Form $\Gamma(\ldots -z)$ rechts des Integrationswegs liegen ("UV-Pole"). Aus Symmetriegründen gilt:

$$F_{\text{LA}}^{(2\text{c-h})}(n_1, n_2, n_3, n_4, n_5, n_6, n_7) = F_{\text{LA}}^{(1\text{c-h})}(n_2, n_1, n_4, n_3, n_5, n_6, n_7),$$

$$F_{\text{LA}}^{(2\text{c-2c})}(n_1, n_2, n_3, n_4, n_5, n_6, 0) = F_{\text{LA}}^{(1\text{c-1c})}(n_2, n_1, n_4, n_3, n_5, n_6, 0).$$
(3.11)

$$F_{\text{LA}}^{(2\text{c-2c})}(n_1, n_2, n_3, n_4, n_5, n_6, 0) = F_{\text{LA}}^{(1\text{c-1c})}(n_2, n_1, n_4, n_3, n_5, n_6, 0).$$
(3.12)

Bei der Auswertung der Mellin-Barnes-Integrale ist zu beachten, dass sowohl der Zähler als auch der Nenner an manchen Stellen des Parameterraums Singularitäten aufweisen, die sich teilweise gegenseitig aufheben.

In Gl. (3.9) für $F_{\rm LA}^{(1{\rm c-h})}$ ist das Integral singulär bei $n_6=0,$ weil dann der IR-Pol bei $z=-n_6$ und der UV-Pol bei z=0, zwischen denen der Integrationsweg verläuft, auf einen Punkt zusammenrücken. Diese Singularität wird durch die entsprechende Singularität von $\Gamma(n_6)$ im Nenner des Vorfaktors gekürzt. Das Ergebnis ist hier durch den Limes $n_6 \to 0$ gegeben, zu dem nur das Residuum des Integranden bei $z=-n_6$ bzw. z=0 beiträgt. Entsprechendes gilt für ganzzahlige Werte $n_6\leq 0$ und $n_1 \leq 0$.

Etwas anders ist die Situation bei $n_3 + n_7 \leq n_4$. Hier wird die Singularität im Integral nur für $n_3 \leq 0$ durch den Nenner aufgehoben (wenn dieser Beitrag sowieso durch M^2/Q^2 unterdrückt ist). Im Fall $n_3 = n_4 = 1, n_7 = 0$ bleibt die Singularität als Pol $1/(n_3 - n_4)$ bestehen. Sie wird durch die entsprechende Singularität mit umgekehrtem Vorzeichen in $F_{\rm LA}^{(2{\rm c-h})}$ aufgeboben. Kollineare Regionen weisen häufig solche zusätzlichen Singularitäten auf, die analytisch regularisiert werden können, d.h. die Parameter n_i werden als komplexe Parameter nahe dem benötigten reellen Wert verstanden. Die Summe mehrerer oder aller kollinearen Regionen ist endlich im Rahmen der dimensionalen Regularisierung.

Der einzige singuläre Beitrag von Gl. (3.10) für $F_{\rm LA}^{\rm 1c-1c}$, der nicht durch M^2/Q^2 unterdrückt ist, tritt bei $n_1=n_2=n_3=n_4=n_5=n_6=1$ auf. Er äußert sich in einem Pol $1/(n_{13}-n_{24})$, der durch einen entsprechenden Pol mit umgekehrtem Vorzeichen in $F_{\rm LA}^{\rm 2c-2c}$ kompensiert wird.

Die Auswertung von denjenigen Mellin-Barnes-Integralen, bei denen nicht nur einzelne Residuen benötigt werden, erfolgt durch Aufsummation aller Residuen auf einer Seite des Integrationswegs. In einfachen Fällen von Gl. (3.10), bei denen sich Γ -Funktionen kürzen, kann für die erste Integration das erste Barnsche Lemma (C.17) angewandt werden (siehe Anhang C.3). In den anderen Fällen werden die Residuen, die Singularitäten im Parameterraum der n_i oder in ε produzieren, separat betrachtet. Für die restlichen Residuen können alle Limites vollzogen werden (inklusive $\varepsilon \to 0$). Dadurch vereinfachen sich die Summen über die Residuen, so dass diese von Mathematica [78] gelöst oder in einer Summationstabelle (z.B. [79]) nachgeschlagen werden können.

Die Ergebnisse der einzelnen skalaren Integrale F_{LA} finden sich im Anhang D.1.1 in Gl. (D.2). Der gesamte Beitrag des planaren Vertexdiagramms zum Formfaktor lautet in führender Ordnung in M^2/Q^2 :

$$F_{v,\text{LA}} = C_F^2 \left(\frac{\alpha}{4\pi}\right)^2 \left(\frac{\mu^2}{M^2}\right)^{2\varepsilon} S_{\varepsilon}^2 \left\{ \frac{1}{2\varepsilon^2} + \frac{1}{\varepsilon} \left[-\mathcal{L}^2 + 3\mathcal{L} - \frac{2}{3}\pi^2 - \frac{11}{4} \right] + \frac{1}{6}\mathcal{L}^4 + \left(\frac{2}{3}\pi^2 - 1\right)\mathcal{L}^2 + \left(-32\zeta_3 - \pi^2 + \frac{11}{2} \right)\mathcal{L} + \frac{8}{15}\pi^4 + 62\zeta_3 + \frac{13}{12}\pi^2 - \frac{41}{8} \right\} + \mathcal{O}(\varepsilon) + \mathcal{O}\left(\frac{M^2}{Q^2}\right),$$
(3.13)

mit $\mathcal{L} = \ln(Q^2/M^2)$. Das Vertexdiagramm mit massiven Eichbosonen enthält keine infraroten Singularitäten, deshalb ist der führende Pol in ε lediglich eine zweifache ultraviolette Singularität der Ordnung ε^{-2} .

3.1.2 Nichtplanares Vertexdiagramm

Das nichtplanare Vertexdiagramm (Bezeichnung NP) ist in Abb. 3.4 dargestellt, links das Feynman-Diagramm, rechts das skalare Diagramm mit Impulsbezeichnun-

gen. Die Notationen entsprechen denen aus Abschnitt 3.1.1.

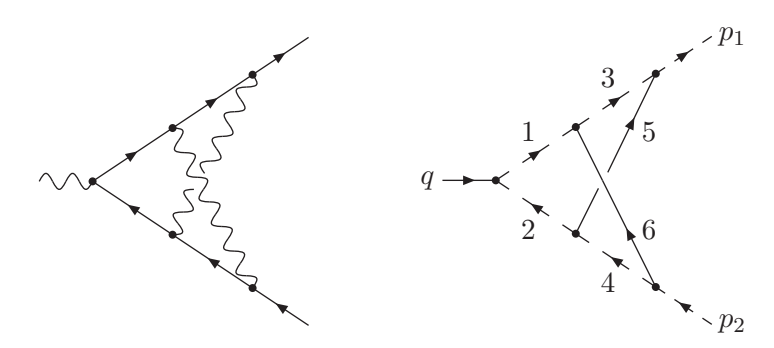


Abbildung 3.4: Nichtplanares Vertexdiagramm (mit skalarem Diagramm)

Die Amplitude des nichtplanaren Vertexdiagramms lautet:

$$\mathcal{F}^{\mu}_{\nu,\text{NP}} = \mu^{4\varepsilon} \int \frac{\mathrm{d}^{d}k}{(2\pi)^{d}} \int \frac{\mathrm{d}^{d}\ell}{(2\pi)^{d}} ig\gamma^{\rho} t^{b} \frac{i\not k_{3}}{k_{3}^{2}} ig\gamma^{\nu} t^{a} \frac{i\not k_{1}}{k_{1}^{2}} \gamma^{\mu} \frac{i\not k_{2}}{k_{2}^{2}} ig\gamma_{\rho} t^{b} \frac{i\not k_{4}}{k_{4}^{2}} ig\gamma_{\nu} t^{a} \times \frac{-i}{k_{5}^{2} - M^{2}} \frac{-i}{k_{6}^{2} - M^{2}}, \quad (3.14)$$

mit den Impulsen

$$k_1 = p_1 - k - \ell$$
, $k_2 = p_2 - k - \ell$, $k_3 = p_1 - k$, $k_4 = p_2 - \ell$, $k_5 = k$, $k_6 = \ell$. (3.15)

Der Farbfaktor des nichtplanaren Vertexdiagramms ergibt sich zu

$$t^b t^a t^b t^a = \left(C_F^2 - \frac{1}{2} C_F C_A \right) \mathbf{1}.$$

Der Beitrag der Amplitude $\mathcal{F}_{v,\mathrm{NP}}^{\mu}$ zum Formfaktor ist $F_{v,\mathrm{NP}}$. Zum Kürzen von Skalarprodukten im Zähler von $F_{v,\mathrm{NP}}$ mit Propagatornennern dienen die Umformungen

$$p_{1} \cdot k_{5} = -\frac{1}{2}(k_{3}^{2} - k_{5}^{2}), \qquad k_{3} \cdot k_{6} = -\frac{1}{2}(k_{1}^{2} - k_{3}^{2} - k_{6}^{2}), p_{2} \cdot k_{6} = -\frac{1}{2}(k_{4}^{2} - k_{6}^{2}), \qquad k_{4} \cdot k_{5} = -\frac{1}{2}(k_{2}^{2} - k_{4}^{2} - k_{5}^{2}).$$

$$(3.16)$$

Als irreduzibles Skalarprodukt bleibt $2k_5 \cdot k_6 = 2k \cdot \ell$ übrig. Damit lautet die Definition der skalaren Zweischleifenintegrale der nichtplanaren Topologie:

$$F_{\text{NP}}(n_{1}, n_{2}, n_{3}, n_{4}, n_{5}, n_{6}, n_{7}) = e^{2\varepsilon\gamma_{E}} (M^{2})^{2\varepsilon} (Q^{2})^{n-n_{7}-4}$$

$$\times \int \frac{\mathrm{d}^{d}k}{i\pi^{d/2}} \int \frac{\mathrm{d}^{d}\ell}{i\pi^{d/2}} \frac{(2k \cdot \ell)^{n_{7}}}{((k+\ell)^{2} - 2p_{1} \cdot (k+\ell))^{n_{1}} ((k+\ell)^{2} - 2p_{2} \cdot (k+\ell))^{n_{2}}}$$

$$\times \frac{1}{(k^{2} - 2p_{1} \cdot k)^{n_{3}} (\ell^{2} - 2p_{2} \cdot \ell)^{n_{4}} (k^{2} - M^{2})^{n_{5}} (\ell^{2} - M^{2})^{n_{6}}}, \quad (3.17)$$

mit der Notation aus Gl. (3.6) und $n = n_{123456}$ (ohne n_7). Die Zerlegung von $F_{v,NP}$ in skalare Integrale ist im Anhang D.1.2 in Gl. (D.3) aufgeführt. Durch Ausnutzung der Symmetrie

$$F_{\rm NP}(n_1, n_2, n_3, n_4, n_5, n_6, n_7) = F_{\rm NP}(n_2, n_1, n_4, n_3, n_6, n_5, n_7)$$
(3.18)

wurden skalare Integrale mit $n_1 < n_2$ oder $n_1 = n_2$ und $n_3 < n_4$ oder $n_1 = n_2$ und $n_3 = n_4$ und $n_5 < n_6$ durch ihre symmetrischen Partner ersetzt.

Zur Auswertung der skalaren Integrale tragen im Rahmen der Expansion by Regions folgende Regionen bei [75]:

In der Regel bezeichnet der erste Eintrag im Namen der jeweiligen Region den Schleifenimpuls k, der zweite Eintrag den Schleifenimpuls ℓ . Abweichend davon steht ein gestrichener Eintrag (z.B. 1c') für den Impuls k_3 bzw. k_4 . Es ist unerheblich, ob $k_5 = k$ oder k_3 kollinear zu p_1 ist, da mit dem einen Impuls auch der andere kollinear zu p_1 wird. Es macht aber einen Unterschied, ob k_5 oder k_3 kollinear zu p_2 wird, wie in den Regionen (2c-2c) bzw. (2c'-2c). Gleiches gilt umgekehrt für die Kollinearität von $k_6 = \ell$ oder k_4 .

Der führende Beitrag der jeweiligen Region hängt über die folgende Potenz von M^2/Q^2 ab (Notation wie in Abschnitt 3.1.1):

```
\begin{array}{llll} \text{(h-h):} & 2\varepsilon \\ \text{(1c-h):} & 2-n_{35}+\varepsilon \\ \text{(h-2c):} & 2-n_{46}+\varepsilon \\ \text{(1c-1c):} & 4-n_{1356}+n_7 \\ \text{(2c-2c):} & 4-n_{2456}+n_7 \\ \text{(1c-2c):} & 4-n_{3456} \end{array} \qquad \begin{array}{lll} \text{(1c-1c'):} & 4-n_{2345} \\ \text{(2c'-2c):} & 4-n_{1346} \\ \text{(us'-us'):} & 8-n_{1256}-2n_{34}-2\varepsilon \\ \text{(1c-us'):} & 6-n_{2356}-2n_4-\varepsilon \\ \text{(us'-2c):} & 6-n_{1456}-2n_3-\varepsilon \end{array}
```

Der Beitrag jeder Region außer (h-h) kann durch den Faktor M^2/Q^2 unterdrückt sein, wenn gewisse Parameter n_i nicht ihren Maximalwert $n_i = 1$ haben. Außerdem tragen die Regionen (1c-1c) und (2c-2c) nur für $n_7 = 0$ bei und wurden nur für diesen Fall berechnet.

Die Beiträge der einzelnen Regionen wurden mit Hilfe von Schwinger-Parametern und Mellin-Barnes-Transformationen berechnet. Für die harte Region (h-h) ergab

sich im Spezialfall $n_7 = 0$ das folgende zweifache Mellin-Barnes-Integral:

$$F_{\text{NP}}^{(\text{h-h})}(n_{1}, n_{2}, n_{3}, n_{4}, n_{5}, n_{6}, 0) = \left(\frac{M^{2}}{Q^{2}}\right)^{2\varepsilon} \frac{e^{-ni\pi} e^{2\varepsilon\gamma_{E}} \Gamma(\frac{d}{2} - n_{35})\Gamma(\frac{d}{2} - n_{46})}{\Gamma(n_{1})\Gamma(n_{2})\Gamma(n_{3})\Gamma(n_{4})\Gamma(n_{5})\Gamma(n_{6})\Gamma(d - n_{3456})\Gamma(\frac{3}{2}d - n_{123456})} \times \int_{-i\infty}^{i\infty} \frac{dz_{1}}{2\pi i} \Gamma(d - n_{12345} - z_{1})\Gamma(d - n_{12456} - z_{1})\Gamma(n_{1} + z_{1})\Gamma(n_{123456} - d + z_{1}) \times \int_{-i\infty}^{i\infty} \frac{dz_{2}}{2\pi i} \Gamma(-z_{2})\Gamma(d - n_{13456} - z_{2})\Gamma(n_{4} + z_{2})\Gamma(n_{5} + z_{2}) \times \frac{\Gamma(-z_{1} + z_{2})\Gamma(\frac{d}{2} - n_{12} - z_{1} + z_{2})}{\Gamma(d - n_{1235} - z_{1} + z_{2})\Gamma(d - n_{1246} - z_{1} + z_{2})} .$$

$$(3.19)$$

Die Auswertung dieses zweifachen Mellin-Barnes-Integrals, das zudem nur die skalaren Integrale mit $n_7 = 0$ abdeckt, wäre vergleichsweise aufwändig gewesen. Deshalb wurden die masselosen Diagramme, die der harten Region entsprechen, mit der Methode der partiellen Integration berechnet. Das Ergebnis für das Integral mit der vollen Topologie ohne Zähler, $F_{\rm NP}^{\rm (h-h)}(1,1,1,1,1,1,0)$, wurde aus [80] übernommen. Alle anderen masselosen skalaren Integrale konnten mittels partieller Integration entweder auf dieses Integral oder auf einfachere Topologien zurückgeführt werden. Der gesamte Beitrag der harten Region liefert das Ergebnis des masselosen nichtplanaren Feynman-Diagramms:

$$F_{v,\text{NP}}^{(\text{h-h})} = \left(C_F^2 - \frac{1}{2}C_F C_A\right) \left(\frac{\alpha}{4\pi}\right)^2 \left(\frac{\mu^2}{Q^2}\right)^{2\varepsilon} S_{\varepsilon}^2 \left\{ \frac{1}{\varepsilon^4} + \frac{4}{\varepsilon^3} + \frac{1}{\varepsilon^2} \left(-\frac{7}{6}\pi^2 + 16\right) + \frac{1}{\varepsilon} \left(-\frac{122}{3}\zeta_3 - \frac{8}{3}\pi^2 + 58\right) - \frac{53}{72}\pi^4 - \frac{380}{3}\zeta_3 - \frac{29}{3}\pi^2 + 204 \right\} + \mathcal{O}(\varepsilon) . \quad (3.20)$$

Dieses Ergebnis stimmt mit [69,70] überein.

Die Beiträge der anderen Regionen wurden mit Hilfe von Schwinger-Parametern und Mellin-Barnes-Darstellungen berechnet. Ihre führenden Beiträge lassen sich durch einfache Mellin-Barnes-Integrale oder durch schlichte Brüche mit Γ -Funktionen aus-

drücken:

$$\begin{split} F_{\text{NP}}^{(\text{tc-1})}(n_1, n_2, n_3, n_4, n_5, n_6, n_7) &= \\ \left(\frac{M^2}{Q^2}\right)^{2-n_{35}+\varepsilon} e^{-ni\pi} e^{2\varepsilon\gamma_E} \frac{\Gamma(\frac{d}{2}-n_{24})\Gamma(\frac{d}{2}-n_{16}+n_7)\Gamma(n_{35}-\frac{d}{2})}{\Gamma(n_1)\Gamma(n_2)\Gamma(n_3)\Gamma(n_5)\Gamma^2(d-n_{1246}+n_7)} \\ &\times \int_{-\infty}^{i\infty} \frac{\mathrm{d}z}{2\pi i} \frac{\Gamma(-z)\Gamma(\frac{d}{2}-n_{146}-z)\Gamma(\frac{d}{2}-n_{1246}+n_{37}-z)}{\Gamma(\frac{d}{2}-n_{16}-z)} \\ &\times \frac{\Gamma(n_1+z)\Gamma(\frac{d}{2}-n_3+z)\Gamma(n_{1246}-\frac{d}{2}+z)}{\Gamma(n_{16}+z)}, \quad (3.21) \\ F_{\text{NP}}^{(\text{lc-1c)}}(n_1, n_2, n_3, n_4, n_5, n_6, 0) &= \\ \left(\frac{M^2}{Q^2}\right)^{4-n_{1356}} \frac{e^{-ni\pi} e^{2\varepsilon\gamma_E}\Gamma(n_{16}-\frac{d}{2})\Gamma(n_{1356}-d)}{\Gamma(n_1)\Gamma(n_3)\Gamma(n_5)\Gamma(n_6)\Gamma(\frac{d}{2}-n_{24})} \int_{-i\infty}^{i\infty} \frac{\mathrm{d}z}{2\pi i} \Gamma(-z)\Gamma(n_{13}-\frac{d}{2}-z) \\ &\times \frac{\Gamma(n_5-n_4+z)\Gamma(\frac{d}{2}-n_1+z)\Gamma(\frac{d}{2}-n_{24}+z)\Gamma(\frac{d}{2}-n_{34}+z)}{\Gamma(\frac{d}{2}-n_4+z)\Gamma(n_{156}-n_4-\frac{d}{2}+z)}, \quad (3.22) \\ F_{\text{NP}}^{(\text{lc-2c)}}(n_1, n_2, n_3, n_4, n_5, n_6, n_7) &= \left(\frac{M^2}{Q^2}\right)^{4-n_{3456}} e^{-ni\pi} e^{2\varepsilon\gamma_E} \\ &\times \frac{\Gamma(n_{37}-n_2)\Gamma(n_{47}-n_1)\Gamma(\frac{d}{2}-n_{13})\Gamma(\frac{d}{2}-n_{24})\Gamma(n_{35}-\frac{d}{2})\Gamma(n_{46}-\frac{d}{2})}{\Gamma(n_3)\Gamma(n_4)\Gamma(n_5)\Gamma(n_6)\Gamma^2(\frac{d}{2}-n_{12}+n_7)}, \quad (3.23) \\ F_{\text{NP}}^{(\text{lc-1c'})}(n_1, n_2, n_3, n_4, n_5, n_6, n_7) &= \left(\frac{M^2}{Q^2}\right)^{4-n_{2345}} e^{-ni\pi} e^{2\varepsilon\gamma_E} \\ &\times \frac{\Gamma(n_{2345}-n_2)\Gamma(n_{47}-n_1)\Gamma(\frac{d}{2}-n_{34})\Gamma(n_{24}-\frac{d}{2})\Gamma(n_{2345}-d)}{\Gamma(n_2)\Gamma(n_3)\Gamma(n_4)\Gamma(n_5)\Gamma(n_6)\Gamma^2(\frac{d}{2}-n_{12}+n_7)}, \quad (3.23) \\ F_{\text{NP}}^{(\text{lc-1c'})}(n_1, n_2, n_3, n_4, n_5, n_6, n_7) &= \left(\frac{M^2}{Q^2}\right)^{4-n_{2345}} e^{-ni\pi} e^{2\varepsilon\gamma_E} \Gamma(d-n_{234})\Gamma(n_{24}-\frac{d}{2})\Gamma(n_{2345}-d)} \\ &\times \frac{\Gamma(-z)\Gamma(\frac{d}{2}-n_{347}-z)\Gamma(n_{37}-n_6+z)\Gamma(\frac{d}{2}-n_2+z)\Gamma(\frac{d}{2}-n_{16}+n_7+z)}{\Gamma(\frac{d}{2}-n_6+n_7+z)}, \quad (3.24) \\ F_{\text{NP}}^{(\text{lc-1c'})}(n_1, n_2, n_3, n_4, n_5, n_6, n_7) &= \left(\frac{M^2}{Q^2}\right)^{8-n_{1256}-2n_{34}-2\varepsilon} e^{-ni\pi} e^{2\varepsilon\gamma_E} \Gamma(\frac{d}{2}-n_{34}) \\ &\times \frac{\Gamma(d-n_{134})\Gamma(d-n_{234})\Gamma(n_{13}-\frac{d}{2})\Gamma(n_{24}-\frac{d}{2})\Gamma(n_{2345}-d)\Gamma(n_{1346}-d)}{\Gamma(n_1)\Gamma(n_2)\Gamma(n_3)\Gamma(n_4)\Gamma(n_5)\Gamma(n_6)\Gamma(n_46-\frac{d}{2})\Gamma(n_{347}-\frac{d}{2})\Gamma(n_{2345}-d)} \\ &\times \frac{\Gamma(\frac{d}{2}-n_{13})\Gamma(d-n_{234})\Gamma(n_{24}-\frac{d}{2})\Gamma(n_{46}-\frac{d}{2})\Gamma(n_{447}-\frac{d}{2})\Gamma(n_{244}-\frac{d}{2})\Gamma(n_{446}-\frac{d}{2})\Gamma(n_{446}-\frac{d}{2})\Gamma(n_$$

Der Ausdruck für die (us'-us')-Region gilt tatsächlich für beliebige n_7 , auch wenn n_7 darin nicht mehr vorkommt. Der führende Beiträg des Zählers im Schleifenintegral von $F_{\rm NP}^{({\rm us'-us'})}$ enthält lediglich die Konstante $(Q^2)^{n_7}$, die durch den Vorfaktor $(Q^2)^{-n_7}$ in (3.17) gekürzt wird.

Wegen der Symmetrie des Diagramms gilt:

$$F_{\text{NP}}^{(\text{h-2c})}(n_1, n_2, n_3, n_4, n_5, n_6, n_7) = F_{\text{NP}}^{(\text{1c-h})}(n_2, n_1, n_4, n_3, n_6, n_5, n_7),$$

$$F_{\text{NP}}^{(\text{2c-2c})}(n_1, n_2, n_3, n_4, n_5, n_6, 0) = F_{\text{NP}}^{(\text{1c-lc})}(n_2, n_1, n_4, n_3, n_6, n_5, 0),$$
(3.27)

$$F_{\text{NP}}^{(2\text{c-2c})}(n_1, n_2, n_3, n_4, n_5, n_6, 0) = F_{\text{NP}}^{(1\text{c-1c})}(n_2, n_1, n_4, n_3, n_6, n_5, 0), \qquad (3.28)$$

$$F_{\text{NP}}^{(2\text{c}'-2\text{c})}(n_1, n_2, n_3, n_4, n_5, n_6, n_7) = F_{\text{NP}}^{(1\text{c}-1\text{c}')}(n_2, n_1, n_4, n_3, n_6, n_5, n_7), \qquad (3.29)$$

$$F_{\rm NP}^{\rm (us'-2c)}(n_1,n_2,n_3,n_4,n_5,n_6,n_7) = F_{\rm NP}^{\rm (1c-us')}(n_2,n_1,n_4,n_3,n_6,n_5,n_7). \tag{3.30}$$

Bei der großen Zahl von Regionen, die zum nichtplanaren Diagramm beitragen, stellt sich die berechtigte Frage nach einer Überprüfung, ob alle relevanten Regionen berücksichtigt worden sind. Für das nichtplanare Diagramm, wie auch für viele andere Diagramme, konnte die Vollständigkeit der Regionen folgendermaßen geprüft werden. Das gesamte skalare Diagramm mit allgemeinen Parametern ohne Zähler wurde mit Hilfe von Schwinger-Parametern in die folgende Form mit einem vierfachen Mellin-Barnes-Integral gebracht:

$$F_{\text{NP}}(n_{1}, n_{2}, n_{3}, n_{4}, n_{5}, n_{6}, 0) = \frac{e^{-ni\pi} e^{2\varepsilon\gamma_{E}}}{\Gamma(n_{1})\Gamma(n_{2})\Gamma(n_{3})\Gamma(n_{4})\Gamma(n_{5})\Gamma(n_{6})} \int_{-i\infty}^{i\infty} \frac{\mathrm{d}z_{1}}{2\pi i} \left(\frac{M^{2}}{Q^{2}}\right)^{2\varepsilon+z_{1}} \times \int_{-i\infty}^{i\infty} \frac{\mathrm{d}z_{2}}{2\pi i} \int_{-i\infty}^{i\infty} \frac{\mathrm{d}z_{3}}{2\pi i} \int_{-i\infty}^{i\infty} \frac{\mathrm{d}z_{4}}{2\pi i} \frac{\Gamma(n_{1}+z_{2})\Gamma(-z_{3})\Gamma(n_{4}+z_{3})\Gamma(-z_{4})\Gamma(n_{46}-\frac{d}{2}-z_{4})}{\Gamma(d-n_{3456}-z_{1})\Gamma(\frac{3}{2}d-n_{123456}-z_{1})} \times \Gamma(d-n_{12456}-z_{1}-z_{2})\Gamma(d-n_{13456}-z_{1}-z_{3})\Gamma(\frac{d}{2}-n_{46}-z_{1}+z_{4}) \times \Gamma(d-n_{3456}-z_{1}+z_{4})\Gamma(n_{123456}-d+z_{1}+z_{2})\Gamma(z_{3}-z_{2})\Gamma(\frac{d}{2}-n_{12}-z_{2}+z_{3}) \times \frac{\Gamma(\frac{3}{2}d-n_{12356}-2n_{4}-z_{1}-z_{2}+z_{4})\Gamma(n_{456}-\frac{d}{2}+z_{1}+z_{3}-z_{4})}{\Gamma(\frac{d}{2}-n_{12}-z_{2}+z_{3}-z_{4})\Gamma(\frac{3}{2}d-n_{123456}-z_{1}-z_{2}+z_{3}+z_{4})}.$$
(3.31)

Aus dieser Darstellung konnten die führenden Residuen, d.h. diejenigen Beiträge, die nicht mit M^2/Q^2 gegenüber anderen unterdrückt sind, extrahiert werden. Dies ergab 11 Terme, deren Abhängigkeit von M^2/Q^2 exakt derjenigen der 11 Regionen entspricht. Manche der Terme sind identisch mit den Ausdrücken für die jeweiligen Regionen, andere sind durch zusätzliche Mellin-Barnes-Integrale wesentlich komplizierter. Da jedoch keine zusätzlichen Terme mit anderen als den aus den berücksichtigen Regionen bekannten Abhängigkeiten von M^2/Q^2 auftraten, ist davon auszugehen, dass keine weiteren Regionen zum nichtplanaren Diagramm beitragen.

Die Struktur der Singularitäten in den Mellin-Barnes-Integralen der einzelnen Regionen ist komplizierter als im Fall des planaren Diagramms. Neben Singularitäten, die dimensional regularisiert sind (durch $\varepsilon \neq 0$) und Singularitäten im Zähler der Integrale, die durch entsprechende Singularitäten im Nenner der Vorfaktoren kompensiert werden, treten Singularitäten im Parameterraum der n_i auf, die nur zwischen den kollinearen Regionen (1c-1c), (2c-2c), (1c-2c), (1c-1c') und (2c'-2c) kompensiert werden. So wird der Pol $1/(n_4-n_5)$, der für $n_1=n_3=n_4=n_5=n_6=1,\ n_7=0$ auftritt, zwischen den Regionen (1c-1c) und (2c'-2c) kompensiert. Entsprechendes gilt für den Pol $1/(n_3-n_6)$, der für $n_2=n_3=n_4=n_5=n_6=1,\ n_7=0$ in den Regionen (2c-2c) und (1c-1c') auftritt. Auch von den Polen $1/(n_1-n_4),\ 1/(n_2-n_3)$ und $1/(n_{13}-n_{24})$, die in unterschiedlicher Kombination in den Regionen (1c-1c), (2c-2c) und (1c-2c) vorkommen, bleibt nach Addition dieser drei Regionen nichts mehr übrig.

Die Auswertung der Mellin-Barnes-Integrale erfolgt wie für das planare Diagramm beschrieben. Die Ergebnisse der einzelnen skalaren Integrale $F_{\rm NP}$ finden sich im Anhang D.1.2 in Gl. (D.4). Der gesamte Beitrag des nichtplanaren Vertexdiagramms zum Formfaktor lautet in führender Ordnung in M^2/Q^2 :

$$F_{v,NP} = \left(C_F^2 - \frac{1}{2}C_F C_A\right) \left(\frac{\alpha}{4\pi}\right)^2 \left(\frac{\mu^2}{M^2}\right)^{2\varepsilon} S_{\varepsilon}^2 \left\{-\frac{2}{\varepsilon}\right\} + \frac{1}{3}\mathcal{L}^4 - \frac{8}{3}\mathcal{L}^3 + \left(-\frac{2}{3}\pi^2 + 12\right)\mathcal{L}^2 + \left(40\zeta_3 + \frac{2}{3}\pi^2 - 28\right)\mathcal{L} - \frac{4}{15}\pi^4 - 72\zeta_3 - \pi^2 + 28\right\} + \mathcal{O}(\varepsilon) + \mathcal{O}\left(\frac{M^2}{Q^2}\right).$$
(3.32)

Das Ergebnis des Vertexdiagramms enthält nur einen einfachen Pol in ε . Dies ist darauf zurückzuführen, dass jede Schleife des Zweischleifendiagramms vier Propagatoren enthält und für sich gesehen ultraviolett-konvergent ist. Erst die zweite Schleifenintegration produziert eine ultraviolette Singularität.

3.1.3 Vertexdiagramm mit Benz-Topologie

Das Vertexdiagramm mit Benz-Topologie (Bezeichnung BE) ist in Abb. 3.5 als Feynman-Diagramm und als skalares Diagramm mit Impulsbezeichnungen dargestellt. Der Name Benz-Topologie leitet sich von der bekannten Form ab, die man erhält, wenn die Linien 2, 1, 3, p_1 , p_2 einen Kreis bilden, von dessen Rand aus äquidistant die Linien 4, 6, 5 weggehen, um sich in der Kreismitte zu treffen. Das horizontal gespiegelte Feynman-Diagramm liefert aus Symmetriegründen denselben Beitrag zum Formfaktor, so dass das hier dargestellte Benz-Diagramm zweifach gezählt werden muss.

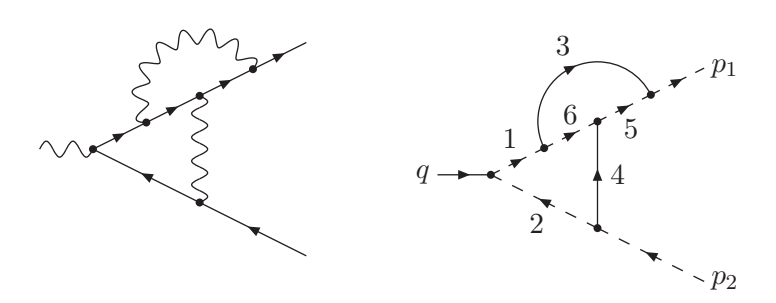


Abbildung 3.5: Vertexdiagramm mit Benz-Topologie (mit skalarem Diagramm)

Die Amplitude des Benz-Vertexdiagramms lautet:

$$\mathcal{F}^{\mu}_{v,\text{BE}} = \mu^{4\varepsilon} \int \frac{\mathrm{d}^{d}k}{(2\pi)^{d}} \int \frac{\mathrm{d}^{d}\ell}{(2\pi)^{d}} ig\gamma^{\rho} t^{b} \frac{i\rlap/k_{5}}{k_{5}^{2}} ig\gamma^{\nu} t^{a} \frac{i\rlap/k_{6}}{k_{6}^{2}} ig\gamma_{\rho} t^{b} \frac{i\rlap/k_{1}}{k_{1}^{2}} \gamma^{\mu} \frac{i\rlap/k_{2}}{k_{2}^{2}} ig\gamma_{\nu} t^{a} \times \frac{-i}{k_{2}^{2} - M^{2}} \frac{-i}{k_{1}^{2} - M^{2}}, \quad (3.33)$$

mit den Impulsen

$$k_1 = p_1 - \ell$$
, $k_2 = p_2 - \ell$, $k_3 = p_1 - k$, $k_4 = \ell$, $k_5 = k$, $k_6 = k - \ell$. (3.34)

Der Farbfaktor des Benz-Vertexdiagramms ist der gleiche wie der des nichtplanaren Vertexdiagramms:

$$t^b t^a t^b t^a = \left(C_F^2 - \frac{1}{2} C_F C_A \right) \mathbf{1} .$$

Der Beitrag der Amplitude $\mathcal{F}^{\mu}_{v,\mathrm{BE}}$ zum Formfaktor ist $F_{v,\mathrm{BE}}$. Das Kürzen der Skalarprodukte im Zähler von $F_{v,\mathrm{BE}}$ mit Propagatornennern erledigen die folgenden Umformungen:

$$p_{1} \cdot k_{5} = -\frac{1}{2}(k_{3}^{2} - k_{5}^{2}), \qquad p_{1} \cdot k_{4} = -\frac{1}{2}(k_{1}^{2} - k_{4}^{2}), p_{2} \cdot k_{4} = -\frac{1}{2}(k_{2}^{2} - k_{4}^{2}), \qquad k_{4} \cdot k_{5} = -\frac{1}{2}(k_{6}^{2} - k_{4}^{2} - k_{5}^{2}).$$

$$(3.35)$$

Als irreduzibles Skalarprodukt verbleibt $2p_2 \cdot k_5 = 2p_2 \cdot k$. Die skalaren Zweischleifenintegrale der Benz-Topologie sind folgendermaßen definiert:

$$F_{\text{BE}}(n_{1}, n_{2}, n_{3}, n_{4}, n_{5}, n_{6}, n_{7}) = e^{2\varepsilon\gamma_{E}} (M^{2})^{2\varepsilon} (Q^{2})^{n-n_{7}-4}$$

$$\times \int \frac{d^{d}k}{i\pi^{d/2}} \int \frac{d^{d}\ell}{i\pi^{d/2}} \frac{(2p_{2} \cdot k)^{n_{7}}}{(\ell^{2} - 2p_{1} \cdot \ell)^{n_{1}} (\ell^{2} - 2p_{2} \cdot \ell)^{n_{2}} (k^{2} - 2p_{1} \cdot k - M^{2})^{n_{3}}}$$

$$\times \frac{1}{(\ell^{2} - M^{2})^{n_{4}} (k^{2})^{n_{5}} ((k - \ell)^{2})^{n_{6}}}, \quad (3.36)$$

mit der Notation aus Gl. (3.6) und $n = n_{123456}$ (ohne n_7). Die Zerlegung von $F_{v,BE}$ in skalare Integrale findet sich im Anhang D.1.3 in Gl. (D.5). Das Benz-Diagramm weist keine Symmetrie auf, mit der analog zum planaren und nichtplanaren Diagramm verschiedene skalare Integrale zueinander in Beziehung gesetzt werden könnten.

Zur Expansion by Regions für die Auswertung der skalaren Integrale tragen folgende Regionen bei:

Der führende Beitrag der jeweiligen Region hängt über die folgende Potenz von M^2/Q^2 ab (Notation wie in Abschnitt 3.1.1):

Die Regionen (us-2c) und (2c-2c) sind gegenüber (h-h) unterdrückt, wenn $n_7 > 0$ ist. Außerdem tritt für $n_1 = n_3 = n_4 = n_5 = n_6 = 1$ der Fall ein, dass der Beitrag der Region (1c-1c) von der Ordnung $(M^2/Q^2)^{-1}$ ist, also einen Pol in M^2 aufweist. Dieser Pol wird jedoch vom Vorfaktor des skalaren Diagramms in der Zerlegung (D.5) gekürzt, der in all diesen Fällen proportional zu M^2/Q^2 ist.

Die Beiträge aller Regionen wurden mit Hilfe von Schwinger-Parametern und Mellin-Barnes-Darstellungen für allgemeine Parameter n_i als maximal zweifache Mellin-Barnes-Integrale dargestellt. Zur Vereinfachung von Summen aus mehreren Termen mit ganzzahligen Potenzen im Zähler der Parameterintegrale wurde zusätzlich die binomische Formel verwendet:

$$(a+b)^n = \sum_{i=0}^n \frac{n!}{i! (n-i)!} a^i b^{n-i}$$
(3.37)

Wiederholte Anwendung von (3.37) führt auf Summen der Form

$$\sum_{i_1, i_2, i_3 \ge 0}^{i_{123} \le n} \equiv \sum_{i_1=0}^{n} \sum_{i_2=0}^{n-i_1} \sum_{i_3=0}^{n-i_1-i_2},$$

wobei wie für die Parameter n_i die Notation $i_{12...} = i_1 + i_2 + ...$ eingeführt wird. Die Beiträge der Regionen lauten:

$$\begin{split} F_{\text{BE}}^{\text{(li-h)}}(n_1, n_2, n_3, n_4, n_5, n_6, n_7) &= \left(\frac{M^2}{Q^2}\right)^{2\varepsilon} e^{-ni\pi} e^{2\varepsilon\gamma_E} \sum_{i_1, i_2, i_3 \ge 0}^{i_1 \le 2\pi i_1} \frac{n_7!}{i_1! i_2! i_3! (n_7 - i_{123})!} \\ &\times \frac{\Gamma(n_1 + i_3)\Gamma(n_4 + i_2)\Gamma(\frac{d}{2} - n_{35})\Gamma(d - n_{13456} + i_1)\Gamma(n_{123456} - d)}{\Gamma(n_1)\Gamma(n_2)\Gamma(n_3)\Gamma(n_4)\Gamma(n_5)\Gamma(n_6)\Gamma(d - n_{356} + i_{123})\Gamma(\frac{3}{2}d - n_{123456} + n_7)} \\ &\times \int\limits_{-i\infty}^{i\infty} \frac{\mathrm{d}z}{2\pi i} \frac{\Gamma(-z)\Gamma(\frac{d}{2} - n_{56} + i_{12} - z)\Gamma(d - n_{36} - 2n_5 + i_{123} - z)}{\Gamma(d - n_{36} - 2n_5 + i_{12} - z)} \\ &\times \frac{\Gamma(n_5 + z)\Gamma(\frac{d}{2} - n_{24} + n_7 - i_{12} + z)\Gamma(n_{3567} - i_{123} - \frac{d}{2} + z)}{\Gamma(n_{13567} - i_{12} - \frac{d}{2} + z)}, \quad (3.38) \\ F_{\text{BE}}^{\text{(li-h)}}(n_1, n_2, n_3, n_4, n_5, n_6, n_7) &= \\ \left(\frac{M^2}{Q^2}\right)^{2-n_{35} + \varepsilon} e^{-ni\pi} e^{2\varepsilon\gamma_E} \frac{\Gamma(n_{35} - \frac{d}{2})\Gamma(\frac{d}{2} - n_{146})}{\Gamma(n_1)\Gamma(n_2)\Gamma(n_3)\Gamma(n_6)\Gamma(d - n_{1246})} \\ &\times \int\limits_{-i\infty}^{\infty} \frac{\mathrm{d}z}{2\pi i} \frac{\Gamma(-z)\Gamma(\frac{d}{2} - n_{246} - z)\Gamma(n_6 + z)\Gamma(\frac{d}{2} - n_5 + n_7 + z)\Gamma(n_{1246} - \frac{d}{2} + z)}{\Gamma(\frac{d}{2} + n_7 + z)}, \\ &\times \frac{\Gamma(\frac{h-2c}{2})}{2\pi i} \frac{\mathrm{d}z}{\Gamma(n_2)\Gamma(\frac{d}{2} - n_{35})\Gamma(\frac{d}{2} - n_{1356} + n_2)\Gamma(\frac{d}{2} - n_{56} + n_7)\Gamma(n_{24} - \frac{d}{2})\Gamma(n_{356} - \frac{d}{2})}{\Gamma(n_2)\Gamma(n_3)\Gamma(n_4)\Gamma(n_6)\Gamma(d - n_{1356})\Gamma(d - n_{356} + n_7)}, \\ &\times \frac{\Gamma(\frac{d-2}{2} - n_2)\Gamma(\frac{d}{2} - n_{35})\Gamma(\frac{d}{2} - n_{1356} + n_2)\Gamma(\frac{d}{2} - n_5 + n_7)\Gamma(n_{24} - \frac{d}{2})\Gamma(n_{356} - \frac{d}{2})}{\Gamma(n_2)\Gamma(n_3)\Gamma(n_4)\Gamma(n_6)\Gamma(d - n_{1356})\Gamma(d - n_{356} + n_7)}, \\ &\times \frac{\Gamma(\frac{d-2}{2} - n_2)\Gamma(\frac{d-2}{2} - n_{35})\Gamma(\frac{d-2}{2} - n_{156} + n_7)\Gamma(\frac{d-2}{2} - n_5 + n_7)\Gamma(d - n_{256} + n_7)}{\Gamma(n_2)\Gamma(n_3)\Gamma(n_4)\Gamma(n_5)\Gamma$$

$$\times \int_{-i\infty}^{i\infty} \frac{\mathrm{d}z_{2}}{2\pi i} \Gamma(-z_{2}) \Gamma(\frac{d}{2} - n_{56} + i_{1} - z_{2}) \Gamma(n_{5} + z_{2}) \frac{\Gamma(n_{1} - n_{5} + i_{2} - z_{1} - z_{2})}{\Gamma(n_{1} - n_{5} - z_{1} - z_{2})} \\
\times \frac{\Gamma(\frac{d}{2} - n_{1} + n_{7} - i_{2} + z_{1} + z_{2}) \Gamma(\frac{d}{2} - n_{2} + n_{7} + z_{1} + z_{2})}{\Gamma(\frac{d}{2} + n_{7} + z_{1} + z_{2})}, \qquad (3.42)$$

$$F_{\mathrm{BE}}^{(2c-2c)}(n_{1}, n_{2}, n_{3}, n_{4}, n_{5}, n_{6}, n_{7}) = \left(\frac{M^{2}}{Q^{2}}\right)^{4-n_{2456}+n_{7}} e^{-ni\pi} e^{2\varepsilon\gamma_{E}} \sum_{i_{1}, i_{2}, i_{3} \geq 0}^{i_{123} \leq n_{7}} \\
\times \frac{n_{7}!}{i_{1}! i_{2}! i_{3}! (n_{7} - i_{123})!} \frac{\Gamma(n_{1} + i_{1}) \Gamma(n_{37} - i_{1}) \Gamma(n_{2} - n_{137} + i_{2})}{\Gamma(n_{1}) \Gamma(n_{2}) \Gamma(n_{3}) \Gamma(n_{4}) \Gamma(n_{5}) \Gamma(n_{6})} \Gamma(\frac{d}{2} - n_{35} + i_{1})$$

$$\times \frac{\Gamma(\frac{d}{2} - n_{6} + i_{23}) \Gamma(d - n_{256} + n_{7} + i_{3}) \Gamma(n_{56} - i_{23} - \frac{d}{2}) \Gamma(n_{2456} - n_{7} - d)}{\Gamma(\frac{d}{2} - n_{13}) \Gamma(d - n_{356} + i_{123})}, (3.43)$$

$$F_{\mathrm{BE}}^{(1c-2c)}(n_{1}, n_{2}, n_{3}, n_{4}, n_{5}, n_{6}, n_{7}) = \left(\frac{M^{2}}{Q^{2}}\right)^{4-n_{2345}} e^{-ni\pi} e^{2\varepsilon\gamma_{E}}$$

$$\times \frac{\Gamma(n_{2} - n_{16}) \Gamma(\frac{d}{2} - n_{2}) \Gamma(\frac{d}{2} - n_{56} + n_{7}) \Gamma(n_{24} - \frac{d}{2}) \Gamma(n_{35} - \frac{d}{2})}{\Gamma(n_{2}) \Gamma(n_{3}) \Gamma(n_{4}) \Gamma(\frac{d}{2} - n_{6} + n_{7})}. (3.44)$$

Diese Ausdrücke für die 7 Regionen konnten, ähnlich wie in Abschnitt 3.1.2 für das nichtplanare Diagramm, auch durch eine Berechnung des gesamten skalaren Diagramms ohne Entwicklung in den Regionen erzielt werden. Das skalare Benz-Diagramm mit allgemeinen Parametern (inklusive Zähler) wurde mit Hilfe von Schwinger-Parametern in die folgende Form mit einem dreifachen Mellin-Barnes-Integral und einer dreifachen Summe gebracht:

$$F_{\text{BE}}(n_{1}, n_{2}, n_{3}, n_{4}, n_{5}, n_{6}, n_{7}) = \frac{e^{-ni\pi} e^{2\varepsilon\gamma_{E}}}{\Gamma(n_{2})\Gamma(n_{3})\Gamma(n_{4})\Gamma(n_{5})\Gamma(n_{6})}$$

$$\times \sum_{i_{1}, i_{2}, i_{3} \geq 0}^{i_{1} \geq 0} \frac{n_{7}!}{i_{1}! i_{2}! i_{3}! (n_{7} - i_{123})!} \frac{\Gamma(n_{1} + i_{3})}{\Gamma(n_{1})} \int_{-i\infty}^{i\infty} \frac{dz_{1}}{2\pi i} \int_{-i\infty}^{i\infty} \frac{dz_{2}}{2\pi i} \int_{-i\infty}^{i\infty} \frac{dz_{3}}{2\pi i} \left(\frac{M^{2}}{Q^{2}}\right)^{2\varepsilon + z_{1}}$$

$$\times \frac{\Gamma(d - n_{13456} + i_{1} - z_{1})\Gamma(n_{123456} - d + z_{1})}{\Gamma(\frac{3}{2}d - n_{123456} + n_{7} - z_{1})} \Gamma(-z_{2})\Gamma(n_{4} + i_{2} + z_{2})$$

$$\times \Gamma(-z_{3})\Gamma(\frac{d}{2} - n_{56} + i_{12} - z_{3})\Gamma(n_{5} + z_{3})\Gamma(\frac{d}{2} - n_{2} + n_{7} - i_{1} + z_{2} + z_{3})$$

$$\times \frac{\Gamma(-n_{4} - i_{2} - z_{1} - z_{2})\Gamma(\frac{d}{2} - n_{345} - i_{2} - z_{1} - z_{2})}{\Gamma(d - n_{3456} + i_{13} - z_{1} - z_{2})}$$

$$\times \frac{\Gamma(d - n_{346} - 2n_{5} + i_{13} - z_{1} - z_{2} - z_{3})\Gamma(n_{34567} - i_{13} - \frac{d}{2} + z_{1} + z_{2} + z_{3})}{\Gamma(d - n_{346} - 2n_{5} + i_{1} - z_{1} - z_{2} - z_{3})\Gamma(n_{134567} - i_{1} - \frac{d}{2} + z_{1} + z_{2} + z_{3})}.$$
(3.45)

Die Extraktion der führenden Beiträge in M^2/Q^2 ergab 7 Terme. Diese waren zwar teilweise komplizierter als die obigen Ausdrücke für die 7 Regionen, aber nach Umformungen und Vereinfachungen konnten alle Terme mit dem Ausdruck je einer Region identifiziert werden.

Die harte (h-h)-Region wurde außer durch Berechnung der Mellin-Barnes-Integrale auch durch partielle Integration der masselosen Integrale ausgewertet. Die Ergebnisse der beiden Methoden stimmen überein. Das Ergebnis des masselosen Feynman-Diagramms mit Benz-Topologie, oder anders ausgedrückt, der gesamte Beitrag der harten Region, lautet:

$$F_{v,\text{BE}}^{(\text{h-h})} = \left(C_F^2 - \frac{1}{2}C_F C_A\right) \left(\frac{\alpha}{4\pi}\right)^2 \left(\frac{\mu^2}{Q^2}\right)^{2\varepsilon} S_{\varepsilon}^2 \left\{ -\frac{1}{\varepsilon^3} + \frac{1}{\varepsilon^2} \left(\frac{\pi^2}{3} - \frac{11}{2}\right) + \frac{1}{\varepsilon} \left(2\zeta_3 + \frac{5}{3}\pi^2 - \frac{109}{4}\right) + \frac{2}{45}\pi^4 + \frac{59}{3}\zeta_3 + \frac{91}{12}\pi^2 - \frac{911}{8} \right\} + \mathcal{O}(\varepsilon) . \quad (3.46)$$

Dieses Ergebnis stimmt mit [69,70] überein.

Die Auswertung der Mellin-Barnes-Integrale erfolgte im wesentlichen wie für das planare Diagramm beschrieben. Singularitäten, die nicht dimensional regularisiert sind, treten ausschließlich zwischen den (c-c)-Regionen (1c-1c), (2c-2c) und (1c-2c) auf. In den Fällen $F_{\rm BE}(n_1,1,n_3,1,1,1,0)$ mit $n_1+n_3=1$ wird der Pol $1/(n_{13}-n_2)$ zwischen den Regionen (1c-1c) und (2c-2c) kompensiert. Und in den Fällen $F_{\rm BE}(n_1,1,1,1,1,n_6,n_7)$ mit beliebigem n_7 und $n_1+n_6=1$ wird der Pol $1/(n_{16}-n_2)$ zwischen den Regionen (1c-1c) und (1c-2c) kompensiert.

Am kompliziertesten ist die Auswertung der (1c-1c)-Region mit dem zweifachen Mellin-Barnes-Integral. Wenn einer der Parameter n_i , i=3,4,5 oder 6, kleiner als 1 ist, geht der Nenner des Vorfaktors mit $1/\Gamma(n_i)$ gegen Null. Dann liefern nur diejenigen Residuen des Integrals einen Beitrag, die mit einer entsprechenden Singularität $\Gamma(n_i)$ die Nullstelle des Vorfaktors kürzen. Im Fall $n_1=0$ verschwinden Summanden mit $i_2>0$. Für $n_1=i_2=0$ aber kürzen sich je zwei Γ -Funktionen $\Gamma(-z_1)$ und $\Gamma(\frac{d}{2}+n_7+z_1+z_2)$, so dass der Integrand einfacher wird. Auch wenn $n_2\leq 0$ ist, kann $\Gamma(\frac{d}{2}+n_7+z_1+z_2)$ gekürzt werden. Der Nenner $\Gamma(n_1-n_5-z_1-z_2)$ kann immer gekürzt werden, falls nötig mit der Umformung $\Gamma(x+1)=x\Gamma(x)$ im Zähler. Deswegen kann das z_2 -Integral für $n_1=0$ oder $n_2\leq 0$ mit dem ersten Barnschen Lemma (C.17) gelöst werden.

Die Schwierigkeit der (1c-1c)-Region zeigt sich bei der vollen Topologie, also für $F_{\text{BE}}^{(1\text{c-1c})}(1,1,1,1,1,1,n_7)$. Dann ist der führende Beitrag, wie bereits vorher analysiert, von der Ordnung $(M^2/Q^2)^{-1}$, alle anderen Regionen sind gegenüber (1c-1c) mit M^2/Q^2 unterdrückt. (Letzteres gilt auch für den einfacheren Fall $n_2 \leq 0$.) Die

analytische Auswertung des doppelten Mellin-Barnes-Integrals für die volle Topologie zeigte sich als zu schwierig. Allerdings sind diese Integrale in d=4 Dimensionen endlich, so dass sie bis auf den Faktor Q^2/M^2 lediglich Konstanten liefern. Diese wurden durch einen Ansatz in Kombination mit einer numerischen Auswertung der Integrale bestimmt. Neben den bisherigen analytischen Konstanten $\zeta_2 = \pi^2/6$, $\zeta_3 \approx 1,202057$ und $\zeta_4 = \pi^4/90$ tauchen in diesen Ergebnissen neue analytische Konstanten auf: $\ln^4 2$, $\pi^2 \ln^2 2$ sowie der Polygarithmus $\text{Li}_4(\frac{1}{2}) \approx 0,517479$ (B.12).

Die skalaren Integrale $F_{\rm BE}(1,1,1,1,1,n_7)$ mit der vollen Topologie und Zähler, $n_7>0$, wurden nicht direkt durch Auswertung von Gl. (3.42) gelöst, sondern auf Integrale ohne Zähler zurückgeführt. Dazu wurde mit Hilfe des in [81] beschriebenen Algorithmus, der teilweise auf [82,83] zurückgeht, das Zweischleifenintegral mit Schwinger-Parametern geschrieben und die Tensorreduktion in dieser Form durchgeführt. Als Ergebnis erhält man Integrale ohne Zähler mit höheren Propagatorpotenzen und einer erhöhten Zahl von Raum-Zeit-Dimensionen. Das Ergebnis wurde anhand einer direkten numerischen Auswertung von (3.42) überprüft.

Die Ergebnisse der einzelnen skalaren Integrale $F_{\rm BE}$ finden sich im Anhang D.1.3 in Gl. (D.6). Der gesamte Beitrag des Benz-Diagramms zum Formfaktor in führender Ordnung in M^2/Q^2 lautet wie folgt:

$$F_{v,BE} = \left(C_F^2 - \frac{1}{2}C_F C_A\right) \left(\frac{\alpha}{4\pi}\right)^2 \left(\frac{\mu^2}{M^2}\right)^{2\varepsilon} S_{\varepsilon}^2 \left\{ \frac{1}{2\varepsilon^2} + \frac{1}{\varepsilon} \left[-\mathcal{L}^2 + 3\mathcal{L} - \frac{2}{3}\pi^2 - \frac{13}{4} \right] \right.$$
$$+ \mathcal{L}^3 + \left(\frac{\pi^2}{3} - 7\right) \mathcal{L}^2 + \left(8\zeta_3 - 2\pi^2 + \frac{53}{2}\right) \mathcal{L} + 128 \operatorname{Li}_4\left(\frac{1}{2}\right) + \frac{16}{3} \ln^4 2$$
$$- \frac{16}{3}\pi^2 \ln^2 2 - \frac{28}{15}\pi^4 + 54\zeta_3 + \frac{115}{12}\pi^2 - \frac{263}{8} \right\} + \mathcal{O}(\varepsilon) + \mathcal{O}\left(\frac{M^2}{Q^2}\right). \quad (3.47)$$

3.1.4 Vertexdiagramm mit Fermion-Selbstenergie

Das Vertexdiagramm mit Selbstenergie-Einsetzung in einen der Fermionpropagatoren (Bezeichnung fc) ist in Abb. 3.6 mit dem skalaren Diagramm dargestellt. Das horizontal gespiegelte Feynman-Diagramm mit der Selbstenergie-Einsetzung im anderen Fermionpropagator liefert aus Symmetriegründen denselben Beitrag zum Formfaktor. Das hier berechnete Diagramm muss also zweifach gezählt werden.

Die Amplitude des Vertexdiagramms mit Fermion-Selbstenergie lautet:

$$\begin{split} \mathcal{F}^{\mu}_{v,\text{fc}} &= \mu^{4\varepsilon} \int \frac{\mathrm{d}^d k}{(2\pi)^d} \int \frac{\mathrm{d}^d \ell}{(2\pi)^d} \, ig \gamma^{\nu} t^a \, \frac{i \not k_1}{k_1^2} \, \gamma^{\mu} \frac{i \not k_2}{k_2^2} \, ig \gamma^{\rho} t^b \, \frac{i \not k_4}{k_4^2} \, ig \gamma_{\rho} t^b \, \frac{i \not k_2}{k_2^2} \, ig \gamma_{\nu} t^a \\ & \times \frac{-i}{k_3^2 - M^2} \frac{-i}{k_5^2 - M^2} \,, \quad (3.48) \end{split}$$

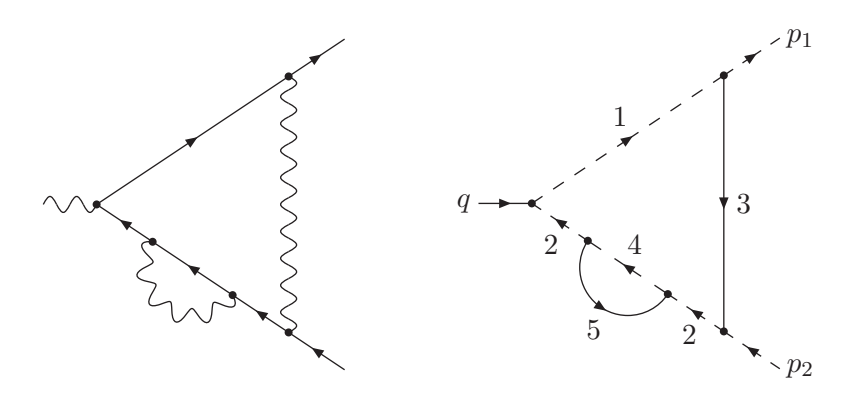


Abbildung 3.6: Vertexdiagramm mit Fermion-Selbstenergie (mit skalarem Diagramm)

mit den Impulsen

$$k_1 = p_1 - p_2 + k, \quad k_2 = k, \quad k_3 = k - p_2, \quad k_4 = k + \ell, \quad k_5 = \ell.$$
 (3.49)

Der Farbfaktor dieses Vertexdiagramms ist der gleiche wie der des planaren Vertexdiagramms:

$$t^a t^b t^b t^a = C_F^2 \mathbf{1} .$$

Der Beitrag der Amplitude $\mathcal{F}^{\mu}_{v,\mathrm{fc}}$ zum Formfaktor ist $F_{v,\mathrm{fc}}$. Zum Kürzen der meisten Skalarprodukte im Zähler von $F_{v,\mathrm{fc}}$ mit Propagatornennern dienen die folgenden Umformungen:

$$p_{2} \cdot k_{2} = -\frac{1}{2}(k_{3}^{2} - k_{2}^{2}), \qquad k_{1} \cdot k_{2} = -\frac{1}{2}(q^{2} - k_{1}^{2} - k_{2}^{2}), k_{3} \cdot k_{2} = -\frac{1}{2}(k_{2}^{2} - k_{4}^{2}), \qquad k_{2} \cdot k_{5} = +\frac{1}{2}(k_{4}^{2} - k_{2}^{2} - k_{5}^{2}).$$

$$(3.50)$$

Die vorliegende Topologie hat nur 5 Propagatoren (anstelle von 6 Propagatoren bei den vorhergehenden Topologien). Von den 7 unabhängigen Skalarprodukten, die aus den externen Impulsen und den Schleifenimpulsen gebildet werden können, bleiben also formal zwei irreduzible Skalarprodukte $p_{1,2} \cdot k_5$ übrig, die nicht gekürzt werden können. Jedoch erlaubt die einfache Struktur der Topologie eine Tensorreduktion (siehe Anhang C.2) für die innere Schleifenintegration, indem man $p_{1,2} \cdot k_5 = p_{1,2}^{\nu} \ell_{\nu}$ schreibt. Die Tensorintegrale werden mit Hilfe von (C.13) und (C.15) auf skalare Integrale zurückgeführt. Die bei der Tensorreduktion entstehenden Skalarprodukte $p_{1,2} \cdot k = p_{1,2} \cdot k_2$, $\ell^2 = k_5^2$ und $\ell \cdot k = k_5 \cdot k_2$ können mittels (3.49) und (3.50) gekürzt werden, so dass für diese Topologie keine irreduziblen Skalarprodukte verbleiben. Die skalaren Zweischleifenintegrale sind folgendermaßen definiert:

$$F_{\text{fc}}(n_1, n_2, n_3, n_4, n_5) = e^{2\varepsilon\gamma_E} (M^2)^{2\varepsilon} (Q^2)^{n-4} \int \frac{\mathrm{d}^d k}{i\pi^{d/2}} \int \frac{\mathrm{d}^d \ell}{i\pi^{d/2}} \times \frac{1}{((p_1 - p_2 + k)^2)^{n_1} (k^2)^{n_2} (k^2 - 2p_2 \cdot k - M^2)^{n_3} ((k + \ell)^2)^{n_4} (\ell^2 - M^2)^{n_5}}, \quad (3.51)$$

mit der Notation aus Gl. (3.6) und $n = n_{12345}$. Der zweite Propagator kommt im ursprünglichen Integral (3.48) bereits zweifach vor. Seine Potenz n_2 wird durch Faktoren $1/k^2$ aus der Tensorreduktion weiter erhöht. Durch das Kürzen von Skalarprodukten tritt jedoch nur $n_2 \leq 2$ auf. Die Zerlegung von $F_{v,fc}$ in skalare Integrale ist im Anhang D.1.4 in Gl. (D.7) aufgeführt.

Mit Hilfe von Schwinger-Parametern und Mellin-Barnes-Darstellungen kann das skalare Integral (3.51) in eine Form mit einem zweifachem Mellin-Barnes-Integral gebracht werden:

$$F_{fc}(n_{1}, n_{2}, n_{3}, n_{4}, n_{5}) = \frac{e^{-ni\pi} e^{2\varepsilon\gamma_{E}} \Gamma(\frac{d}{2} - n_{4})}{\Gamma(n_{1})\Gamma(n_{3})\Gamma(n_{4})\Gamma(n_{5})} \int_{-i\infty}^{i\infty} \frac{dz_{1}}{2\pi i} \int_{-i\infty}^{i\infty} \frac{dz_{2}}{2\pi i} \left(\frac{M^{2}}{Q^{2}}\right)^{2\varepsilon + z_{1}} \times \frac{\Gamma(d - n_{2345} - z_{1})\Gamma(n_{12345} - d + z_{1})}{\Gamma(\frac{3}{2}d - n_{12345} - z_{1})} \Gamma(-z_{2})\Gamma(n_{3} + z_{2})\Gamma(\frac{d}{2} - n_{1} + z_{2}) \times \frac{\Gamma(-n_{3} - z_{1} - z_{2})\Gamma(\frac{d}{2} - n_{35} - z_{1} - z_{2})\Gamma(n_{345} - \frac{d}{2} + z_{1} + z_{2})}{\Gamma(d - n_{345} - z_{1} - z_{2})\Gamma(n_{2345} - \frac{d}{2} + z_{1} + z_{2})}.$$
(3.52)

Die Extraktion der führenden Terme in M^2/Q^2 liefert folgende Beiträge:

$$F_{\text{fc}}^{(\text{h-h})}(n_{1}, n_{2}, n_{3}, n_{4}, n_{5}) = \left(\frac{M^{2}}{Q^{2}}\right)^{2\varepsilon} e^{-ni\pi} e^{2\varepsilon\gamma_{E}}$$

$$\times \frac{\Gamma(\frac{d}{2} - n_{13})\Gamma(\frac{d}{2} - n_{4})\Gamma(\frac{d}{2} - n_{5})\Gamma(d - n_{2345})\Gamma(n_{45} - \frac{d}{2})\Gamma(n_{12345} - d)}{\Gamma(n_{1})\Gamma(n_{4})\Gamma(n_{5})\Gamma(d - n_{45})\Gamma(\frac{3}{2}d - n_{12345})\Gamma(n_{245} - \frac{d}{2})}, \quad (3.53)$$

$$F_{\text{fc}}^{(\text{1c'-h})}(n_{1}, n_{2}, n_{3}, n_{4}, n_{5}) = \left(\frac{M^{2}}{Q^{2}}\right)^{2-n_{13}+\varepsilon} e^{-ni\pi} e^{2\varepsilon\gamma_{E}}$$

$$\times \frac{\Gamma(\frac{d}{2} - n_{1})\Gamma(\frac{d}{2} - n_{4})\Gamma(\frac{d}{2} - n_{5})\Gamma(\frac{d}{2} + n_{1} - n_{245})\Gamma(n_{13} - \frac{d}{2})\Gamma(n_{45} - \frac{d}{2})}{\Gamma(n_{1})\Gamma(n_{3})\Gamma(n_{4})\Gamma(n_{5})\Gamma(d - n_{45})\Gamma(d - n_{245})}, \quad (3.54)$$

$$F_{\text{fc}}^{(\text{2c-2c})}(n_{1}, n_{2}, n_{3}, n_{4}, n_{5}) = \left(\frac{M^{2}}{Q^{2}}\right)^{4-n_{2345}} \frac{e^{-ni\pi} e^{2\varepsilon\gamma_{E}}\Gamma(\frac{d}{2} - n_{4})}{\Gamma(n_{3})\Gamma(n_{4})\Gamma(n_{5})\Gamma(\frac{d}{2} - n_{1})} \int_{-i\infty}^{i\infty} \frac{dz}{2\pi i}$$

$$\times \frac{\Gamma(-z)\Gamma(n_{24} - \frac{d}{2} - z)\Gamma(n_{245} - d - z)\Gamma(n_{3} + z)\Gamma(\frac{d}{2} - n_{1} + z)\Gamma(\frac{d}{2} - n_{2} + z)}{\Gamma(n_{2} - z)\Gamma(\frac{d}{2} + z)}, \quad (3.55)$$

$$F_{\text{fc}}^{(\text{h-s})}(n_{1}, n_{2}, n_{3}, n_{4}, n_{5}) = \left(\frac{M^{2}}{Q^{2}}\right)^{2-n_{5}+\varepsilon} \frac{\Gamma(\frac{d}{2} - n_{13})\Gamma(\frac{d}{2} - n_{234})\Gamma(n_{1234} - \frac{d}{2})\Gamma(n_{5} - \frac{d}{2})}{\Gamma(n_{5})\Gamma(n_$$

$$\Gamma(n_1)\Gamma(n_5)\Gamma(n_{24})\Gamma(d-n_{1234}) \qquad , \qquad (3.36)$$

$$F_{\text{fc}}^{(1\text{c'-s})}(n_1, n_2, n_3, n_4, n_5) = \left(\frac{M^2}{Q^2}\right)^{4-n_{135}} e^{-ni\pi} e^{2\varepsilon\gamma_E} \frac{\Gamma(n_1 - n_{24})\Gamma(\frac{d}{2} - n_1)\Gamma(n_{13} - \frac{d}{2})\Gamma(n_5 - \frac{d}{2})}{\Gamma(n_1)\Gamma(n_3)\Gamma(n_5)\Gamma(\frac{d}{2} - n_{24})}.$$
 (3.57)

Diese 5 Beiträge entsprechen exakt denen, die man im Rahmen der Expansion by Regions bekommt:

(h-h):
$$k \sim Q$$
, $\ell \sim Q$
(1c'-h): $k_3 \parallel p_1$, $\ell \sim Q$
(2c-2c): $k \parallel p_2$, $\ell \parallel p_2$ (h-s): $k \sim Q$, $\ell \sim M$
(1c'-s): $k_3 \parallel p_1$, $\ell \sim M$

Wie bereits aus den Gleichungen (3.53)–(3.57) ersichtlich, hängt der führende Beitrag der jeweiligen Region über die folgende Potenz von M^2/Q^2 ab:

(h-h):
$$2\varepsilon$$

(1c'-h): $2 - n_{13} + \varepsilon$
(2c-2c): $4 - n_{2345}$
(h-s): $2 - n_5 + \varepsilon$
(1c'-s): $4 - n_{135}$

Nur n_2 kann den Wert 2 annehmen, die anderen Parameter n_1 , n_3 , n_4 und n_5 sind nach oben durch den Wert 1 beschränkt. Deshalb sind die Regionen (h-s) und (1c'-s) gegenüber der (h-h)-Region unterdrückt. Für $n_2 = 2$ und $n_3 = n_4 = n_5 = 1$ ist der Beitrag der (2c-2c)-Region von der Ordnung $(M^2/Q^2)^{-1}$. Dieser Pol in M^2 wird jedoch vom jeweiligen Vorfaktor in der Zerlegung (D.7) gekürzt.

Die Beiträge der harten (h-h)-Region können zum masselosen Feynman-Diagramm zusammengesetzt werden:

$$F_{v,\text{fc}}^{(\text{h-h})} = C_F^2 \left(\frac{\alpha}{4\pi}\right)^2 \left(\frac{\mu^2}{Q^2}\right)^{2\varepsilon} S_{\varepsilon}^2 \left\{ \frac{1}{\varepsilon^3} + \frac{7}{2\varepsilon^2} + \frac{1}{\varepsilon} \left(-\frac{\pi^2}{6} + \frac{53}{4} \right) - \frac{32}{3} \zeta_3 - \frac{7}{12} \pi^2 + \frac{355}{8} \right\} + \mathcal{O}(\varepsilon) . \quad (3.58)$$

Dieses Ergebnis stimmt mit [69, 70, 80] überein.

Von allen Beiträgen zum massiven Diagramm weist nur die (2c-2c)-Region ein Mellin-Barnes-Integral auf, das jedoch auf die übliche Weise berechnet werden kann. Singularitäten im Parameterraum zwischen den Regionen treten in der führenden Ordnung in M^2/Q^2 nicht auf. Die (2c-2c)-Region besitzt einen Beitrag, der zu $\Gamma(n_{24} - n_1)$ proportional ist. Dieser kann nur für $n_{24} \leq 1$ singulär sein. Dann aber ist die (2c-2c)-Region durch M^2/Q^2 unterdrückt, ebenso wie die (1c'-s)-Region, die diese Singularität kompensiert.

Neben der Auswertung der obigen Regionen wurden sowohl das massive als auch das masselose Diagramm mit Fermion-Selbstenergie zusätzlich durch Reduktion der Integrale auf einfachere Topologien mittels partieller Integration berechnet. Die Resultate stimmen jeweils überein.

Die Ergebnisse der einzelnen skalaren Integrale $F_{\rm fc}$ sind im Anhang D.1.4 in Gl. (D.8) aufgelistet. Der gesamte Beitrag des Diagramms mit Fermion-Selbstenergie ergibt sich in führender Ordnung in M^2/Q^2 wie folgt:

$$F_{v,\text{fc}} = C_F^2 \left(\frac{\alpha}{4\pi}\right)^2 \left(\frac{\mu^2}{M^2}\right)^{2\varepsilon} S_{\varepsilon}^2 \left\{ -\frac{1}{2\varepsilon^2} + \frac{1}{\varepsilon} \left[\mathcal{L}^2 - 3\mathcal{L} + \frac{2}{3}\pi^2 + \frac{13}{4} \right] - \mathcal{L}^3 + 5\mathcal{L}^2 - \frac{33}{2}\mathcal{L} - 8\zeta_3 - \frac{\pi^2}{4} + \frac{171}{8} \right\} + \mathcal{O}(\varepsilon) + \mathcal{O}\left(\frac{M^2}{Q^2}\right).$$
(3.59)

3.2 Selbstenergiekorrekturen

Für die Renormierung der Fermion-Feldstärke gemäß dem LSZ-Theorem werden die Selbstenergiekorrekturen an den äußeren Fermionlinien benötigt. Diese Korrekturen haben die Form

$$\tilde{\Sigma} = -i \not p \, \Sigma(p^2) \,, \tag{3.60}$$

wobei $p = p_{1,2}$ mit $p^2 = 0$ der externe Fermionimpuls ist. Aus der Amplitude $\tilde{\Sigma}$ der Selbstenergiekorrektur lässt sich die skalare Funktion Σ durch Projektion extrahieren (ohne Berücksichtigung der Einheitsmatrix im SU(2)-Isospinraum):

$$\Sigma = \frac{i}{4p^2} \operatorname{Tr}(\not p \tilde{\Sigma}). \tag{3.61}$$

Die Selbstenergiekorrektur wird für $p^2=0$ benötigt. Allerdings tritt in der Projektion (3.61) der Faktor $1/p^2$ auf. Deshalb muss die Auswertung zunächst bei einem infinitesimalen, aber endlichen Wert von p^2 geschehen. Die Pole in p^2 fallen im Gesamtergebnis heraus. Der Limes $p^2\to 0$ muss vor dem Limes $\varepsilon\to 0$ der dimensionalen Regularisierung vollzogen werden, um die Selbstenergie beim Wert $p^2=0$ zu erhalten. Die Limites $p^2\to 0$ und $\varepsilon\to 0$ vertauschen bei Feynman-Diagrammen, die für $p^2=0$ infrarot-konvergent sind, was für die Selbstenergiediagramme der Fall ist. Allerdings können einzelne skalare Diagramme infrarote Singularitäten aufweisen, so dass die beiden Limites für sie nicht vertauschen und die Unterschiede zwischen den Reihenfolgen der Limites nur in der Summe aller Beiträge herausfallen.

In der vorliegenden Arbeit wurde konsequent die Entwicklung um $p^2 = 0$ vor der Entwicklung um $\varepsilon = 0$ durchgeführt. Dann entspricht die Entwicklung in p^2 einer naiven Taylor-Entwicklung mit lediglich ganzzahligen Potenzen von p^2 und ohne Logarithmen $\ln(p^2)$.

3.2.1 Selbstenergiekorrektur mit T1-Topologie

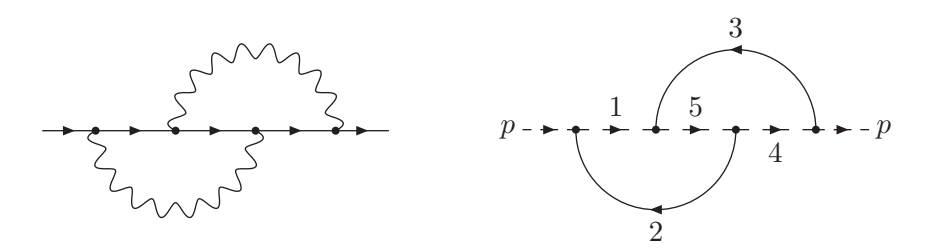


Abbildung 3.7: Selbstenergiekorrektur mit T1-Topologie (mit skalarem Diagramm)

Die Selbstenergiekorrektur mit T1-Topologie ist in Abb. 3.7 zusammen mit dem skalaren Diagramm dargestellt. Die Amplitude dieses Diagramms lautet wie folgt:

$$\tilde{\Sigma}_{\text{T1}} = \mu^{4\varepsilon} \int \frac{\mathrm{d}^{d}k}{(2\pi)^{d}} \int \frac{\mathrm{d}^{d}\ell}{(2\pi)^{d}} ig\gamma^{\rho} t^{b} \frac{ik_{4}}{k_{4}^{2}} ig\gamma^{\nu} t^{a} \frac{ik_{5}}{k_{5}^{2}} ig\gamma_{\rho} t^{b} \frac{ik_{1}}{k_{1}^{2}} ig\gamma_{\nu} t^{a} \\
\times \frac{-i}{k_{2}^{2} - M^{2}} \frac{-i}{k_{3}^{2} - M^{2}}, \quad (3.62)$$

mit den Impulsen

$$k_1 = k + p, \quad k_2 = k, \quad k_3 = \ell, \quad k_4 = \ell + p, \quad k_5 = k + \ell + p.$$
 (3.63)

Der Farbfaktor dieses Diagramms ist der gleiche wie der des nichtplanaren Vertexdiagramms:

$$t^b t^a t^b t^a = \left(C_F^2 - \frac{1}{2} C_F C_A \right) \mathbf{1} .$$

Die skalare Funktion Σ_{T1} ergibt sich aus der Amplitude $\tilde{\Sigma}_{T1}$ entsprechend Gl. (3.61). Zum Kürzen von Skalarprodukten im Zähler von Σ_{T1} mit Propagatornennern dienen die Umformungen

$$k_2 \cdot p = +\frac{1}{2}(k_1^2 - k_2^2 - p^2), \qquad k_2 \cdot k_4 = +\frac{1}{2}(k_5^2 - k_2^2 - k_4^2), k_3 \cdot p = +\frac{1}{2}(k_4^2 - k_3^2 - p^2), \qquad k_3 \cdot k_1 = +\frac{1}{2}(k_5^2 - k_3^2 - k_1^2).$$
(3.64)

Mit (3.63) und (3.64) können alle Skalarprodukte gekürzt werden. Die skalaren Zweischleifenintegrale wurden folgendermaßen definiert:

$$B_{\text{T1}}(p^2; n_1, n_2, n_3, n_4, n_5) = e^{2\varepsilon\gamma_E} (M^2)^{n-4+2\varepsilon} \int \frac{\mathrm{d}^d k}{i\pi^{d/2}} \int \frac{\mathrm{d}^d \ell}{i\pi^{d/2}} \times \frac{1}{((k+p)^2)^{n_1} (k^2 - M^2)^{n_2} (\ell^2 - M^2)^{n_3} ((\ell+p)^2)^{n_4} ((k+\ell+p)^2)^{n_5}}, \quad (3.65)$$

mit der Notation aus Gl. (3.6) und $n = n_{12345}$. Die Integrale wurden so definiert, dass sie in $d = 4 - 2\varepsilon$ Raum-Zeit-Dimensionen keine Massendimension aufweisen. Für die Auswertung des Selbstenergiediagramms bei infinitesimalem p^2 wurde

$$B_{\mathrm{T1}}(p^2; n_1, n_2, n_3, n_4, n_5) = B_{\mathrm{T1}}^0(n_1, n_2, n_3, n_4, n_5) + \frac{p^2}{M^2} B_{\mathrm{T1}}'(n_1, n_2, n_3, n_4, n_5) + \dots$$

mit

$$B_{\text{T1}}^{0}(n_{1}, n_{2}, n_{3}, n_{4}, n_{5}) = B_{\text{T1}}(p^{2}; n_{1}, n_{2}, n_{3}, n_{4}, n_{5}) \Big|_{p^{2}=0},$$
(3.66)

$$B'_{T1}(n_1, n_2, n_3, n_4, n_5) = M^2 \frac{\partial}{\partial p^2} B_{T1}(p^2; n_1, n_2, n_3, n_4, n_5) \Big|_{p^2 = 0}$$
(3.67)

definiert. Die Zerlegung von Σ_{T1} in skalare Integrale (3.66) und (3.67) ist im Anhang D.1.5 in Gl. (D.9) dargestellt. Durch Ausnutzung der Symmetrie

$$B_{\text{T1}}(p^2; n_1, n_2, n_3, n_4, n_5) = B_{\text{T1}}(p^2; n_4, n_3, n_2, n_1, n_5)$$
(3.68)

wurden skalare Integrale mit $n_1 < n_4$ oder $n_1 = n_4$ und $n_2 < n_3$ durch ihre symmetrischen Partner ersetzt.

Zur Auswertung der skalaren Integrale wurde (3.65) zunächst für allgemeines p^2 mit Schwinger-Parametern α_i und Mellin-Barnes-Darstellungen geschrieben:

$$B_{T1}(p^{2}; n_{1}, n_{2}, n_{3}, n_{4}, n_{5}) = \frac{e^{-ni\pi} e^{2\varepsilon\gamma_{E}}}{\Gamma(n_{1})\Gamma(n_{2})\Gamma(n_{3})\Gamma(n_{4})\Gamma(n_{5})}$$

$$\times \int_{-i\infty}^{i\infty} \frac{dz_{1}}{2\pi i} \int_{-i\infty}^{i\infty} \frac{dz_{2}}{2\pi i} \left(\frac{-p^{2}}{M^{2}}\right)^{z_{1}} \Gamma(-z_{1})\Gamma(-z_{2})\Gamma(n_{12345} - d + z_{1} + z_{2})$$

$$\times \left(\prod_{i=1}^{5} \int_{0}^{\infty} d\alpha_{i}\right) \delta\left(\sum_{j \in S} \alpha_{j} - 1\right) \alpha_{1}^{n_{1}-1} \alpha_{2}^{n_{2}+z_{2}-1} \alpha_{3}^{d-n_{1245}-z_{1}-z_{2}-1} \alpha_{4}^{n_{4}-1} \alpha_{5}^{n_{5}-1}$$

$$\times \left((\alpha_{1} + \alpha_{2})(\alpha_{3} + \alpha_{4} + \alpha_{5}) + (\alpha_{3} + \alpha_{4})\alpha_{5}\right)^{-\frac{d}{2}-z_{1}} \left(\alpha_{1}\alpha_{2}\alpha_{3} + \alpha_{1}\alpha_{2}\alpha_{4} + \alpha_{1}\alpha_{3}\alpha_{4} + \alpha_{2}\alpha_{3}\alpha_{4} + \alpha_{1}\alpha_{2}\alpha_{5} + \alpha_{2}\alpha_{3}\alpha_{5} + \alpha_{1}\alpha_{4}\alpha_{5} + \alpha_{3}\alpha_{4}\alpha_{5}\right)^{z_{1}}, \quad (3.69)$$

wobei die Menge S der Indizes, über die in der δ -Funktion summiert wird, eine beliebige, nicht leere Teilmenge der 5 Indizes sein darf: $\emptyset \neq S \subseteq \{1,2,3,4,5\}$. Die Entwicklung um $p^2 = 0$ erhält man aus den Residuen des z_1 -Integrals:

$$\operatorname{Res} \big|_{z_1=0} \longrightarrow (-2\pi i) \, B_{\mathrm{T}1}^0 \,, \quad \operatorname{Res} \big|_{z_1=1} \longrightarrow (-2\pi i) \, \frac{p^2}{M^2} \, B_{\mathrm{T}1}' \,.$$

Die Integrale über die Schwinger-Parameter können anschließend gelöst werden. Für $B_{\rm T1}^0$ ergibt sich

$$B_{\text{T1}}^{0}(n_{1}, n_{2}, n_{3}, n_{4}, n_{5}) = \frac{e^{-ni\pi} e^{2\varepsilon\gamma_{E}} \Gamma(\frac{d}{2} - n_{5})}{\Gamma(n_{2})\Gamma(n_{3})\Gamma(n_{5})\Gamma(\frac{d}{2})} \int_{-i\infty}^{i\infty} \frac{\mathrm{d}z}{2\pi i} \Gamma(-z)\Gamma(\frac{d}{2} - n_{12} - z)$$

$$\times \frac{\Gamma(d - n_{1245} - z)}{\Gamma(d - n_{125} - z)} \frac{\Gamma(n_{2} + z)\Gamma(n_{125} - \frac{d}{2} + z)\Gamma(n_{12345} - d + z)}{\Gamma(n_{12} + z)}. \tag{3.70}$$

Das Ergebnis für B'_{T1} kann durch die Funktion B^0_{T1} mit erhöhter Raum-Zeit-Dimension und erhöhten Propagator-Potenzen ausgedrückt werden:

$$B'_{\text{T1}}(n_1, n_2, n_3, n_4, n_5) = -\mathbf{d}^{++} \left(\mathbf{1}^+ \mathbf{2}^+ \mathbf{3}^+ + \mathbf{1}^+ \mathbf{2}^+ \mathbf{4}^+ + \mathbf{1}^+ \mathbf{3}^+ \mathbf{4}^+ + \mathbf{2}^+ \mathbf{3}^+ \mathbf{4}^+ + \mathbf{1}^+ \mathbf{4}^+ \mathbf{5}^+ + \mathbf{1}^+ \mathbf{4}^+ \mathbf{5}^+ + \mathbf{1}^+ \mathbf{4}^+ \mathbf{5}^+ + \mathbf{3}^+ \mathbf{4}^+ \mathbf{5}^+ \right) B_{\text{T1}}^0(n_1, n_2, n_3, n_4, n_5), \quad (3.71)$$

wobei die Operatoren \mathbf{d}^{++} und \mathbf{i}^{+} ($i=1,\ldots,5$) entsprechend folgender Definition wirken:

$$\mathbf{d}^{++} B_{\mathrm{T1}}^{0}(n_{1}, n_{2}, n_{3}, n_{4}, n_{5}) = B_{\mathrm{T1}}^{0}(n_{1}, n_{2}, n_{3}, n_{4}, n_{5}) \big|_{d \to d+2}, \tag{3.72}$$

$$\mathbf{i}^+ B_{\text{T1}}^0(\dots, n_i, \dots) = n_i B_{\text{T1}}^0(\dots, n_i + 1, \dots).$$
 (3.73)

Die Auswertung des Mellin-Barnes-Integrals in $B_{\rm T1}^0$ und $B_{\rm T1}'$ erfolgte mit den bereits beschriebenen Methoden. Zusätzlich wurde die Selbstenergiekorrektur auch durch Reduktion auf einfachere Topologien mittels partieller Integration berechnet. Beide Methoden liefern identische Resultate. Die Ergebnisse der einzelnen skalaren Integrale $B_{\rm T1}^0$ und $B_{\rm T1}'$ finden sich im Anhang D.1.5 in Gl. (D.10). Der gesamte Beitrag des Selbstenergiediagramms mit T1-Topologie lautet:

$$\Sigma_{\rm T1} = \left(C_F^2 - \frac{1}{2}C_F C_A\right) \left(\frac{\alpha}{4\pi}\right)^2 \left(\frac{\mu^2}{M^2}\right)^{2\varepsilon} S_{\varepsilon}^2 \left(-\frac{1}{\varepsilon^2} + \frac{3}{2\varepsilon} - \frac{\pi^2}{2} + \frac{7}{4}\right) + \mathcal{O}(\varepsilon). \tag{3.74}$$

3.2.2 Selbstenergiekorrektur mit T2-Topologie

Die Selbstenergiekorrektur mit T2-Topologie ist in Abb. 3.8 zusammen mit dem skalaren Diagramm dargestellt. Die Amplitude des Diagramms lautet wie folgt:

$$\tilde{\Sigma}_{T2} = \mu^{4\varepsilon} \int \frac{\mathrm{d}^{d}k}{(2\pi)^{d}} \int \frac{\mathrm{d}^{d}\ell}{(2\pi)^{d}} ig\gamma^{\nu} t^{a} \frac{i\not k_{1}}{k_{1}^{2}} ig\gamma^{\rho} t^{b} \frac{i\not k_{3}}{k_{3}^{2}} ig\gamma_{\rho} t^{b} \frac{i\not k_{1}}{k_{1}^{2}} ig\gamma_{\nu} t^{a} \times \frac{-i}{k_{2}^{2} - M^{2}} \frac{-i}{k_{4}^{2} - M^{2}}, \quad (3.75)$$

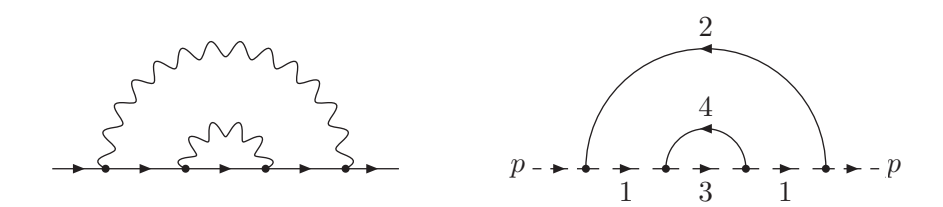


Abbildung 3.8: Selbstenergiekorrektur mit T2-Topologie (mit skalarem Diagramm)

mit den Impulsen

$$k_1 = k + p, \quad k_2 = k, \quad k_3 = k + \ell + p, \quad k_4 = \ell.$$
 (3.76)

Der Farbfaktor dieses Diagramms ist der gleiche wie der des planaren Vertexdiagramms:

$$t^a t^b t^b t^a = C_F^2 \mathbf{1} .$$

Die skalare Funktion Σ_{T2} ergibt sich aus der Amplitude $\tilde{\Sigma}_{T2}$ entsprechend Gl. (3.61). Zum Kürzen von Skalarprodukten im Zähler von Σ_{T2} mit Propagatornennern können die Relationen

$$k_1 \cdot k_3 = -\frac{1}{2}(k_4^2 - k_1^2 - k_3^2), \qquad k_1 \cdot p = -\frac{1}{2}(k_2^2 - k_1^2 - p^2)$$
 (3.77)

verwendet werden. Das Skalarprodukt $k_3 \cdot p$ bleibt formal als irreduzibel zurück. Es kann jedoch mittels Tensorreduktion entsprechend (C.13) und (C.15) eliminiert werden. Die Definition der skalaren Zweischleifenintegrale lautet folgendermaßen:

$$B_{T2}(p^2; n_1, n_2, n_3, n_4) = e^{2\varepsilon\gamma_E} (M^2)^{n-4+2\varepsilon} \times \int \frac{\mathrm{d}^d k}{i\pi^{d/2}} \int \frac{\mathrm{d}^d \ell}{((k+p)^2)^{n_1} (k^2 - M^2)^{n_2} ((k+\ell+p)^2)^{n_3} (\ell^2 - M^2)^{n_4}} , \quad (3.78)$$

mit der Notation aus Gl. (3.6) und $n = n_{1234}$. Für die Entwicklung um $p^2 = 0$ wurden $B_{T_2}^0(n_1, n_2, n_3, n_4)$ und $B'_{T_2}(n_1, n_2, n_3, n_4)$ in Analogie zu (3.66) und (3.67) definiert. Die Zerlegung von Σ_{T_2} in skalare Integrale $B_{T_2}^0$ und B'_{T_2} findet sich im Anhang D.1.6 in Gl. (D.11).

Für allgemeines p^2 lässt sich (3.78) als zweifaches Mellin-Barnes-Integral schreiben:

$$B_{T2}(p^{2}; n_{1}, n_{2}, n_{3}, n_{4}) = e^{-ni\pi} e^{2\varepsilon\gamma_{E}} \frac{\Gamma(\frac{d}{2} - n_{3})}{\Gamma(n_{2})\Gamma(n_{3})\Gamma(n_{4})} \int_{-i\infty}^{i\infty} \frac{dz_{1}}{2\pi i} \int_{-i\infty}^{i\infty} \frac{dz_{2}}{2\pi i} \left(\frac{-p^{2}}{M^{2}}\right)^{z_{1}} \times \frac{\Gamma(-z_{1})}{\Gamma(\frac{d}{2} + z_{1})} \Gamma(-z_{2})\Gamma(\frac{d}{2} - n_{2} - z_{2}) \frac{\Gamma(\frac{d}{2} - n_{12} - z_{1} - z_{2})}{\Gamma(\frac{d}{2} - n_{2} - z_{1} - z_{2})} \times \frac{\Gamma(n_{2} + z_{1} + z_{2})\Gamma(n_{123} - \frac{d}{2} + z_{1} + z_{2})\Gamma(n_{1234} - d + z_{1} + z_{2})}{\Gamma(n_{12} + z_{1} + z_{2})}.$$

$$(3.79)$$

Wie in Abschnitt 3.2.1 erhält man die Entwicklung um $p^2 = 0$ aus den Residuen des z_1 -Integrals bei $z_1 = 0$ und $z_1 = 1$:

$$B_{\text{T2}}^{0}(n_{1}, n_{2}, n_{3}, n_{4}) = \frac{e^{-ni\pi} e^{2\varepsilon\gamma_{E}} \Gamma(\frac{d}{2} - n_{3})}{\Gamma(n_{2})\Gamma(n_{3})\Gamma(n_{4})\Gamma(\frac{d}{2})} \int_{-i\infty}^{i\infty} \frac{dz}{2\pi i} \Gamma(-z)\Gamma(\frac{d}{2} - n_{12} - z)$$

$$\times \frac{\Gamma(n_{2} + z)\Gamma(n_{123} - \frac{d}{2} + z)\Gamma(n_{1234} - d + z)}{\Gamma(n_{12} + z)}, \qquad (3.80)$$

$$B_{\text{T2}}'(n_{1}, n_{2}, n_{3}, n_{4}) = \frac{e^{-ni\pi} e^{2\varepsilon\gamma_{E}} \Gamma(\frac{d}{2} - n_{3})}{\Gamma(n_{2})\Gamma(n_{3})\Gamma(n_{4})\Gamma(1 + \frac{d}{2})} \int_{-i\infty}^{i\infty} \frac{dz}{2\pi i} \Gamma(-z)\Gamma(\frac{d}{2} - n_{12} - 1 - z)$$

$$\times \frac{\Gamma(\frac{d}{2} - n_{2} - z)}{\Gamma(\frac{d}{2} - n_{2} - 1 - z)} \frac{\Gamma(n_{2} + 1 + z)\Gamma(n_{123} + 1 - \frac{d}{2} + z)\Gamma(n_{1234} + 1 - d + z)}{\Gamma(n_{12} + 1 + z)}. \qquad (3.81)$$

Neben der Auswertung dieser Mellin-Barnes-Integrale wurde die Selbstenergiekorrektur mit T2-Topologie auch durch Reduktion auf einfachere Topologien mittels partieller Integration berechnet. Die Resultate der beiden Methoden stimmen überein, und die Ergebnisse der einzelnen skalaren Integrale sind im Anhang D.1.6 in Gl. (D.12) aufgelistet. Die gesamte Selbstenergiekorrektur des Diagramms mit T2-Topologie lautet:

$$\Sigma_{\rm T2} = C_F^2 \left(\frac{\alpha}{4\pi}\right)^2 \left(\frac{\mu^2}{M^2}\right)^{2\varepsilon} S_\varepsilon^2 \left(\frac{1}{2\varepsilon^2} - \frac{1}{4\varepsilon} - \frac{\pi^2}{12} + \frac{7}{8}\right) + \mathcal{O}(\varepsilon). \tag{3.82}$$

3.2.3 Sonstige Beiträge mit Selbstenergiekorrekturen

Ein weiteres Selbstenergiediagramm trägt zum Zweischleifenformfaktor bei. Es ist in Abb. 3.9 dargestellt. Dieses Diagramm ist jedoch lediglich ein Produkt aus Ein-

Abbildung 3.9: Selbstenergiekorrektur mit Einschleifentopologie

schleifendiagrammen. Seine Amplitude ist

$$\tilde{\Sigma}_{1\times 1} = \tilde{\Sigma}_1 \frac{i\not p}{p^2} \tilde{\Sigma}_1 = -i\not p (\Sigma_1)^2, \qquad (3.83)$$

mit der Einschleifen-Selbstenergiekorrektur $\tilde{\Sigma}_1 = -i \not p \Sigma_1$ (1.78). Der Beitrag zum Formfaktor ist also

$$\Sigma_{1\times 1} = (\Sigma_1)^2. \tag{3.84}$$

Aus der Feldstärkerenormierung ergibt sich gemäß Gl. (2.5) ein weiterer Beitrag: das Produkt aus der Einschleifen-Vertexkorrektur $F_{1,v}$ (1.76) mit der Einschleifen-Selbstenergiekorrektur Σ_1 . Insgesamt erhält man folgende weitere Beiträge:

$$(\Sigma_1)^2 + F_{1,v} \, \Sigma_1 = (F_{1,v} + \Sigma_1) \, \Sigma_1 = F_1 \, \Sigma_1 \,, \tag{3.85}$$

da sich die beiden Einschleifenkorrekturen gerade zum Einschleifenformfaktor F_1 addieren. Weil F_1 in d=4 Raum-Zeit-Dimensionen endlich ist, genügt für Σ_1 im zweiten Faktor des Produkts die Ordnung ε^0 . Aber da Σ_1 einen $1/\varepsilon$ -Pol enthält, wird von F_1 auch die lineare Ordnung in ε benötigt. Mit den Ergebnissen aus (1.79) und (1.78) erhält man:

$$F_{1} \Sigma_{1} = C_{F}^{2} \left(\frac{\alpha}{4\pi}\right)^{2} \left(\frac{\mu^{2}}{M^{2}}\right)^{2\varepsilon} S_{\varepsilon}^{2} \left\{ \frac{1}{\varepsilon} \left[\mathcal{L}^{2} - 3\mathcal{L} + \frac{2}{3}\pi^{2} + \frac{7}{2} \right] - \frac{1}{3}\mathcal{L}^{3} + \mathcal{L}^{2} + \left(\frac{\pi^{2}}{3} - \frac{13}{2}\right) \mathcal{L} - 2\zeta_{3} - \frac{5}{6}\pi^{2} + 10 \right\} + \mathcal{O}(\varepsilon) + \mathcal{O}\left(\frac{M^{2}}{Q^{2}}\right). \quad (3.86)$$

3.3 Zusammenfassung der abelschen Beiträge

Die abelschen Zweischleifenbeiträge sind nun komplett. Dies sind die Beiträge zum Formfaktor mit dem Farbfaktor C_F^2 , der in einem abelschen U(1)-Modell mit $C_F = 1$ gerade eins ist. Drei der vorgestellten Diagramme, das nichtplanare Vertexdiagramm (Abschnitt 3.1.2), das Vertexdiagramm mit Benz-Topologie (Abschnitt 3.1.3) und die Selbstenergiekorrektur mit T1-Topologie (Abschnitt 3.2.1) haben einen Farbfaktor, in dem auch C_A vorkommt. Wie in einer abelschen Theorie wird zunächst $C_A = 0$ gesetzt, um die abelschen Beiträge separat zu betrachten. Die nichtabelschen Terme mit dem Faktor $C_F C_A$ werden in Kapitel 4 durch weitere Beiträge ergänzt.

Die abelschen Beiträge zum Zweischleifenformfaktor setzen sich folgendermaßen zusammen:

$$F_{2,C_F^2} = F_{v,\text{LA}} + F_{v,\text{NP}}|_{C_F^2} + 2F_{v,\text{BE}}|_{C_F^2} + 2F_{v,\text{fc}} + \Sigma_{\text{T1}}|_{C_F^2} + \Sigma_{\text{T2}} + F_1 \Sigma_1, \quad (3.87)$$

wobei berücksichtigt wurde, dass die Vertexdiagramme mit Benz-Topologie und mit Fermion-Selbstenergie zweifach vorkommen. Nach Einsetzen der Ergebnisse aus den Gleichungen (3.13), (3.32), (3.47), (3.59), (3.74), (3.82) und (3.86) heben sich die

Pole in ε gegenseitig auf, und der Limes $\varepsilon \to 0$ kann vollzogen werden. Man erhält den folgenden abelschen Beitrag zum Zweischleifenformfaktor im Limes $M^2 \ll Q^2$:

$$F_{2,C_F^2} = C_F^2 \left(\frac{\alpha}{4\pi}\right)^2 \left\{ \frac{1}{2} \mathcal{L}^4 - 3\mathcal{L}^3 + \left(\frac{2}{3}\pi^2 + 8\right) \mathcal{L}^2 - \left(-24\zeta_3 + 4\pi^2 + 9\right) \mathcal{L} + 256 \operatorname{Li}_4\left(\frac{1}{2}\right) + \frac{32}{3} \ln^4 2 - \frac{32}{3}\pi^2 \ln^2 2 - \frac{52}{15}\pi^4 + 80\zeta_3 + \frac{52}{3}\pi^2 + \frac{25}{2} \right\}, \quad (3.88)$$

$$mit \mathcal{L} = \ln(Q^2/M^2).$$

Die Übereinstimmung von (3.88) mit den C_F^2 -Termen aus der Evolutionsgleichung in (1.73) ist offensichtlich. Die Vorhersagen der Evolutionsgleichung wurden also für den abelschen Fall bestätigt. Der Koeffizient des linearen Logarithmus und die Konstante in (3.88) sind ein neues Ergebnis. Aus dem Vergleich mit der Darstellung (1.65) lässt sich zeigen, dass der abelsche Beitrag zum Koeffizienten $\xi^{(2)}$ verschwindet:

$$\xi^{(2)}\Big|_{C_F^2} = 0. (3.89)$$

Alle anderen Terme im Koeffizienten des linearen Logarithmus in (1.65) sind bereits aus (1.67), (1.69) und (1.72) bekannt.

Die numerische Größe der Logarithmenkoeffizienten im Ergebnis (3.88) ist wie folgt:

$$F_{2,C_F^2} = C_F^2 \left(\frac{\alpha}{4\pi}\right)^2 \left(+0.5 \mathcal{L}^4 - 3 \mathcal{L}^3 + 14.5797 \mathcal{L}^2 - 19.6291 \mathcal{L} + 26.4097\right). \quad (3.90)$$

Das Schema der alternierenden Koeffizienten setzt sich fort: Vom führenden \mathcal{L}^4 über die nächstführenden Logarithmen bis hin zur Konstanten nimmt die Größe der Koeffizienten – bei wechselnden Vorzeichen – zu.

Zur Größenabschätzung der Einzelterme wird wieder $\alpha/(4\pi)=0.003$, $C_F=3/4$ für die SU(2)-Gruppe, $M=80\,\mathrm{GeV}$ und $Q=1000\,\mathrm{GeV}$ gesetzt. Die Beiträge der logarithmischen Terme zum Formfaktor lauten in Promille:

$$\mathcal{L}^4 \to +1.6$$
, $\mathcal{L}^3 \to -2.0$, $\mathcal{L}^2 \to +1.9$, $\mathcal{L}^1 \to -0.5$, $\mathcal{L}^0 \to +0.1$. (3.91)

Während die Beiträge der drei aus der Evolutionsgleichung bekannten Logarithmen \mathcal{L}^4 , \mathcal{L}^3 und \mathcal{L}^2 von der gleichen Größenordnung sind, beginnt die logarithmische Reihe danach zu "konvergieren": Der lineare \mathcal{L}^1 liefert einen wesentlich kleineren Beitrag als die drei höheren Logarithmenpotenzen. Und die Konstante \mathcal{L}^0 , die nur noch 0,1 Promille zum Formfaktor beiträgt, ist vernachlässigbar.

Der abelsche Zweischleifenformfaktor ist in Abb. 3.10 graphisch als Funktion des Impulsübertrags Q dargestellt. Dabei sind die sukzessiven logarithmischen Näherungen

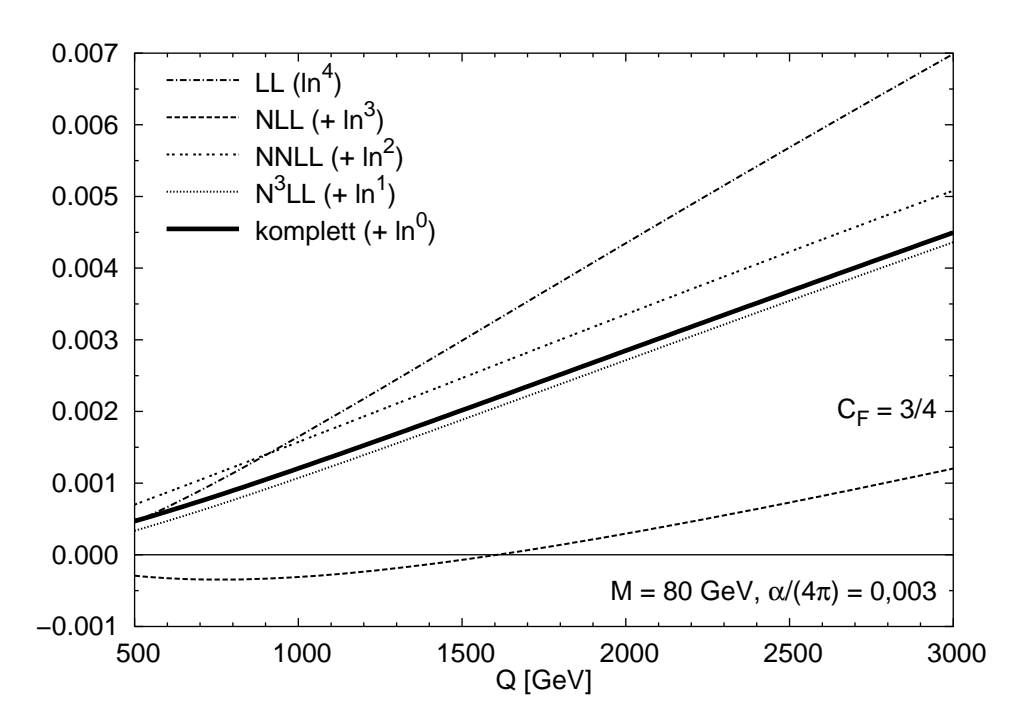


Abbildung 3.10: Abelscher Zweischleifenformfaktor in sukzessiven logarithmischen Näherungen

gezeichnet: die führende logarithmische Näherung (LL) mit \mathcal{L}^4 , die nächstführende (NLL) mit \mathcal{L}^4 und \mathcal{L}^3 , NNLL mit \mathcal{L}^4 bis \mathcal{L}^2 , N³LL mit allen Logarithmen ohne die Konstante und der kompletten abelsche Zweischleifenformfaktor mit allen Beiträgen.

Aufgrund der großen Koeffizienten vor den nächstführenden Logarithmen mit alternierenden Vorzeichen setzt sich das asymptotische \mathcal{L}^4 -Verhalten des Zweischleifenformfaktors im TeV-Energiebereich nicht durch. Auch der lineare Logarithmus liefert noch einen signifikanten Beitrag, der für ein Ergebnis mit Promille-Genauigkeit nötig ist. Allerdings kann die Konstante vernachlässigt werden, so dass bereits die N³LL-Näherung, die alle logarithmischen Beiträge umfasst, ein ausreichend präzises Resultat liefert.

Kapitel 4

Nichtabelsche Beiträge zum Zweischleifenformfaktor

In diesem Kapitel geht es um die nichtabelschen Beiträge zum Zweischleifenformfaktor, der in Abschnitt 1.5 eingeführt wurde. Dies sind Beiträge, die in einer nichtabelschen spontan gebrochenen SU(2)-Eichtheorie zusätzlich zu denen eines abelschen U(1)-Modells (siehe Kapitel 3) auftreten. Eine Veröffentlichung der Ergebnisse dieses Kapitels wurde eingereicht [28].

Zum einen handelt es sich dabei um Diagramme, die in einer SU(N)-Theorie den Farbfaktor C_FC_A besitzen. Diese sind jedoch für sich gesehen nicht eichinvariant. Die Eichbosonmasse wird über den Higgs-Mechanismus der spontanen Symmetriebrechung eingeführt. Nur wenn Diagramme mit dem Higgs-Boson und den Goldstone-Bosonen hinzugenommen werden, ist das Gesamtergebnis eichinvariant, d.h. es hängt nicht mehr von der über den Parameter ξ (1.19) gewählten Eichung ab. Die folgenden Rechnungen werden in der Feynman-'t Hooft-Eichung, also mit $\xi = 1$ durchgeführt.

Das nichtplanare Vertexdiagramm (Abschnitt 3.1.2), das abelsche Diagramm mit Benz-Topologie (Abschnitt 3.1.3) und die abelsche Selbstenergie mit T1-Topologie (Abschnitt 3.2.1) besitzen den Farbfaktor $C_F^2 - \frac{1}{2}C_FC_A$, der neben dem abelschen Anteil C_F^2 auch den nichtabelschen Anteil C_FC_A aufweist. Die Beiträge von diesen Diagrammen müssen hier mit berücksichtigt werden (siehe Abschnitt 4.3).

Darüber hinaus tragen die Vertexdiagramme in Abb. 4.1 zum nichtabelschen Formfaktor bei. Die drei Diagramme in der ersten Reihe sind proportional zu C_FC_A , während die drei Diagramme in der zweiten Reihe Higgs-Beiträge sind. Die für den nichtabelschen Formfaktor relevanten Selbstenergiediagramme sind in Abb. 4.2 dargestellt.

Jedem Vertexdiagramm in Abb. 4.1 entspricht genau ein Selbstenergiediagramm in Abb. 4.2. Den Zusammenhang sieht man durch Herausnehmen des zentralen Vertex

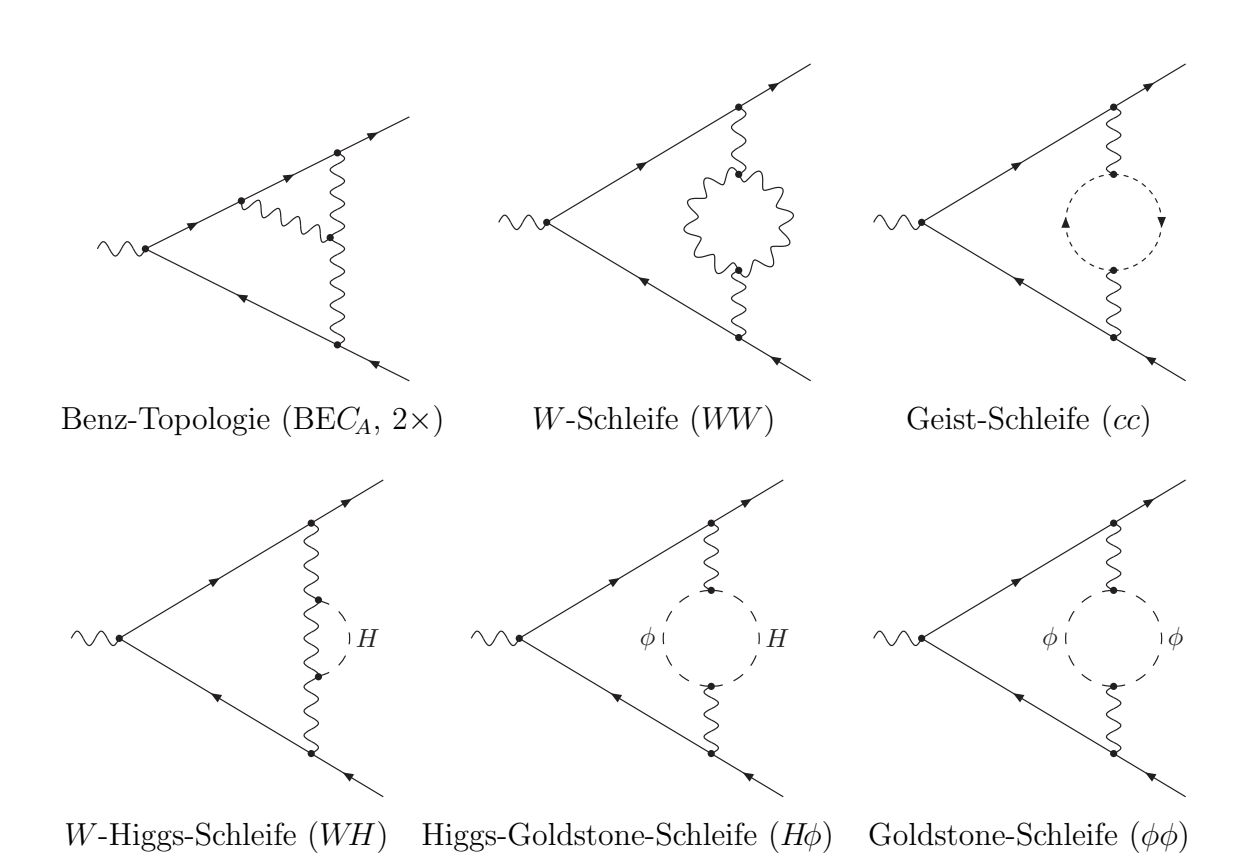


Abbildung 4.1: Nichtabelsche Zweischleifen-Vertexdiagramme

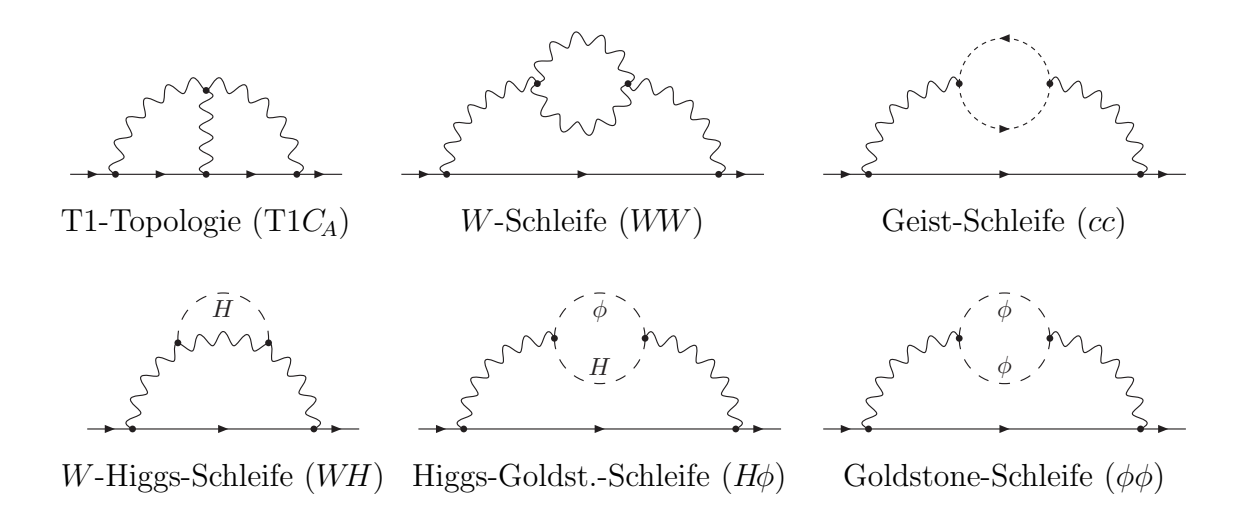


Abbildung 4.2: Nichtabelsche Zweischleifen-Selbstenergiediagramme

im Vertexdiagramm. Deshalb ist dieses Kapitel so gegliedert, dass jedes Vertexdiagramm zusammen mit dem zugehörigen Selbstenergiediagramm behandelt wird. Die beiden Diagramme mit jeweils einer Drei-Eichboson-Kopplung (BE C_A und T1 C_A) werden in Abschnitt 4.1 vorgestellt. Die Berechnung der Diagramme mit Eichboson-(WW) oder Geistschleife (cc), die ebenfalls proportional zu C_FC_A sind, wird in Abschnitt 4.2 beschrieben. In Abschnitt 4.3 werden die C_FC_A -Beiträge zusammengefasst. Anschließend folgen in Abschnitt 4.4 die Beiträge von Higgs- und Goldstone-Bosonen (WH, $H\phi$ und $\phi\phi$). Die Summe aller nichtabelschen Beiträge wird in Abschnitt 4.5 diskutiert.

Zusätzlich gibt es Vertex- und Selbstenergiediagramme, die eine Tadpole-Schleife im Eichbosonpropagator haben, ähnlich wie das rechte Diagramm in Abb. 2.5. Der Beitrag dieser Diagramme wird jedoch vollständig von der Renormierung der Eichbosonmasse kompensiert, so dass er hier nicht betrachtet werden muss.

Die Berechnung der Feynman-Diagramme wurde weitgehend wie im abelschen Fall (Kapitel 3) durchgeführt. Jedoch ist die Komplexität der nichtabelschen Diagramme dadurch erhöht, dass sie drei massive Propagatoren haben (Eichbosonen, Higgsoder Goldstone-Bosonen) und teilweise auch einer dieser drei Propagatoren doppelt vorkommt. Dadurch konnte die Rechnung nicht im vollständigen Hochenergielimes durchgeführt werden, auf die nichtlogarithmische Konstante musste verzichtet werden. Es hat sich jedoch bei den fermionischen und den abelschen Beiträgen (Kapitel 2 und 3) gezeigt, dass die N³LL-Näherung mit allen Logarithmen ausreicht. Der Anteil der Konstante ist dort vernachlässigbar.

4.1 $C_F C_A$ -Beiträge mit einer Drei-Eichboson-Kopplung

4.1.1 Nichtabelsches Vertexdiagramm mit Benz-Topologie

Das nichtabelsche Vertexdiagramm mit Benz-Topologie (Bezeichnung BEC_A) ist in Abb. 4.3 dargestellt. Es kommt auch horizontal gespiegelt vor, so dass es zweifach gezählt werden muss. Die Amplitude des Diagramms lautet:

$$\mathcal{F}^{\mu}_{\nu,\text{BE}C_A} = \mu^{4\varepsilon} \int \frac{\mathrm{d}^d k}{(2\pi)^d} \int \frac{\mathrm{d}^d \ell}{(2\pi)^d} ig\gamma^{\nu} t^a \frac{ik_3}{k_3^2} ig\gamma^{\rho} t^b \frac{ik_1}{k_1^2} \gamma^{\mu} \frac{ik_2}{k_2^2} ig\gamma^{\sigma} t^c \frac{-i}{k_4^2 - M^2} \\
\times \frac{-i}{k_5^2 - M^2} \frac{-i}{k_6^2 - M^2} g f^{abc} \Big[g_{\nu\rho} (-k_5 - k_6)_{\sigma} + g_{\rho\sigma} (k_6 - k_4)_{\nu} + g_{\sigma\nu} (k_4 + k_5)_{\rho} \Big], \tag{4.1}$$

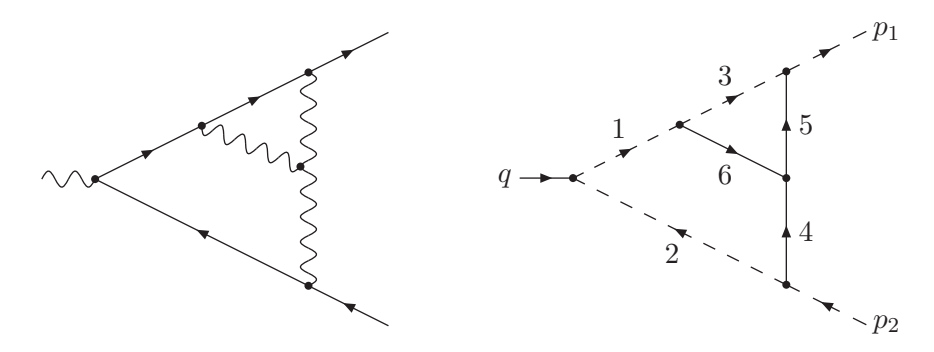


Abbildung 4.3: Nichtabelsches Vertexdiagramm mit Benz-Topologie (mit skalarem Diagramm)

mit den Impulsen

$$k_1 = p_1 - \ell$$
, $k_2 = p_2 - \ell$, $k_3 = p_1 - k$, $k_4 = \ell$, $k_5 = k$, $k_6 = k - \ell$ (4.2)

wie in der abelschen Benz-Topologie. Der Farbfaktor dieses Diagramms ist

$$f^{abc} t^a t^b t^c = \frac{i}{2} C_F C_A \mathbf{1}.$$

Der Beitrag der Amplitude $\mathcal{F}^{\mu}_{v,\text{BE}C_A}$ zum Formfaktor ist $F_{v,\text{BE}C_A}$. Er wird mit den gleichen Umformungen wie für die abelsche Benz-Topologie in Abschnitt 3.1.3 als Linearkombination von skalaren Integralen der folgenden Definition geschrieben:

$$F_{\text{BE}C_A}(n_1, n_2, n_3, n_4, n_5, n_6, n_7) = e^{2\varepsilon\gamma_E} (M^2)^{2\varepsilon} (Q^2)^{n-n_7-4}$$

$$\times \int \frac{\mathrm{d}^d k}{i\pi^{d/2}} \int \frac{\mathrm{d}^d \ell}{i\pi^{d/2}} \frac{(2p_2 \cdot k)^{n_7}}{(\ell^2 - 2p_1 \cdot \ell)^{n_1} (\ell^2 - 2p_2 \cdot \ell)^{n_2} (k^2 - 2p_1 \cdot k)^{n_3}}$$

$$\times \frac{1}{(\ell^2 - M^2)^{n_4} (k^2 - M^2)^{n_5} ((k - \ell)^2 - M^2)^{n_6}}, \quad (4.3)$$

mit der Notation aus Gl. (3.6) und $n = n_{123456}$ (ohne n_7). Die Zerlegung von $F_{v,\text{BE}C_A}$ in skalare Integrale ist im Anhang D.2.1 in Gl. (D.13) aufgelistet.

Folgende Regionen treten im Rahmen der Expansion by Regions auf:

Die Potenz in (M^2/Q^2) des führenden Beitrags jeder Region lautet (Notation wie in Abschnitt 3.1.1):

(h-h):
$$2\varepsilon$$

(1c-h): $2 - n_{35} + \varepsilon$
(h-2c): $2 - n_{24} + \varepsilon$
(s'-h): $2 - n_6 + \varepsilon$
(1c-1c): $4 - n_{13456}$
(2c-2c): $4 - n_{2456} + n_7$
(1c-2c): $4 - n_{2345}$

Die Region (s'-h) ist immer mit M^2/Q^2 unterdrückt, und die Region (2c-2c) muss nur für $n_7=0$ betrachtet werden. Wie in der abelschen Benz-Topologie tritt für $n_1=n_3=n_4=n_5=n_6=1$ der Fall ein, dass der (1c-1c)-Beitrag von der Ordnung $(M^2/Q^2)^{-1}$ ist. Dieser Pol in M^2 wird aber jeweils vom Vorfaktor der Zerlegung in skalare Integrale gekürzt.

Die Beiträge der Regionen (h-h) und (h-2c) entsprechen denjenigen des abelschen Benz-Diagramms in den Gleichungen (3.38) und (3.40):

$$F_{\text{BE}C_A}^{\text{(h-h)}}(n_1, n_2, n_3, n_4, n_5, n_6, n_7) = F_{\text{BE}}^{\text{(h-h)}}(n_1, n_2, n_3, n_4, n_5, n_6, n_7), \tag{4.4}$$

$$F_{\text{BE}C_A}^{\text{(h-2c)}}(n_1, n_2, n_3, n_4, n_5, n_6, n_7) = F_{\text{BE}}^{\text{(h-2c)}}(n_1, n_2, n_3, n_4, n_5, n_6, n_7). \tag{4.5}$$

Die führenden Beiträge der anderen Regionen lauten:

$$F_{\text{BE}C_A}^{\text{(1c-h)}}(n_1, n_2, n_3, n_4, n_5, n_6, n_7) = \left(\frac{M^2}{Q^2}\right)^{2-n_{35}+\varepsilon} e^{-ni\pi} e^{2\varepsilon\gamma_E} \frac{\Gamma(\frac{d}{2}-n_3)\Gamma(\frac{d}{2}-n_{146})\Gamma(n_{35}-\frac{d}{2})}{\Gamma(n_1)\Gamma(n_2)\Gamma(n_3)\Gamma(n_5)\Gamma(n_6)\Gamma(d-n_{1246})} \times \int_{-i\infty}^{i\infty} \frac{\mathrm{d}z}{2\pi i} \frac{\Gamma(-z)\Gamma(\frac{d}{2}-n_{246}-z)\Gamma(n_6+z)\Gamma(n_{37}+z)\Gamma(n_{1246}-\frac{d}{2}+z)}{\Gamma(\frac{d}{2}+n_7+z)}, \qquad (4.6)$$

$$F_{\text{BE}C_A}^{\text{(1c-1c)}}(n_1, n_2, n_3, n_4, n_5, n_6, n_7) = \left(\frac{M^2}{Q^2}\right)^{4-n_{13456}} e^{-ni\pi} e^{2\varepsilon\gamma_E} \sum_{i_1, i_2, i_3 \ge 0}^{i_{123} \le n_7} \times \frac{n_7!}{i_1! i_2! i_3! (n_7-i_{123})!} \frac{\Gamma(n_1)\Gamma(n_3)\Gamma(n_4)\Gamma(n_5)\Gamma(n_6)\Gamma(\frac{d}{2}-n_2+n_7)}{\Gamma(n_1)\Gamma(n_3)\Gamma(n_4)\Gamma(n_5)\Gamma(n_6)\Gamma(\frac{d}{2}-n_2+n_7)} \int_{-i\infty}^{i\infty} \frac{\mathrm{d}z_1}{2\pi i} \int_{-i\infty}^{i\infty} \frac{\mathrm{d}z_2}{2\pi i} \times \Gamma(-z_1)\Gamma(n_5+z_1)\Gamma(\frac{d}{2}-n_3+n_7-i_{123}+z_1) \cdot \Gamma(n_{134}+i_{13}-\frac{d}{2}-z_1+z_2)}{\times \frac{\Gamma(-z_2)\Gamma(n_4+i_1+z_2)\Gamma(n_{1467}-i_{123}-\frac{d}{2}+z_2)\Gamma(n_{13456}-d+z_2)}{\Gamma(n_{147}-i_2+z_2)} \times \frac{\Gamma(\frac{d}{2}-n_{14}+i_2+z_1-z_2)\Gamma(\frac{d}{2}-n_{24}+n_7-i_1+z_1-z_2)}{\Gamma(\frac{d}{2}-n_4+n_7-i_1+z_1-z_2)\Gamma(n_{14567}-i_{123}-\frac{d}{2}+z_1+z_2)}, \qquad (4.7)$$

$$F_{BEC_{A}}^{(2c-2c)}(n_{1}, n_{2}, n_{3}, n_{4}, n_{5}, n_{6}, 0) = \\ \times \left(\frac{M^{2}}{Q^{2}}\right)^{4-n_{2456}} \frac{e^{-ni\pi} e^{2\varepsilon\gamma_{E}} \Gamma(n_{2} - n_{13})}{\Gamma(n_{2})\Gamma(n_{4})\Gamma(n_{5})\Gamma(n_{6})\Gamma(\frac{d}{2} - n_{13})} \int_{-i\infty}^{i\infty} \frac{dz}{2\pi i} \\ \times \frac{\Gamma(-z)\Gamma(n_{24} - \frac{d}{2} - z)\Gamma(n_{5} + z)\Gamma(n_{6} - n_{3} + z)\Gamma(\frac{d}{2} - n_{2} + z)\Gamma(n_{56} - \frac{d}{2} + z)}{\Gamma(n_{56} - n_{3} + 2z)},$$

$$(4.8)$$

$$F_{BEC_{A}}^{(1c-2c)}(n_{1}, n_{2}, n_{3}, n_{4}, n_{5}, n_{6}, n_{7}) = \left(\frac{M^{2}}{Q^{2}}\right)^{4-n_{2345}} e^{-ni\pi} e^{2\varepsilon\gamma_{E}} \\ \times \frac{\Gamma(n_{2} - n_{16})\Gamma(n_{37} - n_{6})\Gamma(\frac{d}{2} - n_{2})\Gamma(\frac{d}{2} - n_{3})\Gamma(n_{24} - \frac{d}{2})\Gamma(n_{35} - \frac{d}{2})}{\Gamma(n_{2})\Gamma(n_{3})\Gamma(n_{4})\Gamma(n_{5})\Gamma(\frac{d}{2} - n_{16})\Gamma(\frac{d}{2} - n_{6} + n_{7})}.$$

$$(4.9)$$

Die Auswertung der (1c-h)-Region erfolgt wie für die abelschen Diagramme beschrieben. Die drei (c-c)-Regionen (1c-1c), (2c-2c) und (1c-2c) müssen gemeinsam berechnet werden, da sie Singularitäten im Parameterraum der n_i aufweisen, die sich nur zwischen diesen drei Regionen aufheben.

An der Region (2c-2c) sieht man die neue Schwierigkeit des nichtabelschen Diagramms mit drei massiven Propagatoren: Die Funktion $\Gamma(n_{56}-n_3+2z)$ im Nenner besitzt die Abhängigkeit 2z vom Integrationsparameter. Dadurch lassen sich die Residuen, die zum Mellin-Barnes-Integral beitragen, nicht als Brüche mit gleichartigen Γ -Funktionen im Zähler und Nenner schreiben, und die Aufsummierung unendlich vieler solcher Residuen gestaltet sich schwierig. In der (1c-1c)-Region verhält sich nach dem Auflösen einer der beiden Mellin-Barnes-Integrationen das zweite Integral ähnlich.

Allerdings ist es möglich, die in den (c-c)-Regionen auftretenden Logarithmen $\ln(Q^2/M^2)$ zu isolieren. Da die Potenz des (M^2/Q^2) -Vorfaktors in diesen drei Regionen nicht von ε abhängt, führen nur Pole in den Parametern n_i zu Logarithmen $\ln(Q^2/M^2)$. Eine genaue Untersuchung der Mellin-Barnes-Integrale zeigt, dass für $\varepsilon \neq 0$ singuläre Beiträge nur in den folgenden 7 Integralen auftreten: $F_{\text{BE}C_A}^{\text{(c-c)}}(-1,1,1,1,1,1,0), \ F_{\text{BE}C_A}^{\text{(c-c)}}(0,1,1,1,1,1,n_7)$ mit $n_7=0,1,2,$ $F_{\text{BE}C_A}^{\text{(c-c)}}(1,1,0,1,1,1,0)$ und $F_{\text{BE}C_A}^{\text{(c-c)}}(1,1,1,1,1,0,n_7)$ mit $n_7=0,1$. Es genügt dann jeweils, diejenigen der Residuen in den Mellin-Barnes-Integralen zu betrachten, die für die Singularitäten verantwortlich sind. In fünf der sieben Integrale waren dies jeweils nur eine endliche Zahl von Termen.

Lediglich für die Integrale $F_{\mathrm{BE}C_A}^{(\mathrm{c-c})}(0,1,1,1,1,1,0)$ und $F_{\mathrm{BE}C_A}^{(\mathrm{c-c})}(1,1,0,1,1,1,0)$, bei denen auch der Vorfaktor in der (2c-2c)-Region singulär wird, musste jeweils eine unendliche Reihe von Residuen aufsummiert werden. Beispielsweise war ein Beitrag

zu $F_{\mathrm{BE}C_4}^{(\mathrm{c-c})}(1,1,0,1,1,1,0)$ die folgende Summe:

$$\sum_{j=0}^{\infty} \frac{1}{\binom{2j}{j}} \left(\frac{1}{3+2j} - \frac{1}{1+2j} \right) \left(\frac{1}{3+2j} + \frac{1}{1+2j} + S_1(2j) - S_1(j) \right), \tag{4.10}$$

wobei $S_m(j) = \sum_{i=1}^{j} i^{-m}$ die harmonische Summe (B.10) ist. Zwar wurden in jüngster Zeit einige Fortschritte im Aufsummieren solcher Reihen gemacht (siehe z.B. [84, 85]), auch Reihen mit inversen Binomialkoeffizienten wie im obigen Fall können teilweise gelöst werden. Jedoch ist ein allgemeiner Algorithmus, der alle vorkommenden Fälle abdeckt, noch nicht bekannt. Und es ist nicht immer klar, ob eine gegebene Reihe auf einen der lösbaren Fälle transformiert werden kann.

Eine alternative Methode (siehe z.B. [86]) besteht darin, die unendlichen Reihen numerisch mit einer Genauigkeit von vielen Dezimalstellen zu berechnen. Anschließend macht man einen Ansatz mit einer Basis von analytischen Konstanten wie π^2 , ζ_3 , $\ln^4 2$ usw. und versucht, rationale Koeffizienten zu finden, die den gesuchten Wert als Linearkombination dieser analytischen Konstanten darstellen. Zum Aufspüren dieser rationalen Koeffizienten ist der PSLQ-Algorithmus [87–89] geeignet. Für die hier beschriebenen Rechnungen wurde eine PSLQ-Implementierung in Fortran von O. Veretin mit Multipräzisionsarithmetik [90, 91] verwendet. Die unendlichen Reihen wurden mit einer Genauigkeit von 100 Stellen berechnet, wozu das einfache Aufsummieren der ersten 300 Reihenglieder mit MATHEMATICA genügte. Die obige Summe in Gl. (4.10) führte dabei zum analytischen Ausdruck $4\sqrt{3} \operatorname{Cl}_2\left(\frac{\pi}{3}\right) - 8$ mit der Clausen-Funktion $\operatorname{Cl}_2\left(\frac{\pi}{3}\right) \approx 1,014942$ (B.15).

Zusätzlich zu den Logarithmen in den Ergebnissen der skalaren Integrale sind auch diejenigen Pole in ε wichtig, die nicht in Verbindung mit Logarithmen auftreten, damit am Ende überprüft werden kann, ob das Gesamtergebnis in d=4 Dimensionen endlich ist. Da in den Mellin-Barnes-Integralen der Regionen (1c-1c) und (2c-2c) Pole in ε nur als Singularitäten des Integrals auftreten, genügt auch hier die Betrachtung von denjenigen Residuen, die für solche Singularitäten verantwortlich sind. Alle diese Beiträge beschränken sich entweder auf einzelne Residuen, oder auf Mellin-Barnes-Integrale, die mit dem ersten Barnschen Lemma (C.17) oder Ableitungen davon gelöst werden können.

Die Ergebnisse der einzelnen skalaren Integrale sind im Anhang D.2.1 in Gl. (D.14) aufgelistet. Die oben angesprochenen Integrale der Form $F_{\text{BE}C_A}(1, n_2, 1, 1, 1, 1, n_7)$, bei denen der führende Beitrag der Ordnung $(M^2/Q^2)^{-1}$ von der (1c-1c)-Region herrührt, weisen weder Logarithmen $\ln(Q^2/M^2)$ noch Pole in ε auf. Sie kommen deshalb in der Ergebnisliste (D.14) nicht vor.

Der Beitrag des gesamten nichtabelschen Feynman-Diagramms mit Benz-Topologie

lautet:

$$F_{v,\text{BE}C_A} = C_F C_A \left(\frac{\alpha}{4\pi}\right)^2 \left(\frac{\mu^2}{M^2}\right)^{2\varepsilon} S_{\varepsilon}^2 \left\{ \frac{3}{4\varepsilon^2} + \frac{1}{\varepsilon} \left[-\frac{3}{2}\mathcal{L}^2 + \frac{9}{2}\mathcal{L} - \pi^2 - \frac{37}{8} \right] + \frac{1}{12}\mathcal{L}^4 + \frac{1}{2}\mathcal{L}^3 + \left(\frac{\pi^2}{6} - \frac{11}{2}\right)\mathcal{L}^2 + \left(4\sqrt{3}\operatorname{Cl}_2\left(\frac{\pi}{3}\right) - \frac{2}{3}\zeta_3 - \frac{5}{6}\pi^2 + \frac{89}{4}\right)\mathcal{L} \right\} + \mathcal{O}(\varepsilon^0 \mathcal{L}^0) + \mathcal{O}(\varepsilon) + \mathcal{O}\left(\frac{M^2}{Q^2}\right),$$

$$(4.11)$$

 $mit \mathcal{L} = \ln(Q^2/M^2).$

4.1.2 Nichtabelsche Selbstenergiekorrektur mit T1-Topologie

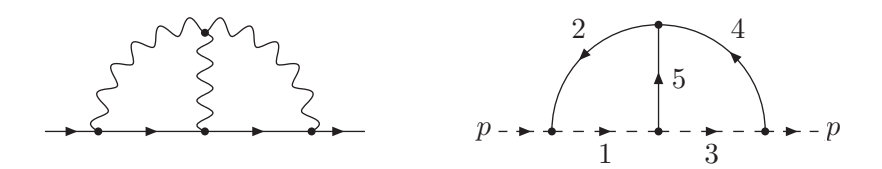


Abbildung 4.4: Nichtabelsche Selbstenergiekorrektur mit T1-Topologie (mit skalarem Diagramm)

Das nichtabelsche Selbstenergiediagramm mit T1-Topologie ist in Abb. 4.4 dargestellt. Die Amplitude dieses Diagramms lautet wie folgt:

$$\tilde{\Sigma}_{\text{T1}C_A} = \mu^{4\varepsilon} \int \frac{\mathrm{d}^d k}{(2\pi)^d} \int \frac{\mathrm{d}^d \ell}{(2\pi)^d} ig\gamma^{\mu} t^a \frac{ik_3}{k_3^2} ig\gamma^{\nu} t^b \frac{ik_1}{k_1^2} ig\gamma^{\rho} t^c \frac{-i}{k_2^2 - M^2} \frac{-i}{k_4^2 - M^2} \times \frac{-i}{k_5^2 - M^2} g f^{abc} \left[g_{\mu\nu} (k_4 - k_5)_{\rho} + g_{\nu\rho} (k_5 + k_2)_{\mu} + g_{\rho\mu} (-k_2 - k_4)_{\nu} \right], \quad (4.12)$$

mit den Impulsen

$$k_1 = k + p, \quad k_2 = k, \quad k_3 = \ell + p, \quad k_4 = \ell, \quad k_5 = k - \ell.$$
 (4.13)

Der Farbfaktor ist der gleiche wie der des nichtabelschen Benz-Diagramms:

$$f^{abc} t^a t^b t^c = \frac{i}{2} C_F C_A \mathbf{1} .$$

Mit (3.61) wird aus der Amplitude $\tilde{\Sigma}_{\text{T1}C_A}$ der skalare Beitrag $\Sigma_{\text{T1}C_A}$ zum Formfaktor extrahiert. Dieser wird wie beim abelschen Selbstenergiediagramm mit T1-Topologie in skalare Integrale zerlegt, die folgendermaßen definiert sind:

$$B_{\text{T1}C_A}(p^2; n_1, n_2, n_3, n_4, n_5) = e^{2\varepsilon\gamma_E} (M^2)^{n-4+2\varepsilon} \int \frac{\mathrm{d}^d k}{i\pi^{d/2}} \int \frac{\mathrm{d}^d \ell}{i\pi^{d/2}} \times \frac{1}{((k+p)^2)^{n_1} (k^2 - M^2)^{n_2} ((\ell+p)^2)^{n_3} (\ell^2 - M^2)^{n_4} ((k-\ell)^2 - M^2)^{n_5}}, \quad (4.14)$$

mit $n=n_{12345}$. Analog zu den abelschen Selbstenergiekorrekturen (3.66,3.67) ist dann $B^0_{\mathrm{T1}C_A}$ der Wert des skalaren Integrals bei $p^2=0$ und $B'_{\mathrm{T1}C_A}$ die mit M^2 multiplizierte Ableitung nach p^2 bei $p^2=0$. Durch Ausnutzung der Symmetrie

$$B_{\text{T1}C_4}(p^2; n_1, n_2, n_3, n_4, n_5) = B_{\text{T1}C_4}(p^2; n_3, n_4, n_1, n_2, n_5)$$
(4.15)

wurden skalare Integrale mit $n_1 < n_3$ oder $n_1 = n_3$ und $n_2 < n_4$ durch ihre symmetrischen Partner ersetzt. Die Zerlegung von $\Sigma_{\text{T1}C_A}$ in skalare Integrale $B_{\text{T1}C_A}^0$ und $B'_{\text{T1}C_A}$ ist im Anhang D.2.2 in Gl. (D.15) dargestellt.

Für allgemeines p^2 lässt sich (4.14) mit Schwinger-Parametern α_i und einer Mellin-Barnes-Darstellung folgendermaßen schreiben:

$$B_{\text{T1}C_{A}}(p^{2}; n_{1}, n_{2}, n_{3}, n_{4}, n_{5}) = \frac{e^{-ni\pi} e^{2\varepsilon\gamma_{E}}}{\Gamma(n_{1})\Gamma(n_{2})\Gamma(n_{3})\Gamma(n_{4})\Gamma(n_{5})} \int_{-i\infty}^{i\infty} \frac{dz}{2\pi i} \left(\frac{-p^{2}}{M^{2}}\right)^{z} \Gamma(-z)$$

$$\times \Gamma(n_{12345} - d + z) \left(\prod_{i=1}^{5} \int_{0}^{\infty} d\alpha_{i} \, \alpha_{i}^{n_{i}-1}\right) \delta\left(\sum_{j \in S} \alpha_{j} - 1\right) (\alpha_{2} + \alpha_{4} + \alpha_{5})^{d-n_{12345}-z}$$

$$\times \left((\alpha_{1} + \alpha_{2})(\alpha_{3} + \alpha_{4} + \alpha_{5}) + (\alpha_{3} + \alpha_{4})\alpha_{5}\right)^{-\frac{d}{2}-z} \left(\alpha_{1}\alpha_{2}\alpha_{3} + \alpha_{1}\alpha_{2}\alpha_{4} + \alpha_{1}\alpha_{3}\alpha_{4} + \alpha_{2}\alpha_{3}\alpha_{4} + \alpha_{1}\alpha_{2}\alpha_{5} + \alpha_{2}\alpha_{3}\alpha_{5} + \alpha_{1}\alpha_{4}\alpha_{5} + \alpha_{3}\alpha_{4}\alpha_{5}\right)^{z}, \quad (4.16)$$

mit $\emptyset \neq S \subseteq \{1,2,3,4,5\}$. Der Wert dieses Ausdrucks für $p^2=0$ ergibt sich aus dem Residuum des Mellin-Barnes-Integrals bei z=0. Nach der Einführung von zwei weiteren Mellin-Barnes-Integralen erhält man:

$$B_{\text{T1}C_{A}}^{0}(n_{1}, n_{2}, n_{3}, n_{4}, n_{5}) = \frac{e^{-ni\pi} e^{2\varepsilon\gamma_{E}}}{\Gamma(n_{2})\Gamma(n_{4})\Gamma(n_{5})\Gamma(\frac{d}{2})} \int_{-i\infty}^{i\infty} \frac{dz_{1}}{2\pi i} \int_{-i\infty}^{i\infty} \frac{dz_{2}}{2\pi i} \Gamma(n_{5} + z_{1} + z_{2})\Gamma(\frac{d}{2} + z_{1} + z_{2}) \times \frac{\Gamma(-z_{1})\Gamma(n_{12} - \frac{d}{2} - z_{1})\Gamma(\frac{d}{2} - n_{1} + z_{1})}{\Gamma(\frac{d}{2} + z_{1})} \frac{\Gamma(-z_{2})\Gamma(n_{34} - \frac{d}{2} - z_{2})\Gamma(\frac{d}{2} - n_{3} + z_{2})}{\Gamma(\frac{d}{2} + z_{1})}.$$

$$(4.17)$$

Analog ergibt sich $B'_{\text{T1}C_A}$ aus dem Residuum des z-Integrals in (4.16) bei z=1. Der Ausdruck für $B'_{\text{T1}C_A}$ besteht aus 8 Termen von der Form (4.17).

Das zweifache Mellin-Barnes-Integral in (4.17) muss nicht allgemein gelöst werden. Bei den nichtabelschen Vertexdiagrammen wird auf die Berechnung der nichtlogarithmischen, in d=4 Dimensionen endlichen Konstante verzichtet. Die Selbstenergiekorrekturen enthalten keine Logarithmen $\ln(Q^2/M^2)$, deshalb genügt hier die Berechnung der Pole in ε . Diese entstehen nur als Singularitäten der Mellin-Barnes-Integrale. Eine endliche Zahl von Residuen liefert singuläre Beiträge, diese können leicht isoliert und addiert werden.

Die Ergebnisse der einzelnen skalaren Integrale sind im Anhang D.2.2 in Gl. (D.16) aufgelistet. Das nichtabelsche Selbstenergiediagramm mit T1-Topologie liefert insgesamt den folgenden Beitrag:

$$\Sigma_{\text{T1}C_A} = C_F C_A \left(\frac{\alpha}{4\pi}\right)^2 \left(\frac{\mu^2}{M^2}\right)^{2\varepsilon} S_{\varepsilon}^2 \left(-\frac{3}{2\varepsilon^2} - \frac{5}{4\varepsilon}\right) + \mathcal{O}(\varepsilon^0). \tag{4.18}$$

Nun können die beiden Beiträge mit einer Drei-Eichboson-Kopplung aus den Gleichungen (4.11) und (4.18) addiert werden:

$$F_{3W} = 2 F_{v,BEC_A} + \Sigma_{T1C_A}$$

$$= C_F C_A \left(\frac{\alpha}{4\pi}\right)^2 \left(\frac{\mu^2}{M^2}\right)^{2\varepsilon} S_{\varepsilon}^2 \left\{ \frac{1}{\varepsilon} \left[-3\mathcal{L}^2 + 9\mathcal{L} - 2\pi^2 - \frac{21}{2} \right] + \frac{1}{6}\mathcal{L}^4 + \mathcal{L}^3 + \left(\frac{\pi^2}{3} - 11\right) \mathcal{L}^2 + \left(8\sqrt{3}\operatorname{Cl}_2\left(\frac{\pi}{3}\right) - \frac{4}{3}\zeta_3 - \frac{5}{3}\pi^2 + \frac{89}{2}\right) \mathcal{L} \right\}$$

$$+ \mathcal{O}(\varepsilon^0 \mathcal{L}^0) + \mathcal{O}(\varepsilon) + \mathcal{O}\left(\frac{M^2}{Q^2}\right), \tag{4.19}$$

wobei das Vertexdiagramm doppelt berücksichtigt wurde. Das Ergebnis enthält nur noch einen einfachen $1/\varepsilon$ -Pol, der zudem bis auf den Faktor $3C_A\frac{\alpha}{4\pi}$ dem Einschleifenformfaktor in Gl. (1.79) entspricht. Der $1/\varepsilon$ -Pol kann somit durch die Kopplungskonstantenrenormierung aufgehoben werden.

4.2 $C_F C_A$ -Beiträge mit Eichboson- oder Geistschleife

4.2.1 Vertexdiagramme mit Eichboson- oder Geistschleife

In diesem Abschnitt wird die Berechnung der beiden Vertexdiagramme in Abb. 4.5 mit einer Eichboson- bzw. Geistschleife im Eichbosonpropagator vorgestellt. Beiden

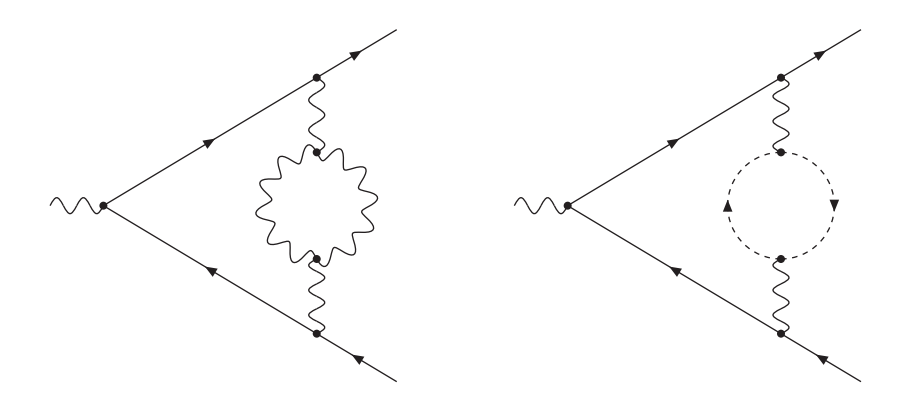


Abbildung 4.5: Vertexdiagramme mit Eichboson- bzw. Geistschleife

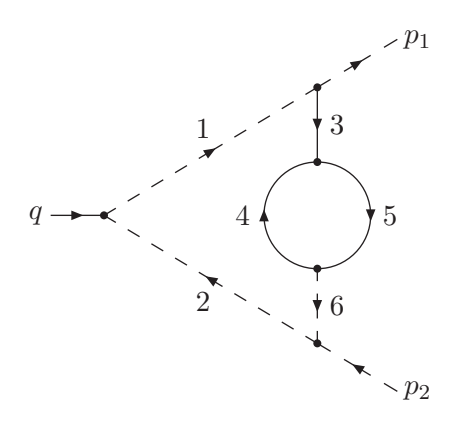


Abbildung 4.6: Skalares Vertexdiagramm mit Schleife im Eichbosonpropagator

Feynman-Diagrammen entspricht das gemeinsame skalare Diagramm in Abb. 4.6, da in der Feynman-'t Hooft-Eichung sowohl das Eichboson als auch das Geistfeld die gleiche Masse M besitzen. Der massive Propagator 3 kommt in den Feynman-Diagrammen jeweils zweifach vor. Dagegen fehlt der masselose Propagator 6 (mit $k_6 = k_3$) in den Feynman-Diagrammen; er kommt durch die Tensorreduktion (siehe unten) ins Spiel.

Die Summe der Amplituden beider Feynman-Diagramme in Abb. 4.5 ergibt:

$$\mathcal{F}^{\mu}_{v,WWcc} = \mu^{4\varepsilon} \int \frac{\mathrm{d}^{d}k}{(2\pi)^{d}} \int \frac{\mathrm{d}^{d}\ell}{(2\pi)^{d}} ig\gamma^{\nu} t^{a} \frac{ik_{1}}{k_{1}^{2}} \gamma^{\mu} \frac{ik_{2}}{k_{2}^{2}} ig\gamma_{\rho} t^{b} \left(\frac{-i}{k_{3}^{2} - M^{2}}\right)^{2} \\
\times \left\{ \frac{1}{2} g f^{acd} \left[g_{\nu\sigma} (k_{3} + k_{5})_{\tau} + g_{\sigma\tau} (-k_{5} - k_{4})_{\nu} + g_{\tau\nu} (k_{4} - k_{3})_{\sigma} \right] \frac{-i}{k_{4}^{2} - M^{2}} \right. \\
\times g f^{bcd} \left[g^{\rho\sigma} (-k_{3} - k_{5})^{\tau} + g^{\sigma\tau} (k_{5} + k_{4})^{\rho} + g^{\tau\rho} (-k_{4} + k_{3})^{\sigma} \right] \frac{-i}{k_{5}^{2} - M^{2}} \\
+ (-1) (-g) f^{acd} k_{5\nu} \frac{i}{k_{4}^{2} - M^{2}} (-g) f^{bdc} k_{4}^{\rho} \frac{i}{k_{5}^{2} - M^{2}} \right\}, \tag{4.20}$$

mit den Impulsen

$$k_1 = p_1 + k, \quad k_2 = p_2 + k, \quad k_3 = k, \quad k_4 = \ell, \quad k_5 = k + \ell.$$
 (4.21)

Bei der Eichbosonschleife steht der Symmetriefaktor 1/2, da die Impulsintegration über ℓ virtuelle Korrekturen doppelt zählt, die physikalisch identisch sind. Die Geistschleife erhält ein Minuszeichen, wie in den Feynman-Regeln (Anhang A) beschrieben. Die Farbfaktoren der Diagramme sind

$$f^{acd}f^{bcd}t^at^b = C_FC_A \mathbf{1}$$
 und $f^{acd}f^{bdc}t^at^b = -C_FC_A \mathbf{1}$.

Die Indizes ν , ρ , σ und τ in der Amplitude $\mathcal{F}^{\mu}_{v,WWcc}$ wurden mit FORM kontrahiert. Man erhält den Beitrag $F_{v,WWcc}$ beider Diagramme zum Formfaktor. Dessen Zähler enthält Skalarprodukte, die mit den folgenden Beziehungen umgeformt werden:

$$p_1 \cdot k = \frac{1}{2}(k_1^2 - k_3^2), \qquad p_2 \cdot k = \frac{1}{2}(k_2^2 - k_3^2), \qquad k \cdot \ell = \frac{1}{2}(k_5^2 - k_3^2 - k_4^2).$$
 (4.22)

Formal bleiben zwei Skalarprodukte als irreduzibel zurück und können nicht mit Propagatornennern gekürzt werden. Wie beim Vertexdiagramm mit Fermion-Selbstenergie können jedoch Skalarprodukte zwischen ℓ und $p_{1,2}$ durch Tensorreduktion entsprechend (C.13) und (C.15) in kürzbare Skalarprodukte aus (4.22) umgewandelt werden.

Allerdings entstehen bei dieser Tensorreduktion neue Faktoren $1/k^2 = 1/k_3^2$, also Propagatornenner mit Impuls k_3 , aber ohne die Masse des Propagators 3. Man muss somit einen sechsten, masselosen Propagator mit Impuls $k_6 = k_3$ einführen. Die skalaren Integrale sind dann folgendermaßen definiert:

$$F_{\text{Wc}}(n_{1}, n_{2}, n_{3}, n_{4}, n_{5}, n_{6}) = e^{2\varepsilon\gamma_{E}} (M^{2})^{2\varepsilon} (Q^{2})^{n-4}$$

$$\times \int \frac{\mathrm{d}^{d}k}{i\pi^{d/2}} \int \frac{\mathrm{d}^{d}\ell}{i\pi^{d/2}} \frac{1}{(k^{2} + 2p_{1} \cdot k)^{n_{1}} (k^{2} + 2p_{2} \cdot k)^{n_{2}} (k^{2} - M^{2})^{n_{3}} (\ell^{2} - M^{2})^{n_{4}}}$$

$$\times \frac{1}{((k+\ell)^{2} - M^{2})^{n_{5}} (k^{2})^{n_{6}}}, \quad (4.23)$$

mit $n=n_{123456}$. Zwar wäre es möglich, durch Partialbruchzerlegung die Propagatoren 3 und 6 zu jeweils einem Propagator zu kombinieren, der dann entweder massiv oder masselos ist. Dabei entstehen jedoch Faktoren $1/M^2$, so dass die Berechnung im Limes $M^2 \ll Q^2$ eine höhere Entwicklung der Integrale in M^2/Q^2 nötig machen würde. Belässt man beide Propagatoren, den massiven dritten und den masselosen sechsten, in der Definition des skalaren Integrals (4.23), so ist die Zerlegung der Amplitude in skalare Integrale nicht eindeutig. Für die folgende Rechnung wurde die Wahl getroffen, den dritten Propagator nicht zu kürzen, sondern alle auftretenden Faktoren k^2 mit dem sechsten Propagator zu kürzen. Der Parameter n_3 hat also für alle auftretenden Integrale den Wert $n_3 = 2$ entsprechend dem Feynman-Diagramm.

Die Zerlegung von $F_{v,WWcc}$ in skalare Integrale F_{Wc} findet sich im Anhang D.2.3 in Gl. (D.17). Durch Ausnutzung der beiden Symmetrien

$$F_{\text{Wc}}(n_1, n_2, n_3, n_4, n_5, n_6) = F_{\text{Wc}}(n_2, n_1, n_3, n_4, n_5, n_6), \qquad (4.24)$$

$$F_{\text{Wc}}(n_1, n_2, n_3, n_4, n_5, n_6) = F_{\text{Wc}}(n_1, n_2, n_3, n_5, n_4, n_6)$$
(4.25)

wurden skalare Integrale mit $n_1 < n_2$ oder mit $n_4 < n_5$ durch ihre symmetrischen Partner ersetzt.

Folgende Regionen liefern im Rahmen der Expansion by Regions nichtverschwindende Beiträge:

(h-h):
$$k \sim Q$$
, $\ell \sim Q$
(h-s): $k \sim Q$, $\ell = k_4 \sim M$
(h-s'): $k \sim Q$, $k_5 \sim M$ (1c-1c): $k \parallel p_1$, $\ell \parallel p_1$
(2c-2c): $k \parallel p_2$, $\ell \parallel p_2$

Die Potenz in (M^2/Q^2) des führenden Beitrags jeder Region lautet:

(h-h):
$$2\varepsilon$$

(h-s): $2-n_4+\varepsilon$
(h-s'): $2-n_5+\varepsilon$
(1c-1c): $4-n_{13456}$
(2c-2c): $4-n_{23456}$

Wegen $n_4 \leq 1$ und $n_5 \leq 1$ sind die Regionen (h-s) und (h-s') immer mit mindestens einem Faktor M^2/Q^2 unterdrückt. Auf der anderen Seite ist es möglich, dass der führende Beitrag der Regionen (1c-1c) und (2c-2c) eine negative Potenz von (M^2/Q^2) hat. Dies tritt nur in den drei Fällen $F_{\text{Wc}}(0,0,2,1,1,1)$, $F_{\text{Wc}}(1,0,2,1,1,0)$ und $F_{\text{Wc}}(1,1,2,1,1,0)$ auf. Hier ist der führende Beitrag von der Ordnung $(M^2/Q^2)^{-1}$, und der Pol in M^2 wird vom jeweiligen Vorfaktor aus der Zerlegung in skalare Integrale gekürzt.

Die führenden Beiträge der nichtunterdrückten Regionen lauten:

$$F_{\text{Wc}}^{\text{(h-h)}}(n_{1}, n_{2}, n_{3}, n_{4}, n_{5}, n_{6}) = \left(\frac{M^{2}}{Q^{2}}\right)^{2\varepsilon} e^{-ni\pi} e^{2\varepsilon\gamma_{E}} \times \frac{\Gamma(\frac{d}{2} - n_{4})\Gamma(\frac{d}{2} - n_{5})\Gamma(d - n_{13456})\Gamma(d - n_{23456})\Gamma(n_{45} - \frac{d}{2})\Gamma(n_{123456} - d)}{\Gamma(n_{1})\Gamma(n_{2})\Gamma(n_{4})\Gamma(n_{5})\Gamma(d - n_{45})\Gamma(\frac{3}{2}d - n_{123456})},$$

$$(4.26)$$

$$F_{\text{Wc}}^{\text{(1c-1c)}}(n_{1}, n_{2}, n_{3}, n_{4}, n_{5}, n_{6}) = \left(\frac{M^{2}}{Q^{2}}\right)^{4-n_{13456}} e^{-ni\pi} e^{2\varepsilon\gamma_{E}} \frac{\Gamma(n_{1} - n_{2})}{\Gamma(n_{1})\Gamma(n_{3})\Gamma(n_{4})\Gamma(n_{5})\Gamma(\frac{d}{2} - n_{2})} \int_{-i\infty}^{i\infty} \frac{dz}{2\pi i} \times \frac{\Gamma(-z)\Gamma(n_{136} - \frac{d}{2} - z)\Gamma(n_{4} + z)\Gamma(n_{5} + z)\Gamma(\frac{d}{2} - n_{16} + z)\Gamma(n_{45} - \frac{d}{2} + z)}{\Gamma(n_{45} + 2z)},$$

$$(4.27)$$

und aus Gründen der Symmetrie:

$$F_{\text{Wc}}^{(\text{2c-2c})}(n_1, n_2, n_3, n_4, n_5, n_6) = F_{\text{Wc}}^{(\text{1c-1c})}(n_2, n_1, n_3, n_4, n_5, n_6).$$
 (4.28)

Logarithmen $\ln(Q^2/M^2)$ werden von den (c-c)-Regionen (1c-1c) und (2c-2c) nur für $n_1=n_2=1$ produziert. Wenn dabei $n_4\leq 0$ oder $n_5\leq 0$ ist, dann tragen nur diejenigen Residuen des Mellin-Barnes-Integrals zum Ergebnis bei, die durch eine Singularität im Integral den Vorfaktor $1/\Gamma(n_4)/\Gamma(n_5)$ kompensieren, also nur endlich viele. Lediglich für die beiden Integrale $F_{\text{Wc}}^{\text{(c-c)}}(1,1,2,1,1,-1)$ und $F_{\text{Wc}}^{\text{(c-c)}}(1,1,2,1,1,0)$ muss die ganze unendliche Reihe der Residuen für die logarithmischen Beiträge aufsummiert werden. In diesen beiden Fällen wurde die Summe numerisch mit jeweils 100 Dezimalstellen Genauigkeit berechnet und das zugehörige analytische Ergebnis mit dem PSLQ-Algorithmus gefunden.

Für die nichtlogarithmischen Pole in ε war in jedem Fall nur eine endliche Zahl von Residuen nötig.

Die Ergebnisse der einzelnen skalaren Integrale sind im Anhang D.2.3 in Gl. (D.18) aufgelistet. Die beiden Feynman-Diagramme mit Eichboson- und Geistschleife liefern insgesamt den folgenden Beitrag zum Formfaktor:

$$F_{v,WWcc} = C_F C_A \left(\frac{\alpha}{4\pi}\right)^2 \left(\frac{\mu^2}{M^2}\right)^{2\varepsilon} S_{\varepsilon}^2 \left\{ \frac{1}{\varepsilon} \left[-\frac{5}{3} \mathcal{L}^2 + \frac{49}{3} \mathcal{L} - \frac{10}{9} \pi^2 - \frac{337}{12} \right] + \frac{10}{9} \mathcal{L}^3 - \frac{76}{9} \mathcal{L}^2 + \left(-4\sqrt{3} \operatorname{Cl}_2\left(\frac{\pi}{3}\right) + \frac{859}{18} \right) \mathcal{L} \right\} + \mathcal{O}(\varepsilon^0 \mathcal{L}^0) + \mathcal{O}(\varepsilon) + \mathcal{O}\left(\frac{M^2}{Q^2}\right).$$

$$(4.29)$$

4.2.2 Selbstenergiekorrekturen mit Eichboson- oder Geistschleife

Die beiden Selbstenergiediagramme mit einer Eichboson- bzw. Geistschleife im Eichbosonpropagator in Abb. 4.7 sind dem gleichen skalaren Diagramm in Abb. 4.8 zugeordnet. Analog zu den Vertexdiagrammen aus dem vorigen Abschnitt kommt der Propagator 2 in den Selbstenergiediagrammen doppelt vor, und der masselose Propagator 5 (mit $k_5 = k_2$) entsteht durch die Tensorreduktion.



Abbildung 4.7: Selbstenergiediagramme mit Eichboson- bzw. Geistschleife

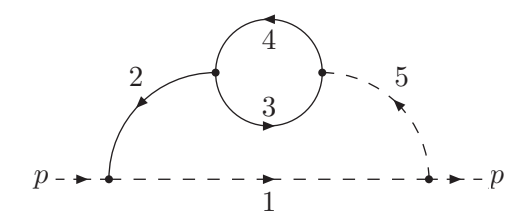


Abbildung 4.8: Skalares Selbstenergiediagramm mit Schleife im Eichbosonpropagator

Die Summe beider Feynman-Diagramme in Abb. 4.7 ergibt die folgende Amplitude:

$$\tilde{\Sigma}_{WWcc} = \mu^{4\varepsilon} \int \frac{\mathrm{d}^{d}k}{(2\pi)^{d}} \int \frac{\mathrm{d}^{d}\ell}{(2\pi)^{d}} ig\gamma^{\mu} t^{a} \frac{ik_{1}^{\ell}}{k_{1}^{2}} ig\gamma_{\nu} t^{b} \left(\frac{-i}{k_{2}^{2} - M^{2}}\right)^{2} \\
\times \left\{ \frac{1}{2} g f^{acd} \left[g_{\mu\rho} (k_{2} + k_{4})_{\sigma} + g_{\rho\sigma} (-k_{4} - k_{3})_{\mu} + g_{\sigma\mu} (k_{3} - k_{2})_{\rho} \right] \frac{-i}{k_{3}^{2} - M^{2}} \\
\times g f^{bcd} \left[g^{\nu\rho} (-k_{2} - k_{4})^{\sigma} + g^{\rho\sigma} (k_{4} + k_{3})^{\nu} + g^{\sigma\nu} (-k_{3} + k_{2})^{\rho} \right] \frac{-i}{k_{4}^{2} - M^{2}} \\
+ (-1) (-g) f^{acd} k_{4\mu} \frac{i}{k_{3}^{2} - M^{2}} (-g) f^{bdc} k_{3}^{\nu} \frac{i}{k_{4}^{2} - M^{2}} \right\}, \tag{4.30}$$

mit den Impulsen

$$k_1 = k + p, \quad k_2 = k, \quad k_3 = \ell, \quad k_4 = k + \ell.$$
 (4.31)

Die Farbfaktoren der Diagramme sind die gleichen wie für die Vertexdiagramme im vorigen Abschnitt:

$$f^{acd}f^{bcd}t^at^b = C_FC_A \mathbf{1}$$
 und $f^{acd}f^{bdc}t^at^b = -C_FC_A \mathbf{1}$.

Entsprechend Gl. (3.61) erhält man aus der Amplitude $\tilde{\Sigma}_{WWcc}$ den skalaren Beitrag Σ_{WWcc} zum Formfaktor. Zum Kürzen von Skalarprodukten dienen die folgenden Umformungen:

$$p \cdot k = \frac{1}{2}(k_1^2 - k_2^2 - p^2), \qquad k \cdot \ell = \frac{1}{2}(k_4^2 - k_2^2 - k_3^2).$$
 (4.32)

Als formal irreduzibles Skalarprodukt verbleibt $p \cdot \ell$. Es kann aber durch Tensorreduktion entsprechend (C.13) und (C.15) eliminiert werden. Stattdessen kommt durch die Tensorreduktion der masselose Propagator mit $k_5 = k_2$ hinzu. Die Definition der skalaren Integrale lautet:

$$B_{\text{Wc}}(p^2; n_1, n_2, n_3, n_4, n_5) = e^{2\varepsilon\gamma_E} (M^2)^{n-4+2\varepsilon} \int \frac{\mathrm{d}^d k}{i\pi^{d/2}} \int \frac{\mathrm{d}^d \ell}{i\pi^{d/2}} \times \frac{1}{((k+p)^2)^{n_1} (k^2 - M^2)^{n_2} (\ell^2 - M^2)^{n_3} ((k+\ell)^2 - M^2)^{n_4} (k^2)^{n_5}}, \quad (4.33)$$

mit $n=n_{12345}$. Wie bei den vorherigen Selbstenergiekorrekturen werden B_{Wc}^0 und B_{Wc}' für das skalare Integral bei $p^2=0$ respektive seine (mit M^2 multiplizierte) Ableitung nach p^2 bei $p^2=0$ eingeführt. Die Symmetrie

$$B_{\text{Wc}}(p^2; n_1, n_2, n_3, n_4, n_5) = B_{\text{Wc}}(p^2; n_1, n_2, n_4, n_3, n_5)$$
(4.34)

wird dazu benutzt, um Integrale mit $n_3 < n_4$ durch ihre symmetrischen Partner zu ersetzen. Die Zerlegung von Σ_{WWcc} in skalare Integrale B_{Wc}^0 und B_{Wc}' ist im Anhang D.2.4 in Gl. (D.19) aufgelistet.

Für allgemeines p^2 lässt sich (4.33) als zweifaches Mellin-Barnes-Integral darstellen:

$$B_{\text{Wc}}(p^{2}; n_{1}, n_{2}, n_{3}, n_{4}, n_{5}) = \frac{e^{-ni\pi} e^{2\varepsilon\gamma_{E}} \Gamma(\frac{d}{2} - n_{1})}{\Gamma(n_{1})\Gamma(n_{2})\Gamma(n_{3})\Gamma(n_{4})} \int_{-i\infty}^{i\infty} \frac{dz_{1}}{2\pi i} \int_{-i\infty}^{i\infty} \frac{dz_{2}}{2\pi i} \left(\frac{-p^{2}}{M^{2}}\right)^{z_{1}}$$

$$\times \frac{\Gamma(-z_{1})\Gamma(n_{1} + z_{1})}{\Gamma(\frac{d}{2} - n_{1} - z_{1})\Gamma(\frac{d}{2} + z_{1})} \frac{\Gamma(-z_{2})\Gamma(n_{3} + z_{2})\Gamma(n_{4} + z_{2})\Gamma(n_{34} - \frac{d}{2} + z_{2})}{\Gamma(n_{34} + 2z_{2})}$$

$$\times \Gamma(\frac{d}{2} - n_{15} - z_{1} + z_{2})\Gamma(n_{125} - \frac{d}{2} + z_{1} - z_{2}). \tag{4.35}$$

Die Entwicklung um $p^2 = 0$ erhält man aus den Residuen des z_1 -Integrals bei $z_1 = 0$ und $z_1 = 1$:

$$B_{\text{Wc}}^{0}(n_{1}, n_{2}, n_{3}, n_{4}, n_{5}) = \frac{e^{-ni\pi} e^{2\varepsilon\gamma_{E}}}{\Gamma(n_{2})\Gamma(n_{3})\Gamma(n_{4})\Gamma(\frac{d}{2})} \int_{-i\infty}^{i\infty} \frac{dz}{2\pi i} \Gamma(-z)$$

$$\times \Gamma(n_{125} - \frac{d}{2} - z) \frac{\Gamma(n_{3} + z)\Gamma(n_{4} + z)\Gamma(\frac{d}{2} - n_{15} + z)\Gamma(n_{34} - \frac{d}{2} + z)}{\Gamma(n_{34} + 2z)}, \qquad (4.36)$$

$$B_{\text{Wc}}'(n_{1}, n_{2}, n_{3}, n_{4}, n_{5}) = \frac{e^{-ni\pi} e^{2\varepsilon\gamma_{E}} n_{1} (\frac{d}{2} - n_{1} - 1)}{\Gamma(n_{2})\Gamma(n_{3})\Gamma(n_{4})\Gamma(1 + \frac{d}{2})} \int_{-i\infty}^{i\infty} \frac{dz}{2\pi i} \Gamma(-z)$$

$$\times \Gamma(n_{125} + 1 - \frac{d}{2} - z) \frac{\Gamma(n_{3} + z)\Gamma(n_{4} + z)\Gamma(\frac{d}{2} - n_{15} - 1 + z)\Gamma(n_{34} - \frac{d}{2} + z)}{\Gamma(n_{34} + 2z)}. \qquad (4.37)$$

Weil von der Selbstenergiekorrektur nur die Pole in ε benötigt werden, genügt die Auswertung endlich vieler Residuen der Mellin-Barnes-Integrale in (4.36) und (4.37). Die Ergebnisse der einzelnen skalaren Integrale sind im Anhang D.2.4 in Gl. (D.20) aufgeführt. Die beiden Selbstenergiediagramme mit Eichboson- und Geistschleife liefern insgesamt den folgenden Beitrag:

$$\Sigma_{WWcc} = C_F C_A \left(\frac{\alpha}{4\pi}\right)^2 \left(\frac{\mu^2}{M^2}\right)^{2\varepsilon} S_{\varepsilon}^2 \cdot \frac{21}{4\varepsilon} + \mathcal{O}(\varepsilon^0) \,. \tag{4.38}$$

4.2.3 Massenrenormierung mit Eichboson- oder Geistschleife

Zur Renormierung der Eichbosonmasse M muss die Einschleifenselbstenergie des Eichbosons berechnet werden (siehe Abschnitt 1.4). Die zwei Diagramme mit Eichboson- oder Geistschleife sind in Abb. 4.9 dargestellt. Diagramme mit Tadpole-



Abbildung 4.9: Beiträge zur Massenrenormierung mit Eichboson- bzw. Geistschleife

Schleifen werden hier genauso wenig betrachtet wie bei den Vertex- oder Selbstenergiekorrekturen, da deren Schleifenkorrekturen durch die Massenrenormierung kompensiert werden. Die Summe der Amplituden beider Feynman-Diagramme in Abb. 4.9 lautet:

$$\tilde{\Pi}_{WWcc}^{\mu\nu,ab}(k) = \mu^{2\varepsilon} \int \frac{\mathrm{d}^{d}\ell}{(2\pi)^{d}} \left\{ \frac{1}{2} g f^{acd} \left[g_{\rho}^{\mu} (2k+\ell)_{\sigma} + g_{\rho\sigma} (-k-2\ell)^{\mu} + g_{\sigma}^{\mu} (\ell-k)_{\rho} \right] \frac{-i}{\ell^{2} - M^{2}} \right. \\
\times g f^{bcd} \left[g^{\nu\rho} (-2k-\ell)^{\sigma} + g^{\rho\sigma} (k+2\ell)^{\nu} + g^{\sigma\nu} (-\ell+k)^{\rho} \right] \frac{-i}{(k+\ell)^{2} - M^{2}} \\
+ (-1) (-g) f^{acd} (k+\ell)^{\mu} \frac{i}{\ell^{2} - M^{2}} (-g) f^{bdc} \ell^{\nu} \frac{i}{(k+\ell)^{2} - M^{2}} \right\}.$$
(4.39)

Die Farbfaktoren der Diagramme sind

$$f^{acd}f^{bcd} = C_A \delta^{ab}$$
 und $f^{acd}f^{bdc} = -C_A \delta^{ab}$.

Die Amplitude $\tilde{\Pi}^{\mu\nu,ab}_{WWcc}$ ist von der Form

$$\tilde{\Pi}_{WWcc}^{\mu\nu,ab}(k) = i \,\delta^{ab} \left[g^{\mu\nu} k^2 \,\Pi_{WWcc}(k^2) - k^{\mu} k^{\nu} \,\Pi'_{WWcc}(k^2) \right], \tag{4.40}$$

mit den skalaren Funktionen Π_{WWcc} und Π'_{WWcc} . Entsprechend den Gleichungen (1.35) und (1.81) wird zur Massenrenormierung nur die Funktion Π_{WWcc} benötigt. Diese kann aus der Amplitude durch Projektion gewonnen werden, analog zur Tensorreduktion:

$$\Pi_{WWcc}(k^2) = \frac{-i}{d-1} \frac{1}{k^2} \left(g_{\mu\nu} - \frac{k_{\mu}k_{\nu}}{k^2} \right) \tilde{\Pi}_{WWcc}^{\mu\nu}(k) , \qquad (4.41)$$

wobei $\tilde{\Pi}^{\mu\nu}_{WWcc}(k)$ die Amplitude ohne den Faktor δ^{ab} (die Identität in der adjungierten SU(2)-Darstellung) bezeichnet.

Von der mit Gl. (4.41) projizierten Funktion $\Pi_{WWcc}(k^2)$ wird entsprechend (1.35) und (1.81) der Wert (bzw. der Realteil) bei $k^2 = M^2$ benötigt. Er wird als Linear-kombination von Integralen mit der Definition

$$B_1^M(n_1, n_2) = e^{\varepsilon \gamma_E} (M^2)^{n_{12} - 2 + \varepsilon} \int \frac{\mathrm{d}^d \ell}{i \pi^{d/2}} \frac{1}{(\ell^2 - M^2)^{n_1} ((k + \ell)^2 - M^2)^{n_2}} \bigg|_{k^2 = M^2}$$
(4.42)

geschrieben. Diese Zerlegung lautet:

$$\Pi_{WWcc}(M^2) = C_A \frac{\alpha}{4\pi} \left(\frac{\mu^2}{M^2}\right)^{\varepsilon} S_{\varepsilon} \left\{ \left(-1 + \frac{1}{d-1}\right) B_1^M(1, -1) + \left(3 - \frac{2}{d-1}\right) B_1^M(1, 0) + \left(\frac{9}{2} - \frac{3}{2(d-1)}\right) B_1^M(1, 1) \right\}, (4.43)$$

wobei $B_1^M(0,0) = 0$ und die Symmetrie $B_1^M(n_1, n_2) = B_1^M(n_2, n_1)$ benutzt wurden. Die skalaren Zweipunktintegrale B_1^M sind in der Literatur bekannt (siehe z.B. [92]):

$$B_1^M(1,-1) = B_1^M(1,0) = \frac{1}{\varepsilon} + 1 + \mathcal{O}(\varepsilon),$$
 (4.44)

$$B_1^M(1,1) = \frac{1}{\varepsilon} - \frac{\pi}{\sqrt{3}} + 2 + \mathcal{O}(\varepsilon). \tag{4.45}$$

Daraus ergibt sich:

$$\Pi_{WWcc}(M^2) = C_A \frac{\alpha}{4\pi} \left(\frac{\mu^2}{M^2}\right)^{\varepsilon} S_{\varepsilon} \left(\frac{17}{3\varepsilon} - 4\frac{\pi}{\sqrt{3}} + \frac{82}{9}\right) + \mathcal{O}(\varepsilon). \tag{4.46}$$

Nach Einsetzen von $\Pi_{WWcc}(M^2)$ in den allgemeinen Ausdruck (1.81) für die Renormierung der Masse im Einschleifenergebnis erhält man den Beitrag der Eichboson-

und Geistschleife dazu:

$$\Delta F_{WWcc}^{M} = C_F C_A \left(\frac{\alpha}{4\pi}\right)^2 \left(\frac{\mu^2}{M^2}\right)^{2\varepsilon} S_{\varepsilon}^2 \left\{ \frac{1}{\varepsilon} \left[-\frac{34}{3}\mathcal{L} + 17 \right] + \left(8\frac{\pi}{\sqrt{3}} - \frac{164}{9} \right) \mathcal{L} - 4\sqrt{3}\pi - \frac{17}{3}\pi^2 + \frac{317}{6} \right\} + \mathcal{O}(\varepsilon) + \mathcal{O}\left(\frac{M^2}{Q^2}\right).$$

$$(4.47)$$

Die nichtlogarithmische Konstante in der Ordnung ε^0 wird hier allerdings nicht benötigt.

Alle Beiträge mit Eichboson- und Geistschleife aus den Gleichungen (4.29), (4.38) und (4.47) können nun addiert werden:

$$F_{WWcc} = F_{v,WWcc} + \Sigma_{WWcc} + \Delta F_{WWcc}^{M}$$

$$= C_F C_A \left(\frac{\alpha}{4\pi}\right)^2 \left(\frac{\mu^2}{M^2}\right)^{2\varepsilon} S_{\varepsilon}^2 \left\{ \frac{1}{\varepsilon} \left[-\frac{5}{3}\mathcal{L}^2 + 5\mathcal{L} - \frac{10}{9}\pi^2 - \frac{35}{6} \right] + \frac{10}{9}\mathcal{L}^3 - \frac{76}{9}\mathcal{L}^2 + \left(-4\sqrt{3}\operatorname{Cl}_2\left(\frac{\pi}{3}\right) + 8\frac{\pi}{\sqrt{3}} + \frac{59}{2} \right) \mathcal{L} \right\}$$

$$+ \mathcal{O}(\varepsilon^0 \mathcal{L}^0) + \mathcal{O}(\varepsilon) + \mathcal{O}\left(\frac{M^2}{Q^2}\right). \tag{4.48}$$

Auch dieses Ergebnis enthält nur einen einfachen $1/\varepsilon$ -Pol, der bis auf den Faktor $\frac{5}{3}C_A\frac{\alpha}{4\pi}$ dem Einschleifenformfaktor in Gl. (1.79) entspricht. Die $1/\varepsilon$ -Pole aus den Gleichungen (4.19) und (4.48) können also durch die Kopplungskonstantenrenormierung (siehe nächster Abschnitt) aufgehoben werden.

4.3 Zusammenfassung der $C_F C_A$ -Beiträge

Bevor alle Beiträge zum Zweischleifenformfaktor, die proportional zu $C_F C_A$ sind, zusammengefasst werden können, muss noch die Renormierung der Kopplungskonstante berücksichtigt werden. Wenn man in die allgemeine Form (1.80) den C_A -Anteil von β_0 (1.27) einsetzt, erhält man:

$$\Delta F_{C_F C_A}^{\alpha} = C_F C_A \left(\frac{\alpha}{4\pi}\right)^2 \left(\frac{\mu^2}{M^2}\right)^{\varepsilon} S_{\varepsilon} \left\{ \frac{1}{\varepsilon} \left[\frac{11}{3} \mathcal{L}^2 - 11 \mathcal{L} + \frac{22}{9} \pi^2 + \frac{77}{6} \right] - \frac{11}{9} \mathcal{L}^3 + \frac{11}{2} \mathcal{L}^2 + \left(\frac{11}{9} \pi^2 - \frac{88}{3} \right) \mathcal{L} - \frac{22}{3} \zeta_3 - \frac{11}{6} \pi^2 + \frac{517}{12} \right\} + \mathcal{O}(\varepsilon) + \mathcal{O}\left(\frac{M^2}{Q^2}\right),$$
(4.49)

wobei die nichtlogarithmische Konstante in $\mathcal{O}(\varepsilon^0)$ hier nicht benötigt wird.

Zu den C_FC_A -Beiträgen im Zweischleifenformfaktor gehören auch die C_FC_A -Anteile aus den Ergebnissen des nichtplanaren Vertexdiagramms (3.32), des abelschen Vertexdiagramms mit Benz-Topologie (3.47) und der abelschen Selbstenergiekorrektur mit T1-Topologie (3.74). Die anderen Beiträge finden sich in den Gleichungen (4.19), (4.48) und (4.49) zusammengefasst:

$$F_{2,C_FC_A} = \left[F_{v,NP} + 2 F_{v,BE} + \Sigma_{T1} \right]_{C_FC_A} + F_{3W} + F_{WWcc} + \Delta F_{C_FC_A}^{\alpha} . \tag{4.50}$$

Die Summe lautet für eine allgemeine Renormierungsskala μ (in die der Faktor S_{ε} absorbiert wird) in d=4 Dimensionen im Hochenergielimes:

$$F_{2,C_{F}C_{A}} = C_{F}C_{A} \left(\frac{\alpha}{4\pi}\right)^{2} \left\{ \frac{11}{9} \mathcal{L}^{3} - \left(-\frac{\pi^{2}}{3} + \frac{233}{18}\right) \mathcal{L}^{2} + \left(4\sqrt{3}\operatorname{Cl}_{2}\left(\frac{\pi}{3}\right) + 8\frac{\pi}{\sqrt{3}} - \frac{88}{3}\zeta_{3} + \frac{11}{9}\pi^{2} + \frac{193}{6}\right) \mathcal{L} + \ln\left(\frac{\mu^{2}}{M^{2}}\right) \left[-\frac{11}{3}\mathcal{L}^{2} + 11\mathcal{L} - \frac{22}{9}\pi^{2} - \frac{77}{6}\right] \right\} + \mathcal{O}(\mathcal{L}^{0}), \quad (4.51)$$

mit $\mathcal{L} = \ln(Q^2/M^2)$. Dieses Ergebnis ist bereits in d=4 Dimensionen endlich, aber es ist nicht eichinvariant und darum nur in der Feynman-'t Hooft-Eichung gültig. Im nächsten Abschnitt werden die Higgs-Beiträge vorgestellt, mit denen zusammen der nichtabelsche Beitrag dann eichunabhängig wird.

Die Koeffizienten der Logarithmen \mathcal{L}^3 und \mathcal{L}^2 im Ergebnis (4.51) sind jedoch getrennt von den Higgs-Beiträgen eichinvariant und stimmen mit der Vorhersage der Evolutionsgleichung in (1.73) überein.

4.4 Higgs-Beiträge

Die Masse des Higgs-Bosons ist ein freier Parameter des Standardmodells. Durch die direkte experimentelle Suche ist die Higgs-Masse nach unten beschränkt: $M_H > 114,4 \,\text{GeV}$ (mit 95% statistischer Sicherheit). Fits der experimentellen Daten an das Standardmodell sind damit konsistent: $M_H = 113^{+56}_{-40} \,\text{GeV}$ (Review of Particle Physics [93]).

Grundsätzlich sind die Strahlungskorrekturen, die ein Higgs-Teilchen beinhalten, neben der Eichbosonmasse M auch von der Higgs-Masse M_H abhängig. Es bedeutet jedoch eine erhebliche Komplikation der Schleifenrechnungen, wenn in den massiven

Propagatoren zwei verschiedene Massen auftauchen. Deshalb wurde in dieser Arbeit die Higgs-Masse gleich der Eichbosonmasse gesetzt:

$$M_H = M$$
.

Dies stellt eine nicht unwesentliche Änderung der physikalischen Parameter dar, da die tatsächliche Higgs-Masse deutlich oberhalb der Eichbosonmassen von $M_Z \approx 91,2\,\mathrm{GeV}$ und $M_W \approx 80,4\,\mathrm{GeV}$ liegt. Jedoch beeinflusst die Änderung der Higgs-Masse das Ergebnis für den Formfaktor oder die Vierfermionamplitude im Hochenergielimes nur wenig. Die führenden drei Logarithmen in Zweischleifenordnung, \mathcal{L}^4 , \mathcal{L}^3 und \mathcal{L}^2 , hängen nicht von der Higgs-Masse ab. Erst in den Koeffizienten des linearen Logarithmus geht der Wert der Higgs-Masse ein. Am Ergebnis wird zu sehen sein, dass die Higgs-Beiträge insgesamt nur eine untergeordnete Rolle spielen, so dass die Variation mit M_H im gesamten Formfaktor vernachlässigbar ist.

Die Goldstone-Bosonen haben in der Feynman-'t Hooft-Eichung mit $\xi = 1$ die gleiche Masse wie die Eichbosonen, so dass in den Schleifendiagrammen der Higgs-Beiträge mit $M_H = M$ nur noch eine von Null verschiedene Masse auftaucht.

Die bisherigen Rechnungen für den fermionischen, abelschen und nichtabelschen Beitrag zum Formfaktor sind allgemein für SU(N)- oder U(1)-Eichgruppen gültig, wenn man für C_F , C_A und T_F die entsprechenden Werte einsetzt. Der Higgs-Formalismus mit der spontanen Symmetriebrechung funktioniert in der Form des Standardmodells jedoch nur für Eichgruppen, bei denen die Zahl der Goldstone-Bosonen mit der Zahl der Eichbosonen übereinstimmt. Hier wird, wie in Abschnitt 1.2 beschrieben, ein SU(2)-Higgs-Modell verwendet.

4.4.1 Vertexdiagramme mit Higgs- und Goldstone-Bosonen

Zu den Beiträgen mit Higgs- und Goldstone-Bosonen gehören die Vertexdiagramme in Abb. 4.10. Diagramme mit Tadpole-Schleifen im Eichbosonpropagator werden durch die Massenrenormierung kompensiert und daher nicht betrachtet.

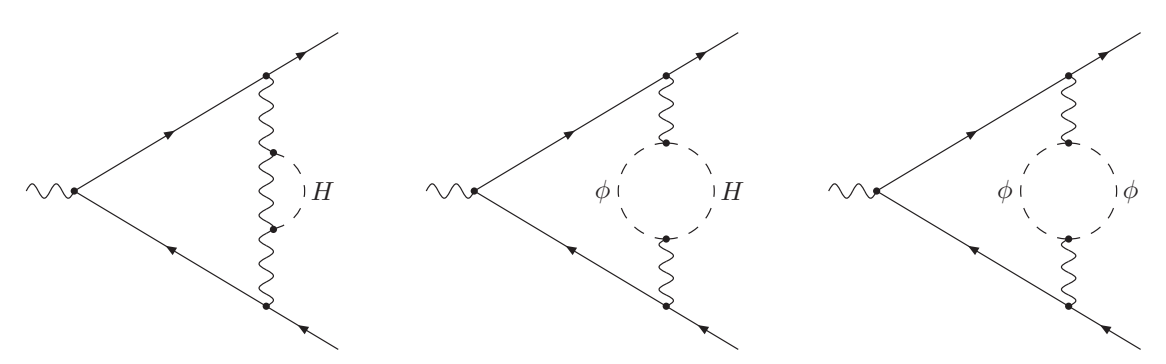
Die Struktur der skalaren Integrale ist bei allen drei Feynman-Diagrammen die gleiche und entspricht derjenigen der Diagramme mit Eichboson- und Geistschleife in Abb. 4.6, hier nochmals dargestellt in Abb. 4.11.

Die Amplituden dieser drei Diagramme haben die folgende Form:

$$\mathcal{F}^{\mu}_{v,\text{Higgs}(i)} = \mu^{2\varepsilon} \int \frac{\mathrm{d}^d k}{(2\pi)^d} ig\gamma_{\nu} t^a \frac{i \not k_1}{k_1^2} \gamma^{\mu} \frac{i \not k_2}{k_2^2} ig\gamma_{\rho} t^b \left(\frac{-i}{k_3^2 - M^2} \right)^2 \tilde{\Pi}^{\nu\rho,ab}_{\text{Higgs}(i)}(k_3), \quad (4.52)$$

wobei Higgs(i) für einen der drei Beiträge WH, $H\phi$ und $\phi\phi$ steht, mit den Impulsen

$$k_1 = p_1 + k, \quad k_2 = p_2 + k, \quad k_3 = k, \quad k_4 = \ell, \quad k_5 = k + \ell.$$
 (4.53)



W-Higgs-Schleife (WH) Higgs-Goldstone-Schleife ($H\phi$) Goldstone-Schleife ($\phi\phi$)

Abbildung 4.10: Vertexdiagramme mit Higgs- und Goldstone-Bosonen

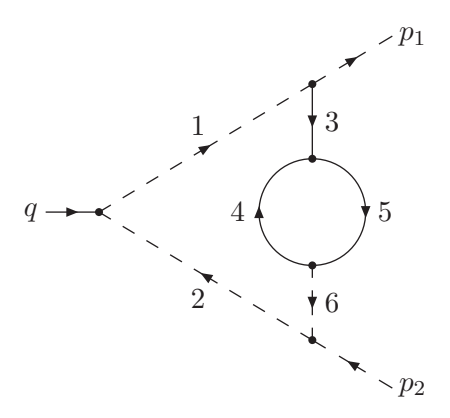


Abbildung 4.11: Skalares Vertexdiagramm mit Schleife im Eichbosonpropagator

Die Selbstenergie-Einsetzungen im Eichbosonpropagator lauten:

$$\tilde{\Pi}_{WH}^{\nu\rho,ab}(k_3) = \delta^{ab} g^{\nu\rho} \mu^{2\varepsilon} \int \frac{\mathrm{d}^d \ell}{(2\pi)^d} igM \frac{-i}{k_4^2 - M^2} igM \frac{i}{k_5^2 - M^2}, \tag{4.54}$$

$$\tilde{\Pi}_{H\phi}^{\nu\rho,ab}(k_3) = \delta^{ab} \,\mu^{2\varepsilon} \int \frac{\mathrm{d}^d \ell}{(2\pi)^d} \,\frac{g}{2} \left(-k_5 - k_4\right)^{\nu} \,\frac{i}{k_4^2 - M^2} \,\frac{g}{2} \left(k_5 + k_4\right)^{\rho} \,\frac{i}{k_5^2 - M^2} \,, \quad (4.55)$$

$$\tilde{\Pi}_{\phi\phi}^{\nu\rho,ab}(k_3) = \frac{1}{2} \mu^{2\varepsilon} \int \frac{\mathrm{d}^d \ell}{(2\pi)^d} \left(-\frac{g}{2} \right) f^{acd} \left(-k_5 - k_4 \right)^{\nu} \frac{i}{k_4^2 - M^2} \\
\times \left(-\frac{g}{2} \right) f^{bcd} \left(k_5 + k_4 \right)^{\rho} \frac{i}{k_5^2 - M^2} .$$
(4.56)

Der Faktor 1/2 vor der $\phi\phi$ -Schleife ist ein Symmetriefaktor, genau wie für die Eichbosonschleife in Gl. (4.20).

Die Farbfaktoren der Vertexdiagramme $\mathcal{F}^{\mu}_{v,WH}$ und $\mathcal{F}^{\mu}_{v,H\phi}$ sind jeweils

$$\delta^{ab} t^a t^b = C_F \mathbf{1} = \frac{3}{4} \mathbf{1} ,$$

der Farbfaktor des Diagramms $\mathcal{F}_{v,\phi\phi}$ ist

$$f^{acd}f^{bcd}t^at^b = C_A C_F \mathbf{1} = \frac{3}{2}\mathbf{1},$$

für ein SU(2)-Higgs-Modell, das hier zugrunde liegt. Die Kombination des Farbfaktors und des Symmetriefaktors 1/2 zeigt, dass die Amplituden der Diagramme mit Goldstone-Schleife und mit Higgs-Goldstone-Schleife gleich sind:

$$\mathcal{F}^{\mu}_{v H \phi} = \mathcal{F}_{v, \phi \phi}$$
.

Die Beiträge der drei Vertexdiagramme zum Formfaktor sind jeweils $F_{v,WH}$ und $F_{v,H\phi} = F_{v,\phi\phi}$. Sie werden in die gleichen skalaren Integrale (4.23) aufgeteilt wie die Diagramme mit Eichboson- oder Geistschleife in Abschnitt 4.2.1. Diese Zerlegung ist im Anhang D.2.5 in den Gleichungen (D.21) und (D.22) angegeben.

Die Koeffizienten des Diagramms mit Eichboson-Higgs-Schleife (WH) sind aufgrund der zweifachen Kopplung igM alle proportional zu M^2/Q^2 . Man könnte naiv vermuten, dass deshalb der Beitrag dieses Diagramms im Hochenergielimes komplett mit M^2/Q^2 unterdrückt wäre. Dies ist jedoch nicht der Fall, da mehrere skalare Integrale von der Ordnung $(M^2/Q^2)^{-1}$ sind und den Faktor M^2/Q^2 in den Koeffizienten kürzen.

Die Ergebnisse der skalaren Integrale sind aus Abschnitt 4.2.1 bzw. aus Gleichung (D.18) im Anhang bekannt. Die Beiträge der Feynman-Diagramme zum Formfaktor sind:

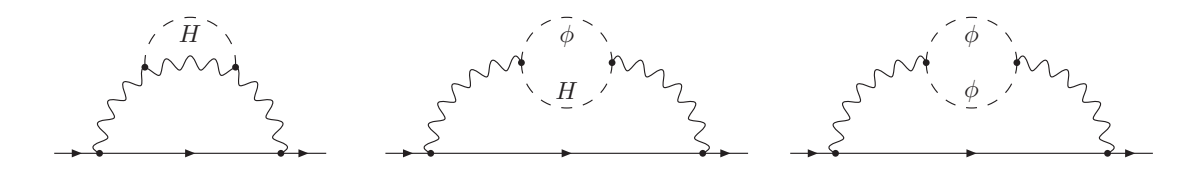
$$F_{v,WH} = \left(\frac{\alpha}{4\pi}\right)^2 \left(\frac{\mu^2}{M^2}\right)^{2\varepsilon} S_{\varepsilon}^2 \left\{ \frac{1}{\varepsilon} \left[-\frac{3}{2}\mathcal{L} + 3 \right] + \left(2\sqrt{3}\operatorname{Cl}_2\left(\frac{\pi}{3}\right) - 3 \right) \mathcal{L} \right\}$$

$$+ \mathcal{O}(\varepsilon^0 \mathcal{L}^0) + \mathcal{O}(\varepsilon) + \mathcal{O}\left(\frac{M^2}{Q^2}\right), \qquad (4.57)$$

$$F_{v,H\phi} = F_{v,\phi\phi} = \left(\frac{\alpha}{4\pi}\right)^2 \left(\frac{\mu^2}{M^2}\right)^{2\varepsilon} S_{\varepsilon}^2 \left\{ \frac{1}{\varepsilon} \left[\frac{1}{16}\mathcal{L}^2 + \frac{7}{16}\mathcal{L} + \frac{\pi^2}{24} - \frac{67}{64} \right] - \frac{1}{24}\mathcal{L}^3 + \frac{17}{48}\mathcal{L}^2 + \left(-\frac{3}{4}\sqrt{3}\operatorname{Cl}_2\left(\frac{\pi}{3}\right) + \frac{19}{96} \right) \mathcal{L} \right\} + \mathcal{O}(\varepsilon^0 \mathcal{L}^0) + \mathcal{O}(\varepsilon) + \mathcal{O}\left(\frac{M^2}{Q^2}\right). \qquad (4.58)$$

4.4.2 Selbstenergiekorrekturen mit Higgs- und Goldstone-Bosonen

Die Selbstenergiediagramme mit Higgs- und Goldstone-Bosonen sind in Abb. 4.12 dargestellt. Das zugehörige skalare Diagramm ist bei allen drei Feynman-Diagrammen durch dasjenige mit Eichboson- und Geistschleife in Abb. 4.8 gegeben, das hier nochmals in Abb. 4.13 zu sehen ist.



W-Higgs-Schleife (WH) Higgs-Goldst.-Schleife ($H\phi$) Goldstone-Schleife ($\phi\phi$)

Abbildung 4.12: Selbstenergiediagramme mit Higgs- und Goldstone-Bosonen

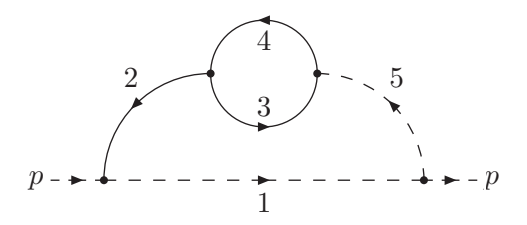


Abbildung 4.13: Skalares Selbstenergiediagramm mit Schleife im Eichbosonpropagator

Die Amplituden der drei Selbstenergiediagramme haben die folgende Form:

$$\tilde{\Sigma}_{\text{Higgs}(i)} = \mu^{2\varepsilon} \int \frac{\mathrm{d}^d k}{(2\pi)^d} ig\gamma_{\mu} t^a \frac{ik_1}{k_1^2} ig\gamma_{\nu} t^b \left(\frac{-i}{k_2^2 - M^2}\right)^2 \tilde{\Pi}_{\text{Higgs}(i)}^{\mu\nu,ab}(k_2), \qquad (4.59)$$

wobei Higgs(i) für einen der drei Beiträge WH, $H\phi$ und $\phi\phi$ steht, mit den Impulsen

$$k_1 = p + k, \quad k_2 = k, \quad k_3 = \ell, \quad k_4 = k + \ell.$$
 (4.60)

Die Selbstenergie-Einsetzungen $\tilde{\Pi}_{WH}^{\mu\nu,ab}(k_2)$, $\tilde{\Pi}_{H\phi}^{\mu\nu,ab}(k_2)$ und $\tilde{\Pi}_{\phi\phi}^{\mu\nu,ab}(k_2)$ im Eichboson-propagator sind aus den Gleichungen (4.54), (4.55) und (4.56) bekannt. Die Farbfaktoren entsprechen denen der Vertexdiagramme im vorigen Abschnitt, und auch hier gilt die Identität

$$\tilde{\Sigma}_{H\phi} = \tilde{\Sigma}_{\phi\phi} \,. \tag{4.61}$$

Die Beiträge der drei Feynman-Diagramme zum Formfaktor, Σ_{WH} und $\Sigma_{H\phi} = \Sigma_{\phi\phi}$, werden als Linearkombinationen der skalaren Integrale B_{Wc}^0 und B_{Wc}' geschrieben, die bereits von den Selbstenergiediagrammen mit Eichboson- oder Geistschleife in Abschnitt 4.2.2 bekannt sind. Diese Zerlegung ist im Anhang D.2.6 in den Gleichungen (D.23) und (D.24) aufgelistet.

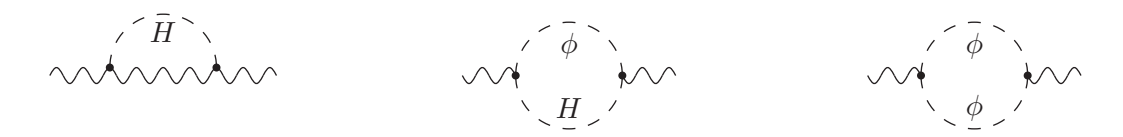
Die Ergebnisse der einzelnen skalaren Integrale wurden in Abschnitt 4.2.2 berechnet und sind im Anhang D.2.4 in Gl. (D.20) angegeben. Die Selbstenergiekorrekturen mit Higgs- und Goldstone-Bosonen lauten:

$$\Sigma_{WH} = \left(\frac{\alpha}{4\pi}\right)^2 \left(\frac{\mu^2}{M^2}\right)^{2\varepsilon} S_{\varepsilon}^2 \left(-\frac{3}{4\varepsilon}\right) + \mathcal{O}(\varepsilon^0), \qquad (4.62)$$

$$\Sigma_{H\phi} = \Sigma_{\phi\phi} = \left(\frac{\alpha}{4\pi}\right)^2 \left(\frac{\mu^2}{M^2}\right)^{2\varepsilon} S_{\varepsilon}^2 \cdot \frac{21}{64\varepsilon} + \mathcal{O}(\varepsilon^0) \,. \tag{4.63}$$

4.4.3 Massenrenormierung mit Higgs- und Goldstone-Bosonen

Zur Renormierung der Eichbosonmasse tragen die drei Selbstenergiediagramme in Abb. 4.14 bei.



W-Higgs-Schleife (WH) Higgs-Goldstone-Schleife ($H\phi$) Goldstone-Schleife ($\phi\phi$)

Abbildung 4.14: Higgs-Beiträge zur Massenrenormierung

Die Amplituden dieser Feynman-Diagramme, $\tilde{\Pi}^{\mu\nu,ab}_{WH}$, $\tilde{\Pi}^{\mu\nu,ab}_{H\phi}$ und $\tilde{\Pi}^{\mu\nu,ab}_{\phi\phi}$, sind bereits als Selbstenergie-Einsetzungen aus den vorigen Abschnitten bekannt, sie sind in den Gleichungen (4.54), (4.55) und (4.56) definiert. Die Farbfaktoren der Diagramme sind

$$\delta^{ab} \; (\text{f\"{u}r} \; W\!H, H\!\phi) \quad \text{und} \quad f^{acd} f^{bcd} = C_A \, \delta^{ab} = 2 \, \delta^{ab} \; (\text{f\"{u}r} \; \phi \phi) \, .$$

Analog zum Abschnitt 4.2.3 werden die skalaren Funktionen $\Pi_{WH}(k^2)$, $\Pi_{H\phi}(k^2)$ und $\Pi_{\phi\phi}(k^2)$ aus den Amplituden extrahiert. Für $k^2=M^2$ lassen sie sich als Linearkombinationen der skalaren Integrale $B_1^M(n_1,n_2)$ aus Gl. (4.42) schreiben:

$$\Pi_{WH}(M^2) = \frac{\alpha}{4\pi} \left(\frac{\mu^2}{M^2}\right)^{\varepsilon} S_{\varepsilon} \left\{ -B_1^M(1,1) \right\}, \tag{4.64}$$

$$\Pi_{H\phi}(M^2) = \Pi_{\phi\phi}(M^2) = \frac{\alpha}{4\pi} \left(\frac{\mu^2}{M^2}\right)^{\varepsilon} S_{\varepsilon} \left\{ -\frac{1}{2(d-1)} B_1^M(1,-1) + \frac{1}{d-1} B_1^M(1,0) + \frac{3}{4(d-1)} B_1^M(1,1) \right\}.$$
(4.65)

Mit den Ergebnissen für die skalaren Integrale $B_1^M(n_1, n_2)$ aus den Gleichungen (4.44) und (4.45) erhält man:

$$\Pi_{WH}(M^2) = \frac{\alpha}{4\pi} \left(\frac{\mu^2}{M^2}\right)^{\varepsilon} S_{\varepsilon} \left(-\frac{1}{\varepsilon} + \frac{\pi}{\sqrt{3}} - 2\right) + \mathcal{O}(\varepsilon), \qquad (4.66)$$

$$\Pi_{H\phi}(M^2) = \Pi_{\phi\phi}(M^2) = \frac{\alpha}{4\pi} \left(\frac{\mu^2}{M^2}\right)^{\varepsilon} S_{\varepsilon} \left(\frac{5}{12\varepsilon} - \frac{\pi}{4\sqrt{3}} + \frac{17}{18}\right) + \mathcal{O}(\varepsilon). \tag{4.67}$$

Durch Einsetzen dieser Selbstenergiebeiträge in die Gleichung (1.81) ergeben sich die Beiträge zum Formfaktor:

$$\Delta F_{WH}^{M} = \left(\frac{\alpha}{4\pi}\right)^{2} \left(\frac{\mu^{2}}{M^{2}}\right)^{2\varepsilon} S_{\varepsilon}^{2} \left\{ \frac{1}{\varepsilon} \left[\frac{3}{2}\mathcal{L} - \frac{9}{4} \right] + \left(-\frac{1}{2}\sqrt{3}\pi + 3 \right) \mathcal{L} \right. \\
\left. + \frac{3}{4}\sqrt{3}\pi + \frac{3}{4}\pi^{2} - \frac{63}{8} \right\} + \mathcal{O}(\varepsilon) + \mathcal{O}\left(\frac{M^{2}}{Q^{2}}\right), \tag{4.68}$$

$$\Delta F_{H\phi}^{M} = \Delta F_{\phi\phi}^{M} = \left(\frac{\alpha}{4\pi}\right)^{2} \left(\frac{\mu^{2}}{M^{2}}\right)^{2\varepsilon} S_{\varepsilon}^{2} \left\{ \frac{1}{\varepsilon} \left[-\frac{5}{8}\mathcal{L} + \frac{15}{16} \right] + \left(\frac{1}{8}\sqrt{3}\pi - \frac{17}{12}\right) \mathcal{L} \right. \\
\left. - \frac{3}{16}\sqrt{3}\pi - \frac{5}{16}\pi^{2} + \frac{113}{32} \right\} + \mathcal{O}(\varepsilon) + \mathcal{O}\left(\frac{M^{2}}{Q^{2}}\right), \tag{4.69}$$

wobei $C_F = 3/4$ gesetzt wurde. Die nichtlogarithmische Konstante in der Ordnung ε^0 wird für die Higgs-Beiträge nicht benötigt.

4.4.4 Zusammenfassung der Higgs-Beiträge

Alle Higgs-Beiträge, die jeweils von derselben Selbstenergie-Einsetzung WH, $H\phi$ oder $\phi\phi$ herrühren, werden nun zusammengefasst:

$$F_{\text{Higgs}(i)} = F_{v,\text{Higgs}(i)} + \Sigma_{\text{Higgs}(i)} + \Delta F_{\text{Higgs}(i)}^{M}. \tag{4.70}$$

Mit den Ergebnissen aus (4.57), (4.58), (4.62), (4.63), (4.68) und (4.69) erhält man:

$$F_{WH} = \left(\frac{\alpha}{4\pi}\right)^{2} \left(\frac{\mu^{2}}{M^{2}}\right)^{2\varepsilon} S_{\varepsilon}^{2} \left(2\sqrt{3}\operatorname{Cl}_{2}\left(\frac{\pi}{3}\right) - \frac{1}{2}\sqrt{3}\pi\right) \mathcal{L}$$

$$+ \mathcal{O}(\varepsilon^{0}\mathcal{L}^{0}) + \mathcal{O}(\varepsilon) + \mathcal{O}\left(\frac{M^{2}}{Q^{2}}\right), \qquad (4.71)$$

$$F_{H\phi} = F_{\phi\phi} = \left(\frac{\alpha}{4\pi}\right)^{2} \left(\frac{\mu^{2}}{M^{2}}\right)^{2\varepsilon} S_{\varepsilon}^{2} \left\{\frac{1}{\varepsilon} \left[\frac{1}{16}\mathcal{L}^{2} - \frac{3}{16}\mathcal{L} + \frac{\pi^{2}}{24} + \frac{7}{32}\right] - \frac{1}{24}\mathcal{L}^{3} + \frac{17}{48}\mathcal{L}^{2}\right\}$$

$$+ \left(-\frac{3}{4}\sqrt{3}\operatorname{Cl}_{2}\left(\frac{\pi}{3}\right) + \frac{1}{8}\sqrt{3}\pi - \frac{39}{32}\right)\mathcal{L}\right\} + \mathcal{O}(\varepsilon^{0}\mathcal{L}^{0}) + \mathcal{O}(\varepsilon) + \mathcal{O}\left(\frac{M^{2}}{Q^{2}}\right). \qquad (4.72)$$

Der Beitrag F_{WH} ist bereits in d=4 Dimensionen endlich. Der ε -Pol der Beiträge $F_{H\phi}=F_{\phi\phi}$ ist proportional zum Einschleifenformfaktor und wird durch die Renormierung der Kopplungskonstante eliminiert. Mit dem n_s -Anteil von β_0 aus (1.27),

eingesetzt in die allgemeine Form (1.80), ergibt sich:

$$\Delta F_{\text{Higgs}}^{\alpha} = \left(\frac{\alpha}{4\pi}\right)^{2} \left(\frac{\mu^{2}}{M^{2}}\right)^{\varepsilon} S_{\varepsilon} \left\{ \frac{1}{\varepsilon} \left[-\frac{1}{8}\mathcal{L}^{2} + \frac{3}{8}\mathcal{L} - \frac{\pi^{2}}{12} - \frac{7}{16} \right] + \frac{1}{24}\mathcal{L}^{3} - \frac{3}{16}\mathcal{L}^{2} \right. \\ \left. + \left(-\frac{\pi^{2}}{24} + 1 \right) \mathcal{L} + \frac{1}{4}\zeta_{3} + \frac{\pi^{2}}{16} - \frac{47}{32} \right\} + \mathcal{O}(\varepsilon) + \mathcal{O}\left(\frac{M^{2}}{Q^{2}}\right), \quad (4.73)$$

mit $C_F = 3/4$, $T_F = 1/2$ und $n_s = 1$, wobei die nichtlogarithmische Konstante in der Ordnung ε^0 hier nicht benötigt wird.

Jetzt können alle Higgs-Beiträge aus (4.71), (4.72) und (4.73) zusammengesetzt werden. In d=4 Dimensionen erhält man das folgende endliche Ergebnis im Hochenergielimes:

$$F_{2,\text{Higgs}} = F_{WH} + F_{H\phi} + F_{\phi\phi} + \Delta F_{\text{Higgs}}^{\alpha}$$

$$= \left(\frac{\alpha}{4\pi}\right)^{2} \left\{ -\frac{1}{24}\mathcal{L}^{3} + \frac{25}{48}\mathcal{L}^{2} - \left(-\frac{1}{2}\sqrt{3}\operatorname{Cl}_{2}\left(\frac{\pi}{3}\right) + \frac{1}{4}\sqrt{3}\pi + \frac{\pi^{2}}{24} + \frac{23}{16}\right)\mathcal{L} + \ln\left(\frac{\mu^{2}}{M^{2}}\right) \left[\frac{1}{8}\mathcal{L}^{2} - \frac{3}{8}\mathcal{L} + \frac{\pi^{2}}{12} + \frac{7}{16}\right] \right\} + \mathcal{O}(\mathcal{L}^{0}). \tag{4.74}$$

Dieses Ergebnis ist genauso wie die C_FC_A -Beiträge nicht separat eichinvariant und darum nur in der Feynman-'t Hooft-Eichung gültig. Es ist zudem auf ein SU(2)-Higgs-Modell beschränkt. Für ein U(1)-Higgs-Modell (in dem das Higgs die Hyperladung 1 hat) ändert sich folgendes: Alle Beiträge werden durch die Anpassung von C_F mit 4/3 multipliziert. Außerdem erhalten die Vertizes zwischen zwei Eichbosonen und dem Higgs-Boson sowie zwischen Eichboson, Higgs- und Goldstone-Boson den Faktor 2. Der Vertex zwischen dem Eichboson und zwei Goldstone-Bosonen verschwindet in einer U(1)-Theorie. Bei der Kopplungskonstantenrenormierung ändert sich neben C_F auch T_F , was zu einem weiteren Faktor 2 führt. Insgesamt müssen die Beiträge wie folgt transformiert werden:

$$F_{WH}^{U(1)} = \frac{16}{3} F_{WH}, \quad F_{H\phi}^{U(1)} = \frac{16}{3} F_{H\phi}, \quad F_{\phi\phi}^{U(1)} = 0, \quad \Delta F_{\text{Higgs}}^{\alpha U(1)} = \frac{8}{3} \Delta F_{\text{Higgs}}^{\alpha}.$$
 (4.75)

Der Beitrag zum U(1)-Formfaktor lautet:

$$F_{2,\text{Higgs}}^{U(1)} = \left(\frac{\alpha}{4\pi}\right)^2 \left\{ -\frac{1}{9}\mathcal{L}^3 + \frac{25}{18}\mathcal{L}^2 - \left(-\frac{20}{\sqrt{3}}\operatorname{Cl}_2\left(\frac{\pi}{3}\right) + 2\sqrt{3}\pi + \frac{\pi^2}{9} + \frac{23}{6}\right)\mathcal{L} + \ln\left(\frac{\mu^2}{M^2}\right) \left[\frac{1}{3}\mathcal{L}^2 - \mathcal{L} + \frac{2}{9}\pi^2 + \frac{7}{6}\right] \right\} + \mathcal{O}(\mathcal{L}^0). \tag{4.76}$$

Sowohl im SU(2)-Ergebnis (4.74) als auch im U(1)-Ergebnis (4.76) stimmen die Koeffizienten der Logarithmen \mathcal{L}^3 und \mathcal{L}^2 mit den Vorhersagen der Evolutionsgleichung in (1.73) überein, wenn man für C_F und T_F jeweils die entsprechenden Werte einsetzt.

Um beurteilen zu können, wie sich eine Änderung im Parameter der Higgs-Masse auf das Ergebnis auswirkt, wurde die Berechnung der Higgs-Beiträge neben der bisherigen Annahme $M_H = M$ auch für den hypothetischen Fall eines masselosen Higgs-Bosons, $M_H = 0$, durchgeführt. Dann wäre der Beitrag zum Formfaktor in einer SU(2)-Theorie der folgende:

$$F_{2,\text{Higgs}}^{M_H=0} = \left(\frac{\alpha}{4\pi}\right)^2 \left\{ -\frac{1}{24}\mathcal{L}^3 + \frac{25}{48}\mathcal{L}^2 - \left(\frac{3}{4}\sqrt{3}\operatorname{Cl}_2\left(\frac{\pi}{3}\right) - \frac{1}{8}\sqrt{3}\pi - \frac{3}{16}\pi^2 + \frac{25}{16}\right)\mathcal{L} + \ln\left(\frac{\mu^2}{M^2}\right) \left[\frac{1}{8}\mathcal{L}^2 - \frac{3}{8}\mathcal{L} + \frac{\pi^2}{12} + \frac{7}{16}\right] \right\} + \mathcal{O}(\mathcal{L}^0). \tag{4.77}$$

Nur der Koeffizient des linearen Logarithmus hat sich mit der Higgs-Masse geändert, die führenden Logarithmen \mathcal{L}^3 und \mathcal{L}^2 sind gleich geblieben. Dies erklärt sich dadurch, dass im Fall $M_H = M$ die Logarithmen zwar von dieser gemeinsamen Masse abhängen. Da das Higgs-Boson und die Goldstone-Bosonen jedoch nur an das Eichboson und nicht an die Fermionen koppeln, entstehen im Limes $M_H \to 0$ keine kollinearen oder weichen Divergenzen, so dass auch die Masse M in den Logarithmen $\ln(Q^2/M^2)$ nicht mit der Higgs-Masse in Verbindung steht. Der Limes $M_H \to 0$ ist also ein stetiger Limes, der nur die Koeffizienten der Logarithmen beeinflusst. Und weil die Koeffizienten der höheren Logarithmenpotenzen nur massenunabhängige Terme aufweisen, ändert sich für $M_H = 0$ lediglich der Beitrag des linearen Logarithmus.

Die numerische Größe dieser Änderung wird im nächsten Abschnitt diskutiert, wenn die Higgs-Beiträge mit den zu C_FC_A proportionalen Beiträgen zum nichtabelschen Anteil des Formfaktors zusammengesetzt werden.

4.5 Zusammenfassung der nichtabelschen Beiträge

Im Folgenden wird der Formfaktor nur noch für eine an der Skala $\mu=M$ renormierte Kopplung α betrachtet, wie es auch für die Analyse der Evolutionsgleichung in Abschnitt 1.5 geschehen ist. Die Renormierungsgruppenabhängigkeit des Formfaktors kann leicht mittels des Einschleifenergebnisses (1.79) und β_0 (1.27) wieder eingeführt werden.

Die Beiträge proportional zu C_FC_A (4.51) und die Higgs-Beiträge (4.74) addieren sich zum eichinvarianten nichtabelschen Anteil des Formfaktors:

$$F_{2,C_FC_A + \text{Higgs}} = F_{2,C_FC_A} + F_{2,\text{Higgs}}$$

$$= \left(\frac{\alpha}{4\pi}\right)^2 \left\{ \frac{43}{24} \mathcal{L}^3 - \left(-\frac{\pi^2}{2} + \frac{907}{48}\right) \mathcal{L}^2 + \left(\frac{13}{2}\sqrt{3}\operatorname{Cl}_2\left(\frac{\pi}{3}\right) + \frac{15}{4}\sqrt{3}\pi - 44\zeta_3 + \frac{43}{24}\pi^2 + \frac{749}{16}\right) \mathcal{L} \right\} + \mathcal{O}(\mathcal{L}^0),$$
(4.78)

mit $\mathcal{L} = \ln(Q^2/M^2)$ sowie $C_F = 3/4$ und $C_A = 2$ für das SU(2)-Higgs-Modell.

Die Übereinstimmung der führenden Logarithmen \mathcal{L}^3 und \mathcal{L}^2 mit der Vorhersage der Evolutionsgleichung (1.73) wurde bereits festgestellt. Der Koeffizient des linearen Logarithmus ist ein neues Ergebnis. Aus ihm kann im Vergleich mit Gl. (1.65) der nichtabelsche Anteil des Koeffizienten $\xi^{(2)}$ bestimmt werden, da alle anderen Terme im Koeffizienten des linearen Logarithmus bereits aus (1.67), (1.69) und (1.72) bekannt sind:

$$\xi^{(2)}\Big|_{C_FC_A + \text{Higgs}} = \frac{13}{2}\sqrt{3}\operatorname{Cl}_2\left(\frac{\pi}{3}\right) + \frac{15}{4}\sqrt{3}\pi - 5\zeta_3 - \frac{391}{18}.$$
 (4.79)

Damit sind die anomalen Dimensionen γ , ζ und ξ aus der Evolutionsgleichung (1.60) für den Formfaktor bis in Zweischleifennäherung vollständig bekannt.

Die Koeffizienten der Logarithmen im Ergebnis (4.78) haben die folgenden numerischen Werte:

$$F_{2,C_FC_A + \text{Higgs}} = \left(\frac{\alpha}{4\pi}\right)^2 \left(+1,7917\,\mathcal{L}^3 - 13,9610\,\mathcal{L}^2 + 43,4368\,\mathcal{L}\right) + \mathcal{O}(\mathcal{L}^0) \,. \tag{4.80}$$

Auch im nichtabelschen Anteil des Formfaktors gilt, dass die Koeffizienten mit alternierendem Vorzeichen vom führenden \mathcal{L}^3 bis hin zum linearen \mathcal{L} ansteigen.

Wie bisher werden zur Größenabschätzung $\alpha/(4\pi)=0,003$ sowie $M=80\,\mathrm{GeV}$ und $Q=1000\,\mathrm{GeV}$ eingesetzt. Die logarithmischen Beiträge werden in Promille angegeben:

$$\mathcal{L}^3 \to +2.0$$
, $\mathcal{L}^2 \to -3.2$, $\mathcal{L}^1 \to +1.97$. (4.81)

Wie man sieht, gibt es durch das wechselnde Vorzeichen auch im nichtabelschen Anteil große Kompensationen zwischen den logarithmischen Termen. Aber ebenso gilt hier, dass der Beitrag des linearen Logarithmus schon wesentlich kleiner als der Beitrag des quadratischen Logarithmus ist, so dass sich die beginnende "Konvergenz" der logarithmischen Reihe abzeichnet.

Zum Vergleich ist im Folgenden das nichtabelsche Ergebnis für verschwindende Higgs-Masse, $M_H = 0$, aus (4.51) und (4.77) angegeben:

$$F_{2,C_FC_A + \text{Higgs}}^{M_H = 0} = F_{2,C_FC_A} + F_{2,\text{Higgs}}^{M_H = 0}$$

$$= \left(\frac{\alpha}{4\pi}\right)^2 \left\{ \frac{43}{24} \mathcal{L}^3 - \left(-\frac{\pi^2}{2} + \frac{907}{48}\right) \mathcal{L}^2 + \left(\frac{21}{4} \sqrt{3} \operatorname{Cl}_2\left(\frac{\pi}{3}\right) + \frac{33}{8} \sqrt{3}\pi - 44\zeta_3 + \frac{97}{48}\pi^2 + \frac{747}{16}\right) \mathcal{L} \right\} + \mathcal{O}(\mathcal{L}^0) .$$

$$(4.82)$$

Nur der Koeffizient des linearen Logarithmus hat jetzt einen anderen numerischen Wert:

$$F_{2,C_FC_A+\text{Higgs}}^{M_H=0} = \left(\frac{\alpha}{4\pi}\right)^2 \left(+1,7917\,\mathcal{L}^3 - 13,9610\,\mathcal{L}^2 + 45,4167\,\mathcal{L}\right) + \mathcal{O}(\mathcal{L}^0)\,. \tag{4.83}$$

Der Beitrag des linearen Logarithmus ändert sich durch die verschwindende Higgs-Masse von 1,97 auf 2,06 Promille. Der Unterschied beträgt also nur vernachlässigbare 0,1 Promille. Dies ist eine Änderung in der Größenordnung der nichtlogarithmischen Konstante, auf deren Berechnung wir verzichtet haben. Durch die Annahme, dass die Higgs-Masse der Eichbosonmasse entspricht, wurde also ein Fehler von vernachlässigbarer Größenordnung gemacht.

Zum Abschluss soll nun der gesamte Zweischleifenformfaktor betrachtet werden, d.h. die Summe aus den fermionischen (2.14), abelschen (3.88) und nichtabelschen Beiträgen (4.78). Es gilt wieder $M_H = M$. Der SU(2)-Zweischleifenformfaktor lautet:

$$F_{2} = F_{2,n_{f}} + F_{2,C_{F}^{2}} + F_{2,C_{F}C_{A} + \text{Higgs}}$$

$$= \left(\frac{\alpha}{4\pi}\right)^{2} \left\{ \frac{9}{32} \mathcal{L}^{4} + \left(\frac{5}{48} - \frac{n_{f}}{6}\right) \mathcal{L}^{3} + \left(\frac{7}{8}\pi^{2} - \frac{691}{48} + \frac{19}{12}n_{f}\right) \mathcal{L}^{2} + \left(\frac{13}{2}\sqrt{3}\operatorname{Cl}_{2}\left(\frac{\pi}{3}\right) + \frac{15}{4}\sqrt{3}\pi - \frac{61}{2}\zeta_{3} - \frac{11}{24}\pi^{2} + \frac{167}{4} - \frac{17}{4}n_{f}\right) \mathcal{L} \right\} + \mathcal{O}(\mathcal{L}^{0}).$$

$$(4.84)$$

Der komplette Zweischleifenformfaktor ist in Abb. 4.15 graphisch als Funktion des Impulsübertrags Q für $n_f = 6$ Fermion-Dubletts (siehe Abschnitt 6.2.2) dargestellt. Dabei sind wieder wie in Abb. 3.10 die sukzessiven logarithmischen Näherungen gezeichnet. Der führende \mathcal{L}^4 approximiert zwar um $Q \sim 1000\,\mathrm{GeV}$ ganz gut das N³LL-Ergebnis des Hochenergielimes. Aber für höhere Impulsüberträge entfernt sich die LL-Näherung wieder davon. Durch die Hinzunahme des nächstführenden kubischen Logarithmus \mathcal{L}^3 wird die Näherung zunächst schlechter. Erst mit dem quadratischen

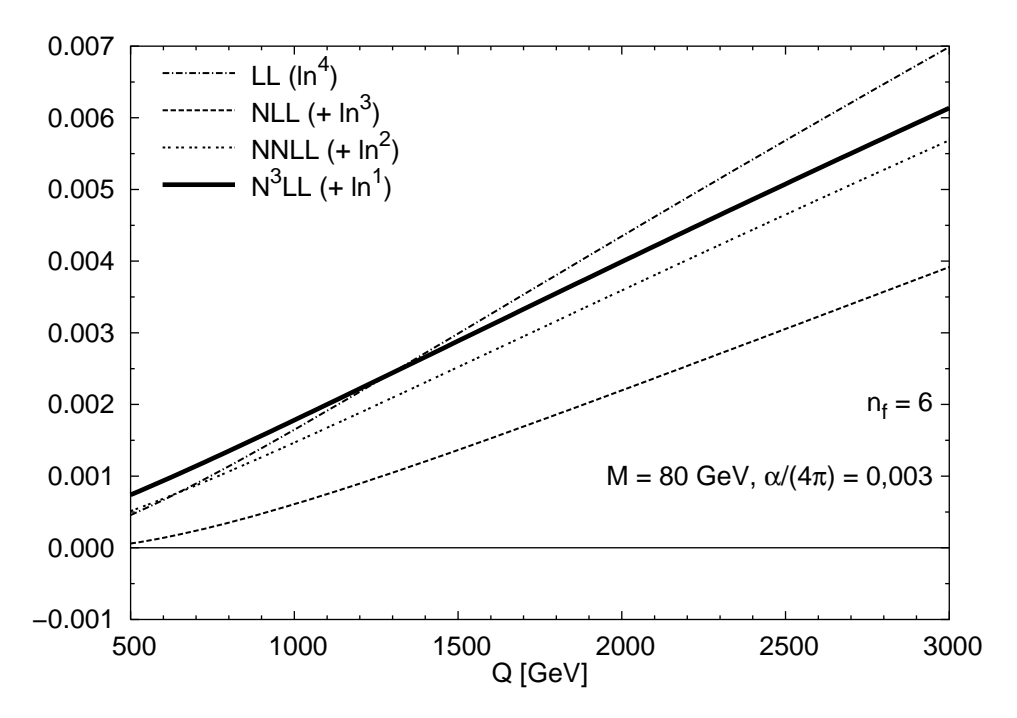


Abbildung 4.15: Kompletter SU(2)-Zweischleifenformfaktor in sukzessiven logarithmischen Näherungen (mit $n_f = 6$ Fermion-Dubletts)

Logarithmus in NNLL-Näherung kommt man dem Ergebnis wieder näher. Und der lineare Logarithmus liefert einen zwar kleinen, aber durchaus noch signifikanten Sprung der Kurve nach oben.

In Abb. 4.16 sind die einzelnen Beiträge zum SU(2)-Zweischleifenformfaktor dargestellt. Der größte Anteil kommt von den abelschen und den nichtabelschen Beiträgen, der fermionische Beitrag spielt nur eine untergeordnete Rolle.

Der in diesem Abschnitt vorgestellte Formfaktor in Zweischleifennäherung wird in Kapitel 6 mit der reduzierten Amplitude aus Abschnitt 1.5 zur Vierfermionamplitude und zu Vorhersagen von elektroschwachen Streuquerschnitten kombiniert.

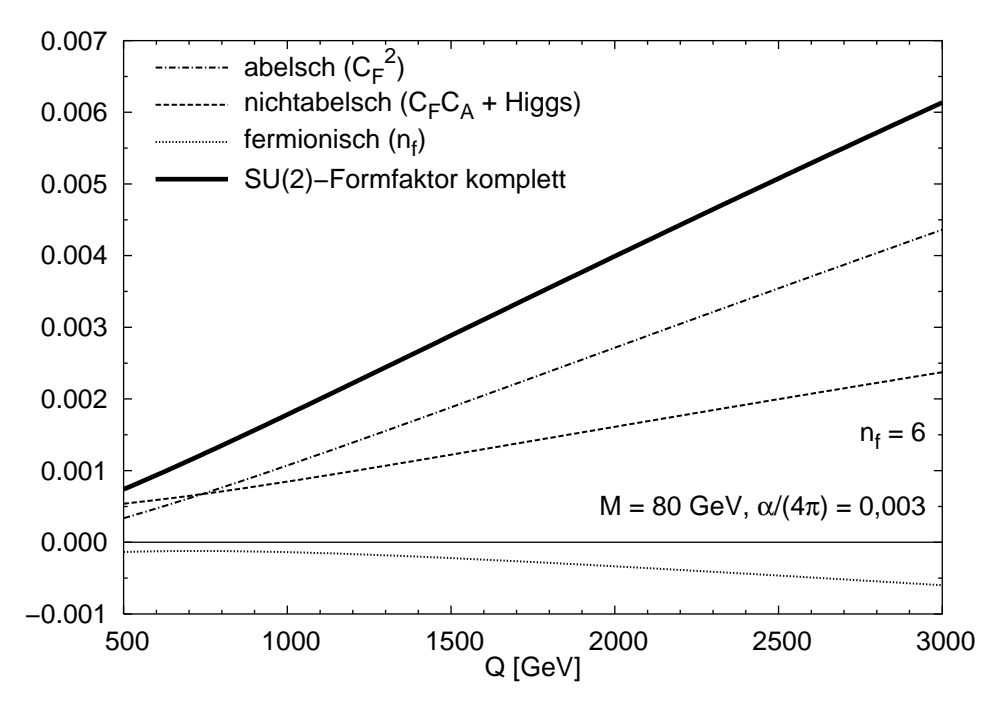


Abbildung 4.16: Beiträge zum SU(2)-Zweischleifenformfaktor (mit $n_f = 6$ Fermion-Dubletts), jeweils in N³LL-Näherung

Kapitel 5

Das $SU(2) \times U(1)$ -Modell mit Massenlücke

Die bisherige Analyse beschränkt sich auf den Fall eines massiven SU(2)-Modells mit spontaner Symmetriebrechung. Dabei wird die zusätzliche Existenz von masselosen U(1)-Eichbosonen (im Standardmodell die Photonen) übergangen. Das vorliegende Kapitel beschäftigt sich mit dem Modell, das eine schwache SU(2)-Wechselwirkung mit einer U(1)-Hyperladungswechselwirkung kombiniert. Dieses Modell wurde in Abschnitt 1.2 beschrieben. Gegenüber dem Standardmodell besitzt das Higgs-Dublett hier die Hyperladung $Y_{\Phi}=0$, so dass lediglich die SU(2)-Eichbosonen massiv werden, welche auch nicht mit den U(1)-Eichbosonen mischen. Letztere bleiben masselos.

Der Einfachkeit halber werden in diesem Kapitel nur Fermionen mit gleicher Hyperladung Y betrachtet, und Y wird in die U(1)-Kopplung α' integriert, um die Hyperladung nicht überall mit angeben zu müssen. Anstelle von α' muss man also $\alpha'(Y/2)^2$ lesen. Die Standardmodell-Fermionen mit unterschiedlichen Hyperladungen entsprechend der Tabelle 1.1 können später leicht wieder berücksichtigt werden.

Die Ergebnisse dieses Kapitels sind in [24] veröffentlicht.

5.1 Faktorisierung der IR-Singularitäten

5.1.1 Der $SU(2) \times U(1)$ -Formfaktor

Der Formfaktor der massiven SU(2)-Wechselwirkung,

$$F_{SU(2)}(Q^2, M^2) = 1 + \frac{\alpha}{4\pi} F_{SU(2)}^{(1)} + \left(\frac{\alpha}{4\pi}\right)^2 F_{SU(2)}^{(2)} + \mathcal{O}(\alpha^3),$$
 (5.1)

ist in der logarithmischen N³LL-Näherung des Hochenergielimes bekannt: $F_{SU(2)}^{(1)}$ ist in Gl. (1.68) angegeben, $\left(\frac{\alpha}{4\pi}\right)^2 F_{SU(2)}^{(2)} \equiv F_2$ findet sich in Gl. (4.84).

Die Strahlungskorrekturen mit dem masselosen U(1)-Eichboson erzeugen IR-Divergenzen, die regularisiert werden müssen. Führt man dazu eine infinitesimale, aber endliche Masse λ für das U(1)-Eichboson ein, dann ist auch der Formfaktor

$$F_{U(1)}(Q^2, \lambda^2) = 1 + \frac{\alpha'}{4\pi} F_{U(1)}^{(1)} + \left(\frac{\alpha'}{4\pi}\right)^2 F_{U(1)}^{(2)} + \mathcal{O}(\alpha'^3)$$
 (5.2)

für die reine U(1)-Wechselwirkung aus dem SU(2)-Ergebnis bekannt: Der U(1)-Formfaktor folgt aus dem SU(2)-Formfaktor durch Ersetzen der Kopplung, $\alpha \to \alpha'$, Ersetzen der Masse, $M \to \lambda$, Einsetzen der U(1)-Werte für $C_F = 1$, $C_A = 0$, $T_F = 1$ entsprechend (1.13) und Weglassen der Higgs-Beiträge, da das U(1)-Eichboson nicht an das Higgs-Dublett koppelt.

Arbeitet man stattdessen mit dem physikalischen Wert $\lambda=0$ und benutzt die dimensionale Regularisierung für die IR-Divergenzen, dann ist der masselose U(1)-Formfaktor in $d=4-2\varepsilon$ Dimensionen durch

$$F_{U(1)}(Q^2, \lambda^2 = 0; \varepsilon) = 1 + \frac{\alpha'}{4\pi} F_{U(1),\varepsilon}^{(1)} + \left(\frac{\alpha'}{4\pi}\right)^2 F_{U(1),\varepsilon}^{(2)} + \mathcal{O}(\alpha'^3)$$
 (5.3)

gegeben mit den Ein- und Zweischleifenbeiträgen aus (1.66) und (1.70) sowie $C_F = 1$, $C_A = 0$, $T_F = 1$ und $n_s = 0$.

Der Formfaktor des kombinierten $SU(2) \times U(1)$ -Modells hat in Zweischleifennäherung die Struktur

$$\hat{F}(Q^2, M^2, \lambda^2) = 1 + \frac{\alpha}{4\pi} F_{SU(2)}^{(1)} + \frac{\alpha'}{4\pi} F_{U(1)}^{(1)} + \left(\frac{\alpha}{4\pi}\right)^2 F_{SU(2)}^{(2)} + \left(\frac{\alpha'}{4\pi}\right)^2 F_{U(1)}^{(2)} + \frac{\alpha\alpha'}{(4\pi)^2} F_{\text{int}}^{(2)} + \mathcal{O}(\{\alpha, \alpha'\}^3), \quad (5.4)$$

wobei $\hat{F}(Q^2, M^2, \lambda^2)$ Korrekturen von beiden Eichgruppen erhält und nur der Interferenzterm $F_{\rm int}^{(2)}$ mit Strahlungskorrekturen von je einem SU(2)- und U(1)-Boson bisher unbekannt ist.

Für die dimensionsbehafteten Parameter des $SU(2) \times U(1)$ -Modells gilt

$$\lambda \ll M \ll Q. \tag{5.5}$$

Deshalb kann die Abhängigkeit des kombinierten Formfaktors $\hat{F}(Q^2, M^2, \lambda^2)$ von der infinitesimalen Masse λ durch eine infrarote Evolutionsgleichung [5] beschrieben werden. Die IR-Divergenzen des Formfaktors im Limes $\lambda \to 0$ werden nach dem

Theorem von Kinoshita, Lee und Nauenberg [40, 41] von den IR-Divergenzen in den Korrekturen reell abgestrahlter U(1)-Bosonen kompensiert. Letztere werden von masselosen U(1)-Bosonen verursacht, die mit verschwindender Energie oder kollinear zu einem der externen Fermionen abgestrahlt werden; sie werden von der Präsenz der zusätzlichen SU(2)-Wechselwirkung nicht beeinflusst. Deshalb ist auch das singuläre Verhalten des kombinierten $SU(2) \times U(1)$ -Formfaktors gleich dem des reinen U(1)-Formfaktors und kann als separater Faktor in $\hat{F}(Q^2, M^2, \lambda^2)$ geschrieben werden. Der Einfachkeit halber werden nicht nur die IR-Divergenzen, sondern der ganze U(1)-Formfaktor $F_{U(1)}(Q^2, \lambda^2)$ vom kombinierten Formfaktor abgespalten. Die Lösung der infraroten Evolutionsgleichung lässt sich in der folgenden faktorisierten Form schreiben:

$$\hat{F}(Q^2, M^2, \lambda^2) = F_{U(1)}(Q^2, \lambda^2) \cdot \tilde{F}(Q^2, M^2) + \mathcal{O}\left(\frac{\lambda^2}{M^2}\right). \tag{5.6}$$

Alle IR-Divergenzen sind im ersten Faktor $F_{U(1)}(Q^2, \lambda^2)$ enthalten. Der zweite Faktor $\tilde{F}(Q^2, M^2)$ ist IR-konvergent und hängt somit nur noch von M^2 , nicht mehr von λ^2 ab. Die Faktorisierung (5.6) ist für $\lambda \ll M \ll Q$ gültig, dabei werden Terme der Ordnung λ^2/M^2 vernachlässigt.

Die IR-konvergente Funktion $\tilde{F}(Q^2, M^2)$ kann aus dem Quotienten der beiden IR-singulären Formfaktoren bestimmt werden:

$$\tilde{F}(Q^2, M^2) = \lim_{\lambda \to 0} \frac{\hat{F}(Q^2, M^2, \lambda^2)}{F_{U(1)}(Q^2, \lambda^2)}.$$
(5.7)

Weil die Funktion $\tilde{F}(Q^2, M^2)$ als IR-konvergente Größe nicht von der Art der Regularisierung der IR-Divergenzen abhängt, kann Gl. (5.7) auch in dimensionaler Regularisierung mit $\lambda = 0$ und $\varepsilon \neq 0$ geschrieben werden:

$$\tilde{F}(Q^2, M^2) = \lim_{\varepsilon \to 0} \frac{\hat{F}(Q^2, M^2, \lambda^2 = 0; \varepsilon)}{F_{U(1)}(Q^2, \lambda^2 = 0; \varepsilon)}.$$
(5.8)

Dabei ist

$$\hat{F}(Q^2, M^2, \lambda^2 = 0; \varepsilon) = 1 + \frac{\alpha}{4\pi} F_{SU(2)}^{(1)} + \frac{\alpha'}{4\pi} F_{U(1),\varepsilon}^{(1)} + \left(\frac{\alpha}{4\pi}\right)^2 F_{SU(2)}^{(2)} + \left(\frac{\alpha'}{4\pi}\right)^2 F_{U(1),\varepsilon}^{(2)} + \frac{\alpha\alpha'}{(4\pi)^2} F_{\text{int},\varepsilon}^{(2)} + \mathcal{O}(\{\alpha, \alpha'\}^3)$$
 (5.9)

der $SU(2) \times U(1)$ -Formfaktor für $\lambda = 0$ in dimensionaler Regularisierung. Analog zu (5.4) ist er in Zweischleifennäherung bekannt, mit Ausnahme des Interferenzterms $F_{\mathrm{int},\varepsilon}^{(2)}$, dessen Berechnung im folgenden Abschnitt vorgestellt wird. Der Vorteil der dimensionalen Regularisierung für die IR-Divergenzen besteht darin, im Folgenden nicht Zweischleifendiagramme mit Eichbosonen zweier verschiedener, endlicher Massen M und λ ausrechnen zu müssen. Stattdessen sind nur Diagramme mit einer endlichen Eichbosonmasse erforderlich.

5.1.2 Strahlungskorrekturen mit massiven und masselosen Eichbosonen

Zur Berechnung des Interferenzbeitrags $F_{\text{int},\varepsilon}^{(2)}$ aus Gl. (5.9) mit dimensionaler Regularisierung der IR-Divergenzen werden Zweischleifendiagramme mit einem massiven SU(2)-Eichboson und einem masselosen U(1)-Eichboson benötigt. Das U(1)-Boson koppelt weder ans Higgs-Boson oder an die Goldstone-Bosonen noch an die SU(2)-Eichbosonen, da keine Mischung der beiden Eichgruppen vorliegt. Ein Übergang zwischen den Eichbosonen beider Gruppen über eine Fermionschleife findet ebenfalls nicht statt, da die Spur eines einzigen SU(2)-Generators verschwindet. Deshalb müssen hier nur die abelschen Beiträge aus Kapitel 3 berücksichtigt werden. Dabei wird jeweils eines der beiden SU(2)-Eichbosonen durch ein U(1)-Eichboson ersetzt.

Die Berechnung der Schleifendiagramme erfolgt analog zu Kapitel 3. Die mathematische Komplexität ist geringer als für den rein massiven Formfaktor, da in allen Diagrammen jetzt nur ein einziger massiver Propagator vorhanden ist.

Im Rahmen der Expansion by Regions fallen manche Regionen, die im SU(2)-Formfaktor Beiträge geliefert haben, ganz heraus. Andere Beiträge werden einfacher, z.B. durch weniger Mellin-Barnes-Integrale. Der Beitrag der harten (h-h)-Region entspricht in allen Diagrammen dem jeweiligen Ergebnis aus Kapitel 3, da das masselose Diagramm nicht davon abhängt, wieviele Massen ursprünglich vorhanden waren.

Alle Diagramme mit einem SU(2)- und einem U(1)-Eichboson besitzen den Farbfaktor

$$t^a t^a = C_F \mathbf{1} = \frac{3}{4} \mathbf{1}.$$

Die Rechnungen werden hier nicht im Detail aufgeführt, nur die Beiträge der einzelnen Feynman-Diagramme werden angegeben.

Planares Vertexdiagramm

Wenn im planaren Vertexdiagramm (vgl. Abschnitt 3.1.1) der Propagator 5 massiv und der Propagator 6 masselos ist, sind die gleichen Regionen relevant wie im rein massiven Fall. Allerdings sind die Regionen (1c-1c) und (2c-2c) durch ein einfaches statt zweifaches Mellin-Barnes-Integral gegeben. Der Beitrag des Feynman-Diagramms lautet:

$$F_{v,\text{LAM5}} = C_F \frac{\alpha \alpha'}{(4\pi)^2} \left(\frac{\mu^2}{M^2}\right)^{2\varepsilon} S_{\varepsilon}^2 \left\{ \frac{1}{2\varepsilon^2} + \frac{1}{\varepsilon} \left[-\mathcal{L}^2 + 3\mathcal{L} - \frac{2}{3}\pi^2 - \frac{11}{4} \right] + \frac{1}{6}\mathcal{L}^4 + \left(\frac{2}{3}\pi^2 - 1 \right) \mathcal{L}^2 + \left(-24\zeta_3 - \pi^2 + \frac{11}{2} \right) \mathcal{L} \right\}$$

$$+\frac{13}{45}\pi^4 + 46\zeta_3 + \frac{13}{12}\pi^2 - \frac{41}{8} + \mathcal{O}(\varepsilon) + \mathcal{O}\left(\frac{M^2}{Q^2}\right), \tag{5.10}$$

mit $\mathcal{L} = \ln(Q^2/M^2)$ und $S_{\varepsilon} = (4\pi)^{\varepsilon} e^{-\varepsilon \gamma_E}$.

Beim planaren Vertexdiagramm mit massivem Propagator 6 und masselosem Propagator 5 fallen die Regionen (1c-h) und (2c-h) weg. Nur die Regionen (h-h), (1c-1c) und (2c-2c) tragen noch zum Ergebnis bei:

$$F_{v,\text{LAM6}} = C_F \frac{\alpha \alpha'}{(4\pi)^2} \left(\frac{\mu^2}{M^2}\right)^{2\varepsilon} S_{\varepsilon}^2 \left\{ -\frac{2}{\varepsilon^3} + \frac{1}{\varepsilon^2} \left[2\mathcal{L}^2 - 4\mathcal{L} + \frac{4}{3}\pi^2 + \frac{9}{2} \right] \right.$$

$$\left. + \frac{1}{\varepsilon} \left[-\frac{4}{3}\mathcal{L}^3 + 4\mathcal{L}^2 + \left(\frac{2}{3}\pi^2 - 17\right)\mathcal{L} + 12\zeta_3 - \frac{7}{3}\pi^2 + \frac{85}{4} \right] \right.$$

$$\left. + \frac{2}{3}\mathcal{L}^4 - \frac{8}{3}\mathcal{L}^3 + \left(\frac{\pi^2}{3} + 17\right)\mathcal{L}^2 + \left(-36\zeta_3 + \frac{2}{3}\pi^2 - \frac{101}{2} \right)\mathcal{L} \right.$$

$$\left. + \frac{107}{90}\pi^4 + \frac{184}{3}\zeta_3 - \frac{59}{12}\pi^2 + \frac{599}{8} \right\} + \mathcal{O}(\varepsilon) + \mathcal{O}\left(\frac{M^2}{Q^2}\right). \tag{5.11}$$

Dieses Diagramm ist IR-singulär, daher kommt der ε^{-3} -Pol.

Nichtplanares Vertexdiagramm

Das nichtplanare Vertexdiagramm aus dem Abschnitt 3.1.2 ist symmetrisch unter einer horizontalen Spiegelung, siehe Gl. (3.18). Deshalb sind die beiden Beiträge mit nur einer Eichbosonmasse gleich. Im Fall, wenn der Propagator 5 massiv und der Propagator 6 masselos ist, fallen die Regionen (h-2c), (1c-2c), (2c'-2c), (us'-us'), (1c-us') und (us'-2c) weg; nur die Regionen (h-h), (1c-h), (1c-1c), (2c-2c) und (1c-1c') sind noch relevant.

$$F_{v,\text{NPM5}} = F_{v,\text{NPM6}}$$

$$= C_F \frac{\alpha \alpha'}{(4\pi)^2} \left(\frac{\mu^2}{M^2}\right)^{2\varepsilon} S_{\varepsilon}^2 \left\{ \frac{1}{\varepsilon} \left[-\frac{2}{3} \mathcal{L}^3 + 4\mathcal{L}^2 - 12\mathcal{L} - 12\zeta_3 + \pi^2 + 14 \right] + \frac{1}{2} \mathcal{L}^4 - 4\mathcal{L}^3 + \left(-\frac{5}{3} \pi^2 + 22 \right) \mathcal{L}^2 + \left(56\zeta_3 + \frac{11}{3} \pi^2 - 68 \right) \mathcal{L} - \frac{67}{90} \pi^4 - 90\zeta_3 - 4\pi^2 + 96 \right\} + \mathcal{O}(\varepsilon) + \mathcal{O}\left(\frac{M^2}{Q^2}\right).$$
(5.12)

Vertexdiagramm mit Benz-Topologie

Wenn im abelschen Vertexdiagramm mit Benz-Topologie aus dem Abschnitt 3.1.3 der Propagator 3 massiv und der Propagator 4 masselos ist, sind nur noch die Regionen (h-h), (1c-h) und (1c-1c) relevant, die Regionen (h-2c), (us-2c), (2c-2c) und (1c-2c) fallen weg.

$$F_{v,\text{BE}M3} = C_F \frac{\alpha \alpha'}{(4\pi)^2} \left(\frac{\mu^2}{M^2}\right)^{2\varepsilon} S_{\varepsilon}^2 \left\{ -\frac{2}{\varepsilon^3} + \frac{1}{\varepsilon^2} \left[2\mathcal{L} - \frac{5}{2} \right] \right. \\ + \frac{1}{\varepsilon} \left[-2\mathcal{L}^2 + 7\mathcal{L} - \frac{\pi^2}{3} - \frac{53}{4} \right] + \frac{4}{3}\mathcal{L}^3 + \left(\frac{\pi^2}{3} - 9\right) \mathcal{L}^2 \\ + \left(8\zeta_3 - \frac{7}{3}\pi^2 + \frac{73}{2} \right) \mathcal{L} + \frac{11}{45}\pi^4 - \frac{32}{3}\zeta_3 + \frac{17}{4}\pi^2 - \frac{479}{8} \right\} \\ + \mathcal{O}(\varepsilon) + \mathcal{O}\left(\frac{M^2}{Q^2}\right). \tag{5.13}$$

Im anderen Fall, wenn der Propagator 4 massiv und der Propagator 3 masselos ist, sind die Regionen (h-h), (h-2c), (1c-1c) und (2c-2c) relevant, die Regionen (1c-h), (us-2c) und (1c-2c) fallen dann weg.

$$F_{v,\text{BE}M4} = C_F \frac{\alpha \alpha'}{(4\pi)^2} \left(\frac{\mu^2}{M^2}\right)^{2\varepsilon} S_{\varepsilon}^2 \left\{ \frac{1}{2\varepsilon^2} + \frac{1}{\varepsilon} \left[-\mathcal{L}^2 + \left(-\frac{2}{3}\pi^2 + 7 \right) \mathcal{L} + 4\zeta_3 + \frac{\pi^2}{3} - \frac{53}{4} \right] + \mathcal{L}^3 + \left(\frac{2}{3}\pi^2 - 9 \right) \mathcal{L}^2 + \left(-4\zeta_3 - 3\pi^2 + \frac{89}{2} \right) \mathcal{L} - \frac{13}{90}\pi^4 + 16\zeta_3 + \frac{79}{12}\pi^2 - \frac{655}{8} \right\} + \mathcal{O}(\varepsilon) + \mathcal{O}\left(\frac{M^2}{Q^2}\right).$$
 (5.14)

Vertexdiagramm mit Fermion-Selbstenergie

Wenn im Vertexdiagramm mit Fermion-Selbstenergie aus dem Abschnitt 3.1.4 der Propagator 3 massiv und der Propagator 5 masselos ist, tragen die gleichen Regionen wie im rein massiven Fall bei. Allerdings sind die Regionen (h-s) und (1c'-s) nicht

nur unterdrückt, sondern gar nicht vorhanden.

$$F_{v,\text{fc}M3} = C_F \frac{\alpha \alpha'}{(4\pi)^2} \left(\frac{\mu^2}{M^2}\right)^{2\varepsilon} S_{\varepsilon}^2 \left\{ -\frac{1}{2\varepsilon^2} + \frac{1}{\varepsilon} \left[\mathcal{L}^2 - 3\mathcal{L} + \frac{2}{3}\pi^2 + \frac{13}{4} \right] - \mathcal{L}^3 + 5\mathcal{L}^2 - \frac{33}{2}\mathcal{L} - 4\zeta_3 + \frac{\pi^2}{12} + \frac{163}{8} \right\} + \mathcal{O}(\varepsilon) + \mathcal{O}\left(\frac{M^2}{Q^2}\right).$$
 (5.15)

Wenn der Propagator 5 massiv und der Propagator 3 masselos ist, sind nur die Regionen (h-h), (2c-2c) und (h-s) vorhanden, wobei letztere unterdrückt ist. Die Regionen (1c'-h) und (1c'-s) fallen weg.

$$F_{v,\text{fc}M5} = C_F \frac{\alpha \alpha'}{(4\pi)^2} \left(\frac{\mu^2}{M^2}\right)^{2\varepsilon} S_{\varepsilon}^2 \left\{ \frac{2}{\varepsilon^3} + \frac{1}{\varepsilon^2} \left[-2\mathcal{L} + \frac{5}{2} \right] + \frac{1}{\varepsilon} \left[2\mathcal{L}^2 - 7\mathcal{L} + \frac{\pi^2}{3} + \frac{53}{4} \right] - \frac{4}{3}\mathcal{L}^3 + 7\mathcal{L}^2 + \left(\frac{\pi^2}{3} - \frac{53}{2}\right)\mathcal{L} - \frac{40}{3}\zeta_3 - \frac{13}{12}\pi^2 + \frac{355}{8} \right\} + \mathcal{O}(\varepsilon) + \mathcal{O}\left(\frac{M^2}{Q^2}\right).$$
 (5.16)

Selbstenergiekorrektur mit T1-Topologie

Die beiden Selbstenergiediagramme mit T1-Topologie aus dem Abschnitt 3.2.1, im ersten Fall mit massivem Propagator 2 und masselosem Propagator 3, im zweiten Fall umgekehrt, liefern aufgrund der Symmetrie (3.68) den gleichen Beitrag.

$$\Sigma_{\text{T1}M2} = \Sigma_{\text{T1}M3} = C_F \frac{\alpha \alpha'}{(4\pi)^2} \left(\frac{\mu^2}{M^2}\right)^{2\varepsilon} S_{\varepsilon}^2 \left(\frac{1}{2\varepsilon} - \frac{3}{4}\right) + \mathcal{O}(\varepsilon).$$
 (5.17)

Selbstenergiekorrektur mit T2-Topologie

Wenn im Selbstenergiediagramm mit T2-Topologie aus dem Abschnitt 3.2.2 der Propagator 2 massiv und der Propagator 4 masselos ist, dann gilt:

$$\Sigma_{\text{T2M2}} = C_F \frac{\alpha \alpha'}{(4\pi)^2} \left(\frac{\mu^2}{M^2}\right)^{2\varepsilon} S_{\varepsilon}^2 \left(\frac{1}{2\varepsilon^2} - \frac{1}{4\varepsilon} + \frac{\pi^2}{4} - \frac{1}{8}\right) + \mathcal{O}(\varepsilon). \tag{5.18}$$

Im anderen Fall, mit massivem Propagator 4 und masselosem Propagator 2, gilt:

$$\Sigma_{\text{T2M4}} = C_F \frac{\alpha \alpha'}{(4\pi)^2} \left(\frac{\mu^2}{M^2}\right)^{2\varepsilon} S_{\varepsilon}^2 \left(-\frac{1}{2\varepsilon^2} + \frac{3}{4\varepsilon} - \frac{\pi^2}{4} - \frac{1}{8}\right) + \mathcal{O}(\varepsilon). \tag{5.19}$$

Sonstige Beiträge mit Selbstenergiekorrekturen

Das Produkt aus Einschleifendiagrammen aus dem Abschnitt 3.2.3 (Abb. 3.9) taucht im $SU(2) \times U(1)$ -Interferenzterm nicht auf, da immer eine der beiden Einschleifenkorrekturen verschwindet, wenn die entsprechende Eichbosonmasse zu Null gesetzt wird und somit skalenlose Integrale entstehen.

Der letzte fehlende Beitrag ist das Produkt aus dem masselosen U(1)-Einschleifenvertexdiagramm $F_{v,1}^{M=0} = \frac{\alpha'}{4\pi} F_{M=0}^{(1)}$ in Gl. (1.66) mit der massiven SU(2)-Einschleifenselbstenergie Σ_1 in Gl. (1.78). Da $F_{v,1}^{M=0}$ einen ε^{-2} -Pol enthält, wird Σ_1 bis zur Ordnung ε^2 benötigt. Andererseits enthält Σ_1 nur einen ε^{-1} -Pol, so dass bei $F_{v,1}^{M=0}$ die lineare Ordnung in ε genügt. Dieser Beitrag lautet:

$$F_{v,1}^{M=0} \cdot \Sigma_1 = C_F \frac{\alpha \alpha'}{(4\pi)^2} \left(\frac{\mu^2}{M^2}\right)^{2\varepsilon} S_{\varepsilon}^2 \left\{ \frac{2}{\varepsilon^3} + \frac{1}{\varepsilon^2} \left[-2\mathcal{L} + 2 \right] + \frac{1}{\varepsilon} \left[\mathcal{L}^2 - 2\mathcal{L} + 6 \right] \right.$$
$$\left. - \frac{1}{3} \mathcal{L}^3 + \mathcal{L}^2 - 6\mathcal{L} - \frac{16}{3} \zeta_3 + 11 \right\} + \mathcal{O}(\varepsilon) + \mathcal{O}\left(\frac{M^2}{Q^2}\right). \tag{5.20}$$

Zusammenfassung der Strahlungskorrekturen

Der in Gl. (5.9) eingeführte Interferenzterm $F_{\text{int},\varepsilon}^{(2)}$, der Strahlungskorrekturen von je einem SU(2)- und U(1)-Eichboson beinhaltet, lässt sich nun vollständig angeben:

$$\frac{\alpha \alpha'}{(4\pi)^2} F_{\text{int},\varepsilon}^{(2)} = F_{v,\text{LAM5}} + F_{v,\text{LAM6}} + F_{v,\text{NPM5}} + F_{v,\text{NPM6}} + 2 F_{v,\text{BEM3}} + 2 F_{v,\text{BEM4}} + 2 F_{v,\text{fcM3}} + 2 F_{v,\text{fcM5}} + \Sigma_{\text{T1M2}} + \Sigma_{\text{T1M3}} + \Sigma_{\text{T2M2}} + \Sigma_{\text{T2M4}} + F_{v,1}^{M=0} \cdot \Sigma_{1},$$
(5.21)

mit

$$F_{\text{int},\varepsilon}^{(2)} = C_F \left(\frac{\mu^2}{M^2}\right)^{2\varepsilon} S_{\varepsilon}^2 \left\{ \frac{1}{\varepsilon^2} \left[2\mathcal{L}^2 - 6\mathcal{L} + \frac{4}{3}\pi^2 + 7 \right] \right. \\ \left. + \frac{1}{\varepsilon} \left[-\frac{8}{3}\mathcal{L}^3 + 12\mathcal{L}^2 + \left(-\frac{2}{3}\pi^2 - 32 \right) \mathcal{L} - 4\zeta_3 + \pi^2 + 34 \right] \right. \\ \left. + \frac{11}{6}\mathcal{L}^4 - 11\mathcal{L}^3 + \left(-\frac{\pi^2}{3} + 49 \right) \mathcal{L}^2 + \left(60\zeta_3 - 3\pi^2 - 111 \right) \mathcal{L} \right. \\ \left. + \frac{17}{90}\pi^4 - 102\zeta_3 + \frac{47}{6}\pi^2 + 117 \right\} + \mathcal{O}(\varepsilon) + \mathcal{O}\left(\frac{M^2}{Q^2}\right).$$
 (5.22)

Damit ist der Formfaktor $\hat{F}(Q^2, M^2, \lambda^2 = 0; \varepsilon)$ des kombinierten $SU(2) \times U(1)$ -Modells in dimensionaler Regularisierung bis in Zweischleifennäherung bekannt.

5.1.3 Auswertung der Faktorisierung

Den endlichen Faktor $\tilde{F}(Q^2, M^2)$ der Faktorisierung erhält man aus Gl. (5.8), indem man für $\hat{F}(Q^2, M^2, \lambda^2 = 0; \varepsilon)$ (5.9) und $F_{U(1)}(Q^2, \lambda^2 = 0; \varepsilon)$ (5.3) die Entwicklung in der jeweiligen Kopplungskonstanten einsetzt:

$$\tilde{F}(Q^{2}, M^{2}) = \lim_{\varepsilon \to 0} \frac{\hat{F}(Q^{2}, M^{2}, \lambda^{2} = 0; \varepsilon)}{F_{U(1)}(Q^{2}, \lambda^{2} = 0; \varepsilon)}$$

$$= \lim_{\varepsilon \to 0} \left\{ 1 + \frac{\alpha}{4\pi} F_{SU(2)}^{(1)} + \left(\frac{\alpha}{4\pi}\right)^{2} F_{SU(2)}^{(2)} + \frac{\alpha \alpha'}{(4\pi)^{2}} \left[F_{\text{int},\varepsilon}^{(2)} - F_{SU(2)}^{(1)} \cdot F_{U(1),\varepsilon}^{(1)} \right] \right\} + \mathcal{O}(\{\alpha, \alpha'\}^{3})$$

$$= F_{SU(2)}(Q^{2}, M^{2}) \cdot \left\{ 1 + \frac{\alpha \alpha'}{(4\pi)^{2}} \lim_{\varepsilon \to 0} \left[F_{\text{int},\varepsilon}^{(2)} - F_{SU(2)}^{(1)} \cdot F_{U(1),\varepsilon}^{(1)} \right] \right\}$$

$$+ \mathcal{O}(\{\alpha, \alpha'\}^{3}). \tag{5.23}$$

Durch Einsetzen des Ergebnisses (5.22) sowie des massiven Einschleifenformfaktors (1.79) bis $\mathcal{O}(\varepsilon^2)$ und des masselosen Einschleifenformfaktors (1.66) ergibt sich:

$$\frac{\tilde{F}(Q^2, M^2)}{F_{SU(2)}(Q^2, M^2)} = 1 + \frac{\alpha \alpha'}{(4\pi)^2} C_F \left[\left(48\zeta_3 - 4\pi^2 + 3 \right) \mathcal{L} + \frac{7}{45} \pi^4 - 84\zeta_3 + \frac{20}{3} \pi^2 - 2 \right] + \mathcal{O}(\{\alpha, \alpha'\}^3).$$
(5.24)

Dieses Ergebnis ist im Limes $\varepsilon \to 0$ endlich, dadurch ist die in Gl. (5.6) behauptete Faktorisierung explizit gezeigt. Außerdem enthält die rechte Seite von Gl. (5.24) nur einen linearen Logarithmus, keine höheren Logarithmenpotenzen. In NNLL-Näherung gilt folglich sogar die naive Faktorisierung

$$\hat{F}(Q^2, M^2, \lambda^2) \stackrel{\text{NNLL}}{\sim} F_{U(1)}(Q^2, \lambda^2) \cdot F_{SU(2)}(Q^2, M^2) + \mathcal{O}(\alpha \alpha' \mathcal{L}^1) + \mathcal{O}(\{\alpha, \alpha'\}^3) + \mathcal{O}\left(\frac{\lambda^2}{M^2}\right).$$
 (5.25)

Die nichtlogarithmische Konstante auf der rechten Seite von (5.24) wird nicht benötigt, da der SU(2)-Formfaktor in der Zweischleifenordnung auch nur in N³LL-Näherung bekannt ist.

Die Faktorisierung

$$\hat{F}(Q^2, M^2, \lambda^2; \varepsilon) = F_{U(1)}(Q^2, \lambda^2; \varepsilon) \cdot \tilde{F}(Q^2, M^2) + \mathcal{O}\left(\frac{\lambda^2}{M^2}\right)$$
 (5.26)

gilt unabhängig davon, ob die IR-Divergenzen mit der infinitesimalen Eichbosonmasse λ oder dimensional mit ε regularisiert werden. Sie erlaubt die Wahl der IR-Regularisierung unabhängig von den Korrekturen zu $\tilde{F}(Q^2, M^2)$.

5.2 Das $SU(2) \times U(1)$ -Modell mit gleichen Massen

Für den Formfaktor war es vergleichsweise einfach, die Strahlungskorrekturen mit massiven *und* masselosen Eichbosonen explizit auszurechnen. Dies würde sich für die Vierfermionamplitude schwieriger gestalten, da hier die Zweischleifenergebnisse mittels der Evolutionsgleichung (1.47) berechnet werden.

Es ist jedoch leicht möglich, die SU(2)-Ergebnisse auf ein $SU(2) \times U(1)$ -Modell mit gleichen Massen $M=\lambda$ zu erweitern. Für den Zweischleifenformfaktor muss dazu in allen abelschen Beiträgen

$$\alpha^2 C_F^2 \to \left(\alpha C_F + \alpha'\right)^2$$
 (5.27)

ersetzt werden. In den fermionischen Beiträgen gilt:

$$\alpha^2 C_F T_F n_f \to \alpha^2 C_F T_F n_f + {\alpha'}^2 n_f. \tag{5.28}$$

An den nichtabelschen Anteilen und den Higgs-Beiträgen des SU(2)-Formfaktors ändert sich nichts durch die Erweiterung um die massive U(1)-Eichgruppe.

Das Ergebnis für das $SU(2) \times U(1)$ -Modell mit gleichen Massen muss mit den Größen in der Faktorisierung (5.26) in Verbindung gebracht werden, um daraus auch Aussagen für den Fall $\lambda \neq M$ treffen zu können. Weil die mit λ^2/M^2 unterdrückten und vernachlässigten Terme in (5.26) nicht bekannt sind, werden sie für $\lambda = M$ mit einer zusätzlichen Funktion $C(Q^2, M^2)$ parametrisiert:

$$\hat{F}(Q^2, M^2, \lambda^2 = M^2) = F_{U(1)}(Q^2, \lambda^2 = M^2) \cdot \tilde{F}(Q^2, M^2) \cdot C(Q^2, M^2).$$
 (5.29)

In Gl. (5.29) sind alle Größen bis auf die Funktion $C(Q^2, M^2)$ bekannt. Auflösen der Gleichung nach $C(Q^2, M^2)$ und Einsetzen der Funktionen \hat{F} , $F_{U(1)}$ und \tilde{F} ergibt:

$$C(Q^{2}, M^{2}) = 1 + \frac{\alpha \alpha'}{(4\pi)^{2}} C_{F} \left[512 \operatorname{Li}_{4} \left(\frac{1}{2} \right) + \frac{64}{3} \ln^{4} 2 - \frac{64}{3} \pi^{2} \ln^{2} 2 - \frac{113}{15} \pi^{4} + 244 \zeta_{3} + \frac{70}{3} \pi^{2} + \frac{59}{4} \right] + \mathcal{O}(\{\alpha, \alpha'\}^{3}). \quad (5.30)$$

In Zweischleifenordnung ist $C(Q^2, M^2)$ lediglich eine Konstante, die wie alle nichtlogarithmischen Konstanten vernachlässigt werden kann. Die Faktorisierung

$$\hat{F}(Q^2, M^2, \lambda^2 = M^2) \stackrel{\text{N}^3LL}{\sim} F_{U(1)}(Q^2, \lambda^2 = M^2) \cdot \tilde{F}(Q^2, M^2)$$
 (5.31)

ohne den Faktor $C(Q^2,M^2)$ ist also für alle logarithmischen Terme in Zweischleifenordnung gültig. Diese Feststellung ermöglicht die Berechnung der Faktorisierungsfunktion $\tilde{F}(Q^2,M^2)$ ohne explizite Schleifenrechnungen mit massiven und masselosen Eichbosonen:

$$\tilde{F}(Q^2, M^2) \stackrel{\text{N}^3\text{LL}}{\sim} \frac{\hat{F}(Q^2, M^2, \lambda^2 = M^2)}{F_{U(1)}(Q^2, \lambda^2 = M^2)}.$$
 (5.32)

Daraus können auch für die gewünschte Skalenhierarchie $\lambda \ll M \ll Q$ alle Zweischleifenlogarithmen des $SU(2) \times U(1)$ -Formfaktors folgendermaßen bestimmt werden:

$$\hat{F}(Q^2, M^2, \lambda^2) = F_{U(1)}(Q^2, \lambda^2) \frac{\hat{F}(Q^2, M^2, M^2)}{F_{U(1)}(Q^2, M^2)} + \mathcal{O}(\alpha \alpha' \mathcal{L}^0).$$
 (5.33)

Das "Rezept" für die Berechnung aller logarithmischen Zweischleifenbeiträge im $SU(2)\times U(1)$ -Modell mit der Massenlücke $\lambda\ll M$ lautet also:

- 1. Den $SU(2) \times U(1)$ -Formfaktor im Fall gleicher Massen $\lambda = M$ durch eine Erweiterung des reinen SU(2)-Formfaktors bestimmen.
- 2. Durch die U(1)-Korrekturen bei $\lambda = M$ teilen.
- 3. Multiplizieren mit dem U(1)-Formfaktor im gewünschten Regularisierungsschema der IR-Divergenzen (z.B. mit Eichbosonmasse λ).

Dies war auch die in [5–7, 22] gewählte Vorgehensweise, die hier durch explizite Rechnung bestätigt wird.

Im allgemeinen Fall der Kombination zweier Eichgruppen würde die Relation (5.33) nur in NNLL-Näherung gelten, da nur in dieser Näherung die universellen Funktionen γ und ζ (siehe Abschnitt 1.5.2) zur Bestimmung des Ergebnisses genügen. Im vorliegenden $SU(2)\times U(1)$ -Modell gilt Gl. (5.33) für alle logarithmischen Zweischleifenterme, weil die Eichbosonen der verschiedenen Gruppen nicht wie im Standardmodell mischen und sich die Interferenzterme mit Korrekturen von beiden Eichgruppen darum auf abelsche Beiträge beschränken.

Kapitel 6

Vierfermionstreuung

In diesem Kapitel werden die Ergebnisse aus den vorigen Kapiteln zusammengesetzt, um elektroschwache Korrekturen zur Vierfermionstreuung zu erhalten. Zunächst wird in Abschnitt 6.1 beschrieben, wie Wirkungsquerschnitte für die Vierfermionstreuung in der reinen SU(2)-Theorie aus der Vierfermionamplitude berechnet werden. In Abschnitt 6.2 geht es dann um Korrekturen im elektroschwachen Standardmodell. Hier werden Ergebnisse für Zweischleifenkorrekturen zu verschiedenen Wirkungsquerschnitten vorgestellt und diskutiert. Das Kapitel schließt mit einer Zusammenfassung der vorliegenden Arbeit.

Die in diesem Kapitel vorgestellten Ergebnisse wurden zur Veröffentlichung eingereicht [28]. Die Veröffentlichung weiterer Details ist in Vorbereitung.

6.1 $SU(2)_L$ -Wirkungsquerschnitte

In diesem Abschnitt geht es zunächst um Wirkungsquerschnitte in einem reinen SU(2)-Modell mit spontaner Symmetriebrechung, ohne Berücksichtigung der U(1)-Wechselwirkung.

Zur Berechnung von Wirkungsquerschnitten für Vierfermionprozesse $f\bar{f} \to f'\bar{f}'$ ist die Vierfermionamplitude \mathcal{A} erforderlich. Diese wurde in Abschnitt 1.5 analysiert. In Gl. (1.46) wurde sie als Produkt aus dem Quadrat des Formfaktors F und der reduzierten Amplitude $\tilde{\mathcal{A}}$ geschrieben.

Die Betrachtungen in Abschnitt 1.5 gelten allgemein für eine SU(2)-Eichgruppe, die an links- und rechtshändige Fermionen koppelt. Hier soll wie im Standardmodell eine $SU(2)_L$ -Wechselwirkung nur für linkshändige Fermionen betrachtet werden, d.h. es

werden keine rechtshändigen Fermionen in der Amplitude betrachtet. Aus der Vierfermionamplitude im Raum der Chiralitätsstruktur wird also nur die Komponente für linkshändige Fermionen im Anfangs- und im Endzustand benötigt.

Der SU(2)-Formfaktor F wurde in den vorangegangenen Kapiteln in logarithmischer Näherung berechnet, das Einschleifenergebnis steht in Gl. (1.68), das Zweischleifenergebnis in Gl. (4.84). Auch von der reduzierten Amplitude $\tilde{\mathcal{A}}$ sind in Zweischleifennäherung alle logarithmischen Terme bekannt, wenn man die Ergebnisse aus Abschnitt 1.5.1 in Gl. (1.52) einsetzt.

In (1.37) und (1.38) wurden die Basisvektoren der Vierfermionamplitude im SU(2)-Farbraum definiert, der dem Isospinraum entspricht. Hier werden Prozesse $f\bar{f} \to f'\bar{f}'$ betrachtet, die in Bornscher Näherung über den neutralen Strom vermittelt werden. Bei diesen produzieren die SU(2)-Generatoren t^a im Basisvektor $\mathcal{A}_{LL}^{\lambda} = \bar{v}^L(-p_2)\,\gamma^{\mu}t^a\,u^L(p_1)\cdot\bar{u}^L(p_4)\,\gamma_{\mu}t^a\,v^L(-p_3)$ als Eigenwerte die Komponenten I_W^3 des schwachen Isospins des jeweiligen Fermion-Antifermion-Paars (siehe Tabelle 1.1). Es kann also

$$\mathcal{A}_{LL}^{\lambda} \to I_f^3 I_{f'}^3 \mathcal{A}_{LL}^d \tag{6.1}$$

ersetzt werden, wobei I_f^3 und $I_{f'}^3$ für den Isospin des Fermion-Antifermion-Paars im Anfangs- respektive Endzustand stehen und \mathcal{A}_{LL}^d der Basisvektor ohne SU(2)-Generatoren ist.

Für die Korrekturen zur reduzierten Amplitude \mathcal{A} muss noch die linkshändige Chiralität der Fermionen beachtet werden. Dies kann durch die Einführung des Projektors $(1 - \gamma_5)/2$ in die Basisamplituden \mathcal{A}^{λ} und \mathcal{A}^d geschehen, bevor über die Spins der Fermionen im Anfangszustand gemittelt und über die Spins der Fermionen im Endzustand summiert wird. Die dabei entstehenden Spuren über Spinsummen und γ -Matrizen werden mit den üblichen Methoden ausgewertet (siehe z.B. [29]).

Abschließend wird die Integration über den Winkel θ in Gl. (1.40) durchgeführt, also über den Winkel zwischen den räumlichen Komponenten von p_1 und p_4 im Schwerpunktsystem. Der totale Wirkungsquerschnitt σ wird auf die Born-Näherung σ_B normiert und folgendermaßen in der Kopplungskonstanten entwickelt:

$$\frac{\sigma}{\sigma_B} = 1 + \frac{\alpha}{4\pi} r^{(1)} + \left(\frac{\alpha}{4\pi}\right)^2 r^{(2)} + \mathcal{O}(\alpha^3).$$
 (6.2)

Dabei ist die Kopplung α in der Entwicklung (6.2) bei der Skala $\mu = M$ renormiert, während die Kopplung g im Born-Wirkungsquerschnitt σ_B bei $\mu = \sqrt{s}$ renormiert wird, siehe Gl. (1.46) und die anschließende Diskussion.

Die Korrekturen hängen davon ab, ob die Fermionen im Anfangs- und Endzustand den gleichen Isospin $(I_f^3 = I_{f'}^3$, Bezeichnung mit $r_+^{(1,2)}$) oder einen entgegengesetzten Isospin $(I_f^3 = -I_{f'}^3$, Bezeichnung mit $r_-^{(1,2)}$) haben.

Der Einschleifenbeitrag [22] lautet:

$$r_{+}^{(1)} = -3\mathcal{L}^{2}(s) + \frac{80}{3}\mathcal{L}(s) + \frac{35}{9} - \frac{20}{9}n_{f} - 3\pi^{2},$$
(6.3)

$$r_{-}^{(1)} = -3\mathcal{L}^{2}(s) + \frac{26}{3}\mathcal{L}(s) + \frac{278}{9} - \frac{20}{9}n_{f} - 3\pi^{2}.$$
 (6.4)

Dabei ist $\mathcal{L}(s) = \ln(s/M^2)$ definiert, und wegen $Q^2 = -(s+i0)$ gilt der Zusammenhang

$$\ln\left(\frac{Q^2}{M^2}\right) = \ln\left(\frac{s}{M^2}\right) - i\pi. \tag{6.5}$$

Der Zweischleifenbeitrag lautet:

$$r_{+}^{(2)} = \frac{9}{2} \mathcal{L}^{4}(s) - \left[\frac{437}{6} + \frac{2}{3} n_{f} \right] \mathcal{L}^{3}(s) + \left[\frac{37}{3} \pi^{2} + \frac{3835}{18} + \frac{170}{9} n_{f} \right] \mathcal{L}^{2}(s)$$

$$+ \left[26\sqrt{3} \operatorname{Cl}_{2} \left(\frac{\pi}{3} \right) + 15\sqrt{3}\pi - 122\zeta_{3} - \left(\frac{1643}{18} + \frac{2}{3} n_{f} \right) \pi^{2} + \frac{96529}{216} \right]$$

$$- \frac{1900}{27} n_{f} - \frac{40}{27} n_{f}^{2} \right] \mathcal{L}(s) + \mathcal{O}(\mathcal{L}^{0}),$$

$$(6.6)$$

für $I_f^3 = I_{f'}^3$ und

$$r_{-}^{(2)} = \frac{9}{2} \mathcal{L}^{4}(s) - \left[\frac{113}{6} + \frac{2}{3} n_{f} \right] \mathcal{L}^{3}(s) + \left[\frac{37}{3} \pi^{2} - \frac{1147}{9} + \frac{116}{9} n_{f} \right] \mathcal{L}^{2}(s)$$

$$+ \left[26\sqrt{3} \operatorname{Cl}_{2} \left(\frac{\pi}{3} \right) + 15\sqrt{3}\pi - 122\zeta_{3} - \left(\frac{347}{18} + \frac{2}{3} n_{f} \right) \pi^{2} + \frac{35941}{216} \right]$$

$$+ \frac{206}{27} n_{f} - \frac{40}{27} n_{f}^{2} \right] \mathcal{L}(s) + \mathcal{O}(\mathcal{L}^{0}),$$

$$(6.7)$$

für $I_f^3 = -I_{f'}^3$. Die $SU(2)_L$ -Wirkungsquerschnitte sind also in der Zweischleifenordnung in N³LL-Näherung bekannt, d.h. in vollständiger logarithmischer Näherung unter Vernachlässigung der nichtlogarithmischen Konstante.

6.2 Elektroschwache Korrekturen

Dieser Abschnitt behandelt Strahlungskorrekturen im Rahmen des elektroschwachen Standardmodells. Das SU(2)-Modell aus dem vorigen Abschnitt wird um die U(1)-Eichgruppe der Hyperladung bzw. der elektromagnetischen Wechselwirkung erweitert, die Chiralität der schwachen Wechselwirkung wird beachtet und die Hyperladungen der Fermionen korrekt eingeführt. Im Folgenden werden die Faktorisierung der elektromagnetischen IR-Divergenzen (Abschnitt 6.2.1), die Einführung

der elektroschwachen Parameter (Abschnitt 6.2.2), und die Berücksichtigung von $M_W \neq M_Z$ (Abschnitt 6.2.3) betrachtet, bevor in Abschnitt 6.2.4 Ergebnisse für elektroschwache Wirkungsquerschnitte präsentiert werden.

6.2.1 Faktorisierung der elektromagnetischen IR-Divergenzen

Für die exakte Berechnung von elektroschwachen Korrekturen bei Vierfermionprozessen müsste das Standardmodell mit der spontan gebrochenen $SU(2) \times U(1)$ -Symmetrie zugrunde gelegt werden. Die Masseneigenzustände der Eichbosonen sind dort die W^{\pm} - und Z-Bosonen mit ähnlicher, aber unterschiedlicher Masse sowie das masselose Photon. Die beiden ursprünglichen Eichgruppen mischen, und die ungebrochene U(1)-Symmetrie hat nicht die Hyperladung, sondern die elektrische Ladung als Generator.

In Kapitel 5 wurde gezeigt, dass für ein $SU(2) \times U(1)$ -Modell, in dem die beiden Eichgruppen nicht mischen, alle logarithmischen Zweischleifenbeiträge des Formfaktors mit den am Ende des Kapitels beschriebenen Schritten erhalten werden können.

Eine ähnliche Rechnung wurde in [22] für elektroschwache Korrekturen zur Vierfermionamplitude durchgeführt: Die Strahlungskorrekturen werden für den Fall berechnet, dass alle Eichbosonen, W, Z und Photon, die gleiche Masse M besitzen. Dann werden die elektromagnetischen QED-Korrekturen mit einer Photonmasse, die ebenfalls auf M gesetzt wird, abfaktorisiert. Das Ergebnis beschreibt den IR-endlichen Anteil der elektroschwachen Korrekturen und kann bei Bedarf mit den QED-Korrekturen multipliziert werden, wobei die IR-Divergenzen z.B. durch eine Photonmasse $\lambda \ll M$ regularisiert werden.

Diese Rechnung ist für das elektroschwache Standardmodell in NNLL-Näherung gültig – bis auf Terme, welche vom Massenunterschied zwischen den W- und Z-Bosonen herrühren. Das liegt daran, dass alle für die NNLL-Näherung benötigten Zweischleifenkoeffizienten $\gamma^{(2)}$, $\zeta^{(2)}$ und $\chi^{(2)}$ universell sind und weder von der Higgs-Masse noch vom Mechanismus der spontanen Symmetriebrechung abhängen. Die Bestimmung des linearen Zweischleifenlogarithmus erfordert hingegen die Verwendung der richtigen Masseneigenzustände für die Eichbosonen.

Legt man aber eine vereinfachtes $SU(2) \times U(1)$ -Modell zugrunde, in dem die Hyperladung des Higgs-Dubletts verschwindet, so dass die Eichbosonen der verschiedenen Eichgruppen nicht mischen, dann kann die oben beschriebene Prozedur auch zur Berechnung des linearen Zweischleifenlogarithmus verwendet werden. Analog zum Kapitel 5 lautet die Rechenvorschrift:

- 1. Berechnung der $SU(2) \times U(1)$ -Korrekturen im spontan gebrochenen Modell mit der gleichen Masse M sowohl für alle SU(2)-Eichbosonen als auch für das U(1)-Hyperladungsboson.
- 2. Abfaktorisierung der QED-Korrekturen unter Verwendung der schweren Eichbosonmasse M für die Photonmasse.

Mit den QED-Korrekturen sind dabei tatsächlich die Korrekturen der elektromagnetischen Eichsymmetrie gemeint, deren Generator proportional zur elektrischen Ladung ist.

Durch die Annahme, dass das Higgs-Dublett keine Hyperladung hat und die Eichgruppen folglich nicht mischen, vernachlässigt man Terme, die den linearen Zweischleifenlogarithmus beeinflussen. Diese Beiträge sind jedoch proportional zu $\sin^2\theta_W\approx 0.2$, wobei θ_W der schwache Mischungswinkel ist. Man kann also davon ausgehen, dass der Koeffizient des linearen Logarithmus im vereinfachten Modell gegenüber dem Standardmodellergebnis um etwa 20% abweichen wird. Zusätzlich führt die Massendifferenz $M_W\neq M_Z$ zu weiteren kubischen und quadratischen Logarithmen, die aber in Abschnitt 6.2.3 berücksichtigt werden. Da der Beitrag des linearen Logarithmus in den Zweischleifenergebnissen insgesamt relativ klein ist (vgl. die Diskussion der Ergebnisse in Abschnitt 6.2.4), sagt das vereinfachte Modell ohne Mischung die Standardmodellkorrekturen mit ausreichender Genauigkeit voraus.

6.2.2 Elektroschwache Parameter

Den bisherigen Rechnungen in den vorhergehenden Kapiteln liegt das in Abschnitt 1.2 beschriebene $SU(2) \times U(1)$ -Modell mit spontaner Symmetriebrechung zugrunde. Nicht berücksichtigt wurde dabei jedoch die unterschiedliche Kopplung der Standardmodellfermionen an die Eichgruppen in Abhängigkeit von der Chiralität und der Hyperladung.

Für die Vierfermionstreuung im elektroschwachen Modell müssen SU(2)-Eichbosonen, die ausschließlich an linkshändige Fermionen koppeln, und U(1)-Bosonen, deren Kopplung an Fermionen von der Hyperladung abhängt, betrachtet werden. Die Amplitude des Vierfermionprozesses $f\bar{f} \to f'\bar{f}'$ lautet in Born-Näherung:

$$\mathcal{A}_{B} = \frac{ig^{2}}{s} \sum_{I,J=L,R} \left(I_{f}^{3} I_{f'}^{3} + \tan^{2} \theta_{W} \frac{Y_{f} Y_{f'}}{4} \right) \mathcal{A}_{IJ}^{ff'}, \qquad (6.8)$$

mit

$$\mathcal{A}_{IJ}^{ff'} = \bar{f}_I \gamma^\mu f_I \cdot \bar{f}_J' \gamma_\mu f_J' \,, \tag{6.9}$$

wobei f_I , \bar{f}_I usw. die Spinoren der externen Fermionen mit Chiralität I,J=L,R sind. I_f^3 ist die Isospinkomponente des Fermions f mit $I_f^3=0$ für rechtshändige

Singletts und $I_f^3 = \pm \frac{1}{2}$ für die Komponenten von linkshändigen Dubletts. Y_f ist die Hyperladung des Fermions f entsprechend der Tabelle 1.1 auf Seite 13. Durch den Faktor $\tan^2 \theta_W$ mit dem schwachen Mischungswinkel wurde entsprechend $g' = g \tan \theta_W$ (1.7) die U(1)-Kopplung g' durch die SU(2)-Kopplung g ausgedrückt.

Für die Schleifenkorrekturen kann man den Isospin der Fermionen durch die folgende Ersetzung der Basisvektoren im Raum der Isospin- und Chiralitätsstruktur (1.38) ins Spiel bringen:

$$\mathcal{A}_{IJ}^{\lambda} \to I_f^3 I_{f'}^3 \mathcal{A}_{IJ}^{ff'}, \quad \mathcal{A}_{IJ}^d \to \mathcal{A}_{IJ}^{ff'}.$$
 (6.10)

Im hier betrachteten Fall von Prozessen mit $f \neq f'$, die in Bornscher Näherung über den neutralen Strom vermittelt werden, besitzen die masselosen Fermionen f und \bar{f} im Anfangszustand und genauso die Fermionen f' und \bar{f}' im Endzustand die gleiche Chiralität. Diese kann dadurch berücksichtigt werden, dass man den Anteil der schwachen SU(2)-Wechselwirkung jeweils nur für linkshändige Fermionen einberechnet.

Die Chiralität und die Hyperladung von Fermionen, die in den Strahlungskorrekturen in geschlossenen Fermionschleifen auftauchen, kann über den Parameter n_f berücksichtigt werden. Für die SU(2)-Wechselwirkung zählt dieser Parameter einfach die Anzahl der Dubletts von Dirac-Fermionen, die in der Schleife laufen können. In der ersten Fermionfamilie müssen hier das Leptondublett aus e^- und ν_e sowie das Quarkdublett aus u und d in drei QCD-Farben gezählt werden. Allerdings laufen nur linkshändige Fermionfreiheitsgrade in einer Schleife, die an SU(2)-Bosonen koppelt. Daher kommt ein Faktor 1/2 hinzu. Pro Fermionfamilie müssen also (1+3)/2=2 Fermion-Dubletts berücksichtigt werden. Bei insgesamt $N_g=3$ Familien (oder Generationen) von Fermionen muss für die SU(2)-Wechselwirkung

$$n_f \rightarrow 2 N_g = 6$$

gesetzt werden. Für die U(1)-Wechselwirkung muss n_f durch eine Summe über die Quadrate der Hyperladungen der Fermionen ersetzt werden. Geladene Leptonsingletts tragen zu dieser Summe $(Y/2)^2 = 1$ bei, Komponenten von Leptondubletts $(Y/2)^2 = 1/4$, u-artige Quarksingletts $(Y/2)^2 = 4/9$, d-artige Quarksingletts $(Y/2)^2 = 1/9$ und Komponenten von Quarkdubletts $(Y/2)^2 = 1/36$. Wieder korrigiert ein zusätzlicher Faktor 1/2, dass jedes Fermion als links- und rechtshändiges Teilchen doppelt gezählt wird. In der Summe ist der Beitrag jeder Fermionfamilie unter Berücksichtigung der drei QCD-Farben gerade 5/3. Für die U(1)-Wechselwirkung muss also

$$n_f \to \frac{5}{3} N_g = 5$$

gesetzt werden.

6.2.3 Berücksichtigung des Massenunterschieds $M_W \neq M_Z$

Die bisherigen Überlegungen sind davon ausgegangen, das alle SU(2)-Eichbosonen die gleiche Masse M besitzen. Im Standardmodell hat jedoch das Z-Boson eine größere Masse als das W^{\pm} -Boson. Dieser Massenunterschied kann durch eine Entwicklung um den Fall gleicher Masse berücksichtigt werden. Als Entwicklungsparameter wird dazu

$$\delta_M = 1 - \frac{M_W^2}{M_Z^2} \approx 0.2$$
 (6.11)

benutzt. In Einschleifennäherung kann die Änderung der Amplitude mit M_Z bei festgehaltenem $M=M_W$ in führender Ordnung in δ_M explizit berechnet werden. Dies führt zu einer Änderung der massenabhängigen Koeffizienten $\xi^{(1)}$, $F_0^{(1)}$ und $\mathcal{A}_0^{(1)}$ aus der Lösung der Evolutionsgleichungen (1.52) und (1.65). Diese Information genügt, um in der Zweischleifenordnung die Änderung der Koeffizienten des kubischen und des quadratischen Logarithmus zu bestimmen. Die Koeffizienten der anderen Funktionen γ , ζ und χ sind massenunabhängig und werden nicht vom Unterschied $M_W \neq M_Z$ beeinflusst.

Dadurch wurde der Unterschied zwischen der W- und der Z-Masse in NNLL-Näherung in führender Ordnung in δ_M berücksichtigt. Die Größe dieses Effekts ist vergleichbar mit dem Beitrag des linearen Logarithmus, also vergleichsweise klein. Korrekturen höherer Ordnung in δ_M können daher vernachlässigt werden. Die Änderung des linearen Logarithmus durch den Massenunterschied dürfte in der Größenordnung der vernachlässigten nichtlogarithmischen Konstante liegen und kann ebenfalls weggelassen werden.

6.2.4 Elektroschwache Wirkungsquerschnitte

Mit den Überlegungen aus den vorangegangenen Abschnitten können nun elektroschwache Korrekturen zu Vierfermionprozessen berechnet werden. Beispielhaft werden hier totale Wirkungsquerschnitte angegeben, aber auch die Vorwärts-Rückwärts-Asymmetrie und die Links-Rechts-Asymmetrie wurden berechnet.

Entsprechend der in Abschnitt 6.2.1 beschriebenen Faktorisierung wird der elektroschwache Wirkungsquerschnitt σ auf den Wirkungsquerschnitt $\sigma_{\rm em}$ mit reinen elektromagnetischen QED-Korrekturen normiert. Für die Berechnung von $\sigma_{\rm em}$ wird eine endliche Photonmasse λ benutzt, und $\sigma_{\rm em}$ selbst wird so normiert, dass die virtuellen QED-Korrekturen bei $s=\lambda^2$ verschwinden.

Für die Störungsreihe wird die U(1)-Hyperladungskopplung α' mittels des schwachen Mischungswinkels zugunsten der schwachen Kopplung α eliminiert:

$$\alpha' = \alpha \, \tan^2 \theta_W \,. \tag{6.12}$$

Der Wirkungsquerschnitt des Vierfermionprozesses $f\bar{f}\to f'\bar{f}'$ wird in der dann einzigen Kopplung α entwickelt:

$$\mathcal{R}_{ff'} = \frac{\sigma}{\sigma_{\text{em}}} = 1 + \frac{\alpha}{4\pi} r_{ff'}^{(1)} + \left(\frac{\alpha}{4\pi}\right)^2 r_{ff'}^{(2)} + \mathcal{O}(\alpha^3). \tag{6.13}$$

Die Entwicklung erfolgt in der bei $\mu = M = M_W$ renormierten Kopplung α , während die in der Born-Näherung enthaltenen Kopplungen bei $\mu = \sqrt{s}$ renormiert werden.

Das Einschleifenergebnis ist nicht nur in logarithmischer Näherung, sondern exakt bekannt [94]. Für die Zweischleifenbeiträge zu verschiedenen Vierfermionprozessen erhält man numerisch:

$$r_{yy}^{(2)} = 1,42 \,\mathcal{L}^4(s) - 20,33 \,\mathcal{L}^3(s) + 112,57 \,\mathcal{L}^2(s) - 312,90 \,\mathcal{L}(s) + \mathcal{O}(\mathcal{L}^0) \,, \tag{6.14}$$

$$r_{lQ}^{(2)} = 1,93 \,\mathcal{L}^4(s) - 11,28 \,\mathcal{L}^3(s) + 33,79 \,\mathcal{L}^2(s) - 60,87 \,\mathcal{L}(s) + \mathcal{O}(\mathcal{L}^0) \,, \tag{6.15}$$

$$r_{lq}^{(2)} = 2.79 \,\mathcal{L}^4(s) - 51.98 \,\mathcal{L}^3(s) + 321.20 \,\mathcal{L}^2(s) - 757.35 \,\mathcal{L}(s) + \mathcal{O}(\mathcal{L}^0) \,, \tag{6.16}$$

$$r_{QQ'}^{(2)} = 2,67 \,\mathcal{L}^4(s) - 46,64 \,\mathcal{L}^3(s) + 278,94 \,\mathcal{L}^2(s) - 666,05 \,\mathcal{L}(s) + \mathcal{O}(\mathcal{L}^0) \,, \tag{6.17}$$

$$r_{Qq}^{(2)} = 3.53 \,\mathcal{L}^4(s) - 20.39 \,\mathcal{L}^3(s) + 65.20 \,\mathcal{L}^2(s) - 91.92 \,\mathcal{L}(s) + \mathcal{O}(\mathcal{L}^0) \,, \tag{6.18}$$

$$r_{qq'}^{(2)} = 4.20 \,\mathcal{L}^4(s) - 71.87 \,\mathcal{L}^3(s) + 423.61 \,\mathcal{L}^2(s) - 919.35 \,\mathcal{L}(s) + \mathcal{O}(\mathcal{L}^0) \,, \tag{6.19}$$

mit $\mathcal{L}(s) = \ln(s/M_W^2)$. Der Index l bezeichnet ein geladenes Lepton, Q ein Quark u, c oder t und q ein Quark d, s oder b. Für die numerische Berechnung wurde der Wert $\sin^2 \theta_W = 0{,}231$ für den $\overline{\text{MS}}$ -renormierten Mischungswinkel an der Skala M_Z eingesetzt.

Für die Zweischleifenkorrekturen $r_{lq}^{(2)}$ zum Prozess $l\bar{l} \to q\bar{q}$ werden die sukzessiven logarithmischen Näherungen in Abb. 6.1 inklusive des Vorfaktors $(\alpha/4\pi)^2$ als Funktion von \sqrt{s} dargestellt. Die eingesetzten Werte für die W-Masse $M_W=80.4\,\mathrm{GeV}$ und die schwache Kopplung $\alpha/(4\pi)=0.00269$ in $\overline{\mathrm{MS}}$ -Renormierung bei der Skala M_W entsprechen den Standardmodellwerten.

Die in LL-Näherung sanft ansteigende Kurve wird durch den viel größeren Logarithmus \mathcal{L}^3 stark ins Negative (NLL) und durch die Hinzunahme des Logarithmus \mathcal{L}^2 wieder ebensoweit nach oben zurück verschoben (NNLL). Die Logarithmen \mathcal{L}^3 und \mathcal{L}^2 liefern im TeV-Bereich den größten Beitrag, die Verschiebung durch den linearen Logarithmus ist bereits wieder kleiner. Das gesamte N³LL-Ergebnis ist mit etwa einem halben Prozent wesentlich kleiner als die Beiträge der einzelnen logarithmischen Terme, die im TeV-Bereich bis zu 10% darstellen können.

Die Zweischleifenkorrekturen zu den Vierfermionprozessen in den Gleichungen (6.14) bis (6.19) sind in den Abbildungen 6.2 und 6.3 dargestellt. Im Gegensatz zu den Beiträgen der einzelnen logarithmischen Terme liegt die Größe der gesamten Zweischleifenkorrekturen im 1 TeV-Bereich bei allen Prozessen unterhalb von 1%.

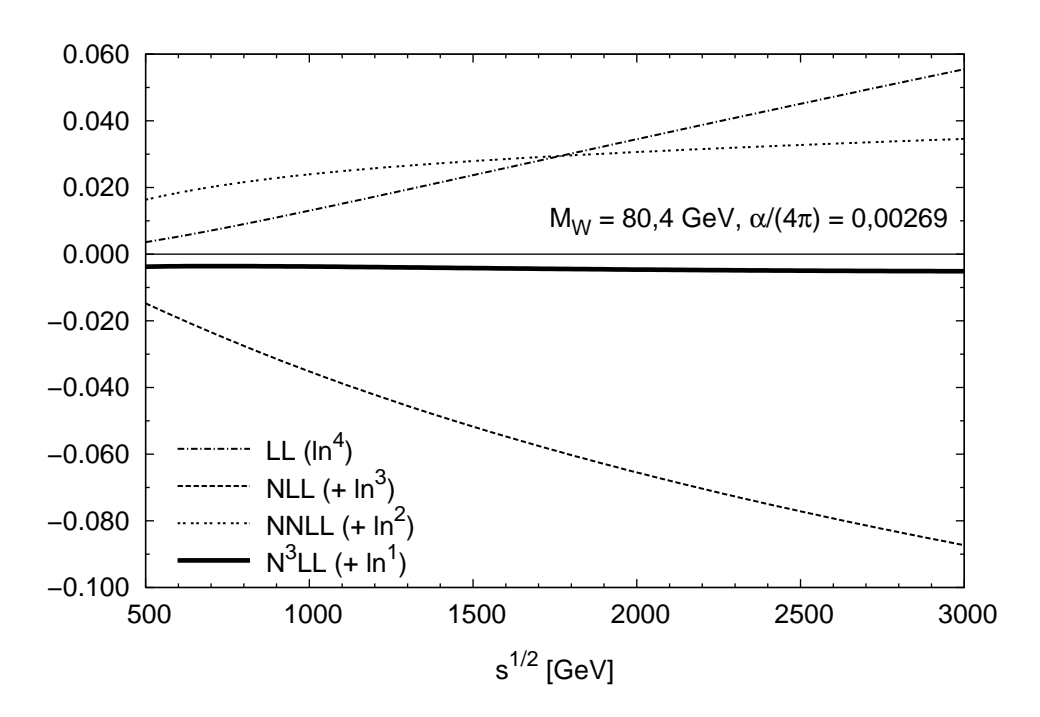


Abbildung 6.1: Zweischleifenkorrekturen $r_{lq}^{(2)}$ zu $l\bar{l}\to q\bar{q}$ in sukzessiven logarithmischen Näherungen

Die Genauigkeit der elektroschwachen Zweischleifenkorrekturen (6.14) bis (6.19) kann wie folgt abgeschätzt werden:

- Auf der Basis der Ergebnisse für den fermionischen und den abelschen Anteil des Formfaktors (Kapitel 2 und 3) wird der Fehler durch die vernachlässigte nichtlogarithmische Konstante in der Zweischleifenordnung auf wenige Promille geschätzt.
- Die durch M^2/Q^2 unterdrückten Beiträge, die in dieser Arbeit nicht betrachtet wurden, können auf Grund des Vergleichs mit dem exakten Ergebnis für den fermionischen Formfaktor (Kapitel 2) für $\sqrt{s} > 500\,\mathrm{GeV}$ als deutlich unter einem Promille angenommen werden.
- Die in führender Ordnung berücksichtigten Effekte durch den Massenunterschied $M_W \neq M_Z$ betragen in Zweischleifenordnung weniger als fünf Promille. Die vernachlässigten höheren Ordnungen in der Massendifferenz und die nicht beachtete Änderung des linearen Zweischleifenlogarithmus führen zu einem Fehler im Promillebereich.
- Die verschwindende Hyperladung des Higgs-Bosons und die dadurch vernachlässigte Mischung der Eichbosonen wird als 20%-Effekt relativ zum Ko-

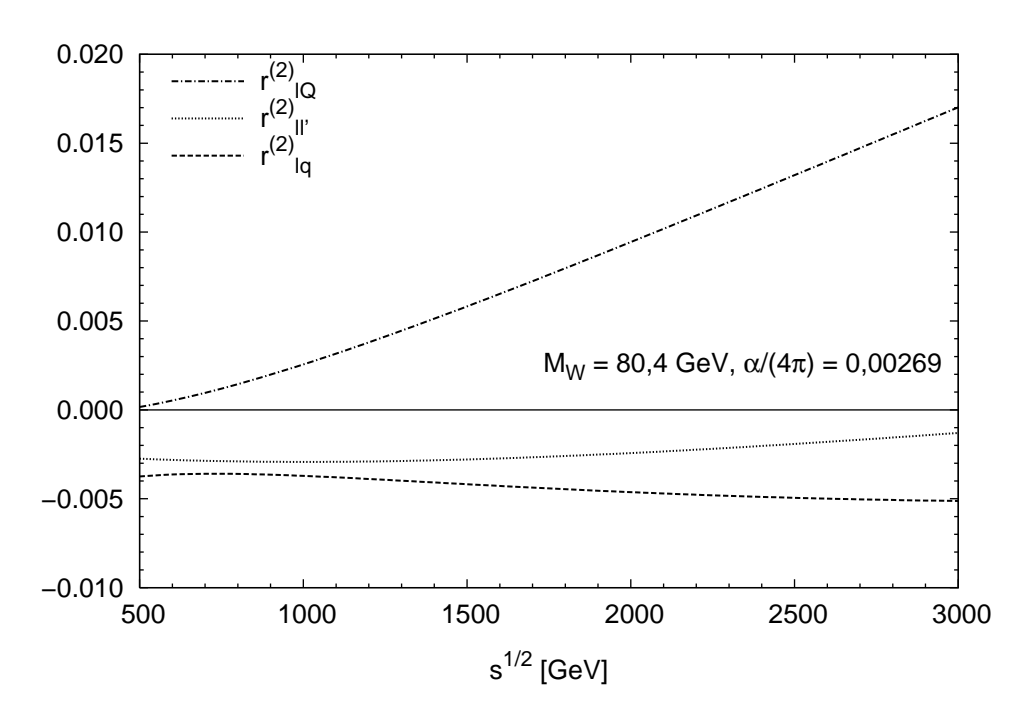


Abbildung 6.2: Zweischleifenkorrekturen zu $l\bar{l}\to Q\bar{Q},\, l\bar{l}\to l'\bar{l}'$ und $l\bar{l}\to q\bar{q}$

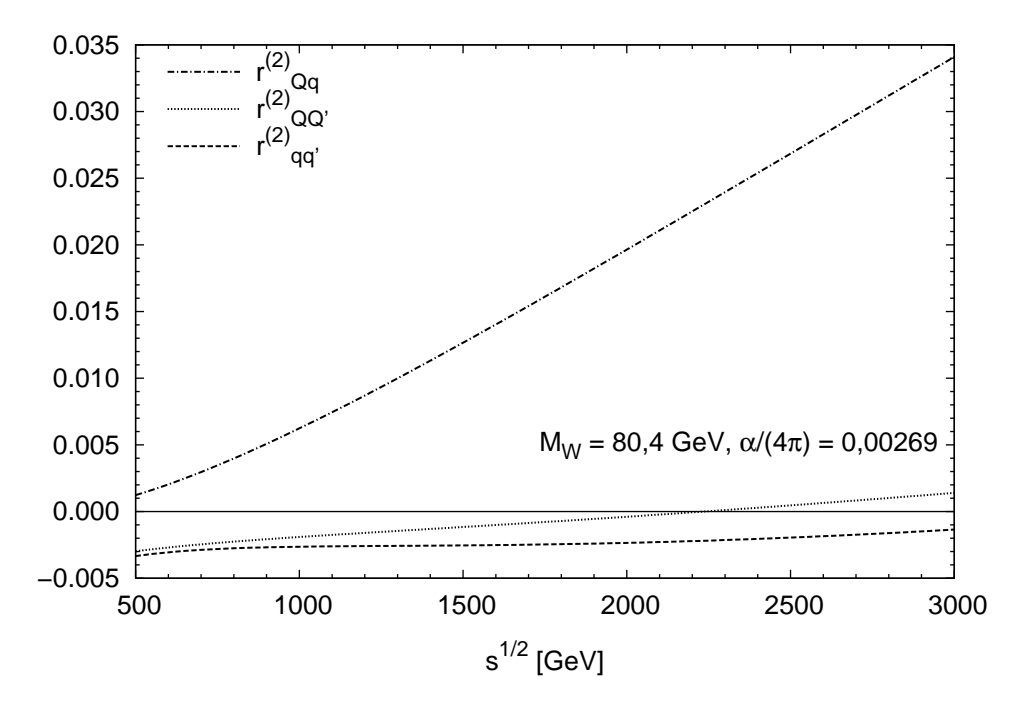


Abbildung 6.3: Zweischleifenkorrekturen zu $Q\bar{Q}\to q\bar{q},\,Q\bar{Q}\to Q'\bar{Q}'$ und $q\bar{q}\to q'\bar{q}'$

effizienten des linearen Logarithmus veranschlagt, was zu einem Fehler von wenigen Promille für die Zweischleifenkorrekturen führt.

• Die Annahme, dass die Higgs-Masse der Eichbosonmasse entspricht, führt zu einer Änderung des linearen Logarithmus von maximal 5%, da die Higgs-Beiträge insgesamt sehr klein sind. Die vernachlässigte Masse von virtuellen Topquarks in Fermionschleifen ändert den linearen Logarithmus ebenfalls im Prozentbereich. Diese beiden Effekte addieren sich zu einem Fehler von einem bis wenigen Promille in den Zweischleifenkorrekturen.

Insgesamt dürfte der Fehler in den Zweischleifenkorrekturen für die Produktion leichter Leptonen und Quarks, relativ zur Born-Näherung, im Bereich von einigen Promille bis maximal einem Prozent liegen. Wenn allerdings Topquarks als externe Teilchen produziert werden, liegt der Fehler in der vernachlässigten Topmasse aufgrund der hohen Top-Yukawa-Kopplung deutlich höher.

6.3 Zusammenfassung

In dieser Arbeit wurden analytische Zweischleifenkorrekturen zum Formfaktor eines abelschen Vektorstroms und zu Wirkungsquerschnitten von Vierfermionprozessen berechnet, die in Born-Näherung über den neutralen Strom vermittelt werden. Als Grundlage diente ein vereinfachtes $SU(2) \times U(1)$ -Modell mit spontaner Symmetriebrechung, dessen Ergebnisse unter den in der Arbeit beschriebenen Näherungen auf elektroschwache Korrekturen übertragen wurden. Dadurch konnten elektroschwache Zweischleifenkorrekturen mit einem geschätzten Fehler im Promillebereich erzielt werden.

Diese Analyse liefert theoretische Zweischleifenvorhersagen in ausreichender Genauigkeit für die Präzisionsexperimente am LHC und am International Linear Collider.

Anhang A

Feynman-Regeln

In Abschnitt 1.2 wird das in dieser Arbeit verwendete Modell und die ihm zugrunde liegende Lagrange-Dichte beschrieben. Daraus erhält man in allgemeiner R_{ξ} -Eichung die folgenden Feynman-Regeln des $SU(2) \times U(1)$ -Modells ohne Mischung zwischen den Eichgruppen.

Propagatoren:

Fermion:
$$\Psi \xrightarrow{k \to} \bar{\Psi} = \frac{i}{k} = \frac{ik}{k^2},$$
 (A.1)

Eichbosonen:
$$W^a_{\mu} \sim W^b_{\nu} = \frac{-i\delta^{ab}}{k^2 - M^2} \left(g_{\mu\nu} - (1 - \xi) \frac{k_{\mu}k_{\nu}}{k^2 - \xi M^2} \right), \quad (A.2)$$

$$B_{\mu} \sim \sim \sim B_{\nu} = \frac{-i}{k^2} \left(g_{\mu\nu} - (1 - \xi) \frac{k_{\mu} k_{\nu}}{k^2} \right),$$
 (A.3)

Higgs:
$$H - \frac{1}{k} - H = \frac{i}{k^2 - M_H^2}$$
, (A.4)

Goldstone:
$$\phi^a - \frac{1}{k} - \frac{1}{k} - \phi^b = \frac{i\delta^{ab}}{k^2 - \xi M^2}$$
, (A.5)

Geist:
$$c^a \xrightarrow{k \to c} \bar{c}^b = \frac{i\delta^{ab}}{k^2 - \xi M^2}$$
. (A.6)

Auf die Angabe der infinitesimalen positiven Imaginärteile +i0 in den Propagatornennern wurde verzichtet. In dieser Arbeit wird ausschließlich die Feynman-'t Hooft-

Eichung mit $\xi=1$ verwendet, um besonders einfache Eichboson-Propagatoren zu erhalten.

Vertizes:

$$W^a_\mu \sim \Psi^L = ig\gamma_\mu t^a , \qquad B_\mu \sim \Psi^{\bar{\Psi}} = ig'\gamma_\mu \frac{Y_\Psi}{2} , \qquad (A.7)$$

$$W_{\mu}^{a} \stackrel{k_{2}}{\swarrow} W_{\nu}^{b} = g f^{abc} \left[g_{\mu\nu} (k_{1} - k_{2})_{\rho} + g_{\nu\rho} (k_{2} - k_{3})_{\mu} + g_{\rho\mu} (k_{3} - k_{1})_{\nu} \right], \quad (A.8)$$

$$W_{\mu}^{a} \longrightarrow W_{\rho}^{c} = \begin{cases} -ig^{2} \left[f^{abe} f^{cde} (g_{\mu\rho}g_{\nu\sigma} - g_{\mu\sigma}g_{\nu\rho}) \right. \\ + f^{ace} f^{bde} (g_{\mu\nu}g_{\rho\sigma} - g_{\mu\sigma}g_{\nu\rho}) \right. \\ + f^{ade} f^{bce} (g_{\mu\nu}g_{\rho\sigma} - g_{\mu\rho}g_{\nu\sigma}) \right], \end{cases}$$

$$(A.9)$$

$$W_{\mu}^{a} \longrightarrow ---H = igM g_{\mu\nu} \delta^{ab}, \qquad W_{\mu}^{a} \longrightarrow H = \frac{i}{2} g^{2} g_{\mu\nu} \delta^{ab}, \qquad (A.10)$$

$$W_{\nu}^{b} \longrightarrow H$$

$$W_{\mu}^{a} \downarrow \qquad \qquad \downarrow \phi^{c} \\ W_{\nu}^{b} \downarrow \qquad \qquad \downarrow \phi^{d} = \frac{i}{2} g^{2} g_{\mu\nu} \delta^{ab} \delta^{cd} , \quad W_{\mu}^{a} \searrow \searrow \qquad \qquad \downarrow \phi^{b} \\ W_{\nu}^{b} \downarrow \qquad \qquad \downarrow \phi^{b} = \frac{g}{2} \delta^{ab} (k_{H} - k_{\phi})_{\mu} , \quad (A.11)$$

$$W_{\mu}^{a} \sim \sim \stackrel{k_{1}}{\sim} \phi^{b} = -\frac{g}{2} f^{abc} (k_{1} - k_{2})_{\mu}, \quad W_{\mu}^{a} \sim \sim \stackrel{k_{1}}{\sim} \bar{c}^{b} = -g f^{abc} k_{\mu}, \quad (A.12)$$

$$H - - - \checkmark$$

$$H = -\frac{3}{2}ig\frac{M_H^2}{M}, \qquad H - - - \checkmark$$

$$\phi^b = -\frac{i}{2}g\frac{M_H^2}{M}\delta^{ab}, \qquad (A.13)$$

$$H = -\frac{3}{4}ig^{2}\frac{M_{H}^{2}}{M^{2}}, \qquad H = -\frac{i}{4}g^{2}\frac{M_{H}^{2}}{M^{2}}\delta^{ab}, \qquad (A.14)$$

$$\phi^{a} = -\frac{i}{4}g^{2}\frac{M_{H}^{2}}{M^{2}}\left(\delta^{ab}\delta^{cd} + \delta^{ac}\delta^{bd} + \delta^{ad}\delta^{bc}\right), \tag{A.15}$$

$$H - - - \underbrace{\frac{i}{2}g \,\xi M \,\delta^{ab}}_{c^b}, \qquad \phi^a - - - \underbrace{\frac{i}{2}g \,\xi M \,f^{abc}}_{c^c}. \tag{A.16}$$

Außerdem werden Spinoren für externe Fermionen benötigt. Ein (Anti-)Fermion im Anfangszustand mit Impuls p und wird durch u(p) ($\bar{v}(p)$) beschrieben, ein (Anti-)Fermion im Endzustand durch $\bar{u}(p)$ (v(p)). Für masselose Fermionen gilt:

$$\not\!\!\!/ u(p) = \not\!\!\!/ v(p) = 0, \quad \bar{u}(p) \not\!\!\!/ = \bar{v}(p) \not\!\!\!/ = 0. \tag{A.17}$$

Der Unterschied zwischen u(p) und v(p) macht sich nur bei endlicher Fermionmasse bemerkbar. Genau genommen fehlt bei diesen Spinoren die Angabe der Spinorientierung bzw. der Chiralität. Für die schwache SU(2)-Wechselwirkung werden nur linkshändige Fermionen betrachtet, für die U(1)-Wechselwirkung der Hyperladung spielt die Chiralität keine Rolle.

Über den Impuls jeder geschlossenen Schleife wird bei dimensionaler Regularisierung in $d=4-2\varepsilon$ Raum-Zeit-Dimensionen folgendermaßen integriert:

$$\mu^{4-d} \int \frac{\mathrm{d}^d k}{(2\pi)^d} = \frac{i}{16\pi^2} \left(\frac{\mu^2}{M^2}\right)^{\varepsilon} S_{\varepsilon} \left[e^{\varepsilon \gamma_E} (M^2)^{\varepsilon} \int \frac{\mathrm{d}^d k}{i\pi^{d/2}} \right]$$
(A.18)

Das Multiplizieren des Impulsintegrals mit $e^{\varepsilon \gamma_E}$ pro Schleife sorgt dafür, dass das Integral nicht mehr von der Eulerschen Konstanten γ_E abhängt. Der dadurch entstehende Vorfaktor

$$S_{\varepsilon} = (4\pi)^{\varepsilon} e^{-\varepsilon \gamma_E} \tag{A.19}$$

wird im Rahmen der $\overline{\text{MS}}$ -Vorschrift in die Renormierungsskala μ absorbiert. Wenn zudem $(M^2)^{-\varepsilon}$ pro Schleife abfaktorisiert wird (außer bei masselosen Integralen), kann das Integral dimensionslos definiert werden. Der Vorfaktor $(\mu^2/M^2)^{\varepsilon}$ fällt heraus, wenn später die Skalenwahl $\mu = M$ getroffen wird.

Der Nenner $16\pi^2$ im Vorfaktor wird zusammen mit dem Quadrat der Kopplungskonstanten zu

$$\frac{g^2}{16\pi^2} = \frac{\alpha}{4\pi} \qquad \text{bzw.} \qquad \frac{g'^2}{16\pi^2} = \frac{\alpha'}{4\pi}$$

zusammengefasst. Ein Faktor i wird aus dem Schleifenintegral herausgezogen, damit das Integral selbst für raumartige Impulsüberträge real ist.

Geschlossene Fermion- oder Geistschleifen werden mit (-1) multipliziert. Außerdem wird bei Fermionschleifen die Spur im Spinorraum sowie im Darstellungsraum der fermionischen Eichgruppe gebildet.

Anhang B

Mathematische Funktionen und Konstanten

Die Eulersche Γ-Funktion und die Riemannsche ζ -Funktion

Für Rez>0 ist die Eulersche Γ -Funktion über die folgende Integraldarstellung definiert [95]:

$$\Gamma(z) = \int_{0}^{\infty} dt \, t^{z-1} \, e^{-t} \,.$$
 (B.1)

Die Γ -Funktion lässt sich auf die ganze komplexe Ebene analytisch fortsetzen. Sie hat dann einfache Pole für nichtpositive ganzzahlige Werte von z mit den folgenden Residuen:

Res
$$\Gamma(z)\Big|_{z=-n} = \frac{(-1)^n}{n!}, \ n = 0, 1, 2, \dots$$
 (B.2)

Es gilt:

$$\Gamma(z+1) = z \,\Gamma(z) \tag{B.3}$$

und

$$\Gamma(1) = \Gamma(2) = 1, \quad \Gamma(\frac{1}{2}) = \sqrt{\pi}.$$
 (B.4)

Bei Produkten von Γ -Funktionen kann die Relation

$$\Gamma(z)\Gamma(1-z) = \frac{\pi}{\sin(\pi z)}$$
 (B.5)

hilfreich sein. Die sogenannte Verdopplungsformel lautet:

$$\Gamma(2z) = \frac{2^{2z-1}}{\sqrt{\pi}} \Gamma(z) \Gamma(z + \frac{1}{2}). \tag{B.6}$$

Die Entwicklung des Logarithmus der Γ-Funktion um das Argument 1 ist für |z| < 1 folgendermaßen gegeben:

$$\ln \Gamma(1+z) = -\gamma_E z + \sum_{k=2}^{\infty} \zeta_k \frac{(-z)^k}{k},$$
 (B.7)

mit der Eulerschen Konstanten $\gamma_E \approx 0.577216$ und der Riemannschen ζ -Funktion

$$\zeta_n = \sum_{i=1}^{\infty} \frac{1}{i^n}, \ n = 2, 3, \dots,$$
(B.8)

wobei

$$\zeta_2 = \frac{\pi^2}{6}, \quad \zeta_3 \approx 1,20206, \quad \zeta_4 = \frac{\pi^4}{90}.$$
(B.9)

Harmonische Summen und Polylogarithmen

Die einfache harmonische Summe ist durch

$$S_m(n) = \sum_{i=1}^n \frac{1}{i^m}$$
 (B.10)

definiert. Sie kann auf mehrere Indizes erweitert werden [96]:

$$S_{m_1, m_2, \dots, m_k}(n) = \sum_{i=1}^n \frac{1}{i^{m_1}} S_{m_2, \dots, m_k}(i).$$
 (B.11)

Produkte von harmonischen Summen lassen sich auf Linearkombinationen von harmonischen Summen mit einer größeren Zahl von Indizes transformieren. Eine verallgemeinerte Form von harmonischen Summen sind Z-Summen und S-Summen [84]. Diese wiederum enthalten als Speziallfall u.a. die *Polylogarithmen* [97]

$$\operatorname{Li}_{n}(x) = \sum_{i=1}^{\infty} \frac{x^{i}}{i^{n}} = \int_{0}^{x} dt \, \frac{\operatorname{Li}_{n-1}(t)}{t} \,, \quad \text{mit } \operatorname{Li}_{1}(x) = -\ln(1-x) \,,$$
 (B.12)

wobei die Summendarstellung nur für |x| < 1 definiert ist. Es gilt:

$$\text{Li}_n(1) = \zeta_n \,, \ n = 2, 3, \dots$$
 (B.13)

In dieser Arbeit wird der Funktionswert

$$\text{Li}_4\left(\frac{1}{2}\right) \approx 0.517479$$
 (B.14)

als nicht weiter reduzierbare analytische Konstante benötigt.

Clausen-Funktion

Die Clausen-Funktion ist folgendermaßen definiert (siehe z.B. [85]):

$$\operatorname{Cl}_{n}(\theta) = \begin{cases} \frac{1}{2i} \left[\operatorname{Li}_{n}(e^{i\theta}) - \operatorname{Li}_{n}(e^{-i\theta}) \right], & n \text{ gerade}, \\ \frac{1}{2} \left[\operatorname{Li}_{n}(e^{i\theta}) + \operatorname{Li}_{n}(e^{-i\theta}) \right], & n \text{ ungerade}. \end{cases}$$
(B.15)

In dieser Arbeit wird der Funktionswert

$$\operatorname{Cl}_2\left(\frac{\pi}{3}\right) \approx 1,014942 \tag{B.16}$$

als analytische Konstante benötigt. Die Funktion Cl_2 besitzt die folgende Integraldarstellung:

$$\operatorname{Cl}_{2}(\theta) = -\int_{0}^{\theta} d\theta' \ln \left| 2 \sin \frac{\theta'}{2} \right|. \tag{B.17}$$

Anhang C

Methoden

C.1 Parametrisierung von Schleifenintegralen

Feynman-Parameter

Schleifenintegrale mit mehreren Propagatoren müssen parametrisiert werden, um die Impulsintegrationen ausführen zu können. Am bekanntesten sind die Feynman-Parameter (siehe z.B. [29]):

$$\prod_{k} \frac{1}{(A_k + i0)^{n_k}} = \frac{\Gamma(\sum_{k} n_k)}{\prod_{k} \Gamma(n_k)} \left(\prod_{k} \int_{0}^{1} dx_k \, x_k^{n_k - 1} \right) \frac{\delta(\sum_{k} x_k - 1)}{\left(\sum_{k} x_k A_k + i0\right)^{\sum_{k} n_k}}, \quad (C.1)$$

mit den Propagatornennern A_k . Der Term i0 steht für einen infinitesimalen positiven Imaginärteil. Die Parametrisierung gilt auch für nicht ganzzahlige Potenzen n_k .

Damit werden alle Propagatoren A_k zu einem einzigen Propagator $(\sum_k x_k A_k)$ zusammengefasst. Wenn alle ursprünglichen Propagatoren von der Form $A_k = \ell_k^2 - m_k^2$ sind, dann besitzt auch der kombinierte Propagator diese Form, ggf. nach einer quadratischen Ergänzung für den Schleifenimpuls im neuen Propagator. Es ist auch möglich, nicht gleich alle Propagatoren auf einmal mit Gl. (C.1) zusammenzufassen, sondern z.B. wiederholt paarweise.

Die Impulsintegration wird mit der Relation

$$\int \frac{\mathrm{d}^d \ell}{i\pi^{d/2}} \frac{1}{(\ell^2 - \Delta + i0)^n} = e^{-ni\pi} \left(\Delta - i0\right)^{\frac{d}{2} - n} \frac{\Gamma(n - \frac{d}{2})}{\Gamma(n)}$$
(C.2)

ausgeführt, ggf. mehrmals hintereinander bei Mehrschleifenintegralen. Anschließend müssen die Integrale über die Feynman-Parameter x_k unter Beachtung der

δ-Funktion ausgeführt werden. Eine hilfreiche Relation dafür ist [95]

$$\int_{0}^{1} dx \, x^{\alpha - 1} (1 - x)^{\beta - 1} = \frac{\Gamma(\alpha)\Gamma(\beta)}{\Gamma(\alpha + \beta)}, \qquad (C.3)$$

oder allgemeiner

$$\left(\prod_{k} \int_{0}^{1} dx_{k} x_{k}^{n_{k}-1}\right) \delta\left(\sum_{k} x_{k} - 1\right) = \frac{\prod_{k} \Gamma(n_{k})}{\Gamma(\sum_{k} n_{k})}.$$
 (C.4)

Schwinger-Parameter

Schwinger-Parameter, auch α -Parameter genannt, stellen eine alternative Methode zur Parametrisierung von Schleifenintegralen dar (siehe z.B. [72,79]). Jeder Propagator $1/A^n$ wird entsprechend

$$\frac{1}{(A+i0)^n} = \frac{e^{-i\pi(n/2)}}{\Gamma(n)} \int_0^\infty d\alpha \, \alpha^{n-1} \, e^{i\alpha(A+i0)} \tag{C.5}$$

umgeschrieben. Beliebig viele Propagatoren können zusammengefasst werden:

$$\prod_{k} \frac{1}{(A_k + i0)^{n_k}} = \left(\prod_{k} \frac{e^{-i\pi(n_k/2)}}{\Gamma(n_k)} \int_{0}^{\infty} d\alpha_k \, \alpha_k^{n_k - 1}\right) \exp\left(i\sum_{k} \alpha_k (A_k + i0)\right). \quad (C.6)$$

Alle Propagatornenner A_k finden sich im Argument einer Exponentialfunktion wieder. Auf eine ähnliche Weise können auch Terme mit ganzzahligen Potenzen im Zähler des Integrals (z.B. irreduzible Skalarprodukte) parametrisiert werden:

$$A^{n} = \left. \left(\frac{1}{i} \frac{\partial}{\partial \alpha} \right)^{n} e^{i\alpha A} \right|_{\alpha=0}. \tag{C.7}$$

Die Schleifenintegration kann mit Hilfe der folgenden Relation ausgeführt werden:

$$\int \frac{\mathrm{d}^d \ell}{i\pi^{d/2}} e^{i(\alpha\ell^2 + 2p \cdot \ell)} = e^{-i\pi(d/4)} \alpha^{-d/2} \exp\left(-i\frac{p^2}{\alpha}\right). \tag{C.8}$$

Im Ergebnis dieses Integrals steht der verbleibende Impuls p wieder quadratisch im Argument einer Exponentialfunktion, so dass auch mehrere Schleifenintegrationen hintereinander ausgeführt werden können.

Zur Integration über die Schwinger-Parameter kann in einfachen Fällen die Relation (C.5) in umgekehrter Richtung benutzt werden:

$$\int_{0}^{\infty} d\alpha \, \alpha^{n-1} e^{i\alpha(A+i0)} = \frac{e^{i\pi(n/2)} \, \Gamma(n)}{(A+i0)^n} = \frac{e^{-i\pi(n/2)} \, \Gamma(n)}{(-A-i0)^n} \,. \tag{C.9}$$

Wenn keine Parameterintegrale mehr mittels (C.9) gelöst werden können, empfiehlt sich die Reskalierung der Schwinger-Parameter. Dazu wird zunächst die Zahl 1 in der folgenden Form ins Parameterintegral eingefügt:

$$1 = \int_{0}^{\infty} d\eta \, \delta\left(\sum_{j \in S} \alpha_j - \eta\right),\,$$

wobei die Menge S, über welche die Summe in der δ -Funktion läuft, eine beliebige, nicht leere Teilmenge der Indizes der Schwinger-Parameter darstellt. Das Ergebnis hängt von der Wahl von S nicht ab. Anschließend werden die Schwinger-Parameter unter dem η -Integral mit η reskaliert: $\alpha_k \to \eta \alpha_k \forall k$. Jedes α -Integral ergibt bei dieser Reskalierung einen Faktor η , und die δ -Funktion wird entsprechend

$$\delta\left(\sum_{j\in S}\alpha_j - \eta\right) \to \frac{1}{\eta}\,\delta\left(\sum_{j\in S}\alpha_j - 1\right)$$

transformiert. Das η -Integral kann mittels (C.9) ausgeführt werden. Übrig bleiben die Integrale über die Schwinger-Parameter, die ähnlich wie bei den Feynman-Parametern durch eine δ -Funktion eingeschränkt sind. Tatsächlich ist so eine Transformation von Schwinger-Parametern auf Feynman-Parameter immer möglich. In den Integralen über Parameter α_j , die wegen $j \in S$ durch die δ -Funktion eingeschränkt sind, kann die obere Integralgrenze von ∞ nach 1 gesetzt werden.

Die Reskalierung kann auch für eine Untermenge der Schwinger-Parameter durchgeführt werden, wenn dies im konkreten Fall sinnvoller ist. Außerdem besteht ein Vorteil dieses Zugangs darin, dass der Inhalt der Menge S zunächst offen gelassen werden kann und erst dann festgelegt werden muss, wenn die jeweiligen Integrationen über die Schwinger-Parameter ausgeführt werden.

Zur Integration über einen Schwinger-Parameter, der nicht durch die δ -Funktion eingeschränkt ist, dient die Relation

$$\int_{0}^{\infty} d\alpha \, \alpha^{\nu-1} (A + \alpha B)^{-\rho} = \frac{\Gamma(\nu)\Gamma(\rho - \nu)}{\Gamma(\rho)} B^{-\nu} A^{\nu-\rho}, \qquad (C.10)$$

und zur Integration über mehrere, durch die δ -Funktion beschränkte Parameter kann

$$\left(\prod_{k} \int_{0}^{\infty} d\alpha_{k} \, \alpha_{k}^{\nu_{k}-1}\right) \frac{\delta\left(\sum_{j \in S} \alpha_{j}-1\right)}{\left(\sum_{k} \alpha_{k}\right)^{\sum_{k} \nu_{k}}} = \frac{\prod_{k} \Gamma(\nu_{k})}{\Gamma\left(\sum_{k} \nu_{k}\right)} \tag{C.11}$$

verwendet werden, wobei S wieder eine beliebige, nicht leere Teilmenge der Indizes ist. Gl. (C.11) ist eine Verallgemeinerung von Gl. (C.4).

C.2 Tensorreduktion

Gegeben sei ein Schleifenintegral, das den Schleifenimpuls außer in den Propagatornennern auch im Zähler enthält. Die Terme im Zähler können aus Schleifenimpulsen mit offenen Lorentz-Indizes, aus irreduziblen Skalarprodukten oder aus Schleifenimpulsen, die mit γ -Matrizen kontrahiert sind, bestehen. Diese Fälle sind äquivalent, denn mit $\ell = \gamma_{\mu} \ell^{\mu}$ und $p \cdot \ell = p_{\mu} \ell^{\mu}$ können alle ℓ -abhängigen Objekte im Zähler des Integrals als Tensor $\ell^{\mu} \ell^{\nu} \ell^{\rho} \cdots$ geschrieben werden.

Die Tensorreduktion [92] transformiert Schleifenintegrale mit einer Tensorstruktur des Schleifenimpulses im Zähler auf Linearkombinationen von konstanten Tensoren, deren Koeffizienten skalare Schleifenintegrale sind. Als Beispiel wird der Fall einer Zweipunktfunktion diskutiert, die nur einen unabhängigen äußeren Impuls enthält.

Das Tensorintegral 1. Stufe,

$$B^{\mu}(k) = \int d^{d}\ell f(k,\ell) \ell^{\mu}, \qquad (C.12)$$

mit einer skalaren Funktion $f(k,\ell)$, hängt nach der Integration über den Schleifenimpuls ℓ nur noch vom externen Impuls k ab. $B^{\mu}(k)$ ist ein Lorentz-Tensor 1. Stufe und muss daher proportional zu k^{μ} sein. Man macht den einzig möglichen Ansatz $B^{\mu}(k) = k^{\mu}B_1(k^2)$, setzt diesen in (C.12) ein und kontrahiert beide Seiten der Gleichung mit k_{μ} . Daraus erhält man:

$$\int d^d \ell f(k,\ell) \ell^{\mu} = \frac{k^{\mu}}{k^2} \int d^d \ell f(k,\ell) \ell \cdot k.$$
 (C.13)

Das Skalarprodukt $\ell \cdot k$ im Integral lässt sich in der Regel mit den Propagatornennern kürzen. Das Tensorintegral 2. Stufe,

$$B^{\mu\nu}(k) = \int d^d \ell f(k, \ell) \ell^{\mu} \ell^{\nu}, \qquad (C.14)$$

ist ein Lorentz-Tensor 2. Stufe. Der allgemeinste Ansatz lautet daher: $B^{\mu\nu}(k) = g^{\mu\nu}B_{00}(k^2) + k^{\mu}k^{\nu}B_{11}(k^2)$. Nach dem Einsetzen in (C.14) wird die Gleichung einmal

mit $g_{\mu\nu}$ und einmal mit $k_{\mu}k_{\nu}$ kontrahiert. Das dabei entstehende Gleichungssystem liefert die folgende Lösung:

$$\int d^{d}\ell f(k,\ell) \,\ell^{\mu}\ell^{\nu} = \frac{1}{d-1} \left[g^{\mu\nu} \int d^{d}\ell \, f(k,\ell) \left(\ell^{2} - \frac{(\ell \cdot k)^{2}}{k^{2}} \right) + \frac{k^{\mu}k^{\nu}}{k^{2}} \int d^{d}\ell \, f(k,\ell) \left(d\frac{(\ell \cdot k)^{2}}{k^{2}} - \ell^{2} \right) \right]. \tag{C.15}$$

Mit der gleichen Methode können Tensorintegrale mit mehr externen Impulsen auf konstante Lorentz-Tensoren zurückgeführt werden.

C.3 Mellin-Barnes-Darstellung

Mit Hilfe von Feynman- oder Schwinger-Parametern kann in Schleifenintegralen die Integration über die Schleifenimpulse immer ausgeführt werden. Aber häufig sind auch die verbliebenen Integrale über die Feynman- oder Schwinger-Parameter zu aufwändig, um sie direkt lösen zu können.

In vielen Fällen scheitert die Parameterintegration, weil die Abhängigkeit des Integranden von den Parametern zu komplex ist. Mit der *Mellin-Barnes-Darstellung* [98] (siehe z.B. [79,99]) können Summen in Produkte umgeformt werden, deren Faktoren einfacher zu integrieren sind. Der Preis ist die zusätzliche Einführung von Mellin-Barnes-Integralen in der komplexen Ebene.

Die Mellin-Barnes-Darstellung lautet:

$$\frac{1}{(A+B)^n} = \frac{1}{\Gamma(n)} \int_{-i\infty}^{i\infty} \frac{\mathrm{d}z}{2\pi i} \Gamma(-z) \Gamma(n+z) \frac{B^z}{A^{n+z}}.$$
 (C.16)

A und B können z.B. Funktionen der Feynman- oder Schwinger-Parameter sein. Durch die Mellin-Barnes-Darstellung erhält man aus der Summe $(A+B)^{-n}$ getrennte Faktoren A^{-n-z} und B^z , die leichter zu integrieren sind. Oder es kann sich um einen massiven Propagator handeln mit $A = \ell^2$ und $B = -m^2$, der durch die Mellin-Barnes-Darstellung zu einem masselosen Propagator wird.

Der Integrationsweg der Mellin-Barnes-Integrale in (C.16) verläuft so von $-i\infty$ nach $+i\infty$, dass Pole aus Γ -Funktionen der Form $\Gamma(\ldots+z)$ links des Integrationswegs liegen ("IR-Pole") und Pole der Form $\Gamma(\ldots-z)$ rechts des Integrationswegs liegen ("UV-Pole"). Abhängig vom Parameter n kann der Integrationsweg u.U. nicht gerade sein, sondern muss durch Windungen und Kurven alle Pole von Γ -Funktionen auf der jeweils richtigen Seite umfahren.

Wenn |A| < |B| ist, dann kann das Integral über z auf der linken Seite im Unendlichen (bei Re $z \to -\infty$) geschlossen werden. Die Summe über die Residuen der Funktion $\Gamma(n+z)$ (B.2) liefert genau die Taylor-Entwicklung der linken Seite von Gl. (C.16) für |A| < |B|. Im anderen Fall |A| > |B| wird das Integral auf der rechten Seite im Unendlichen (bei Re $z \to +\infty$) geschlossen. Hier liefert die Summe über die Residuen der Funktion $\Gamma(-z)$ die entsprechende Taylor-Entwicklung für |A| > |B|. Für |A| = |B| kann das Mellin-Barnes-Integral wahlweise auf der linken oder auf der rechten Seite geschlossen werden, da die Γ -Funktionen im Unendlichen schnell genug abfallen. Die Mellin-Barnes-Darstellung ist also vergleichbar mit einer Taylorreihe, aber sie deckt beide Fälle |A| < |B| und |A| > |B| ab.

Üblicherweise benutzt man die Mellin-Barnes-Darstellung, um eine Schleifenintegration oder Parameterintegration zu vereinfachen. Dann wird nach der Einführung der Mellin-Barnes-Darstellung zunächst die Schleifen- oder Parameterintegration ausgeführt. Dabei entstehen weitere Γ -Funktionen, die bei der Auswertung des Mellin-Barnes-Integrals zusätzliche Residuen liefern. Die Definition des Integrationswegs bleibt auch bei mehr als zwei Γ -Funktionen die gleiche wie oben beschrieben.

Besonders einfache Mellin-Barnes-Integrale können durch das erste Barnsche Lemma [100, 101] gelöst werden:

$$\int_{-i\infty}^{i\infty} \frac{\mathrm{d}z}{2\pi i} \Gamma(\lambda_1 - z) \Gamma(\lambda_2 - z) \Gamma(\lambda_3 + z) \Gamma(\lambda_4 + z) = \frac{\Gamma(\lambda_1 + \lambda_3) \Gamma(\lambda_1 + \lambda_4) \Gamma(\lambda_2 + \lambda_3) \Gamma(\lambda_2 + \lambda_4)}{\Gamma(\lambda_1 + \lambda_2 + \lambda_3 + \lambda_4)}. \quad (C.17)$$

Zur Aufsummierung der Residuen in einem Mellin-Barnes-Integral ist die folgende Relation hilfreich:

$$\Gamma(\alpha - k) = (-1)^k \frac{\Gamma(\alpha)\Gamma(1 - \alpha)}{\Gamma(1 - \alpha + k)},$$
(C.18)

mit ganzzahligem k. Häufig müssen die Γ-Funktionen, die in den Residuen vorkommen, im Parameter ε der dimensionalen Regularisierung oder in anderen infinitesimalen Parametern entwickelt werden. Algorithmen dazu finden sich z.B. in [84,85,102]. In den unendlichen Reihen, die bei der Entwicklung in ε entstehen, tauchen beispielsweise harmonische Summen (siehe Anhang B) und Verallgemeinerungen davon auf.

C.4 Expansion by Regions

Die Methode der Expansion by Regions [75, 103–105] ermöglicht die asymptotische Entwicklung von Feynman-Diagrammen auch in schwierigen kinematischen Limites.

Ein Beispiel dafür ist der Sudakov-Limes $M^2 \ll Q^2$ des Formfaktors (vgl. Abschnitt 1.5.2). Hier treten im Limes $M \to 0$ infrarote und kollineare Divergenzen auf.

Die Methode der Expansion by Regions geht für jedes Feynman-Diagramm nach dem folgenden Schema vor:

- 1. Das Integrationsgebiet (also der *d*-dimensionale Impulsraum pro Schleifenintegration) wird in Regionen für die Schleifenimpulse aufgeteilt.
- 2. In jeder Region wird der Integrand in eine Taylor-Reihe entwickelt bezüglich der Parameter, die in dieser Region als klein betrachtet werden.
- 3. Anschließend werden jedoch die Integrale für jede Region nicht nur über den Impulsbereich der jeweiligen Region ausgeführt, sondern über den ganzen ursprünglichen Impulsraum.

Die Summe der Beiträge aller Regionen reproduziert das exakte Ergebnis. Durch die Entwicklungen in den Regionen liegt dieses Ergebnis jedoch als asymptotische Entwicklung in M^2/Q^2 vor.

In der Praxis genügt es, sich Regionen anzuschauen, in denen das Integral im Limes $M \to 0$ Singularitäten aufweist. Die Regionen müssen dann nicht exakt durch ihre Grenzen im Impulsraum definiert werden. Die Angabe eines typischen Punktes im Impulsraum ist ausreichend, um die Entwicklung in der Region durchführen zu können. Solche Angaben sind z.B.: "alle Komponenten des Schleifenimpulses sind von der Größenordnung M", oder "der Schleifenimpuls ist kollinear zum externen Impuls p_1 ".

Das in einer bestimmten Region entwickelte Integral ist formal außerhalb dieser Region nicht unbedingt konvergent. Die Konvergenz wird aber durch die dimensionale Regularisierung erreicht. Insbesondere bei kollinearen Regionen kommt es jedoch vor, dass die dimensionale Regularisierung alleine nicht ausreicht. Hier müssen zusätzliche Parameter wie Propagatorpotenzen von ihren ganzzahligen Werten infinitesimal in die komplexe Ebene verschoben werden, um die Integrale der Regionen zu regularisieren. In der Summe aller Regionen heben sich die durch eine solche analytische Regularisierung parametrisierten Singularitäten wieder auf.

In dieser Arbeit werden nur Terme betrachtet, die nicht mit M^2/Q^2 unterdrückt sind. Für die Expansion by Regions bedeutet dies, dass von jeder Entwicklung in einer Region jeweils nur der führende Beitrag benötigt wird. Beispielsweise entspricht die harte Region, in der alle Komponenten des Schleifenimpulses von der Größenordnung Q sind, gerade dem masselosen Diagramm, weil die Masse in den Propagatoren gegenüber dem harten Schleifenimpuls vernachlässigt wird.

Anhang D

Skalare Integrale

D.1 Skalare Integrale der abelschen Beiträge

D.1.1 Planares Vertexdiagramm

Der Beitrag des planaren Vertexdiagramms zum Formfaktor kann wie folgt in skalare Integrale (3.6) zerlegt werden:

$$\begin{split} F_{v,\text{LA}} &= C_F^2 \left(\frac{\alpha}{4\pi}\right)^2 \, i^2 \left(\frac{\mu^2}{M^2}\right)^{2\varepsilon} \, S_\varepsilon^2 \, \Big\{ \\ F_{\text{LA}}(0,0,1,0,1,1,0) \cdot (-4) \\ &+ F_{\text{LA}}(0,0,1,1,0,1,0) \cdot (8-2d) \\ &+ F_{\text{LA}}(0,0,1,1,1,1,0) \cdot (-4+(8-2d)z) \\ &+ F_{\text{LA}}(1,-1,0,1,1,1,0) \cdot (4) \\ &+ F_{\text{LA}}(1,-1,1,1,0,1,0) \cdot (-4) \\ &+ F_{\text{LA}}(1,-1,1,1,1,1,0) \cdot (-4z) \\ &+ F_{\text{LA}}(1,0,-1,1,1,1,0) \cdot \left(44-\frac{16}{d-2}-12d+d^2\right) \\ &+ F_{\text{LA}}(1,0,0,1,1,0) \cdot \left(-44+\frac{16}{d-2}+12d-d^2\right) \\ &+ F_{\text{LA}}(1,0,0,1,1,0,0) \cdot \left(-40+\frac{16}{d-2}+12d-d^2\right) \\ &+ F_{\text{LA}}(1,0,0,1,1,1,0) \cdot \left(24-\frac{16}{d-2}-4d+(-44+\frac{16}{d-2}+12d-d^2)z\right) \\ &+ F_{\text{LA}}(1,0,0,1,1,1,1) \cdot \left(-8+2d\right) \\ &+ F_{\text{LA}}(1,0,1,0,0,1,0,0) \cdot \left(40-\frac{16}{d-2}-12d+d^2\right) \\ &+ F_{\text{LA}}(1,0,1,0,1,0,0) \cdot \left(40-\frac{16}{d-2}-12d+d^2\right) \\ \end{split}$$

$$\begin{split} &+F_{\mathrm{LA}}(1,0,1,0,1,1,0) \cdot (-8 + (44 - \frac{16}{d-2} - 12d + d^2)z) \\ &+F_{\mathrm{LA}}(1,0,1,0,1,1,1) \cdot (4) \\ &+F_{\mathrm{LA}}(1,0,1,1,-1,1,0) \cdot (8 - 4d) \\ &+F_{\mathrm{LA}}(1,0,1,1,0,0,0) \cdot (-8 + 4d) \\ &+F_{\mathrm{LA}}(1,0,1,1,0,1,0) \cdot (24 - \frac{16}{d-2} - 4d + (8 - 4d)z) \\ &+F_{\mathrm{LA}}(1,0,1,1,0,1,1) \cdot (-4 + 2d) \\ &+F_{\mathrm{LA}}(1,0,1,1,1,0,0) \cdot (8 + (-8 + 4d)z) \\ &+F_{\mathrm{LA}}(1,0,1,1,1,1,0) \cdot (-8 + (32 - \frac{16}{d-2} - 4d)z) \\ &+F_{\mathrm{LA}}(1,0,1,1,1,1,1) \cdot (4 + (-4 + 2d)z) \\ &+F_{\mathrm{LA}}(1,0,0,1,1,1,1,1) \cdot (4 + (-4 + 2d)z) \\ &+F_{\mathrm{LA}}(1,1,0,0,0,1,0) \cdot (-48 + \frac{16}{d-2} + 14d - d^2) \\ &+F_{\mathrm{LA}}(1,1,0,0,1,0,0) \cdot (48 - \frac{16}{d-2} - 14d + d^2) \\ &+F_{\mathrm{LA}}(1,1,0,0,1,1,0) \cdot (-44 + \frac{16}{d-2} + 12d - d^2) \\ &+F_{\mathrm{LA}}(1,1,0,0,1,1,1) \cdot (48 - \frac{16}{d-2} - 14d + d^2) \\ &+F_{\mathrm{LA}}(1,1,1,-1,0,0) \cdot (44 - \frac{16}{d-2} - 12d + d^2) \\ &+F_{\mathrm{LA}}(1,1,1,-1,1,0,0) \cdot (-44 + \frac{16}{d-2} + 12d - d^2) \\ &+F_{\mathrm{LA}}(1,1,1,-1,1,0,0) \cdot (-44 + \frac{16}{d-2} + 12d - d^2) \\ &+F_{\mathrm{LA}}(1,1,1,0,0,1,0) \cdot (-8 + 4d) \\ &+F_{\mathrm{LA}}(1,1,1,0,0,0,0) \cdot (-8 + 4d) \\ &+F_{\mathrm{LA}}(1,1,1,0,0,0,0) \cdot (-8 + 4d) \\ &+F_{\mathrm{LA}}(1,1,1,0,0,1,0) \cdot (88 - \frac{48}{d-2} - 24d + 2d^2 + (8 - 4d)z) \\ &+F_{\mathrm{LA}}(1,1,1,0,1,0) \cdot (-4 + 2d) \\ &+F_{\mathrm{LA}}(1,1,1,0,1,1,0) \cdot (-4 + 2d) \\ &+F_{\mathrm{LA}}(1,1,1,1,0,1,1,0) \cdot (-4 + 2d) \\ &+F_{\mathrm{LA}}(1,1,1,1,0,1,1,0) \cdot (-4 + 2d) \\ &+F_{\mathrm{LA}}(1,1,1,1,0,0,1) \cdot (4 - 2d) \\ &+F_{\mathrm{LA}}(1,1,1,1,0,0,1)$$

mit $S_{\varepsilon} = (4\pi)^{\varepsilon} e^{-\varepsilon \gamma_E}$ und $z = M^2/Q^2$. Die von Null verschiedenen Ergebnisse der skalaren Integrale lauten in führender Ordnung in M^2/Q^2 :

$$\begin{split} F_{LA}(1,-1,0,1,1,1,0) &= -\frac{33}{32} - \frac{1}{8\varepsilon^2} - \frac{7}{16\varepsilon} - \frac{1}{8}\mathcal{L} + \frac{1}{8}\mathcal{L}^2 + \frac{1}{48}\pi^2 \,, \\ F_{LA}(1,-1,1,1,0,1,0) &= -\frac{89}{16} - \frac{1}{4\varepsilon^2} + (-\frac{11}{8} + \frac{1}{2}\mathcal{L}) \frac{1}{\varepsilon} + \frac{11}{4}\mathcal{L} - \frac{1}{2}\mathcal{L}^2 + \frac{1}{24}\pi^2 \,, \\ F_{LA}(1,-1,1,1,1,0) &= \frac{1}{4} - \frac{1}{2}\mathcal{L} + \frac{3}{4}\mathcal{L}^2 - \frac{1}{4}\mathcal{L}^3 + \frac{1}{4}\pi^2 + (\frac{1}{4}\mathcal{L}^2 + \frac{1}{6}\pi^2) \frac{1}{\varepsilon} - 2\zeta_3 \,, \\ F_{LA}(1,0,-1,1,1,1,0) &= \frac{1}{4} - \frac{1}{2}\mathcal{L} + \frac{3}{4}\mathcal{L}^2 - \frac{1}{4}\mathcal{L}^3 + \frac{1}{4}\pi^2 + (\frac{1}{4}\mathcal{L}^2 + \frac{1}{6}\pi^2) \frac{1}{\varepsilon} - 2\zeta_3 \,, \\ F_{LA}(1,0,0,1,0,1,0) &= \frac{13}{8} + \frac{1}{4\varepsilon} - \frac{1}{2}\mathcal{L} \,, \\ F_{LA}(1,0,0,1,1,1,0) &= \frac{5}{2} + \frac{1}{2\varepsilon^2} + \frac{3}{2\varepsilon} + \mathcal{L} - \frac{1}{2}\mathcal{L}^2 - \frac{1}{12}\pi^2 \,, \\ F_{LA}(1,0,0,1,1,1,1) &= \frac{85}{32} + \frac{1}{8\varepsilon^2} + \frac{11}{16\varepsilon} - \frac{3}{8}\mathcal{L} - \frac{1}{8}\mathcal{L}^2 - \frac{1}{48}\pi^2 \,, \\ F_{LA}(1,0,1,0,1,1,0) &= \frac{7}{2} + \frac{1}{2\varepsilon^2} + \frac{3}{2\varepsilon} - \frac{1}{12}\pi^2 \,, \\ F_{LA}(1,0,1,1,0,1,0) &= \frac{9}{2} + \frac{1}{2\varepsilon^2} + (\frac{5}{2} - \mathcal{L}) \frac{1}{\varepsilon} - 5\mathcal{L} + \mathcal{L}^2 - \frac{1}{24}\pi^2 \,, \\ F_{LA}(1,0,1,1,0,1,0) &= \frac{19}{2} + \frac{1}{2\varepsilon^2} + (\frac{5}{2} - \mathcal{L}) \frac{1}{\varepsilon} - 5\mathcal{L} + \mathcal{L}^2 - \frac{1}{12}\pi^2 \,, \\ F_{LA}(1,0,1,1,0,1,0) &= \frac{19}{2} + \frac{1}{2\varepsilon^2} + (\frac{5}{2} - \mathcal{L}) \frac{1}{\varepsilon} - 5\mathcal{L} + \mathcal{L}^2 - \frac{1}{12}\pi^2 \,, \\ F_{LA}(1,0,1,1,1,1,0) &= -\mathcal{L}^2 + \frac{1}{2}\mathcal{L}^3 - \frac{3}{3}\pi^2 + (-\frac{1}{2}\mathcal{L}^2 - \frac{1}{3}\pi^2) \frac{1}{\varepsilon} + 4\zeta_3 \,, \\ F_{LA}(1,0,1,1,1,1,0) &= -\mathcal{L}^2 + \frac{1}{2}\mathcal{L}^3 - \frac{3}{3}\pi^2 + (-\frac{1}{2}\mathcal{L}^2 - \frac{1}{3}\pi^2) \frac{1}{\varepsilon} + 4\zeta_3 \,, \\ F_{LA}(1,0,0,1,1,0) &= \frac{19}{2} + \frac{1}{2\varepsilon^2} + (\frac{5}{2} - \mathcal{L}) \frac{1}{\varepsilon} - 5\mathcal{L} + \mathcal{L}^2 + \frac{1}{12}\pi^2 \,, \\ F_{LA}(1,1,0,0,1,1,0) &= \frac{19}{2} + \frac{1}{2\varepsilon^2} + (\frac{5}{2} - \mathcal{L}) \frac{1}{\varepsilon} - 5\mathcal{L} + \mathcal{L}^2 + \frac{1}{12}\pi^2 \,, \\ F_{LA}(1,1,0,0,1,1,0) &= \frac{19}{2} + \frac{1}{2\varepsilon^2} + (\frac{5}{2} - \mathcal{L}) \frac{1}{\varepsilon} - \frac{1}{\varepsilon} \mathcal{L} + \frac{1}{2}\mathcal{L}^2 + \frac{1}{24}\pi^2 \,, \\ F_{LA}(1,1,1,0,0,1,1,0) &= \frac{35}{16} + \frac{1}{4\varepsilon^2} + (\frac{8}{8} - \frac{1}{2}\mathcal{L}) \frac{1}{\varepsilon} + \frac{1}{4}\mathcal{L} - \frac{1}{4}\mathcal{L}^2 + \frac{1}{24}\pi^2 \,, \\ F_{LA}(1,1,1,0,0,1,0) &= \frac{35}{32} + \frac{1}{8\varepsilon^2} + (\frac{1}{6} - \frac{1}{4}\mathcal{L}) \frac{1}{\varepsilon} - \frac{9}{8}\mathcal{L} + \frac{1}{4}\mathcal{L}^2 - \frac{1}{48}\pi^2 \,,$$

$$\begin{split} F_{\mathrm{LA}}(1,1,1,0,1,1,2) &= \frac{21}{2} + \frac{1}{4\varepsilon^2} + (\frac{9}{4} - \frac{1}{2}\mathcal{L})\frac{1}{\varepsilon} + \frac{1}{2}\mathcal{L}^2 - \frac{1}{8}\pi^2 + \mathcal{L}(-\frac{31}{8} - \frac{1}{12}\pi^2) - \frac{1}{2}\zeta_3 \,, \\ F_{\mathrm{LA}}(1,1,1,1,-1,0,0) &= 6 + \frac{1}{2\varepsilon^2} + (2-\mathcal{L})\frac{1}{\varepsilon} - 4\mathcal{L} + \mathcal{L}^2 - \frac{1}{12}\pi^2 \,, \\ F_{\mathrm{LA}}(1,1,1,1,-1,1,0) &= \frac{19}{2} + \frac{1}{2\varepsilon^2} + (\frac{5}{2}-\mathcal{L})\frac{1}{\varepsilon} - 5\mathcal{L} + \mathcal{L}^2 - \frac{1}{12}\pi^2 - 3\zeta_3 \,, \\ F_{\mathrm{LA}}(1,1,1,0,-1,0) &= 6 + \frac{1}{2\varepsilon^2} + (2-\mathcal{L})\frac{1}{\varepsilon} - 4\mathcal{L} + \mathcal{L}^2 - \frac{1}{12}\pi^2 \,, \\ F_{\mathrm{LA}}(1,1,1,1,0,0,0) &= 12 + \frac{1}{\varepsilon^2} + (4-2\mathcal{L})\frac{1}{\varepsilon} - 8\mathcal{L} + 2\mathcal{L}^2 - \frac{1}{6}\pi^2 \,, \\ F_{\mathrm{LA}}(1,1,1,1,0,0,1) &= 6 + \frac{1}{2\varepsilon^2} + (2-\mathcal{L})\frac{1}{\varepsilon} - 4\mathcal{L} + \mathcal{L}^2 - \frac{1}{12}\pi^2 \,, \\ F_{\mathrm{LA}}(1,1,1,1,0,1,0) &= -6\zeta_3 \,, \\ F_{\mathrm{LA}}(1,1,1,1,0,1,0) &= -6\zeta_3 \,, \\ F_{\mathrm{LA}}(1,1,1,1,0,1,0) &= 7 + \frac{1}{\varepsilon^2} + \frac{1}{3}\mathcal{L}^3 - \frac{1}{3}\pi^2 + (3-\mathcal{L} - \frac{1}{4}\mathcal{L}^2 - \frac{1}{6}\pi^2)\frac{1}{\varepsilon} \,, \\ &+ \mathcal{L}(-3 + \frac{1}{12}\pi^2) + \frac{1}{2}\zeta_3 \,, \\ F_{\mathrm{LA}}(1,1,1,1,1,0,0) &= -\mathcal{L}^2 + \frac{2}{3}\mathcal{L}^3 - \frac{2}{3}\pi^2 + \frac{1}{6}\pi^2\mathcal{L} + (-\frac{1}{2}\mathcal{L}^2 - \frac{1}{3}\pi^2)\frac{1}{\varepsilon} + \zeta_3 \,, \\ F_{\mathrm{LA}}(1,1,1,1,1,0,0) &= 5 + (1-\mathcal{L})\frac{1}{\varepsilon} - 5\mathcal{L} + \frac{3}{2}\mathcal{L}^2 - \frac{1}{6}\pi^2 \,, \\ F_{\mathrm{LA}}(1,1,1,1,1,1,0) &= \frac{1}{3}\pi^2\mathcal{L} - 10\zeta_3 \,, \\ F_{\mathrm{LA}}(1,1,1,1,1,1,1,0) &= \frac{37}{2} + \frac{1}{2\varepsilon^2} + (\frac{7}{2}-\mathcal{L})\frac{1}{\varepsilon} + \mathcal{L}^2 + \frac{1}{12}\pi^2 + \mathcal{L}(-8 + \frac{1}{6}\pi^2) - 11\zeta_3 \,, \\ (\mathrm{D}.2) &= \frac{37}{2} + \frac{1}{2\varepsilon^2} + (\frac{7}{2}-\mathcal{L})\frac{1}{\varepsilon} + \mathcal{L}^2 + \frac{1}{12}\pi^2 + \mathcal{L}(-8 + \frac{1}{6}\pi^2) - 11\zeta_3 \,, \\ (\mathrm{D}.2) &= \frac{37}{2} + \frac{1}{2\varepsilon^2} + (\frac{7}{2}-\mathcal{L})\frac{1}{\varepsilon} + \mathcal{L}^2 + \frac{1}{12}\pi^2 + \mathcal{L}(-8 + \frac{1}{6}\pi^2) - 11\zeta_3 \,, \\ (\mathrm{D}.2) &= \frac{37}{2} + \frac{1}{2\varepsilon^2} + (\frac{7}{2}-\mathcal{L})\frac{1}{\varepsilon} + \mathcal{L}^2 + \frac{1}{12}\pi^2 + \mathcal{L}(-8 + \frac{1}{6}\pi^2) - 11\zeta_3 \,, \\ (\mathrm{D}.2) &= \frac{37}{2} + \frac{1}{2\varepsilon^2} + (\frac{7}{2}-\mathcal{L})\frac{1}{\varepsilon} + \mathcal{L}^2 + \frac{1}{12}\pi^2 + \mathcal{L}(-8 + \frac{1}{6}\pi^2) - 11\zeta_3 \,, \\ (\mathrm{D}.2) &= \frac{37}{2} + \frac{1}{2\varepsilon^2} + (\frac{7}{2}-\mathcal{L})\frac{1}{\varepsilon} + \mathcal{L}^2 + \frac{1}{12}\pi^2 + \mathcal{L}(-8 + \frac{1}{6}\pi^2) - 11\zeta_3 \,, \\ (\mathrm{D}.2) &= \frac{37}{2} + \frac{1}{2\varepsilon^2} + (\frac{7}{2}-\mathcal{L})\frac{1}{\varepsilon} + \mathcal{L}^2 + \frac{1}{12}\pi^2 + \mathcal{L}(-8 + \frac{1}{6}\pi^2) - 11\zeta_3 \,, \\ (\mathrm{D}.$$

mit $\mathcal{L} = \ln(Q^2/M^2)$.

D.1.2 Nichtplanares Vertexdiagramm

Die Zerlegung in skalare Integrale (3.17) lautet:

$$\begin{split} &+F_{\mathrm{NP}}(1,0,-1,1,1,1,0)\cdot \left(48-\frac{16}{d-2}-14d+d^2\right)\\ &+F_{\mathrm{NP}}(1,0,0,0,1,1,0)\cdot \left(16-\frac{32}{d-2}-2d\right)\\ &+F_{\mathrm{NP}}(1,0,0,1,0,1,0)\cdot \left(16-\frac{32}{d-2}-2d\right)\\ &+F_{\mathrm{NP}}(1,0,0,1,1,0,0)\cdot \left(80-\frac{48}{d-2}-20d+d^2\right)\\ &+F_{\mathrm{NP}}(1,0,0,1,1,1,0)\cdot \left(-16+\frac{16}{d-2}+4d+(96-\frac{80}{d-2}-22d+d^2)z\right)\\ &+F_{\mathrm{NP}}(1,0,0,1,1,1,1)\cdot \left(120-\frac{64}{d-2}-32d+2d^2\right)\\ &+F_{\mathrm{NP}}(1,0,1,0,0,1,0)\cdot \left(8-\frac{16}{d-2}-2d\right)\\ &+F_{\mathrm{NP}}(1,0,1,0,1,0,0)\cdot \left(56-\frac{32}{d-2}-16d+d^2\right)\\ &+F_{\mathrm{NP}}(1,0,1,0,1,1,0)\cdot \left(8+\left(64-\frac{48}{d-2}-18d+d^2\right)z\right)\\ &+F_{\mathrm{NP}}(1,0,1,0,1,1,1)\cdot \left(56-\frac{32}{d-2}-16d+d^2\right)\\ &+F_{\mathrm{NP}}(1,0,1,1,1,1,0)\cdot \left(-16\right)\\ &+F_{\mathrm{NP}}(1,0,1,1,1,1,0,0,0)\cdot \left(40-\frac{16}{d-2}+4d\right)\\ &+F_{\mathrm{NP}}(1,0,1,1,0,1,0)\cdot \left(48-4d+(-72-\frac{16}{d-2}+4d)z\right)\\ &+F_{\mathrm{NP}}(1,0,1,1,1,0,1,0)\cdot \left(48-4d+(-72-\frac{16}{d-2}+4d)z\right)\\ &+F_{\mathrm{NP}}(1,0,1,1,1,0,1,0)\cdot \left(40+\frac{16}{d-2}-4d+(-56-\frac{48}{d-2}+4d)z\right)\\ &+F_{\mathrm{NP}}(1,0,1,1,1,1,0,0)\cdot \left(40+\frac{16}{d-2}-4d+\left(-56-\frac{48}{d-2}+4d\right)z\right)\\ &+F_{\mathrm{NP}}(1,0,1,1,1,1,0,0)\cdot \left(-16+\left(88+\frac{16}{d-2}-8d\right)z+\left(-64-\frac{32}{d-2}+4d\right)z^2\right)\\ &+F_{\mathrm{NP}}(1,0,1,1,1,1,1,0)\cdot \left(-16+\left(88+\frac{16}{d-2}-20d+d^2\right)z\right)\\ &+F_{\mathrm{NP}}(1,0,1,1,1,1,1,0)\cdot \left(-12+\frac{32}{d-2}+2d+\left(48-\frac{96}{d-2}-20d+d^2\right)z\right)\\ &+F_{\mathrm{NP}}(1,0,0,1,0,0)\cdot \left(-112+\frac{32}{d-2}+32d-2d^2\right)\\ &+F_{\mathrm{NP}}(1,1,0,0,1,0,0)\cdot \left(48-\frac{16}{d-2}-14d+d^2\right)\\ &+F_{\mathrm{NP}}(1,1,0,0,1,0,0)\cdot \left(48-\frac{16}{d-2}-14d+d^2\right)\\ &+F_{\mathrm{NP}}(1,1,0,0,1,1,0)\cdot \left(48-\frac{16}{d-2}+14d-d^2\right)\\ &+F_{\mathrm{NP}}(1,1,1,-1,1,0,0)\cdot \left(-48+\frac{16}{d-2}+14d-d^2\right)\\ &+F_{\mathrm{NP}}(1,1,1,-1,1,0,0)\cdot \left(-48+\frac{16}{d-2}+14d-d^2\right)\\ &+F_{\mathrm{NP}}(1,1,1,0,0,1,0)\cdot \left(-8+\frac{16}{d-2}+14d-d^2\right)\\ &+F_{\mathrm{NP}}(1,1,1,0,0,1,0)\cdot \left(-8+\frac{16}{d-2}+14d-d^2\right)\\ &+F_{\mathrm{NP}}(1,1,1,0,0,1,0)\cdot \left(-8-\frac{16}{d-2}+14d-d^2\right)\\ &+F_{\mathrm{NP}}(1,1,1,0,0,1,0)\cdot \left(-8-\frac{16}{d-2}+\frac{64}{d-2}z\right)\\ &+F_{\mathrm{NP}}(1,1,1,0,0,1,0)\cdot \left(-8-\frac{16}{d-2}+\frac{64}{d-2}z\right)\\ &+F_{\mathrm{NP}}(1,1,0,0,1,0)\cdot \left(-8-\frac{16}{d-2}+\frac{64}{d-2}z\right)\\ &+F_{\mathrm{NP}}(1,1,0,0,1,0)\cdot \left(-8-\frac{16}{d-2}+\frac{64}{d-2}z\right)\\ &+F_{\mathrm{NP}}(1,1,1,0,0,1,0)\cdot \left(-8-\frac{16}{d-2}+\frac{64}{d-2}z\right)\\ &+F_{\mathrm{NP}}(1,1,1,0,0,1,0)\cdot \left(-8-\frac{16}{d-2}+\frac{64}{d-2}z\right)\\ &+F_{\mathrm{NP}}(1,1,1,0,0,1,0)\cdot \left(-8-\frac$$

Ergebnisse der skalaren Integrale:

$$\begin{split} F_{\mathrm{NP}}(0,-1,1,1,1,0) &= -\frac{11}{16} - \frac{1}{4\varepsilon^2} - \frac{1}{2\varepsilon} - \frac{1}{24}\pi^2 \,, \\ F_{\mathrm{NP}}(0,0,1,1,1,1,0) &= 3 + \frac{1}{\varepsilon^2} + \frac{2}{\varepsilon} + \frac{1}{6}\pi^2 \,, \\ F_{\mathrm{NP}}(0,0,1,1,1,1,1) &= \frac{23}{16} + \frac{1}{4\varepsilon^2} + \frac{3}{4\varepsilon} + \frac{1}{24}\pi^2 \,, \\ F_{\mathrm{NP}}(1,-1,0,1,1,1,0) &= -\frac{33}{32} - \frac{1}{8\varepsilon^2} - \frac{7}{16\varepsilon} - \frac{1}{8}\mathcal{L} + \frac{1}{8}\mathcal{L}^2 + \frac{1}{48}\pi^2 \,, \\ F_{\mathrm{NP}}(1,-1,1,1,0,1,0) &= -\frac{73}{32} - \frac{3}{8\varepsilon^2} - \frac{17}{16\varepsilon} - \frac{3}{16}\pi^2 \,, \\ F_{\mathrm{NP}}(1,-1,1,1,1,0,0) &= -\frac{73}{32} - \frac{1}{8\varepsilon^2} - \frac{11}{16\varepsilon} + \frac{1}{8}\mathcal{L} + \frac{1}{8}\mathcal{L}^2 - \frac{1}{48}\pi^2 \,, \\ F_{\mathrm{NP}}(1,-1,1,1,1,1,0) &= 10 + \frac{1}{\varepsilon^2} + \frac{2}{\varepsilon} - \frac{5}{6}\mathcal{L}^3 + \frac{1}{8}\mathcal{L}^4 + \pi^2 + \frac{1}{30}\pi^4 + \mathcal{L}^2(\frac{7}{2} + \frac{1}{4}\pi^2) \\ &\qquad \qquad - 4\zeta_3 + \mathcal{L}(-7 - \frac{2}{3}\pi^2 + \zeta_3) \,, \\ F_{\mathrm{NP}}(1,-1,1,1,1,1,1) &= -\frac{27}{8} + \frac{1}{4\varepsilon^2} + \frac{5}{4\varepsilon} - \frac{15}{8}\mathcal{L}^2 + \frac{1}{4}\mathcal{L}^3 - \frac{3}{8}\pi^2 + \mathcal{L}(\frac{45}{8} + \frac{1}{4}\pi^2) + \frac{1}{2}\zeta_3 \,, \\ F_{\mathrm{NP}}(1,0,-1,1,1,1,0) &= \frac{33}{32} + \frac{1}{8\varepsilon^2} + \frac{7}{16\varepsilon} + \frac{1}{8}\mathcal{L} - \frac{1}{8}\mathcal{L}^2 - \frac{1}{48}\pi^2 \,, \\ F_{\mathrm{NP}}(1,0,0,1,1,0,0) &= \frac{13}{8} + \frac{1}{4\varepsilon} - \frac{1}{2}\mathcal{L} \,, \end{split}$$

$$\begin{split} F_{\mathrm{NP}}(1,1,1,1,1,-1,0) &= 11 + \frac{1}{\varepsilon^2} + (3-\mathcal{L})\frac{1}{\varepsilon} - \frac{1}{3}\pi^2 - \frac{11}{180}\pi^4 + \mathcal{L}^2(\frac{3}{2} - \frac{1}{12}\pi^2) \\ &\quad + \mathcal{L}(-6 + \frac{1}{2}\pi^2 - 2\zeta_3) + 6\zeta_3 \,, \\ F_{\mathrm{NP}}(1,1,1,1,1,-1,1) &= 1 + \frac{1}{2\varepsilon^2} + (\frac{15}{8} - \frac{1}{2}\mathcal{L})\frac{1}{\varepsilon} + \frac{3}{8}\mathcal{L}^2 + \frac{19}{24}\pi^2 + \mathcal{L}(-\frac{3}{8} - \frac{1}{6}\pi^2) - 2\zeta_3 \,, \\ F_{\mathrm{NP}}(1,1,1,1,0,0) &= -\frac{1}{12}\pi^2\mathcal{L}^2 - \frac{11}{180}\pi^4 - 2\zeta_3\mathcal{L} \,, \\ F_{\mathrm{NP}}(1,1,1,1,1,0,1) &= -17 - \frac{1}{\varepsilon^2} - \frac{5}{2}\mathcal{L}^2 + (-4 + 2\mathcal{L})\frac{1}{\varepsilon} + \frac{1}{3}\pi^2 + \mathcal{L}(11 - \frac{1}{3}\pi^2) - 4\zeta_3 \,, \\ F_{\mathrm{NP}}(1,1,1,1,1,0,2) &= -\frac{325}{16} - \frac{5}{4\varepsilon^2} - \frac{23}{8}\mathcal{L}^2 + (-\frac{11}{2} + \frac{5}{2}\mathcal{L})\frac{1}{\varepsilon} - \frac{1}{6}\pi^2 \\ &\quad + \mathcal{L}(\frac{103}{8} - \frac{1}{6}\pi^2) - 2\zeta_3 \,, \\ F_{\mathrm{NP}}(1,1,1,1,1,1,0) &= \frac{7}{12}\mathcal{L}^4 - \frac{1}{6}\pi^2\mathcal{L}^2 - \frac{31}{180}\pi^4 + 20\zeta_3\mathcal{L} \,, \\ F_{\mathrm{NP}}(1,1,1,1,1,1,1,1) &= \frac{1}{4}\mathcal{L}^4 - \frac{1}{6}\pi^2\mathcal{L}^2 - \frac{31}{90}\pi^4 + 14\zeta_3\mathcal{L} \,, \\ F_{\mathrm{NP}}(1,1,1,1,1,1,1,2) &= 38 + \frac{2}{\varepsilon^2} + (7 - 4\mathcal{L})\frac{1}{\varepsilon} - \mathcal{L}^3 + \frac{1}{4}\mathcal{L}^4 + \frac{1}{3}\pi^2 - \frac{1}{90}\pi^4 \\ &\quad + \mathcal{L}^2(9 - \frac{1}{6}\pi^2) - 4\zeta_3 + \mathcal{L}(-30 + 14\zeta_3) \,, \\ F_{\mathrm{NP}}(1,1,1,1,1,1,3) &= \frac{571}{8} + \frac{7}{2\varepsilon^2} + (\frac{111}{8} - 7\mathcal{L})\frac{1}{\varepsilon} - \frac{3}{2}\mathcal{L}^3 + \frac{1}{4}\mathcal{L}^4 + \frac{3}{4}\pi^2 - \frac{1}{90}\pi^4 \\ &\quad + \mathcal{L}^2(\frac{59}{4} - \frac{1}{6}\pi^2) - 6\zeta_3 + \mathcal{L}(-\frac{211}{4} + 14\zeta_3) \,. \end{split}$$
 (D.4)

D.1.3 Vertexdiagramm mit Benz-Topologie

Zerlegung des Benz-Vertexdiagramms in skalare Integrale (3.36):

$$\begin{split} F_{v,\mathrm{BE}} &= \left(C_F^2 - \frac{1}{2}C_FC_A\right) \left(\frac{\alpha}{4\pi}\right)^2 i^2 \left(\frac{\mu^2}{M^2}\right)^{2\varepsilon} S_\varepsilon^2 \left\{ \\ F_{\mathrm{BE}}(-1,1,1,1,1,1,1) \cdot \left(22 - \frac{8}{d-2} - 6d + \frac{1}{2}d^2\right) \\ &+ F_{\mathrm{BE}}(0,0,0,1,1,1,0) \cdot \left(22 - \frac{8}{d-2} - 6d + \frac{1}{2}d^2\right) \\ &+ F_{\mathrm{BE}}(0,0,1,0,1,1,0) \cdot \left(4\right) \\ &+ F_{\mathrm{BE}}(0,0,1,1,0,1,0) \cdot \left(-10 + \frac{8}{d-2} + 4d - \frac{1}{2}d^2\right) \\ &+ F_{\mathrm{BE}}(0,0,1,1,1,0,0) \cdot \left(-4\right) \\ &+ F_{\mathrm{BE}}(0,0,1,1,1,1,0) \cdot \left(\left(26 - \frac{8}{d-2} - 6d + \frac{1}{2}d^2\right)z\right) \\ &+ F_{\mathrm{BE}}(0,0,1,1,1,1,1) \cdot \left(-2\right) \\ &+ F_{\mathrm{BE}}(0,1,0,0,1,1,0) \cdot \left(-22 + \frac{8}{d-2} + 6d - \frac{1}{2}d^2\right) \\ &+ F_{\mathrm{BE}}(0,1,0,1,1,1,1) \cdot \left(2 - d\right) \\ &+ F_{\mathrm{BE}}(0,1,0,1,1,1,1,0) \cdot \left(10 - \frac{8}{d-2} - 4d + \frac{1}{2}d^2\right) \\ &+ F_{\mathrm{BE}}(0,1,1,0,0,1,0) \cdot \left(4\right) \\ &+ F_{\mathrm{BE}}(0,1,1,0,1,0,0) \cdot \left(4\right) \end{split}$$

$$\begin{split} &+F_{\mathrm{BE}}(0,1,1,0,1,1,1) \cdot \left(-22 + \frac{16}{d-2} + 6d - \frac{1}{2}d^2\right) \\ &+F_{\mathrm{BE}}(0,1,1,0,1,0) \cdot \left(26 - \frac{8}{d-2} - 8d + \frac{1}{2}d^2 + \left(10 - \frac{8}{d-2} - 4d + \frac{1}{2}d^2\right)z\right) \\ &+F_{\mathrm{BE}}(0,1,1,1,0,1,1) \cdot \left(d\right) \\ &+F_{\mathrm{BE}}(0,1,1,1,1,0,0) \cdot \left(-22 + \frac{8}{d-2} + 6d - \frac{1}{2}d^2 + 4z\right) \\ &+F_{\mathrm{BE}}(0,1,1,1,1,0,1) \cdot \left(-2\right) \\ &+F_{\mathrm{BE}}(0,1,1,1,1,1,0) \cdot \left(\left(22 - \frac{8}{d-2} - 6d + \frac{1}{2}d^2\right)z + \left(-26 + \frac{8}{d-2} + 6d - \frac{1}{2}d^2\right)z^2\right) \\ &+F_{\mathrm{BE}}(0,1,1,1,1,1,1,1) \cdot \left(-2 + d + \left(-20 + \frac{16}{d-2} + 5d - \frac{1}{2}d^2\right)z\right) \\ &+F_{\mathrm{BE}}(0,1,1,1,1,1,0) \cdot \left(-2\right) \\ &+F_{\mathrm{BE}}(1,-1,0,1,1,1,0) \cdot \left(-2\right) \\ &+F_{\mathrm{BE}}(1,-1,1,1,1,1,0) \cdot \left(-2\right) \\ &+F_{\mathrm{BE}}(1,-1,1,1,1,1,0) \cdot \left(-2d\right) \\ &+F_{\mathrm{BE}}(1,0,0,1,1,0) \cdot \left(-6+2d\right) \\ &+F_{\mathrm{BE}}(1,0,0,1,1,0,0) \cdot \left(2\right) \\ &+F_{\mathrm{BE}}(1,0,0,1,1,1,0) \cdot \left(2-d\right) \\ &+F_{\mathrm{BE}}(1,0,0,1,1,1,0) \cdot \left(2-d\right) \\ &+F_{\mathrm{BE}}(1,0,0,1,1,1,1) \cdot \left(2-d\right) \\ &+F_{\mathrm{BE}}(1,0,1,1,1,1,0) \cdot \left(2-d\right) \\ &+F_{\mathrm{BE}}(1,0,1,0,1,1,0) \cdot \left(4-d\right) \\ &+F_{\mathrm{BE}}(1,0,1,0,1,1,0) \cdot \left(2-\frac{8}{d-2}\right) \\ &+F_{\mathrm{BE}}(1,0,1,0,1,1,0) \cdot \left(2-\frac{8}{d-2}\right) \\ &+F_{\mathrm{BE}}(1,0,1,0,1,1,0) \cdot \left(2-\frac{8}{d-2}\right) \\ &+F_{\mathrm{BE}}(1,0,1,1,1,0,0) \cdot \left(2-\frac{8}{d-2}\right) \\ &+F_{\mathrm{BE}}(1,0,1,1,1,0,0) \cdot \left(2-\frac{8}{d-2}\right) \\ &+F_{\mathrm{BE}}(1,0,1,1,1,1,0) \cdot \left(4-d\right) \\ &+F_{\mathrm{BE}}(1,0,1,1,1,1,0,0) \cdot \left(2-\frac{8}{d-2}\right) \\ &+F_{\mathrm{BE}}(1,0,1,1,1,0,0) \cdot \left(2-\frac{8}{d-2}\right) \\ &+F_{\mathrm{BE}}(1,0,1,1,1,0,0) \cdot \left(2-\frac{4}{d-2}\right) \\ &+F_{\mathrm{BE}}(1$$

$$\begin{split} &+F_{\mathrm{BE}}(1,1,0,0,1,0)\cdot(6-2d)\\ &+F_{\mathrm{BE}}(1,1,0,0,1,0)\cdot(-2)\\ &+F_{\mathrm{BE}}(1,1,0,0,1,1,0)\cdot(-48+\frac{16}{d-2}+14d-d^2+(28-\frac{16}{d-2}-2d)z)\\ &+F_{\mathrm{BE}}(1,1,0,0,1,1,1)\cdot(-8+2d)\\ &+F_{\mathrm{BE}}(1,1,0,1,0,1,0)\cdot(2-d+d+(6-2d)z)\\ &+F_{\mathrm{BE}}(1,1,0,1,1,0,0)\cdot(2-d-2z)\\ &+F_{\mathrm{BE}}(1,1,0,1,1,1,0)\cdot((-48+\frac{16}{d-2}+14d-d^2)z+(12-\frac{8}{d-2})z^2)\\ &+F_{\mathrm{BE}}(1,1,0,1,1,1,1)\cdot(4-2d+(-8+2d)z)\\ &+F_{\mathrm{BE}}(1,1,0,1,1,1,1)\cdot(4-2d+(-8+2d)z)\\ &+F_{\mathrm{BE}}(1,1,1,-2,1,0,0)\cdot(-4)\\ &+F_{\mathrm{BE}}(1,1,1,-1,1,0,0)\cdot(-4+\frac{8}{d-2})\\ &+F_{\mathrm{BE}}(1,1,1,-1,1,1,0)\cdot(-16+\frac{8}{d-2}+2d+(28-\frac{8}{d-2}-2d)z)\\ &+F_{\mathrm{BE}}(1,1,1,-1,1,1,0)\cdot(-4+d)\\ &+F_{\mathrm{BE}}(1,1,1,0,0,0,0)\cdot(2)\\ &+F_{\mathrm{BE}}(1,1,1,0,0,0,0)\cdot(2)\\ &+F_{\mathrm{BE}}(1,1,1,0,0,1,1)\cdot(6-2d)\\ &+F_{\mathrm{BE}}(1,1,1,0,1,1,0)\cdot(-2+d+(-80+\frac{32}{d-2}+18d-d^2)z+(42-\frac{16}{d-2}-3d)z^2)\\ &+F_{\mathrm{BE}}(1,1,1,0,1,1,0)\cdot(-2+d+(-8-\frac{16}{d-2}+2d)z)\\ &+F_{\mathrm{BE}}(1,1,1,0,1,1,0)\cdot(-2+d+(-8-\frac{16}{d-2}+2d)z)\\ &+F_{\mathrm{BE}}(1,1,1,0,1,1,0)\cdot(2-2+d)\\ &+F_{\mathrm{BE}}(1,1,1,1,0,1,0)\cdot(2-d+(-8-\frac{16}{d-2}+2d)z)\\ &+F_{\mathrm{BE}}(1,1,1,1,1,0,1)\cdot(-2+d+(-8-\frac{16}{d-2}+2d)z)\\ &+F_{\mathrm{BE}}(1,1,1,1,1,0,1)\cdot(-2+d+(-8-\frac{16}{d-2}-2d)z)\\ &+F_{\mathrm{BE}}(1,1,1,1,1,0,1)\cdot(-2+d+(2-\frac{16}{d-2}-2d)z)\\ &+F_{\mathrm{BE}}(1,1,1,1,1,0,1)\cdot(-2+d+(2-\frac{16}{d-2}-2d)z)\\ &+F_{\mathrm{BE}}(1,1,1,1,1,0,1)\cdot(-2+d+(2-\frac{16}{d-2}-2d)z)\\ &+F_{\mathrm{BE}}(1,1,1,1,1,0,1)\cdot(-2+d+(2-\frac{16}{d-2}-2d)z)\\ &+F_{\mathrm{BE}}(1,1,1,1,1,1,0,1)\cdot(-2+d+(2-\frac{16}{d-2}-2d)z)\\ &+F_{\mathrm{BE}}(1,1,1,1,1,1,0,1)\cdot(-2+d+(2-\frac{16}{d-2}-2d)z)\\ &+F_{\mathrm{BE}}(1,1,1,1,1,1,0,1)\cdot(-2+d+(2-\frac{16}{d-2}-2d)z)\\ &+F_{\mathrm{BE}}(1,1,1,1,1,1,0,1)\cdot(-2+d+(2-\frac{16}{d-2}-2d)z)\\ &+F_{\mathrm{BE}}(1,1,1,1,1,1,1,1$$

$$+F_{\text{BE}}(1,1,1,1,1,1,2) \cdot ((-2+d)z)$$
. (D.5)

Ergebnisse der skalaren Integrale in führender Ordnung in $z=M^2/Q^2$:

$$\begin{split} F_{\mathrm{BE}}(-1,1,1,1,1,1,1) &= \frac{47}{16} + \frac{1}{4\varepsilon^2} + \frac{1}{8\varepsilon} - \frac{11}{4}\mathcal{L} + \frac{3}{4}\mathcal{L}^2 + \frac{5}{24}\pi^2, \\ F_{\mathrm{BE}}(0,0,1,1,1,1,0) &= \frac{7}{2} + \frac{1}{2\varepsilon^2} + \frac{3}{2\varepsilon} - \frac{1}{12}\pi^2, \\ F_{\mathrm{BE}}(0,0,1,1,1,1,1) &= \frac{7}{16} + \frac{1}{4\varepsilon^2} + \frac{3}{8\varepsilon} + \frac{1}{24}\pi^2, \\ F_{\mathrm{BE}}(0,1,0,1,1,1,0) &= \frac{7}{2} + \frac{1}{2\varepsilon^2} + \frac{3}{2\varepsilon} + \frac{1}{4}\pi^2, \\ F_{\mathrm{BE}}(0,1,1,-1,1,1,0) &= -\frac{7}{32} + \frac{1}{8\varepsilon^2} + \frac{3}{16\varepsilon} + \frac{3}{8}\mathcal{L} - \frac{1}{8}\mathcal{L}^2 + \frac{1}{48}\pi^2, \\ F_{\mathrm{BE}}(0,1,1,0,1,0,1,0) &= \frac{13}{3} + \frac{1}{4\varepsilon} - \frac{1}{2}\mathcal{L}, \\ F_{\mathrm{BE}}(0,1,1,0,1,1,0) &= \frac{5}{2} + \frac{1}{2\varepsilon^2} + \frac{3}{2\varepsilon} + \mathcal{L} - \frac{1}{2}\mathcal{L}^2 + \frac{1}{12}\pi^2, \\ F_{\mathrm{BE}}(0,1,1,0,1,1,0) &= \frac{5}{2} + \frac{1}{2\varepsilon^2} + \frac{3}{8\varepsilon} + \frac{3}{4}\mathcal{L} - \frac{1}{4}\mathcal{L}^2 + \frac{1}{24}\pi^2, \\ F_{\mathrm{BE}}(0,1,1,0,1,1) &= -\frac{7}{16} + \frac{1}{4\varepsilon^2} + \frac{3}{8\varepsilon} + \frac{3}{4}\mathcal{L} - \frac{1}{4}\mathcal{L}^2 + \frac{1}{24}\pi^2, \\ F_{\mathrm{BE}}(0,1,1,0,1,0,0) &= \frac{5}{2} + \frac{1}{2\varepsilon^2} + \frac{3}{8\varepsilon} + \mathcal{L} - \frac{1}{2}\mathcal{L}^2 - \frac{1}{12}\pi^2, \\ F_{\mathrm{BE}}(0,1,1,0,0,0) &= \frac{5}{2} + \frac{1}{2\varepsilon^2} + \frac{3}{8\varepsilon} + \frac{1}{4}\mathcal{L} - \frac{1}{4}\mathcal{L}^2 + \frac{1}{24}\pi^2, \\ F_{\mathrm{BE}}(0,1,1,0,0,0) &= \frac{3}{16} + \frac{1}{4\varepsilon^2} + \frac{7}{8\varepsilon} + \frac{1}{4}\mathcal{L} - \frac{1}{4}\mathcal{L}^2 - \frac{1}{24}\pi^2, \\ F_{\mathrm{BE}}(0,1,1,1,0,0) &= \frac{3}{8}\mathcal{L}^4 - \frac{1}{4}\pi^2\mathcal{L}^2 - \frac{1}{30}\pi^4 - \zeta_3\mathcal{L}, \\ F_{\mathrm{BE}}(0,1,1,1,1,1,0) &= -\frac{1}{8}\mathcal{L}^4 - \frac{1}{4}\pi^2\mathcal{L}^2 - \frac{1}{30}\pi^4 - \zeta_3\mathcal{L}, \\ F_{\mathrm{BE}}(0,1,1,1,1,1,0) &= -\frac{1}{8}\mathcal{L}^4 - \frac{1}{4}\varepsilon^2 - \frac{7}{8\varepsilon} + \frac{1}{8}\pi^2 + \mathcal{L}(-1 - \frac{1}{12}\pi^2) - \frac{3}{2}\zeta_3, \\ F_{\mathrm{BE}}(1,-1,0,1,1,0,0) &= -\frac{3}{16} - \frac{1}{4\varepsilon^2} - \frac{7}{8\varepsilon} - \frac{1}{8}\pi^2, \\ F_{\mathrm{BE}}(1,-1,1,1,1,0,0) &= \frac{7}{2} + \frac{1}{2\varepsilon^2} + \frac{3}{2\varepsilon} + \frac{1}{4}\pi^2, \\ F_{\mathrm{BE}}(1,0,0,1,1,1,0) &= \frac{7}{2} + \frac{1}{2\varepsilon^2} + \frac{3}{2\varepsilon} + \frac{1}{4}\pi^2, \\ F_{\mathrm{BE}}(1,0,0,1,1,1,0) &= \frac{7}{2} + \frac{1}{2\varepsilon^2} + \frac{3}{2\varepsilon} + \frac{1}{4}\pi^2, \\ F_{\mathrm{BE}}(1,0,1,0,1,1,0) &= \frac{9}{2} + \frac{1}{2\varepsilon^2} + \frac{3}{2\varepsilon} + \frac{1}{4}\pi^2, \\ F_{\mathrm{BE}}(1,0,1,1,0,1,0) &= \frac{3}{2} + \frac{1}{2\varepsilon^2} + \frac{3}{2\varepsilon} + \frac{1}{4}\pi^2, \\ F_{\mathrm{BE}}(1,0,1,1,1,0,0) &= \frac{3}{3} + \frac{1}{2\varepsilon^2} + \frac{3}{2\varepsilon} + \frac{1}{4}\pi^2, \\ F_{\mathrm{BE}}(1,0,1,1,1,0,0) &= \frac{3}{3} + \frac{1}{2\varepsilon^2} + \frac{3}{2\varepsilon} + \frac{1$$

$$\begin{split} F_{\text{BE}}(1,1,0,0,1,1,1) &= \frac{63}{32} + \frac{1}{8c^2} + \left(\frac{9}{16} - \frac{1}{4}\mathcal{L}\right)\frac{1}{z} - \frac{9}{8}\mathcal{L} + \frac{1}{4}\mathcal{L}^2 + \frac{1}{48}\pi^2, \\ F_{\text{BE}}(1,1,0,1,1,1,0) &= -\mathcal{L}^2 + \frac{1}{3}\mathcal{L}^3 - \frac{2}{3}\pi^2 - \frac{1}{6}\pi^2\mathcal{L} + \left(-\frac{1}{2}\mathcal{L}^2 - \frac{1}{3}\pi^2\right)\frac{1}{\varepsilon} + \zeta_3, \\ F_{\text{BE}}(1,1,0,1,1,1,1) &= 3 + \left(\frac{1}{2} - \frac{1}{2}\mathcal{L}\right)\frac{1}{\varepsilon} - \frac{5}{2}\mathcal{L} + \frac{1}{2}\mathcal{L}^2 - \frac{1}{12}\pi^2, \\ F_{\text{BE}}(1,1,1,-2,1,1,0) &= \frac{59}{32} + \frac{3}{8c^2} + \frac{17}{16\varepsilon} - \frac{3}{8}\mathcal{L}^2 + \frac{5}{48}\pi^2 + \mathcal{L}\left(\frac{5}{8} - \frac{1}{12}\pi^2\right) - \zeta_3, \\ F_{\text{BE}}(1,1,1,-1,0,1,0) &= \frac{89}{16} + \frac{1}{4\varepsilon^2} + \left(\frac{11}{8} - \frac{1}{2}\mathcal{L}\right)\frac{1}{\varepsilon} - \frac{11}{4}\mathcal{L} + \frac{1}{2}\mathcal{L}^2 - \frac{1}{24}\pi^2, \\ F_{\text{BE}}(1,1,1,-1,1,0,0) &= \frac{7}{2} + \frac{1}{2\varepsilon^2} + \left(\frac{3}{2} - \frac{1}{2}\mathcal{L}\right)\frac{1}{\varepsilon} - \frac{3}{2}\mathcal{L} + \frac{1}{4}\mathcal{L}^2, \\ F_{\text{BE}}(1,1,1,-1,1,1,0) &= \frac{5}{2} + \frac{1}{2\varepsilon^2} + \frac{3}{2\varepsilon} - \frac{1}{2}\mathcal{L}^2 + \frac{1}{4\pi^2} + \mathcal{L}\left(1 - \frac{1}{6}\pi^2\right) - 2\zeta_3, \\ F_{\text{BE}}(1,1,1,0,1,1,0) &= \frac{5}{32} + \frac{1}{8\varepsilon^2} + \left(\frac{9}{16} - \frac{1}{4}\mathcal{L}\right)\frac{1}{\varepsilon} - \frac{9}{8}\mathcal{L} + \frac{1}{4}\mathcal{L}^2, \\ F_{\text{BE}}(1,1,1,0,1,1,0) &= \frac{63}{32} + \frac{1}{8\varepsilon^2} + \left(\frac{9}{16} - \frac{1}{4}\mathcal{L}\right)\frac{1}{\varepsilon} - \frac{9}{8}\mathcal{L} + \frac{1}{4}\mathcal{L}^2 - \frac{1}{48}\pi^2, \\ F_{\text{BE}}(1,1,1,0,0,1,0) &= \frac{19}{2} + \frac{1}{2\varepsilon^2} + \left(\frac{5}{2} - \mathcal{L}\right)\frac{1}{\varepsilon} - 5\mathcal{L} + \mathcal{L}^2 - \frac{1}{12}\pi^2, \\ F_{\text{BE}}(1,1,1,0,1,0,0) &= \frac{19}{2} + \frac{1}{2\varepsilon^2} + \left(\frac{5}{2} - \mathcal{L}\right)\frac{1}{\varepsilon} - 5\mathcal{L} + \mathcal{L}^2 - \frac{1}{12}\pi^2, \\ F_{\text{BE}}(1,1,1,0,1,0,0) &= 7 + \frac{1}{\varepsilon^2} + \left(3 - \mathcal{L}\right)\frac{1}{\varepsilon} - 3\mathcal{L} + \frac{1}{2}\mathcal{L}^2, \\ F_{\text{BE}}(1,1,1,0,1,0,0) &= 7 + \frac{1}{\varepsilon^2} + \left(3 - \mathcal{L}\right)\frac{1}{\varepsilon} - 3\mathcal{L} + \frac{1}{2}\mathcal{L}^2, \\ F_{\text{BE}}(1,1,1,0,1,1,0) &= \frac{1}{12\pi^2}\mathcal{L}^2 - \frac{1}{180}\pi^4 + \mathcal{L}^2\left(\frac{1}{2} - \frac{1}{12}\pi^2\right) + \mathcal{L}\left(-2 + \frac{1}{3}\pi^2 - 2\zeta_3\right) \\ &+ 4\zeta_3, \\ F_{\text{BE}}(1,1,1,0,1,1,1) &= 3 - \frac{1}{3}\pi^2 - \frac{1}{180}\pi^4 + \mathcal{L}^2\left(\frac{1}{2} - \frac{1}{12}\pi^2\right) + \mathcal{L}\left(-\frac{13}{4} + \frac{1}{2}\pi^2 - 2\zeta_3\right) \\ &+ 6\zeta_3, \\ F_{\text{BE}}(1,1,1,1,0,1,0) &= -\mathcal{L}^2 + \frac{1}{2}\mathcal{L}^3 - \frac{1}{3}\pi^3 + \left(-\frac{1}{2}\mathcal{L} - \frac{1}{3}\pi^3\right)\frac{1}{\varepsilon} + 4\zeta_3, \\ F_{\text{BE}}(1,1,1,1,0,1,0) &= -\frac{1}{2}\mathcal{L}^2 + \frac{1}{\varepsilon^2}\mathcal{L}^3 - \frac{1}{3}\pi^2 + \left(-\frac{1}{2}\mathcal{L}$$

Alle sechs skalaren Integrale der Form $F_{\text{BE}}(1, n_2, 1, 1, 1, 1, n_7)$ sind proportional zu 1/z, d.h. ihr führender Beitrag ist von der Ordnung $(M^2/Q^2)^{-1}$. Diese Singularität in M^2 wird allerdings durch den jeweiligen Vorfaktor in der Zerlegung kompensiert.

D.1.4 Vertexdiagramm mit Fermion-Selbstenergie

Zerlegung in skalare Integrale (3.51):

$$\begin{split} F_{v,\text{fc}} &= C_F^2 \left(\frac{\alpha}{4\pi}\right)^2 i^2 \left(\frac{\mu^2}{M^2}\right)^{2\varepsilon} S_\varepsilon^2 \left\{ \right. \\ &\left. F_{\text{fc}}(0,0,1,1,1) \cdot (-2+d) \right. \\ &\left. + F_{\text{fc}}(0,1,0,1,1) \cdot (2-d) \right. \\ &\left. + F_{\text{fc}}(0,1,1,0,1) \cdot (-2+d) \right. \\ &\left. + F_{\text{fc}}(0,1,1,1,0) \cdot (2-d) \right. \\ &\left. + F_{\text{fc}}(0,1,1,1,1) \cdot (-2+d+(4-2d)z) \right. \\ &\left. + F_{\text{fc}}(0,2,0,0,1) \cdot (2-d) \right. \\ &\left. + F_{\text{fc}}(0,2,0,1,0) \cdot (-2+d) \right. \\ &\left. + F_{\text{fc}}(0,2,0,1,0) \cdot (-2+d) \right. \\ &\left. + F_{\text{fc}}(0,2,0,1,1) \cdot ((-2+d)z) \right. \\ &\left. + F_{\text{fc}}(0,2,1,1,0) \cdot (2-d+(-2+d)z) \right. \\ &\left. + F_{\text{fc}}(0,2,1,1,1) \cdot ((2-d)z+(-2+d)z^2) \right. \\ &\left. + F_{\text{fc}}(1,0,0,1,1) \cdot (2-d) \right. \\ &\left. + F_{\text{fc}}(1,0,1,1,1) \cdot (-2+d+(2-d)z) \right. \\ &\left. + F_{\text{fc}}(1,1,-1,1,1) \cdot (-2+d) \right. \\ &\left. + F_{\text{fc}}(1,1,0,0,1) \cdot (2-d) \right. \\ &\left. + F_{\text{fc}}(1,1,0,1,1) \cdot (8-5d+\frac{1}{2}d^2+(-6+3d)z) \right. \\ &\left. + F_{\text{fc}}(1,1,1,1,0) \cdot (-2+d+(2-d)z) \right. \\ &\left. + F_{\text{fc}}(1,1,1,1,1) \cdot (-2+d+(2-d)z) \right. \\ &\left. + F_{\text{fc}}(1,1,1,1,1) \cdot (-2+d+(10-6d+\frac{1}{2}d^2)z+(-4+2d)z^2) \right. \\ &\left. + F_{\text{fc}}(1,2,-1,0,1) \cdot (-2+d) \right. \\ &\left. + F_{\text{fc}}(1,2,-1,1,1) \cdot ((2-d)z) \right. \\ &\left. + F_{\text{fc}}(1,2,0,0,1) \cdot (8-5d+\frac{1}{2}d^2+(-4+2d)z) \right. \\ &\left. + F_{\text{fc}}(1,2,0,1,0) \cdot (-8+5d-\frac{1}{2}d^2)z+(4-2d)z^2 \right. \\ &\left. + F_{\text{fc}}(1,2,0,1,1) \cdot ((-8+5d-\frac{1}{2}d^2)z+(4-2d)z^2) \right. \\ &\left. + F_{\text{fc}}(1,2,1,0,1) \cdot (-2+d+(8-5d+\frac{1}{2}d^2)z+(-2+d)z^2) \right. \\ &\left. + F_{\text{fc}}(1,2,1,0,1) \cdot (-2+d+(8-5d-\frac{1}{2}d^2)z+(2-d)z^2 \right) \right. \\ &\left. + F_{\text{fc}}(1,2,1,1,0) \cdot (2-d+(-8+5d-\frac{1}{2}d^2)z+(2-d)z^2 \right) \right. \\ \\ &\left. + F_{\text{fc}}(1,2,1,1,0) \cdot (2-d+(-8+5d-\frac{1}{2}d^2)z+(2-d)z^2 \right) \right. \\ \\ \left. + F_{\text{fc}}(1,2,1,1,0) \cdot (2-d+(-8+5d-\frac{1}{2}d^2)z+(2-d)z^2 \right) \right. \\ \\ \left. + F_{\text{fc}}(1,2,1,1,0) \cdot (2-d+(-8+5d-\frac{1}{2}d^2)z+(2-d)z^2 \right) \right. \\ \\ \left. + F_{\text{fc}}(1,2,1,1,0) \cdot ($$

$$+F_{\rm fc}(1,2,1,1,1) \cdot \left((2-d)z + (-8+5d-\frac{1}{2}d^2)z^2 + (2-d)z^3 \right)$$
 (D.7)

Ergebnisse der skalaren Integrale in führender Ordnung in $z = M^2/Q^2$:

$$\begin{split} F_{\rm fc}(0,1,1,1,1) &= \frac{7}{2} + \frac{1}{2\varepsilon^2} + \frac{3}{2\varepsilon} - \frac{1}{12}\pi^2 \,, \\ F_{\rm fc}(0,2,0,1,1) &= -\frac{1}{2} - \frac{1}{2\varepsilon^2} - \frac{1}{2\varepsilon} - \frac{1}{4}\pi^2 \,, \\ F_{\rm fc}(0,2,1,0,1) &= 3 + \frac{1}{\varepsilon^2} + \frac{2}{\varepsilon} + \frac{1}{6}\pi^2 \,, \\ F_{\rm fc}(0,2,1,1,1) &= \left(4 + \frac{1}{\varepsilon^2} + \frac{2}{\varepsilon} + \frac{1}{6}\pi^2\right)/z \,, \\ F_{\rm fc}(1,0,0,1,1) &= \frac{13}{8} + \frac{1}{4\varepsilon} - \frac{1}{2}\mathcal{L} \,, \\ F_{\rm fc}(1,0,1,1,1) &= \frac{5}{2} + \frac{1}{2\varepsilon^2} + \frac{3}{2\varepsilon} + \mathcal{L} - \frac{1}{2}\mathcal{L}^2 - \frac{1}{12}\pi^2 \,, \\ F_{\rm fc}(1,1,-1,1,1) &= \frac{89}{16} + \frac{1}{4\varepsilon^2} + \left(\frac{11}{8} - \frac{1}{2}\mathcal{L}\right)\frac{1}{\varepsilon} - \frac{11}{4}\mathcal{L} + \frac{1}{2}\mathcal{L}^2 - \frac{1}{24}\pi^2 \,, \\ F_{\rm fc}(1,1,0,1,1) &= \frac{19}{2} + \frac{1}{2\varepsilon^2} + \left(\frac{5}{2} - \mathcal{L}\right)\frac{1}{\varepsilon} - 5\mathcal{L} + \mathcal{L}^2 - \frac{1}{12}\pi^2 \,, \\ F_{\rm fc}(1,1,1,1,1) &= -\mathcal{L}^2 + \frac{1}{2}\mathcal{L}^3 - \frac{1}{3}\pi^2 + \left(-\frac{1}{2}\mathcal{L}^2 - \frac{1}{3}\pi^2\right)\frac{1}{\varepsilon} + 4\zeta_3 \,, \\ F_{\rm fc}(1,2,-1,1,1) &= \frac{11}{2} + \frac{1}{2\varepsilon^2} + \left(\frac{3}{2} - \mathcal{L}\right)\frac{1}{\varepsilon} - 3\mathcal{L} + \mathcal{L}^2 - \frac{1}{12}\pi^2 \,, \\ F_{\rm fc}(1,2,0,1,1) &= 2 + \frac{1}{\varepsilon^2} + \left(1 - \mathcal{L}\right)\frac{1}{\varepsilon} - \mathcal{L} + \mathcal{L}^2 + \frac{1}{6}\pi^2 \,, \\ F_{\rm fc}(1,2,1,0,1) &= -1 - \frac{1}{\varepsilon^2} - \frac{1}{\varepsilon} - \frac{1}{6}\pi^2 \,, \\ F_{\rm fc}(1,2,1,1,1) &= \left(-\frac{3}{2} - \frac{1}{\varepsilon^2} - \frac{1}{\varepsilon} - \frac{1}{3}\pi^2\right)/z \,. \end{split} \tag{D.8}$$

Die beiden skalaren Integrale der Form $F_{fc}(n_1, 2, 1, 1, 1)$ sind proportional zu 1/z, d.h. ihr führender Beitrag ist von der Ordnung $(M^2/Q^2)^{-1}$. Diese Singularität in M^2 wird jeweils durch den Vorfaktor in der Zerlegung kompensiert.

D.1.5 Selbstenergiekorrektur mit T1-Topologie

Zerlegung der T1-Selbstenergiekorrektur in skalare Integrale (3.66) und (3.67):

$$\Sigma_{\text{T1}} = \left(C_F^2 - \frac{1}{2}C_F C_A\right) \left(\frac{\alpha}{4\pi}\right)^2 i^2 \left(\frac{\mu^2}{M^2}\right)^{2\varepsilon} S_{\varepsilon}^2 \left\{ B_{\text{T1}}^0(0, 1, 1, 0, 1) \cdot \left((4 - 3d + \frac{1}{2}d^2)/y\right) + B_{\text{T1}}^0(1, 0, 0, 1, 1) \cdot \left((-8 + 5d - \frac{1}{2}d^2)/y\right) + B_{\text{T1}}^0(1, 0, 1, 0, 1) \cdot \left((4 - 2d)/y\right) + B_{\text{T1}}^0(1, 1, -1, 1, 1) \cdot \left((-4 + 2d)/y\right) + B_{\text{T1}}^0(1, 1, 0, 0, 1) \cdot \left((4 - 2d)/y\right) + B_{\text{T1}}^0(1, 1, 0, 1, 0) \cdot \left((4 - 2d)/y\right) + B_{\text{T1}}^0(1, 1, 0, 1, 1) \cdot \left(4 - 2d + (-24 + 14d - d^2)/y\right) + B_{\text{T1}}^0(1, 1, 0, 0, 1) \cdot \left((-4 + 2d)/y\right)$$

$$+B_{\text{T1}}^{0}(1,1,1,0,1) \cdot \left(-4+2d+(8-4d)/y\right)
+B_{\text{T1}}^{0}(1,1,1,1,0) \cdot \left(4-3d+\frac{1}{2}d^{2}+(4-2d)/y\right)
+B_{\text{T1}}^{0}(1,1,1,1,1) \cdot \left(4-2d+(-12+7d-\frac{1}{2}d^{2})/y\right)
+B_{\text{T1}}^{0}(0,1,1,0,1) \cdot \left(4-3d+\frac{1}{2}d^{2}\right)
+B_{\text{T1}}^{\prime}(1,0,0,1,1) \cdot \left(-8+5d-\frac{1}{2}d^{2}\right)
+B_{\text{T1}}^{\prime}(1,0,1,0,1) \cdot \left(4-2d\right)
+B_{\text{T1}}^{\prime}(1,1,-1,1,1) \cdot \left(-4+2d\right)
+B_{\text{T1}}^{\prime}(1,1,0,1,0) \cdot \left(4-2d\right)
+B_{\text{T1}}^{\prime}(1,1,0,1,1) \cdot \left(-24+14d-d^{2}\right)
+B_{\text{T1}}^{\prime}(1,1,1,0,1) \cdot \left(8-4d\right)
+B_{\text{T1}}^{\prime}(1,1,1,1,0,1) \cdot \left(8-4d\right)
+B_{\text{T1}}^{\prime}(1,1,1,1,1,1) \cdot \left(-12+7d-\frac{1}{2}d^{2}\right) \right\},$$
(D.9)

wobei $y=p^2/M^2$ der infinitesimale Parameter ist, der bei der Projektion (3.61) auftritt. Im Gesamtergebnis fallen die Pole in y heraus.

Ergebnisse der skalaren Integrale:

$$\begin{split} B_{\text{T1}}^{0}(0,1,1,0,1) &= 7 + \frac{1}{\varepsilon^{2}} + \frac{3}{\varepsilon} + \frac{1}{6}\pi^{2} \,, \\ B_{\text{T1}}^{0}(1,0,1,0,1) &= \frac{7}{2} + \frac{1}{2\varepsilon^{2}} + \frac{3}{2\varepsilon} + \frac{1}{4}\pi^{2} \,, \\ B_{\text{T1}}^{0}(1,1,-1,1,1) &= -\frac{7}{2} - \frac{1}{2\varepsilon^{2}} - \frac{3}{2\varepsilon} - \frac{1}{4}\pi^{2} \,, \\ B_{\text{T1}}^{0}(1,1,0,1,1) &= \frac{7}{2} + \frac{1}{2\varepsilon^{2}} + \frac{3}{2\varepsilon} + \frac{1}{4}\pi^{2} \,, \\ B_{\text{T1}}^{0}(1,1,1,0,0) &= 3 + \frac{1}{\varepsilon^{2}} + \frac{2}{\varepsilon} + \frac{1}{6}\pi^{2} \,, \\ B_{\text{T1}}^{0}(1,1,1,0,1) &= \frac{7}{2} + \frac{1}{2\varepsilon^{2}} + \frac{3}{2\varepsilon} - \frac{1}{12}\pi^{2} \,, \\ B_{\text{T1}}^{0}(1,1,1,1,0) &= 3 + \frac{1}{\varepsilon^{2}} + \frac{2}{\varepsilon} + \frac{1}{6}\pi^{2} \,, \\ B_{\text{T1}}^{0}(1,1,1,1,1) &= -\frac{1}{3}\pi^{2} \,, \\ B_{\text{T1}}^{\prime}(1,1,1,1,1) &= \frac{1}{8} - \frac{1}{4\varepsilon} \,, \\ B_{\text{T1}}^{\prime}(1,1,0,1,1) &= \frac{7}{8} + \frac{1}{4\varepsilon} \,, \\ B_{\text{T1}}^{\prime}(1,1,0,1,1) &= \frac{7}{8} + \frac{1}{4\varepsilon} \,, \\ B_{\text{T1}}^{\prime}(1,1,1,0,1) &= \frac{11}{4} + \frac{1}{2\varepsilon} - \frac{1}{6}\pi^{2} \,, \\ B_{\text{T1}}^{\prime}(1,1,1,1,1,1) &= \frac{5}{2} + \frac{1}{\varepsilon} \,, \\ B_{\text{T1}}^{\prime}(1,1,1,1,1,1) &= \frac{5}{2} + \frac{1}{\varepsilon} \,, \\ B_{\text{T1}}^{\prime}(1,1,1,1,1,1,1) &= \frac{11}{8} + \frac{1}{4\varepsilon} - \frac{1}{6}\pi^{2} \,. \end{split}$$
 (D.10)

D.1.6 Selbstenergiekorrektur mit T2-Topologie

Zerlegung der T2-Selbstenergiekorrektur in skalare Integrale B_{T2}^0 und B'_{T2} entsprechend (3.78):

$$\begin{split} & \Sigma_{\text{T2}} = C_F^2 \left(\frac{\alpha}{4\pi}\right)^2 i^2 \left(\frac{\mu^2}{M^2}\right)^{2\varepsilon} S_{\varepsilon}^2 \left\{ \right. \\ & B_{\text{T2}}^0(0,1,1,1) \cdot \left((-1+d-\frac{1}{4}d^2)/y \right) \\ & + B_{\text{T2}}^0(1,0,1,1) \cdot \left((1-d+\frac{1}{4}d^2)/y \right) \\ & + B_{\text{T2}}^0(1,1,0,1) \cdot \left((-1+d-\frac{1}{4}d^2)/y \right) \\ & + B_{\text{T2}}^0(1,1,1,0) \cdot \left((1-d+\frac{1}{4}d^2)/y \right) \\ & + B_{\text{T2}}^0(1,1,1,1) \cdot \left(-1+d-\frac{1}{4}d^2 \right)/y \right) \\ & + B_{\text{T2}}^0(2,0,0,1) \cdot \left((1-d+\frac{1}{4}d^2)/y \right) \\ & + B_{\text{T2}}^0(2,0,0,1) \cdot \left((-1+d-\frac{1}{4}d^2)/y \right) \\ & + B_{\text{T2}}^0(2,0,1,0) \cdot \left((-1+d-\frac{1}{4}d^2)/y \right) \\ & + B_{\text{T2}}^0(2,1,0,1) \cdot \left(-1+d-\frac{1}{4}d^2 + (1-d+\frac{1}{4}d^2)/y \right) \\ & + B_{\text{T2}}^0(2,1,1,0) \cdot \left(1-d+\frac{1}{4}d^2 + (-1+d-\frac{1}{4}d^2)/y \right) \\ & + B_{\text{T2}}^0(2,1,1,1) \cdot \left(1-d+\frac{1}{4}d^2 + (-1+d-\frac{1}{4}d^2)/y \right) \\ & + B_{\text{T2}}^\prime(1,1,1) \cdot \left(1-d+\frac{1}{4}d^2 \right) \\ & + B_{\text{T2}}^\prime(1,1,0,1) \cdot \left(1-d+\frac{1}{4}d^2 \right) \\ & + B_{\text{T2}}^\prime(1,1,1,0) \cdot \left(1-d+\frac{1}{4}d^2 \right) \\ & + B_{\text{T2}}^\prime(2,1,1,0) \cdot \left(1-d+\frac{1}{4}d^2 \right) \\ & + B_{\text{T2}}^\prime(2,0,1,0) \cdot \left(1-d+\frac{1}{4}d^2 \right) \\ & + B_{\text{T2}}^\prime(2,1,0,1) \cdot \left(1-d+\frac{1}{4}d^2 \right) \\ & + B_{\text{T2}}^\prime(2,1,1,0) \cdot \left(1-d+\frac{1}{4}d^2 \right) \\ & + B_{\text{T2}}^\prime(2,1,1,1) \cdot \left(-1+d-\frac{1}{4}d^2 \right) \\ & +$$

mit $y=p^2/M^2$. Ergebnisse der skalaren Integrale:

$$\begin{split} B_{\text{T2}}^0(0,1,1,1) &= 7 + \frac{1}{\varepsilon^2} + \frac{3}{\varepsilon} + \frac{1}{6}\pi^2 \,, \\ B_{\text{T2}}^0(1,0,1,1) &= \frac{7}{2} + \frac{1}{2\varepsilon^2} + \frac{3}{2\varepsilon} + \frac{1}{4}\pi^2 \,, \\ B_{\text{T2}}^0(1,1,0,1) &= 3 + \frac{1}{\varepsilon^2} + \frac{2}{\varepsilon} + \frac{1}{6}\pi^2 \,, \end{split}$$

$$\begin{split} B_{\text{T2}}^{0}(1,1,1,1) &= \frac{7}{2} + \frac{1}{2\varepsilon^{2}} + \frac{3}{2\varepsilon} - \frac{1}{12}\pi^{2} \,, \\ B_{\text{T2}}^{0}(2,0,1,1) &= -\frac{1}{2} - \frac{1}{2\varepsilon^{2}} - \frac{1}{2\varepsilon} - \frac{1}{4}\pi^{2} \,, \\ B_{\text{T2}}^{0}(2,1,0,1) &= 3 + \frac{1}{\varepsilon^{2}} + \frac{2}{\varepsilon} + \frac{1}{6}\pi^{2} \,, \\ B_{\text{T2}}^{0}(2,1,1,1) &= 4 + \frac{1}{\varepsilon^{2}} + \frac{2}{\varepsilon} + \frac{1}{6}\pi^{2} \,, \\ B_{\text{T2}}^{\prime}(0,1,1,1) &= \frac{1}{8} - \frac{1}{4\varepsilon} \,, \\ B_{\text{T2}}^{\prime}(1,1,0,1) &= \frac{5}{4} + \frac{1}{2\varepsilon} \,, \\ B_{\text{T2}}^{\prime}(1,1,1,1) &= \frac{11}{4} + \frac{1}{2\varepsilon} - \frac{1}{6}\pi^{2} \,, \\ B_{\text{T2}}^{\prime}(2,1,0,1) &= \frac{27}{4} + \frac{1}{\varepsilon^{2}} + \frac{7}{2\varepsilon} + \frac{1}{6}\pi^{2} \,, \\ B_{\text{T2}}^{\prime}(2,1,1,1) &= \frac{41}{4} + \frac{1}{\varepsilon^{2}} + \frac{7}{2\varepsilon} - \frac{1}{6}\pi^{2} \,. \end{split} \tag{D.12}$$

D.2 Skalare Integrale der nichtabelschen Beiträge

D.2.1 Nichtabelsches Vertexdiagramm mit Benz-Topologie

Zerlegung in skalare Integrale (4.3):

$$F_{v,\text{BE}C_A} = C_F C_A \left(\frac{\alpha}{4\pi}\right)^2 i^2 \left(\frac{\mu^2}{M^2}\right)^{2\varepsilon} S_{\varepsilon}^2 \left\{ F_{\text{BE}C_A}(-1,0,1,1,1,0) \cdot (2) + F_{\text{BE}C_A}(-1,1,1,0,1,1,0) \cdot (-2) + F_{\text{BE}C_A}(-1,1,1,1,1,1,1,0) \cdot (1-2z) + F_{\text{BE}C_A}(-1,1,1,1,1,1,1,1,0) \cdot (5-\frac{4}{d-2}-\frac{3}{4}d) + F_{\text{BE}C_A}(0,0,0,1,1,1,0) \cdot (4-\frac{4}{d-2}-\frac{3}{4}d) + F_{\text{BE}C_A}(0,0,1,0,1,1,0) \cdot (-2) + F_{\text{BE}C_A}(0,0,1,1,1,0,0) \cdot (-6+\frac{4}{d-2}+\frac{3}{4}d) + F_{\text{BE}C_A}(0,0,1,1,1,1,0,0) \cdot (2+(-10+\frac{4}{d-2}+\frac{3}{4}d)z) + F_{\text{BE}C_A}(0,0,1,1,1,1,1,0) \cdot (2+(-10+\frac{4}{d-2}+\frac{3}{4}d)z) + F_{\text{BE}C_A}(0,1,0,0,1,1,0) \cdot (-4+\frac{4}{d-2}+\frac{3}{4}d) + F_{\text{BE}C_A}(0,1,0,1,1,1,0) \cdot (-2+(-4+\frac{4}{d-2}+\frac{3}{4}d)z) + F_{\text{BE}C_A}(0,1,0,1,1,1,1,0) \cdot (-1+\frac{1}{2}d) + F_{\text{BE}C_A}(0,1,1,0,1,1,0,0,1,0) \cdot (6-\frac{4}{d-2}-\frac{3}{4}d) + F_{\text{BE}C_A}(0,1,1,0,0,1,0) \cdot (6-\frac{4}{d-2}-\frac{3}{4}d) + F_{\text{BE}C_A}(0,1,1,0,0,1,0) \cdot (2)$$

$$\begin{split} &+F_{\mathrm{BECA}}(0,1,1,0,1,1,0) \cdot \left(-3-\frac{4}{d-2}+\frac{1}{4}d+(12-\frac{4}{d-2}-\frac{3}{4}d)z\right) \\ &+F_{\mathrm{BECA}}(0,1,1,0,1,1,1) \cdot \left(-6+\frac{8}{d-2}+\frac{3}{4}d\right) \\ &+F_{\mathrm{BECA}}(0,1,1,1,0,1,0) \cdot \left(6-\frac{4}{d-2}-\frac{3}{4}d+(6-\frac{4}{d-2}-\frac{3}{4}d)z\right) \\ &+F_{\mathrm{BECA}}(0,1,1,1,0,1) \cdot \left(-\frac{1}{2}d\right) \\ &+F_{\mathrm{BECA}}(0,1,1,1,1,0,0) \cdot \left(-6+\frac{4}{d-2}+\frac{3}{4}d+2z\right) \\ &+F_{\mathrm{BECA}}(0,1,1,1,1,0) \cdot \left(1\right) \\ &+F_{\mathrm{BECA}}(0,1,1,1,1,1,0) \cdot \left(1+\left(-3-\frac{4}{d-2}+\frac{1}{4}d\right)z+\left(10-\frac{4}{d-2}-\frac{3}{4}d\right)z^2\right) \\ &+F_{\mathrm{BECA}}(0,1,1,1,1,1,1) \cdot \left(-1+\left(-5+\frac{8}{8-2}+\frac{1}{4}d\right)z\right) \\ &+F_{\mathrm{BECA}}(0,1,1,1,1,1,2) \cdot \left(-1+\frac{1}{2}d\right) \\ &+F_{\mathrm{BECA}}(0,1,1,1,1,1,0) \cdot \left(\frac{3}{2}-\frac{1}{4}d\right) \\ &+F_{\mathrm{BECA}}(0,1,1,1,1,0,1,0) \cdot \left(\frac{3}{2}-\frac{1}{4}d\right) \\ &+F_{\mathrm{BECA}}(1,-1,1,1,0,1,0) \cdot \left(\frac{3}{2}-\frac{1}{4}d\right)z \\ &+F_{\mathrm{BECA}}(1,0,0,1,1,0) \cdot \left(1+\frac{1}{2}d\right) \\ &+F_{\mathrm{BECA}}(1,0,0,1,1,0) \cdot \left(1+\frac{1}{2}d\right) \\ &+F_{\mathrm{BECA}}(1,0,0,1,1,0) \cdot \left(-1\right) \\ &+F_{\mathrm{BECA}}(1,0,0,1,1,1,0) \cdot \left(-3+\frac{1}{2}d+\frac{5}{2}+\frac{4}{d-2}-\frac{5}{4}d\right)z \right) \\ &+F_{\mathrm{BECA}}(1,0,0,1,1,1,0) \cdot \left(-3+\frac{1}{2}d+\frac{5}{2}+\frac{4}{d-2}-\frac{5}{4}d\right)z \\ &+F_{\mathrm{BECA}}(1,0,1,0,1,1,0) \cdot \left(\frac{3}{2}-\frac{1}{d-2}+\frac{1}{4}d\right) \\ &+F_{\mathrm{BECA}}(1,0,1,0,1,1,0) \cdot \left(-\frac{3}{2}+\frac{1}{4}d+\left(\frac{7}{2}-\frac{4}{d-2}+\frac{1}{4}d\right)z\right) \\ &+F_{\mathrm{BECA}}(1,0,1,0,1,1,0) \cdot \left(-\frac{3}{2}-\frac{1}{4}d\right) \\ &+F_{\mathrm{BECA}}(1,0,1,0,1,1,0) \cdot \left(\frac{3}{2}-\frac{1}{4}d\right) \\ &+F_{\mathrm{BECA}}(1,0,1,1,1,1,0) \cdot \left(-\frac{3}{2}-\frac{1}{4}d+\left(\frac{7}{2}-\frac{4}{d-2}+\frac{1}{4}d\right)z\right) \\ &+F_{\mathrm{BECA}}(1,0,1,1,1,1,0) \cdot \left(\frac{3}{2}-\frac{1}{4}d+\left(-\frac{3}{2}-\frac{4}{d-2}+\frac{1}{4}d\right)z\right) \\ &+F_{\mathrm{BECA}}(1,0,1,1,1,0,0) \cdot \left(\frac{1}{2}-\frac{1}{4}d+\frac{3}{2}z\right) \\ &+F_{\mathrm{BECA}}(1,0,1,1,1,0,0) \cdot \left(-\frac{1}{2}-\frac{1}{4}d+\frac{3}{2}z\right) \\ &+F_{\mathrm{BECA}}(1,0,1,1,1,1,0) \cdot \left(-\frac{1}{2}-\frac{1}{4}d+\frac{3}{2}z\right) \\ &+F_{\mathrm{BECA}}(1,0,1,1,1,1,0) \cdot \left(1-\frac{1}{2}d\right) \\$$

mit $z=M^2/Q^2$. In den Ergebnissen der skalaren Integrale sind alle ε -Pole und alle Logarithmen angegeben, es fehlt die nichtlogarithmische, in d=4 Dimensionen endliche Konstante. Nur skalare Integrale, die einen solchen Beitrag liefern, sind aufgelistet:

$$\begin{split} F_{BEC_A}(-1,1,1,0,1,1,0) &= -\frac{1}{8\varepsilon^2} - \frac{7}{16\varepsilon} - \frac{1}{8}\mathcal{L} + \frac{1}{8}\mathcal{L}^2 \,, \\ F_{BEC_A}(-1,1,1,1,1,1,0) &= \frac{1}{2\varepsilon^2} + \frac{3}{2\varepsilon} - \frac{3}{2}\mathcal{L}^2 + \frac{1}{3}\mathcal{L}^3 + \mathcal{L}(3 + \frac{1}{3}\pi^2) \,, \\ F_{BEC_A}(-1,1,1,1,1,1,1) &= \frac{1}{4\varepsilon^2} + \frac{5}{8\varepsilon} - \frac{13}{4}\mathcal{L} + \frac{3}{4}\mathcal{L}^2 \,, \\ F_{BEC_A}(0,0,1,1,1,1,0) &= \frac{1}{2\varepsilon^2} + \frac{3}{2\varepsilon} \,, \\ F_{BEC_A}(0,0,1,1,1,1,0) &= \frac{1}{4\varepsilon^2} + \frac{7}{8\varepsilon} \,, \\ F_{BEC_A}(0,1,0,1,1,1,0) &= \frac{1}{2\varepsilon^2} + \frac{3}{2\varepsilon} \,, \\ F_{BEC_A}(0,1,1,0,0,1,0) &= \frac{1}{4\varepsilon^2} + \frac{7}{16\varepsilon} + \frac{1}{8}\mathcal{L} - \frac{1}{8}\mathcal{L}^2 \,, \\ F_{BEC_A}(0,1,1,0,1,1,0) &= \frac{1}{2\varepsilon^2} + \frac{3}{2\varepsilon} \,, \\ F_{BEC_A}(0,1,1,0,1,1,0) &= \frac{1}{2\varepsilon^2} + \frac{3}{2\varepsilon} + \mathcal{L} - \frac{1}{2}\mathcal{L}^2 \,, \\ F_{BEC_A}(0,1,1,0,1,1,0) &= \frac{1}{2\varepsilon^2} + \frac{3}{2\varepsilon} + \mathcal{L} - \frac{1}{2}\mathcal{L}^2 \,, \\ F_{BEC_A}(0,1,1,0,1,1) &= \frac{1}{4\varepsilon^2} + \frac{7}{8\varepsilon} + \frac{1}{4}\mathcal{L} - \frac{1}{4}\mathcal{L}^2 \,, \\ F_{BEC_A}(0,1,1,1,0,1,1) &= \frac{1}{4\varepsilon^2} + \frac{7}{8\varepsilon} + \frac{1}{4}\mathcal{L} - \frac{1}{4}\mathcal{L}^2 \,, \\ F_{BEC_A}(0,1,1,1,0,1,1) &= \frac{1}{2\varepsilon^2} + \frac{3}{2\varepsilon} + \mathcal{L} - \frac{1}{2}\mathcal{L}^2 \,, \\ F_{BEC_A}(0,1,1,1,0,1,1) &= \frac{1}{2\varepsilon^2} + \frac{2}{6\varepsilon} \,, \\ F_{BEC_A}(0,1,1,1,1,0,0) &= \frac{1}{\varepsilon^2} + \frac{2}{\varepsilon} \,, \\ F_{BEC_A}(0,1,1,1,1,0,1) &= \frac{1}{2\varepsilon^2} + \frac{2}{6\varepsilon} \,, \\ F_{BEC_A}(0,1,1,1,1,1,0) &= -\frac{1}{12}\mathcal{L}^4 - \frac{1}{6}\pi^2\mathcal{L}^2 + \frac{2}{3}\zeta_3\mathcal{L} \,, \\ F_{BEC_A}(0,1,1,1,1,1,0) &= -\frac{1}{4\varepsilon^2} - \frac{1}{6}\mathcal{L}^3 + \mathcal{L}(-\frac{1}{4} - \frac{1}{6}\pi^2) \,, \\ F_{BEC_A}(1,0,1,1,1,1,0) &= -\frac{1}{4\varepsilon^2} - \frac{1}{8\varepsilon} \,, \\ F_{BEC_A}(1,0,0,1,1,1,0) &= -\frac{1}{4\varepsilon^2} + \frac{3}{2\varepsilon} \,, \\ F_{BEC_A}(1,0,0,1,1,1,0) &= -\frac{1}{4\varepsilon^2} + \frac{3}{2\varepsilon} \,, \\ F_{BEC_A}(1,0,1,0,1,1,0) &= \frac{1}{2\varepsilon^2} + \frac{3}{2\varepsilon} \,, \\ F_{BEC_A}(1,0,1,0,1,1,0) &= \frac{1}{2\varepsilon^2} + \frac{3}{2\varepsilon} \,, \\ F_{BEC_A}(1,0,1,0,1,1,0) &= \frac{1}{2\varepsilon^2} + \frac{3}{2\varepsilon} \,, \\ F_{BEC_A}(1,0,1,1,0,1,0) &= \frac{1}{2\varepsilon^2} + \frac{2}{\varepsilon} \,, \\ F_{BEC_A}(1,0,1,1,0,1,0) &= -\frac{1}{4\varepsilon^2} + \frac{2}{\varepsilon} \,, \\ F_{BEC_A}(1,0,1,1,0,0,0) &= -\frac{1}{4\varepsilon^2} + \frac{2}{\varepsilon} \,, \\ F_{BEC_A}(1,0,0,1,1,0,0) &= -\frac{1}{4\varepsilon^2} + \frac{2}{$$

$$\begin{split} F_{BEC_A}(1,1,0,1,1,1,0) &= -\mathcal{L}^2 + \frac{1}{3}\mathcal{L}^3 + \left(-\frac{1}{2}\mathcal{L}^2 - \frac{1}{3}\pi^2\right) \frac{1}{\varepsilon} + 2\sqrt{3}\text{Cl}_2\left(\frac{\pi}{3}\right)\mathcal{L}\,, \\ F_{BEC_A}(1,1,0,1,1,1,1) &= \left(\frac{1}{2} - \frac{1}{2}\mathcal{L}\right) \frac{1}{\varepsilon} - \frac{5}{2}\mathcal{L} + \frac{1}{2}\mathcal{L}^2\,, \\ F_{BEC_A}(1,1,1,-1,0,1,0) &= \frac{1}{4\varepsilon^2} + \left(\frac{11}{8} - \frac{1}{2}\mathcal{L}\right) \frac{1}{\varepsilon} - \frac{11}{4}\mathcal{L} + \frac{1}{2}\mathcal{L}^2\,, \\ F_{BEC_A}(1,1,1,-1,1,0,0) &= \frac{1}{2\varepsilon^2} + \left(\frac{3}{2} - \frac{1}{2}\mathcal{L}\right) \frac{1}{\varepsilon} - \frac{3}{2}\mathcal{L} + \frac{1}{4}\mathcal{L}^2\,, \\ F_{BEC_A}(1,1,1,-1,1,1,0) &= \frac{1}{2\varepsilon^2} + \frac{3}{2\varepsilon} - \frac{1}{2}\mathcal{L}^2 + \mathcal{L}(1 - \frac{1}{6}\pi^2)\,, \\ F_{BEC_A}(1,1,1,-1,1,1,1) &= \frac{1}{4\varepsilon^2} + \frac{9}{8\varepsilon} - \frac{1}{4}\mathcal{L}^2 + \mathcal{L}(\frac{3}{4} - \frac{1}{6}\pi^2)\,, \\ F_{BEC_A}(1,1,1,0,-1,1,0) &= \frac{1}{8\varepsilon^2} + \left(\frac{9}{16} - \frac{1}{4}\mathcal{L}\right) \frac{1}{\varepsilon} - \frac{9}{8}\mathcal{L} + \frac{1}{4}\mathcal{L}^2\,, \\ F_{BEC_A}(1,1,1,0,0,1,0) &= \frac{1}{2\varepsilon^2} + \left(\frac{5}{2} - \mathcal{L}\right) \frac{1}{\varepsilon} - 5\mathcal{L} + \mathcal{L}^2\,, \\ F_{BEC_A}(1,1,1,0,0,1,1) &= \frac{3}{8\varepsilon^2} + \left(\frac{31}{16} - \frac{3}{4}\mathcal{L}\right) \frac{1}{\varepsilon} - \frac{31}{8}\mathcal{L} + \frac{3}{4}\mathcal{L}^2\,, \\ F_{BEC_A}(1,1,1,0,1,0,0) &= \frac{1}{\varepsilon^2} + \left(\frac{7}{4} - \frac{1}{2}\mathcal{L}\right) \frac{1}{\varepsilon} - \frac{7}{4}\mathcal{L} + \frac{1}{4}\mathcal{L}^2\,, \\ F_{BEC_A}(1,1,1,0,1,1,0) &= -\frac{1}{12}\pi^2\mathcal{L}^2 - \zeta_3\mathcal{L}\,, \\ F_{BEC_A}(1,1,1,0,1,1,1) &= \mathcal{L}^2\left(\frac{1}{2} - \frac{1}{12}\pi^2\right) + \mathcal{L}(-2 + \frac{1}{6}\pi^2 - \zeta_3)\,, \\ F_{BEC_A}(1,1,1,0,1,1,2) &= \mathcal{L}^2\left(\frac{5}{8} - \frac{1}{12}\pi^2\right) + \mathcal{L}(-2 + \frac{1}{6}\pi^2 - \zeta_3)\,, \\ F_{BEC_A}(1,1,1,0,1,1) &= -\frac{5}{2}\mathcal{L} + \frac{1}{4}\mathcal{L}^3 + \left(\frac{1}{2} - \frac{1}{2}\mathcal{L} - \frac{1}{4}\mathcal{L}^2 - \frac{1}{6}\pi^2\right) \frac{1}{\varepsilon}\,, \\ F_{BEC_A}(1,1,1,1,0,1,1) &= -\frac{5}{2}\mathcal{L} + \frac{1}{4}\mathcal{L}^3 + \left(\frac{1}{2} - \frac{1}{2}\mathcal{L} - \frac{1}{4}\mathcal{L}^2 - \frac{1}{6}\pi^2\right) \frac{1}{\varepsilon}\,, \\ F_{BEC_A}(1,1,1,1,0,1,1) &= -\frac{5}{2}\mathcal{L} + \frac{1}{4}\mathcal{L}^3 + \left(\frac{1}{2} - \frac{1}{2}\mathcal{L} - \frac{1}{4}\mathcal{L}^2 - \frac{1}{6}\pi^2\right) \frac{1}{\varepsilon}\,, \\ F_{BEC_A}(1,1,1,1,0,1,1) &= -\frac{5}{2}\mathcal{L} + \frac{1}{4}\mathcal{L}^3 + \left(\frac{1}{2} - \frac{1}{2}\mathcal{L} - \frac{1}{4}\mathcal{L}^2 - \frac{1}{6}\pi^2\right) \frac{1}{\varepsilon}\,, \\ F_{BEC_A}(1,1,1,1,0,1,1) &= -\frac{3}{8}\mathcal{L}^2 + \frac{1}{12}\mathcal{L}^3 - \frac{1}{12}\pi^2\mathcal{L} + \left(-\frac{1}{4}\mathcal{L}^2 - \frac{1}{6}\pi^2\right) \frac{1}{\varepsilon}\,, \\ F_{BEC_A}(1,1,1,1,1,0,1) &= -\frac{3}{8}\mathcal{L}^2 + \frac{1}{12}\mathcal{L}^3 - \frac{1}{12}\pi^2\mathcal{L} + \left(-\frac{1}{4}\mathcal{L}^2 - \frac{1}{6}\pi$$

D.2.2 Nichtabelsche Selbstenergiekorrektur mit T1-Topologie

Zerlegung in skalare Integrale $B_{\text{T1}C_4}^0$ und $B'_{\text{T1}C_4}$ entsprechend (4.14):

$$\begin{split} & \Sigma_{\text{T1}} = C_F C_A \left(\frac{\alpha}{4\pi}\right)^2 i^2 \left(\frac{\mu^2}{M^2}\right)^{2\varepsilon} S_{\varepsilon}^2 \left\{ \\ & B_{\text{T1}C_A}^0(0,1,0,1,1) \cdot \left((-1+\frac{1}{2}d)/y\right) \\ & + B_{\text{T1}C_A}^0(1,0,1,0,1) \cdot \left((1-\frac{1}{2}d)/y\right) \\ & + B_{\text{T1}C_A}^0(1,1,-1,1,1) \cdot \left((2-d)/y\right) \\ & + B_{\text{T1}C_A}^0(1,1,0,0,1) \cdot \left((-2+d)/y\right) \\ & + B_{\text{T1}C_A}^0(1,1,0,1,0) \cdot \left((-2+d)/y\right) \\ & + B_{\text{T1}C_A}^0(1,1,0,1,1) \cdot \left(-2+d+(-4+2d)/y\right) \\ & + B_{\text{T1}C_A}^0(1,1,1,0,0) \cdot \left((2-d)/y\right) \end{split}$$

mit $y = p^2/M^2$. Im Gesamtergebnis fallen die Pole in y heraus. Ergebnisse der skalaren Integrale bis $\mathcal{O}(\varepsilon^{-1})$ (nur nichtverschwindende Beiträge):

$$B_{\text{T1}C_A}^{0}(0,1,0,1,1) = \frac{3}{2\varepsilon^{2}} + \frac{9}{2\varepsilon},$$

$$B_{\text{T1}C_A}^{0}(1,0,1,0,1) = \frac{1}{2\varepsilon^{2}} + \frac{3}{2\varepsilon},$$

$$B_{\text{T1}C_A}^{0}(1,1,-1,1,1) = \frac{3}{2\varepsilon^{2}} + \frac{7}{2\varepsilon},$$

$$B_{\text{T1}C_A}^{0}(1,1,0,0,1) = \frac{1}{\varepsilon^{2}} + \frac{2}{\varepsilon},$$

$$B_{\text{T1}C_A}^{0}(1,1,0,1,0) = \frac{1}{\varepsilon^{2}} + \frac{2}{\varepsilon},$$

$$B_{\text{T1}C_A}^{0}(1,1,0,1,1) = \frac{1}{2\varepsilon^{2}} + \frac{3}{2\varepsilon},$$

$$B_{\text{T1}C_A}^{0}(1,1,1,0,1) = \frac{1}{2\varepsilon^{2}} + \frac{3}{2\varepsilon},$$

$$B_{\text{T1}C_A}^{0}(1,1,1,1,0) = \frac{1}{\varepsilon^{2}} + \frac{2}{\varepsilon},$$

$$B_{\text{T1}C_A}^{0}(1,1,1,1,0) = \frac{1}{\varepsilon^{2}} + \frac{2}{\varepsilon},$$

$$B_{\text{T1}C_A}^{\prime}(1,1,0,1,1) = \frac{1}{2\varepsilon},$$

$$B_{\text{T1}C_A}^{\prime}(1,1,0,1,0) = \frac{1}{2\varepsilon},$$

$$B_{\text{T1}C_A}^{\prime}(1,1,0,1,0) = \frac{1}{2\varepsilon},$$

$$B_{\text{T1}C_A}^{\prime}(1,1,0,1,0) = \frac{1}{2\varepsilon},$$

$$B_{\text{T1}C_A}^{\prime}(1,1,1,0,1) = \frac{1}{2\varepsilon},$$

$$B_{\text{T1}C_A}^{\prime}(1,1,1,0,1) = \frac{1}{\varepsilon}.$$
(D.16)

D.2.3 Vertexdiagramme mit Eichboson- oder Geistschleife

Zerlegung in skalare Integrale (4.23):

$$\begin{split} F_{v,WWcc} &= C_F C_A \left(\frac{\alpha}{4\pi}\right)^2 \ i^2 \left(\frac{\mu^2}{M^2}\right)^{2\varepsilon} S_\varepsilon^2 \left\{ \right. \\ &F_{Wc}(0,0,2,0,0,1) \quad \cdot \left(-2 + \frac{2}{d-1}\right) \\ &+ F_{Wc}(0,0,2,0,0,2) \quad \cdot \left(-1 - \frac{1}{d-1} + d\right) \\ &+ F_{Wc}(0,0,2,1,-1,1) \quad \cdot \left(2 - \frac{2}{d-1}\right) \\ &+ F_{Wc}(0,0,2,1,-1,2) \quad \cdot \left(1 + \frac{1}{d-1} - d\right) \\ &+ F_{Wc}(0,0,2,1,0,0) \quad \cdot \left(-6 + \frac{4}{d-1}\right) \\ &+ F_{Wc}(0,0,2,1,0,1) \quad \cdot \left(2 - \frac{2}{d-1}\right) \\ &+ F_{Wc}(0,0,2,1,1,-1) \quad \cdot \left(-3 - \frac{1}{d-1}\right) \\ &+ F_{Wc}(0,0,2,1,1,0) \quad \cdot \left(\frac{3}{2} + \frac{1}{2(d-1)} + \left(-6 + \frac{4}{d-1}\right)z\right) \\ &+ F_{Wc}(0,0,2,1,1,1) \quad \cdot \left(\left(2 - \frac{2}{d-1}\right)z\right) \\ &+ F_{Wc}(1,0,2,0,0,0) \quad \cdot \left(4 - \frac{4}{d-1}\right) \\ &+ F_{Wc}(1,0,2,1,-1,0) \quad \cdot \left(-4 + \frac{4}{d-1}\right) \\ &+ F_{Wc}(1,0,2,1,-1,1) \quad \cdot \left(4 - \frac{4}{d-1}\right) \\ &+ F_{Wc}(1,0,2,1,0,0) \quad \cdot \left(-12 + \frac{8}{d-1}\right) \\ &+ F_{Wc}(1,0,2,1,1,-2) \quad \cdot \left(6 + \frac{2}{d-1}\right) \\ &+ F_{Wc}(1,0,2,1,1,0) \quad \cdot \left(-12 + \frac{8}{d-1}\right)z\right) \\ &+ F_{Wc}(1,1,2,0,0,-1) \quad \cdot \left(-2 + \frac{2}{d-1}\right) \\ &+ F_{Wc}(1,1,2,0,0,0) \quad \cdot \left(9 - \frac{7}{d-1} - d\right) \\ &+ F_{Wc}(1,1,2,1,-1,-1) \cdot \left(2 - \frac{2}{d-1}\right) \\ &+ F_{Wc}(1,1,2,1,-1,1) \quad \cdot \left(2 - \frac{2}{d-1}\right) \\ &+ F_{Wc}(1,1,2,1,-1,1) \quad \cdot \left(2 - \frac{2}{d-1}\right) \\ &+ F_{Wc}(1,1,2,1,-1,1) \quad \cdot \left(2 - \frac{2}{d-1}\right) \\ &+ F_{Wc}(1,1,2,1,0,-2) \quad \cdot \left(-6 + \frac{4}{d-1}\right) \\ &+ F_{Wc}(1,1,2,1,0,0) \quad \cdot \left(-6 + \frac{4}{d-1}$$

$$+F_{\text{Wc}}(1,1,2,1,1,-3) \cdot \left(-3 - \frac{1}{d-1}\right) +F_{\text{Wc}}(1,1,2,1,1,-2) \cdot \left(\frac{23}{2} + \frac{7}{2(d-1)} - \frac{3}{2}d + \left(-6 + \frac{4}{d-1}\right)z\right) +F_{\text{Wc}}(1,1,2,1,1,-1) \cdot \left(-3 - \frac{1}{d-1} + \left(26 - \frac{14}{d-1} - 3d\right)z\right) +F_{\text{Wc}}(1,1,2,1,1,0) \cdot \left(\left(-6 + \frac{4}{d-1}\right)z\right) \right\}.$$
 (D.17)

Die Ergebnisse der skalaren Integrale sind bis auf die nichtlogarithmische Konstante in $\mathcal{O}(\varepsilon^0)$ angegeben (nur nichtverschwindende Beiträge):

$$\begin{split} F_{\text{Wc}}(0,0,2,1,-1,2) &= -\frac{1}{\varepsilon}\,, \\ F_{\text{Wc}}(0,0,2,1,0,1) &= -\frac{1}{\varepsilon}\,, \\ F_{\text{Wc}}(0,0,2,1,1,0) &= \frac{1}{2\varepsilon^2} + \frac{1}{2\varepsilon}\,, \\ F_{\text{Wc}}(0,0,2,1,1,1) &= -\frac{1}{\varepsilon}/z\,, \\ F_{\text{Wc}}(1,0,2,1,-1,1) &= -\frac{1}{\varepsilon}\,, \\ F_{\text{Wc}}(1,0,2,1,0,0) &= -\frac{1}{\varepsilon}\,, \\ F_{\text{Wc}}(1,0,2,1,1,-1) &= \frac{1}{2\varepsilon^2} + \frac{1}{2\varepsilon}\,, \\ F_{\text{Wc}}(1,0,2,1,1,0) &= -\frac{1}{\varepsilon}/z\,, \\ F_{\text{Wc}}(1,1,2,1,-1,1) &= \mathcal{L} + \mathcal{L}_{\frac{1}{\varepsilon}}\,, \\ F_{\text{Wc}}(1,1,2,1,0,0) &= \mathcal{L} + \mathcal{L}_{\frac{1}{\varepsilon}}\,, \\ F_{\text{Wc}}(1,1,2,1,1,-3) &= \frac{1}{4\varepsilon^2} + (\frac{9}{8} - \frac{1}{2}\mathcal{L})\frac{1}{\varepsilon} - \frac{9}{4}\mathcal{L} + \frac{1}{2}\mathcal{L}^2\,, \\ F_{\text{Wc}}(1,1,2,1,1,-2) &= \frac{1}{2\varepsilon^2} + (\frac{5}{2} - \mathcal{L})\frac{1}{\varepsilon} - 5\mathcal{L} + \mathcal{L}^2\,, \\ F_{\text{Wc}}(1,1,2,1,1,-1) &= -\mathcal{L}^2 + \frac{1}{3}\mathcal{L}^3 + (\mathcal{L} - \frac{1}{2}\mathcal{L}^2 - \frac{1}{3}\pi^2)\frac{1}{\varepsilon} + \mathcal{L}(2 + \frac{2}{3}\sqrt{3}\text{Cl}_2(\frac{\pi}{3}))\,, \\ F_{\text{Wc}}(1,1,2,1,1,0) &= \left(\mathcal{L}\frac{1}{\varepsilon} + \mathcal{L}(2 - \frac{4}{3}\sqrt{3}\text{Cl}_2(\frac{\pi}{3}))\right)/z\,. \end{split}$$

Bei den drei Integralen, die proportional zu $1/z = Q^2/M^2$ sind, wird dieser Pol in M^2 durch den jeweiligen Vorfaktor in der Zerlegung (D.17) gekürzt.

D.2.4 Selbstenergiekorrekturen mit Eichboson- oder Geistschleife

Zerlegung in skalare Integrale B_{Wc}^0 und B_{Wc}' entsprechend (4.33):

$$\Sigma_{WWcc} = C_F C_A \left(\frac{\alpha}{4\pi}\right)^2 i^2 \left(\frac{\mu^2}{M^2}\right)^{2\varepsilon} S_{\varepsilon}^2 \left\{ B_{Wc}^0(-1,2,0,0,2) \cdot \left(\left(-\frac{1}{2} - \frac{1}{2(d-1)} + \frac{1}{2}d\right)/y\right) + B_{Wc}^0(-1,2,1,-1,2) \cdot \left(\left(\frac{1}{2} + \frac{1}{2(d-1)} - \frac{1}{2}d\right)/y\right) + B_{Wc}^0(-1,2,1,0,1) \cdot \left(\left(1 - \frac{1}{d-1}\right)/y\right)$$

$$\begin{array}{lll} +B^0_{\mathrm{Wc}}(-1,2,1,1,0) & \cdot \left(\left(\frac{3}{4} + \frac{1}{4(d-1)} \right) / y \right) \\ +B^0_{\mathrm{Wc}}(-1,2,1,1,1) & \cdot \left(\left(1 - \frac{1}{d-1} \right) / y \right) \\ +B^0_{\mathrm{Wc}}(0,2,0,0,1) & \cdot \left(\left(-1 + \frac{1}{d-1} \right) / y \right) \\ +B^0_{\mathrm{Wc}}(0,2,0,0,2) & \cdot \left(1 + \frac{1}{d-1} - d \right) \\ +B^0_{\mathrm{Wc}}(0,2,1,-1,1) & \cdot \left(\left(1 - \frac{1}{d-1} \right) / y \right) \\ +B^0_{\mathrm{Wc}}(0,2,1,-1,2) & \cdot \left(-1 - \frac{1}{d-1} + d \right) \\ +B^0_{\mathrm{Wc}}(0,2,1,0,0) & \cdot \left(\left(-5 + \frac{2}{d-1} + \frac{3}{2} d \right) / y \right) \\ +B^0_{\mathrm{Wc}}(0,2,1,0,1) & \cdot \left(-2 + \frac{2}{d-1} \right) \\ +B^0_{\mathrm{Wc}}(0,2,1,1,-1) & \cdot \left(\left(-2 - \frac{1}{2(d-1)} + \frac{3}{4} d \right) / y \right) \\ +B^0_{\mathrm{Wc}}(0,2,1,1,0) & \cdot \left(-\frac{3}{2} - \frac{1}{2(d-1)} + \left(-5 + \frac{2}{d-1} + \frac{3}{2} d \right) / y \right) \\ +B^0_{\mathrm{Wc}}(0,2,1,1,1) & \cdot \left(-2 + \frac{2}{d-1} \right) \\ +B^0_{\mathrm{Wc}}(1,2,0,0,0) & \cdot \left(\left(\frac{3}{2} - \frac{1}{2(d-1)} + \frac{1}{2} d \right) / y \right) \\ +B^0_{\mathrm{Wc}}(1,2,0,0,1) & \cdot \left(-1 + \frac{1}{d-1} \right) \\ +B^0_{\mathrm{Wc}}(1,2,1,-1,0) & \cdot \left(\left(-\frac{3}{2} + \frac{1}{2(d-1)} + \frac{1}{2} d \right) / y \right) \\ +B^0_{\mathrm{Wc}}(1,2,1,0,0) & \cdot \left(-5 + \frac{2}{d-1} + \frac{3}{2} d \right) / y \right) \\ +B^0_{\mathrm{Wc}}(1,2,1,0,0) & \cdot \left(-5 + \frac{2}{d-1} + \frac{3}{2} d \right) \\ +B^0_{\mathrm{Wc}}(1,2,1,1,-1) & \cdot \left(-2 - \frac{1}{2(d-1)} + \frac{3}{4} d + \left(4 - \frac{1}{d-1} - \frac{3}{2} d \right) / y \right) \\ +B^0_{\mathrm{Wc}}(1,2,1,1,0) & \cdot \left(-5 + \frac{2}{d-1} + \frac{3}{2} d \right) \\ +B^0_{\mathrm{Wc}}(1,2,1,1,0) & \cdot \left(-5 + \frac{2}{d-1} + \frac{3}{2} d \right) \\ +B^0_{\mathrm{Wc}}(-1,2,1,0,1) & \cdot \left(1 - \frac{1}{d-1} \right) \\ +B^0_{\mathrm{Wc}}(-1,2,1,1,1) & \cdot \left(1 - \frac{1}{d-1} \right) \\ +B^0_{\mathrm{Wc}}(-1,2,1,1,1) & \cdot \left(1 - \frac{1}{d-1} \right) \\ +B^0_{\mathrm{Wc}}(0,2,1,1,1) & \cdot \left(1 - \frac{1}{d-1} \right) \\ +B^0_{\mathrm{Wc}}(0,2,1,0,0) & \cdot \left(-5 + \frac{2}{d-1} + \frac{3}{2} d \right) \\ +B^0_{\mathrm{Wc}}(0,2,1,0,0) & \cdot \left(-5 + \frac{2}{d-1} + \frac{3}{2} d \right) \\ +B^0_{\mathrm{Wc}}(0,2,1,0,0) & \cdot \left(-5 + \frac{2}{d-1} + \frac{3}{2} d \right) \\ +B^0_{\mathrm{Wc}}(0,2,1,0,0) & \cdot \left(-5 + \frac{2}{d-1} + \frac{3}{2} d \right) \\ +B^0_{\mathrm{Wc}}(0,2,1,0,0) & \cdot \left(-5 + \frac{2}{d-1} + \frac{3}{2} d \right) \\ +B^0_{\mathrm{Wc}}(0,2,1,0,0) & \cdot \left(-5 + \frac{2}{d-1} + \frac{3}{2} d \right) \\ +B^0_{\mathrm{Wc}}(0,2,1,0,0) & \cdot \left(-5 + \frac{2}{d-1} + \frac{3}{2} d \right) \\ +B^0_{\mathrm{Wc}}(0,2,1,0,0) & \cdot \left(-5 + \frac{2}{d-1} + \frac{3}{2} d \right) \\ +B^0_{\mathrm{Wc}}(0,2,0,0) & \cdot \left(\frac{3}{2}$$

$$+B'_{Wc}(1,2,1,-1,0) \cdot \left(-\frac{3}{2} + \frac{1}{2(d-1)} + \frac{1}{2}d\right) +B'_{Wc}(1,2,1,0,-1) \cdot \left(4 - \frac{1}{d-1} - \frac{3}{2}d\right) +B'_{Wc}(1,2,1,1,-2) \cdot \left(\frac{5}{4} + \frac{1}{4(d-1)} - \frac{3}{4}d\right) +B'_{Wc}(1,2,1,1,-1) \cdot \left(4 - \frac{1}{d-1} - \frac{3}{2}d\right)\right\},$$
(D.19)

mit $y = p^2/M^2$. Im Gesamtergebnis fallen die Pole in y heraus. Ergebnisse der skalaren Integrale bis $\mathcal{O}(\varepsilon^{-1})$ (nur nichtverschwindende Beiträge):

$$\begin{split} B^0_{\mathrm{Wc}}(-1,2,1,-1,2) &= \frac{1}{\varepsilon^2} + \frac{1}{\varepsilon} \,, \\ B^0_{\mathrm{Wc}}(-1,2,1,0,1) &= \frac{1}{\varepsilon^2} + \frac{1}{\varepsilon} \,, \\ B^0_{\mathrm{Wc}}(-1,2,1,1,0) &= \frac{2}{\varepsilon^2} + \frac{5}{\varepsilon} \,, \\ B^0_{\mathrm{Wc}}(-1,2,1,1,1) &= \frac{1}{2\varepsilon^2} + \frac{1}{\varepsilon} \,, \\ B^0_{\mathrm{Wc}}(0,2,1,-1,1) &= \frac{1}{\varepsilon^2} + \frac{1}{\varepsilon} \,, \\ B^0_{\mathrm{Wc}}(0,2,1,-1,2) &= -\frac{1}{\varepsilon} \,, \\ B^0_{\mathrm{Wc}}(0,2,1,0,0) &= \frac{1}{\varepsilon^2} + \frac{1}{\varepsilon} \,, \\ B^0_{\mathrm{Wc}}(0,2,1,0,1) &= -\frac{1}{\varepsilon} \,, \\ B^0_{\mathrm{Wc}}(0,2,1,1,-1) &= \frac{2}{\varepsilon^2} + \frac{5}{\varepsilon} \,, \\ B^0_{\mathrm{Wc}}(0,2,1,1,0) &= \frac{1}{2\varepsilon^2} + \frac{1}{\varepsilon} \,, \\ B^0_{\mathrm{Wc}}(0,2,1,1,1) &= -\frac{1}{\varepsilon} \,, \\ B^0_{\mathrm{Wc}}(1,2,1,-1,0) &= \frac{1}{\varepsilon^2} + \frac{1}{\varepsilon} \,, \\ B^0_{\mathrm{Wc}}(1,2,1,-1,1) &= -\frac{1}{\varepsilon} \,, \\ B^0_{\mathrm{Wc}}(1,2,1,0,0) &= -\frac{1}{\varepsilon} \,, \\ B^0_{\mathrm{Wc}}(1,2,1,1,0) &= -\frac{1}{\varepsilon} \,, \\ B^0_{\mathrm{Wc}}(-1,2,1,1,0) &= -\frac{1}{\varepsilon} \,, \\ B^0_{\mathrm{Wc}}(-1,2,1,1,0) &= \frac{1}{2\varepsilon^2} + \frac{1}{2\varepsilon} \,, \\ B^0_{\mathrm{Wc}}(-1,2,1,1,0) &= -\frac{1}{\varepsilon} \,, \\ B^0_{\mathrm{Wc$$

D.2.5 Vertexdiagramme mit Higgs- und Goldstone-Bosonen

Zerlegung der Vertexdiagramme mit Higgs- und Goldstone-Bosonen in skalare Integrale (4.23) für ein SU(2)-Higgs-Modell:

$$F_{v,WH} = \left(\frac{\alpha}{4\pi}\right)^{2} i^{2} \left(\frac{\mu^{2}}{M^{2}}\right)^{2\varepsilon} S_{\varepsilon}^{2} \left\{ F_{Wc}(0,0,2,1,1,0) \cdot \left(\frac{3}{2}z\right) + F_{Wc}(1,0,2,1,1,-1) \cdot \left(-3z\right) + F_{Wc}(1,0,2,1,1,0) \cdot \left(3z\right) + F_{Wc}(1,1,2,1,1,-2) \cdot \left(\frac{3}{2}z\right) + F_{Wc}(1,1,2,1,1,-1) \cdot \left(\left(-6 + \frac{3}{4}d\right)z\right) + F_{Wc}(1,1,2,1,1,0) \cdot \left(\frac{3}{2}z\right) \right\},$$
(D.21)

$$\begin{split} F_{v,H\phi} &= F_{v,\phi\phi} = \left(\frac{\alpha}{4\pi}\right)^2 \ i^2 \left(\frac{\mu^2}{M^2}\right)^{2\varepsilon} S_{\varepsilon}^2 \Big\{ \\ F_{\text{Wc}}(0,0,2,0,0,1) & \cdot \left(-\frac{3}{4(d-1)}\right) \\ &+ F_{\text{Wc}}(0,0,2,0,0,2) & \cdot \left(\frac{3}{8} + \frac{3}{8(d-1)}\right) \\ &+ F_{\text{Wc}}(0,0,2,1,-1,1) & \cdot \left(\frac{3}{4(d-1)}\right) \\ &+ F_{\text{Wc}}(0,0,2,1,-1,2) & \cdot \left(-\frac{3}{8} - \frac{3}{8(d-1)}\right) \\ &+ F_{\text{Wc}}(0,0,2,1,0,0) & \cdot \left(-\frac{3}{2(d-1)}\right) \\ &+ F_{\text{Wc}}(0,0,2,1,0,1) & \cdot \left(\frac{3}{4(d-1)}\right) \\ &+ F_{\text{Wc}}(0,0,2,1,1,-1) & \cdot \left(\frac{3}{8(d-1)}\right) \\ &+ F_{\text{Wc}}(0,0,2,1,1,0) & \cdot \left(-\frac{3}{16(d-1)} - \frac{3}{2(d-1)}z\right) \\ &+ F_{\text{Wc}}(1,0,2,0,0,0) & \cdot \left(\frac{3}{2(d-1)}\right) \\ &+ F_{\text{Wc}}(1,0,2,0,0,1) & \cdot \left(-\frac{3}{2(d-1)}\right) \\ &+ F_{\text{Wc}}(1,0,2,1,-1,0) & \cdot \left(-\frac{3}{2(d-1)}\right) \\ &+ F_{\text{Wc}}(1,0,2,1,0,-1) & \cdot \left(\frac{3}{2(d-1)}\right) \\ &+ F_{\text{Wc}}(1,0,2,1,0,0) & \cdot \left(-\frac{3}{d-1}\right) \\ &+ F_{\text{Wc}}(1,0,2,1,1,-2) & \cdot \left(-\frac{3}{4(d-1)}\right) \\ &+ F_{\text{W$$

$$\begin{split} &+F_{\mathrm{Wc}}(1,0,2,1,1,0) \quad \cdot \left(\frac{-3}{d-1}z\right) \\ &+F_{\mathrm{Wc}}(1,1,2,0,0,-1) \quad \cdot \left(-\frac{3}{4(d-1)}\right) \\ &+F_{\mathrm{Wc}}(1,1,2,0,0,0) \quad \cdot \left(-\frac{3}{8}+\frac{21}{8(d-1)}\right) \\ &+F_{\mathrm{Wc}}(1,1,2,0,0,1) \quad \cdot \left(-\frac{3}{4(d-1)}\right) \\ &+F_{\mathrm{Wc}}(1,1,2,1,-1,-1) \cdot \left(\frac{3}{4(d-1)}\right) \\ &+F_{\mathrm{Wc}}(1,1,2,1,-1,0) \quad \cdot \left(\frac{3}{8}-\frac{21}{8(d-1)}\right) \\ &+F_{\mathrm{Wc}}(1,1,2,1,-1,1) \quad \cdot \left(\frac{3}{4(d-1)}\right) \\ &+F_{\mathrm{Wc}}(1,1,2,1,0,-2) \quad \cdot \left(-\frac{3}{2(d-1)}\right) \\ &+F_{\mathrm{Wc}}(1,1,2,1,0,0) \quad \cdot \left(-\frac{3}{4}+\frac{21}{4(d-1)}\right) \\ &+F_{\mathrm{Wc}}(1,1,2,1,1,-3) \quad \cdot \left(\frac{3}{8(d-1)}\right) \\ &+F_{\mathrm{Wc}}(1,1,2,1,1,-2) \quad \cdot \left(\frac{3}{16}-\frac{21}{16(d-1)}-\frac{3}{2(d-1)}z\right) \\ &+F_{\mathrm{Wc}}(1,1,2,1,1,-1) \quad \cdot \left(\frac{3}{8(d-1)}+\left(-\frac{3}{4}+\frac{21}{4(d-1)}\right)z\right) \\ &+F_{\mathrm{Wc}}(1,1,2,1,1,0) \quad \cdot \left(-\frac{3}{2(d-1)}z\right) \\ &+F_{\mathrm{Wc}}(1,1,2,1,1,0)$$

Die Ergebnisse der skalaren Integrale sind aus Gl. (D.18) bekannt.

D.2.6 Selbstenergiekorrekturen mit Higgs- und Goldstone-Bosonen

Zerlegung der Selbstenergiediagramme mit Higgs- und Goldstone-Bosonen in skalare Integrale B_{Wc}^0 und B_{Wc}' entsprechend (4.33) für ein SU(2)-Higgs-Modell:

$$\Sigma_{WH} = \left(\frac{\alpha}{4\pi}\right)^{2} i^{2} \left(\frac{\mu^{2}}{M^{2}}\right)^{2\varepsilon} S_{\varepsilon}^{2} \left\{ B_{Wc}^{0}(0,2,1,1,0) \cdot \left(\left(\frac{3}{4} - \frac{3}{8}d\right)/y\right) + B_{Wc}^{0}(1,2,1,1,-1) \cdot \left(\left(-\frac{3}{4} + \frac{3}{8}d\right)/y\right) + B_{Wc}^{0}(1,2,1,1,0) \cdot \left(\frac{3}{4} - \frac{3}{8}d\right) + B_{Wc}^{\prime}(0,2,1,1,0) \cdot \left(\frac{3}{4} - \frac{3}{8}d\right) + B_{Wc}^{\prime}(1,2,1,1,-1) \cdot \left(-\frac{3}{4} + \frac{3}{8}d\right) \right\},$$
(D.23)

$$\Sigma_{H\phi} = \Sigma_{\phi\phi} = \left(\frac{\alpha}{4\pi}\right)^2 i^2 \left(\frac{\mu^2}{M^2}\right)^{2\varepsilon} S_{\varepsilon}^2 \left\{$$

$$\begin{split} &B^0_{\text{Wc}}(-1,2,0,0,2) \cdot \left(\left(\frac{3}{3} + \frac{1}{6(d-1)} \right) / y \right) \\ &+ B^0_{\text{Wc}}(-1,2,1,-1,2) \cdot \left(\left(-\frac{3}{16} - \frac{3}{16(d-1)} \right) / y \right) \\ &+ B^0_{\text{Wc}}(-1,2,1,0,1) \cdot \left(\left(-\frac{3}{3(d-1)} \right) / y \right) \\ &+ B^0_{\text{Wc}}(-1,2,1,1,0) \cdot \left(-\frac{3}{3(d-1)} \right) / y \right) \\ &+ B^0_{\text{Wc}}(0,2,1,1,1) \cdot \left(\left(\frac{3}{3(d-1)} \right) / y \right) \\ &+ B^0_{\text{Wc}}(0,2,0,0,1) \cdot \left(-\frac{3}{8(d-1)} \right) / y \right) \\ &+ B^0_{\text{Wc}}(0,2,0,0,2) \cdot \left(-\frac{3}{8} - \frac{3}{8(d-1)} \right) \\ &+ B^0_{\text{Wc}}(0,2,1,-1,1) \cdot \left(\left(\frac{3}{8} - \frac{3}{4(d-1)} \right) / y \right) \\ &+ B^0_{\text{Wc}}(0,2,1,-1,2) \cdot \left(\frac{3}{8} + \frac{3}{8(d-1)} \right) \\ &+ B^0_{\text{Wc}}(0,2,1,0,0) \cdot \left(\left(\frac{3}{8} - \frac{3}{4(d-1)} \right) / y \right) \\ &+ B^0_{\text{Wc}}(0,2,1,0,1) \cdot \left(-\frac{3}{4(d-1)} \right) \\ &+ B^0_{\text{Wc}}(0,2,1,1,0) \cdot \left(\frac{3}{16(d-1)} + \left(\frac{3}{8} - \frac{3}{4(d-1)} \right) / y \right) \\ &+ B^0_{\text{Wc}}(0,2,1,1,0) \cdot \left(-\frac{3}{4(d-1)} \right) \\ &+ B^0_{\text{Wc}}(0,2,1,1,1) \cdot \left(-\frac{3}{4(d-1)} \right) \\ &+ B^0_{\text{Wc}}(1,2,0,0,0) \cdot \left(\left(-\frac{3}{16} + \frac{3}{16(d-1)} \right) / y \right) \\ &+ B^0_{\text{Wc}}(1,2,1,-1,0) \cdot \left(\left(\frac{3}{8} - \frac{3}{4(d-1)} \right) \right) \\ &+ B^0_{\text{Wc}}(1,2,1,-1,1) \cdot \left(-\frac{3}{8(d-1)} \right) \\ &+ B^0_{\text{Wc}}(1,2,1,0,0) \cdot \left(\frac{3}{8} - \frac{3}{4(d-1)} \right) \\ &+ B^0_{\text{Wc}}(1,2,1,1,-1) \cdot \left(-\frac{3}{32} + \frac{3}{16(d-1)} \right) / y \right) \\ &+ B^0_{\text{Wc}}(1,2,1,1,-1) \cdot \left(-\frac{3}{32} + \frac{3}{16(d-1)} \right) \\ &+ B^0_{\text{Wc}}(1,2,1,1,0) \cdot \left(\frac{3}{8} - \frac{3}{4(d-1)} \right) \\ &+ B^0_{\text{Wc}}(1,2,1,1,0) \cdot \left(\frac{3}{8} - \frac{3}{4(d-1)} \right) \\ &+ B^0_{\text{Wc}}(1,2,1,1,0) \cdot \left(\frac{3}{8} - \frac{3}{4(d-1)} \right) \\ &+ B^0_{\text{Wc}}(-1,2,1,0,1) \cdot \left(\frac{3}{8(d-1)} \right) \\ &+ B^0_{\text{Wc}}(-1,2,1,0,1) \cdot \left(\frac{3}{8(d-1)} \right) \\ &+ B^0_{\text{Wc}}(-1,2,1,0,1) \cdot \left(\frac{3}{8(d-1)} \right) \\ &+ B^0_{\text{Wc}}(-1,2,1,0,0) \cdot \left(\frac{3}{8(d-1)} \right) \\ &+ B^0_{\text{Wc}$$

Anhang D. Skalare Integrale

$$+B'_{Wc}(0,2,1,0,0) \cdot \left(\frac{3}{8} - \frac{3}{4(d-1)}\right)
+B'_{Wc}(0,2,1,1,-1) \cdot \left(-\frac{3}{32} + \frac{3}{16(d-1)}\right)
+B'_{Wc}(0,2,1,1,0) \cdot \left(\frac{3}{8} - \frac{3}{4(d-1)}\right)
+B'_{Wc}(1,2,0,0,0) \cdot \left(-\frac{3}{16} + \frac{3}{16(d-1)}\right)
+B'_{Wc}(1,2,1,-1,0) \cdot \left(\frac{3}{16} - \frac{3}{16(d-1)}\right)
+B'_{Wc}(1,2,1,0,-1) \cdot \left(-\frac{3}{8} + \frac{3}{8(d-1)}\right)
+B'_{Wc}(1,2,1,1,-2) \cdot \left(\frac{3}{32} - \frac{3}{32(d-1)}\right)
+B'_{Wc}(1,2,1,1,-1) \cdot \left(-\frac{3}{8} + \frac{3}{8(d-1)}\right) \right\}.$$
(D.24)

Die Ergebnisse der skalaren Integrale sind aus Gl. (D.20) bekannt.

Literaturverzeichnis

- [1] V.V. Sudakov, Sov. Phys. JETP 3 (1956) 65.
- [2] M. Beccaria, G. Montagna, F. Piccinini, F.M. Renard, C. Verzegnassi, Phys. Rev. D 58 (1998) 093014.
- [3] P. Ciafaloni, D. Comelli, Phys. Lett. B 446 (1999) 278.
- [4] J.H. Kühn, A.A. Penin, Sudakov logarithms in electroweak processes, Preprint TTP/99-28, hep-ph/9906545.
- [5] V.S. Fadin, L.N. Lipatov, A.D. Martin, M. Melles, Phys. Rev. D 61 (2000) 094002.
- [6] J.H. Kühn, A.A. Penin, V.A. Smirnov, Eur. Phys. J. C 17 (2000) 97.
- [7] J.H. Kühn, A.A. Penin, V.A. Smirnov, Nucl. Phys. B (Proc. Suppl.) 89 (2000) 94.
- [8] M. Beccaria, P. Ciafaloni, D. Comelli, F.M. Renard, C. Verzegnassi, Phys. Rev. D 61 (2000) 011301.
- [9] M. Beccaria, P. Ciafaloni, D. Comelli, F.M. Renard, C. Verzegnassi, *Phys. Rev.* D 61 (2000) 073005.
- [10] M. Beccaria, F.M. Renard, C. Verzegnassi, *Phys. Rev.* **D 63** (2001) 053013.
- [11] M. Beccaria, F.M. Renard, C. Verzegnassi, Phys. Rev. D 64 (2001) 073008.
- [12] A. Denner, S. Pozzorini, Eur. Phys. J. C 18 (2001) 461.
- [13] A. Denner, S. Pozzorini, Eur. Phys. J. C 21 (2001) 63.
- [14] M. Melles, Phys. Rev. **D** 64 (2001) 014011.
- [15] M. Hori, H. Kawamura, J. Kodaira, *Phys. Lett.* **B 491** (2000) 275.

- [16] W. Beenakker, A. Werthenbach, Nucl. Phys. B 630 (2002) 3.
- [17] A. Denner, M. Melles, S. Pozzorini, Nucl. Phys. B 662 (2003) 299.
- [18] S. Pozzorini, Nucl. Phys. B 692 (2004) 135.
- [19] M. Ciafaloni, P. Ciafaloni, D. Comelli, Phys. Rev. Lett. 84 (2000) 4810.
- [20] M. Ciafaloni, P. Ciafaloni, D. Comelli, Phys. Rev. Lett. 87 (2001) 211802.
- [21] M. Ciafaloni, P. Ciafaloni, D. Comelli, Nucl. Phys. **B** 589 (2000) 359.
- [22] J.H. Kühn, S. Moch, A.A. Penin, V.A. Smirnov, Nucl. Phys. B 616 (2001) 286, Erratum-ibid. B 648 (2003) 455.
- [23] B. Feucht, J.H. Kühn, S. Moch, Phys. Lett. B 561 (2003) 111.
- [24] B. Feucht, J.H. Kühn, A.A. Penin, V.A. Smirnov, Phys. Rev. Lett. 93 (2004) 101802.
- [25] J.H. Kühn, A. Kulesza, S. Pozzorini, M. Schulze, Phys. Lett. B 609 (2005) 277.
- [26] E. Accomando, A. Denner, A. Kaiser, Nucl. Phys. B 706 (2005) 325.
- [27] A. Denner, S. Pozzorini, An algorithm for the high-energy expansion of multi-loop diagrams to next-to-leading logarithmic accuracy, hep-ph/0408068.
- [28] B. Jantzen, J.H. Kühn, A.A. Penin, V.A. Smirnov, Two-loop Electroweak Logarithms, hep-ph/0504111.
- [29] M.E. Peskin, D.V. Schroeder, An Introduction to Quantum Field Theory, Addison-Wesley, 1995.
- [30] O. Nachtmann, Elementarteilchenphysik, Phänomene und Konzepte, Vieweg, Braunschweig, 1986.
- [31] T.P. Cheng, L.F. Li, Gauge Theory Of Elementary Particle Physics, Clarendon, Oxford, 1984.
- [32] M. Böhm, A. Denner, H. Joos, Gauge Theories of the Strong and Electroweak Interaction, Teubner, Stuttgart, 2001.
- [33] S.L. Glashow, Nucl. Phys. **22** (1961) 579.
- [34] A. Salam, Weak And Electromagnetic Interactions, veröffentlicht in Svartholm: Elementary Particle Theory, Proceedings Of The Nobel Symposium Held 1968 At Lerum, Sweden, Stockholm 1968, 367-377.

- [35] S. Weinberg, Phys. Rev. Lett. 19 (1967) 1264.
- [36] C. Becchi, A. Rouet, R. Stora, Ann. Phys. 98 (1976) 287.
- [37] I.V. Tyutin, Lebedev Institute preprint FIAN, No. 39 (1975, unpublished).
- [38] M.Z. Iofa, I.V. Tyutin, Theor. Math. Phys. 27 (1976) 316.
- [39] D.Y. Bardin, G. Passarino, The Standard Model in the Making: Precision Study of the Electroweak Interactions, Clarendon, Oxford, 1999.
- [40] T. Kinoshita, J. Math. Phys. 3 (1962) 650.
- [41] T.D. Lee, M. Nauenberg, Phys. Rev. 133 (1964) B1549.
- [42] G. 't Hooft, M.J. Veltman, Nucl. Phys. **B** 44 (1972) 189.
- [43] J.C. Collins, Renormalization, Cambridge University Press, 1984.
- [44] G. Leibbrandt, Rev. Mod. Phys. 47 (1975) 849.
- [45] D.J. Gross, F. Wilczek, Phys. Rev. Lett. 30 (1973) 1343.
- [46] H.D. Politzer, Phys. Rev. Lett. **30** (1973) 1346.
- [47] G. 't Hooft, Konferenz über Yang-Mills-Felder in Marseille, 1972.
- [48] W.E. Caswell, Phys. Rev. Lett. 33 (1974) 244.
- [49] D.R. Jones, Nucl. Phys. **B** 75 (1974) 531.
- [50] E. Egorian, O.V. Tarasov, Theor. Math. Phys. 41 (1979) 863.
- [51] O.V. Tarasov, A.A. Vladimirov, A.Y. Zharkov, *Phys. Lett.* B **93** (1980) 429.
- [52] S.A. Larin, J.A.M. Vermaseren, *Phys. Lett.* **B 303** (1993) 334.
- [53] T. van Ritbergen, J.A.M. Vermaseren, S.A. Larin, Phys. Lett. B 400 (1997) 379.
- [54] H. Lehmann, K. Symanzik, W. Zimmermann, Nuovo Cim. 1 (1955) 205.
- [55] J.M. Cornwall, G. Tiktopoulos, *Phys. Rev. Lett.* **35** (1975) 338.
- [56] J.M. Cornwall, G. Tiktopoulos, *Phys. Rev.* **D** 13 (1976) 3370.
- [57] J. Frenkel, J.C. Taylor, Nucl. Phys. B 116 (1976) 185.
- [58] D. Amati, R. Petronzio, G. Veneziano, Nucl. Phys. B 146 (1978) 29.

- [59] A.H. Mueller, *Phys. Rev.* **D 20** (1979) 2037.
- [60] J.C. Collins, Phys. Rev. **D** 22 (1980) 1478.
- [61] J.C. Collins, Adv. Ser. Direct. High Energy Phys. (Perturbative QCD, ed. A.H. Mueller) 5 (1989) 573, hep-ph/0312336.
- [62] A. Sen, Phys. Rev. D 24 (1981) 3281.
- [63] A. Sen, Phys. Rev. **D** 28 (1983) 860.
- [64] G. Sterman, Nucl. Phys. B **281** (1987) 310.
- [65] J. Botts, G. Sterman, Nucl. Phys. B 325 (1989) 62.
- [66] C. Anastasiou, E.W.N. Glover, C. Oleari, M.E. Tejeda-Yeomans, Nucl. Phys. B 601 (2001) 341.
- [67] E.W.N. Glover, *JHEP* **04** (2004) 021.
- [68] L. Magnea, G. Sterman, Phys. Rev. **D** 42 (1990) 4222.
- [69] G. Kramer, B. Lampe, Z. Phys. C 34 (1987) 497, Erratum-ibid. C 42 (1989) 504.
- [70] T. Matsuura, S.C. van der Marck, W.L. van Neerven, Nucl. Phys. B 319 (1989) 570.
- [71] B. Feucht, Sudakov-Logarithmen in einer massiven U(1)-Theorie in Zweischleifen-Näherung (2002), Diplomarbeit, Institut für Theoretische Teilchenphysik, Universität Karlsruhe.
- [72] C. Itzykson, J.B. Zuber, *Quantum Field Theory*, McGraw-Hill, New York, 1980.
- [73] W. Bernreuther, R. Bonciani, T. Gehrmann, R. Heinesch, T. Leineweber,
 P. Mastrolia, E. Remiddi, Nucl. Phys. B 706 (2005) 245.
- [74] J.A.M. Vermaseren, New features of FORM, math-ph/0010025, http://www.nikhef.nl/~form.
- [75] V.A. Smirnov, Applied Asymptotic Expansions in Momenta and Masses, Springer Tracts in Modern Physics 177, Springer, Berlin, 2002.
- [76] F.V. Tkachov, Phys. Lett. B 100 (1981) 65.
- [77] K.G. Chetyrkin, F.V. Tkachov, Nucl. Phys. B 192 (1981) 159.

- [78] Wolfram Research, Inc., MATHEMATICA, Version 4.2, 2002.
- [79] V.A. Smirnov, *Evaluating Feynman Integrals*, Springer Tracts in Modern Physics 211, Springer, Berlin, 2004.
- [80] R.J. Gonsalves, Phys. Rev. **D** 28 (1983) 1542.
- [81] C. Anastasiou, E.W. Glover, C. Oleari, Nucl. Phys. B 575 (2000) 416, Erratum-ibid. B 585 (2000) 763.
- [82] O.V. Tarasov, Phys. Rev. **D** 54 (1996) 6479.
- [83] O.V. Tarasov, Nucl. Phys. B **502** (1997) 455.
- [84] S. Moch, P. Uwer, S. Weinzierl, J. Math. Phys. 43 (2002) 3363.
- [85] S. Weinzierl, J. Math. Phys. 45 (2004) 2656.
- [86] M.Yu. Kalmykov, O. Veretin, *Phys. Lett.* **B 483** (2000) 315.
- [87] H.R.P. Ferguson, D.H. Bailey, A Polynomial Time, Numerically Stable Integer Relation Algorithm, RNR Technical Report RNR-91-032, NASA Ames Research Center (1991).
- [88] D.H. Bailey, J.M. Borwein, R. Girgensohn, Experimental Mathematics 3 (1994) 17.
- [89] H.R.P. Ferguson, D.H. Bailey, S. Arno, *Mathematics of Computation* **68** (1999) 351.
- [90] D.H. Bailey, MPFUN: A Portable High Performance Multiprecision Package, RNR Technical Report RNR-90-022, NASA Ames Research Center (1990).
- [91] D.H. Bailey, Automatic Translation of Fortran Programs to Multiprecision, RNR Technical Report RNR-91-025, NASA Ames Research Center (1991).
- [92] G. Passarino, M.J. Veltman, Nucl. Phys. B 160 (1979) 151.
- [93] S. Eidelman, et al., Phys. Lett. **B592** (2004) 1.
- [94] W. Beenakker, S.C. van der Marck, W. Hollik, Nucl. Phys. B 365 (1991) 24.
- [95] I.S. Gradshteyn, I.M. Ryzhik, *Table of Integrals, Series, and Products*, Academic Press, 1980.
- [96] J.A.M. Vermaseren, Int. J. Mod. Phys. A 14 (1999) 2037.
- [97] L. Lewin, Polylogarithms and Associated Functions, North Holland, 1981.

Literaturverzeichnis

- [98] E.E. Boos, A.I. Davydychev, Theor. Math. Phys. 89 (1991) 1052.
- [99] A.I. Davydychev, J.B. Tausk, Nucl. Phys. B 397 (1993) 123.
- [100] E.W. Barnes, Proc. London Math. Soc. (2) 6 (1908) 141.
- [101] W.N. Bailey, Generalized Hypergeometric Series, Cambridge University Press, 1935.
- [102] A.G. Grozin, Int. J. Mod. Phys. A 19 (2004) 473.
- [103] M. Beneke, V.A. Smirnov, Nucl. Phys. B **522** (1998) 321.
- [104] V.A. Smirnov, E.R. Rakhmetov, Theor. Math. Phys. 120 (1999) 870.
- [105] V.A. Smirnov, Phys. Lett. **B** 465 (1999) 226.

Danksagung

Mein erster Dank gilt Herrn Prof. Dr. Johann H. Kühn, der mir mit der Promotion eine interessante wissenschaftliche Arbeit in einer sehr angenehmen Atmosphäre ermöglicht hat. Herrn Prof. Dr. Dieter Zeppenfeld danke ich für die Übernahme des Korreferats. Beiden Referenten danke ich für zahlreiche wichtige Hinweise und klärende Fragen zur Doktorarbeit.

Für die fruchtbare und lehrreiche wissenschaftliche Zusammenarbeit bedanke ich mich bei Prof. Dr. Johann H. Kühn, Dr. Sven Moch, Dr. Alexander Penin und Prof. Dr. Vladimir Smirnov. Sie alle haben sich immer viel Zeit genommen, meine physikalischen und rechentechnischen Fragen zu beantworten, so dass ich bei diesem Projekt eine Menge dazugelernt habe.

Besonders herzlich danke ich meiner Frau Annette Jantzen, die mich immer sehr unterstützt hat, und ohne deren Rückhalt die stressige Zeit am Ende der Promotion kaum zu bewältigen gewesen wäre.

Dem Graduiertenkolleg "Hochenergiephysik und Teilchenastrophysik" an der Universität Karlsruhe danke ich für die finanzielle Unterstützung und für bereichernde Workshops und Seminare. Ebenso danke ich der Landesgraduiertenförderung Baden-Württemberg für das Promotionsstipendium. Der größte Dank gilt dem Cusanuswerk, nicht nur für die längste Stipendienförderung, sondern auch für die vielen interdisziplinären Begegnungen auf den Graduiertentagungen und auf dem Jahrestreffen, die letztendlich meine eigene Biographie entscheidend geprägt haben.

Ich danke allen Mitarbeiten des Instituts für Theoretische Teilchenphysik für die gute Atmosphäre und die Hilfe, die ich von ihnen erfahren habe. Besonders erwähnen möchte ich Christian Sturm, mit dem ich mehrere Jahre das Büro geteilt und unzählige interessante Diskussionen geführt habe, sowie Michael Faisst, Michael Kraetz, Martin Melcher, Dr. Pierpaolo Mastrolia, Stefan Bekavac, Andreas Scharf, Dr. Stefano Pozzorini, Dr. Marcus Weber, Prof. Dr. Matthias Steinhauser, Dr. Robert Harlander und Dr. Luminita Mihaila. Ein weiterer Dank gilt Dr. Oleg Veretin für die Überlassung seines Fortran-Programms zum PSLQ-Algorithmus.

Abschließend bedanke ich mich bei meiner Familie und bei meinen Freunden für die Unterstützung und die Verbundenheit in den Jahren der Promotion.

Lebenslauf

Persönliche Daten:

Name: Bernd Joachim Jantzen (geb. Feucht)

Geburtsdatum: 3. August 1975

Geburtsort: Backnang Staatsangehörigkeit: deutsch Familienstand: verheiratet

Ausbildung:

Schulbesuch: 1982 – 1986 Grundschule Schwaigern

> 1986 - 1995Gymnasium Eppingen

Zivildienst: 1995 - 1996Caritas-Altenheim St. Elisabeth, Heilbronn

Studium: 1996 - 2002Physik an der Universität Karlsruhe

> Maîtrise Physique an der Université Joseph 1999 - 2000

> > Fourier, Grenoble (Frankreich)

Diplomarbeit: "Sudakov-Logarithmen in einer massiven U(1)-Theorie in

Zweischleifen-Näherung"

Referent: Prof. Dr. J.H. Kühn

Diplom: 4. Februar 2002 mit der Note 1,0 (mit Auszeichnung)

Promotion: Physik an der Universität Karlsruhe seit Februar 2002

Februar – März 2002: Stipendiat des Graduiertenkollegs

"Hochenergiephysik und Teilchenastrophysik" an der

Universität Karlsruhe

April – August 2002: Stipendiat der Landesgraduierten-

förderung Baden-Württemberg

seit September 2002: Stipendiat des Cusanuswerks

17. Juni 2005 Tag der Prüfung:

Titel der Arbeit: "Sudakov-Logarithmen in der elektroschwachen

Wechselwirkung"

Referent: Prof. Dr. J.H. Kühn

Korreferent: Prof. Dr. D. Zeppenfeld